

616.61-78  
P 677 h.

1996-1958

**TÜRKİYE BİLİMSEL VE TEKNİK ARAŞTIRMA KURUMU**

**TIP ARAŞTIRMA GRUBU**

**PROJE NO : TAG - 557**

**HEMOPERFÜZYON**

**Proje Yürüttücülerı :**

**Doç. Dr. Erhan PIŞKİN**

Hacettepe Üniversitesi

Kimya Mühendisliği Bölümü

**Prof. Dr. Mehmet HABERAL**

Hacettepe Üniversitesi

Tıp Fakültesi

**Yardımcı Personel :**

**Dr. Eyüp M. ERTÜRK**

Ekim — 1987

ANKARA

TÜRKİYE  
BİLİMSEL ve TEKNİK  
ARAŞTIRMA KURUMU  
KUTUPHANEsi

616.61-78  
P 677h

# TÜRKİYE BİLİMSEL VE TEKNİK ARAŞTIRMA KURUMU

## TIP ARAŞTIRMA GRUBU

PROJE NO : TAG- 557

# HEMOPERFÜZYON

### Proje Yürütecileri:

Doç.Dr.Erhan Pişkin

Hacettepe Üniversitesi

Kimya Mühendisliği Bölümü

Prof.Dr.Mehmet Haberal

Hacettepe Üniversitesi

Tıp Fakültesi

### Yardımcı personel:

Dr.Eyüp M. Ertürk

EKİM 1987  
ANKARA

TÜRKİYE  
BİLİMSEL VE TEKNİK  
ARAŞTIRMA KURUMU  
KUTUPHANEİSİ

Bağış, Sanat, 1970

Bağış, 1975

17525

## TEŞEKKÜR

Bu çalışmanın gerçekleşmesinde öncelikle maddi olanaklar açısından çok büyük destegini gordüğümüz Türkiye Bilimsel ve Teknik Araştırma Kurumuna ayrıca deneylerde görev alan ve çalışmayı kendi doktora tezi olarak tamamlayan yardımcı personelimiz Sayın Eyüp Ertürk'e tüm deney olanaklarını kullanmamızı sağlayan Hacettepe Üniversitesi Kimya Mühendisliği Bölümü'ne en içten teşekkürlerimizi sunarız.

Çalışmalara direkt olarak katkıda bulunan Türkiye Organ Nakli ve Yara Yanık Vakfı Hastahanesi personeline Hacettepe Üniversitesi Kimya Mühendisliği Bölümünden Sayın Ramis Tekin'e Sayın Ece Sanalcan'a, Sayın Menemse Kiremitci'ye, Sayın Haluk Gümüşderelioglu'na, Sayın Süleyman Tunç'e, Sayın Muhsin Uyaniker'e, M.T.A. Enstitüsünden Sayın Mehmet Üzer'e, Sayın Ayşe Uzel'e, Çekmece Nükleer Araştırma Enstitüsü'nden Sayın Nihal Erentürk'e, Çimento Mustahsilleri Birliği Araştırma Laboratuvarından Sayın Atilla Alkan'a bütün yardımları için içtenlikle teşekkür ederiz.

Çalışmanın hazırlanması yanında yazılı hale gelmesinde de büyük özen ve sabır gösteren Hacettepe Üniversitesi Kimya Mühendisliği Bölümünden Sayın Adil Denizli'ye ve Sayın Vural Evren'e titiz katkıları için sükrânlarımı sunarız.

## İÇİNDEKİLER DİZİNİ

	<u>Sayfa</u>
<b>OZET</b>	i
<b>SUMMARY</b>	iii
<b>SEKİLLER DİZİNİ</b>	v
<b>ÇİZELGELER DİZİNİ</b>	xix
<b>SİMGELER VE KISALTMALAR DİZİNİ</b>	xxi
<b>1. GİRİŞ VE CALISMANIN AMACI</b>	1
<b>2. GENEL BİLGİLER</b>	5
<b>2.1. HEMOPERFÜZYON</b>	5
<b>2.2. AKTİF KARBON</b>	10
<b>2.2.1. AKTİF KARBONUN YAPISI</b>	11
<b>2.2.1.a. Fiziksel Yapı</b>	11
<b>2.2.1.b. Kimyasal Yapı</b>	13
<b>2.2.1.c. Aktif Karbon Üretimi</b>	13
<b>2.2.1.d. Hemoperfüzyona Uygun Aktif Karbon Özellikleri</b>	15
<b>2.3. ADSORPSİYON</b>	16
<b>2.3.1. ADSORPSİYON TÜRLERİ</b>	16
<b>2.3.2. ADSORPSİYON İZOTERM MODELLERİ</b>	17
<b>2.3.3. ADSORPSİYONA ETKİ EDEN FAKTÖRLER</b>	21
<b>2.3.4. ADSORPSİYON KİNETİCİ</b>	22
<b>2.4. POLİMERİK MEMBRAN TEKNOLOJİSİ</b>	24
<b>2.4.1. SENTETİK MEMBRANLARIN SINIFLANDIRILMASI</b>	24
<b>2.4.2. SENTETİK MEMBRANLARIN HAZIRLANMASI</b>	26
<b>2.5. VÜCUT SİVİLERİ, YAPILARI VE ÖZELLİKLERİ</b>	30
<b>2.5.1. KAN</b>	31
<b>2.5.2. ERİTROSİT</b>	32
<b>2.5.3. LÖKOSİT</b>	33
<b>2.5.4. TROMBOSİT</b>	33
<b>2.5.5. PIHTILAŞMA</b>	33
<b>2.5.6. HEMOTOKRİT</b>	34
<b>2.5.7. KAN VİSKOZİTESİ</b>	34

TÜRKİYE  
BİLGİSAYAR VE TEKNİK  
AKADEMİCİ DERGİSİ  
AKADEMİK MÜJDELER  
AKADEMİK MÜJDELER

**İÇİNDEKİLER DİZİNİ**  
( devam ediyor )

	<u>Sayfa</u>
<b>2.6. TEORİ</b>	36
2.6.1. KESİKLİ KARIŞTIRMALI SİSTEMDE ADSORPSİYON HİZİNİN TAYINI, WEBERYÖNTEMİ	38
2.6.2. KAPALI DEVRELİ DOLAŞIMLI SİSTEMLERDE KÜTLE TRANSFER KATSAYILARININ TAYINI	39
2.6.3. DIGER FİZİKSEL ÖZELLİKLER	42
<b>3. DENEYSEL ÇALIŞMA</b>	44
<b>3.1. KULLANILAN MALZEMELER</b>	44
<b>3.2. İZLENEN DENEYSEL YÖNTEM</b>	45
3.2.1. AKTİF KARBON SEÇİMİ	45
3.2.1.a. Adsorpsiyon Kapasitelerinin Tayini	45
3.2.1.b. Toplam Yüzey Alanı Tayini	46
3.2.1.c. Kül Miktarının Tayini	46
3.2.1.d. Yüzey Sertliği, Kırılganlık ve Aşınma Testi	46
3.2.1.e. Temizlik ve Yıkanabilirlik Testi	47
3.2.1.f. Sterillenebilme Özelliğinin Tayini	47
3.2.1.g. Aktif Karbon Partiküllerin Yüzey Yapılarının İncelenmesi	48
3.2.2. AKTİF KARBONUN POLİMERİK MEMBRANLA KAPLANMASI VE KAPLANMIŞ AKTİF KARBONLARIN TEST EDİLMESİ	48
3.2.2.a. Polimerik Kaplama Yönteminin Geliştirilmesi	49
3.2.2.b. Kaplanmış Aktif Karbonların Test Edilmesi	51
3.2.2.c. Kaplanmış Aktif Karbonunun Toplam Yüzey Alanı Değişiminin Tayini	52
3.2.2.d. Kırılganlık ve İnce Partikül Salınım Özelliklerinin Tayini	52
3.2.3. AKTİF KARBON ELEK ANALİZİ	52
3.2.4. KOLON VE SİSTEM TASARIMI	53
3.2.4.a. Sulu Faz Deneyleri	53

**İÇİNDEKİLER DİZİNİ**  
 ( devam ediyor )

	<u>Sayfa</u>
3.2.4.b. In-Vitro Kan Deneyleri	60
<b>4. DENEYSEL SONUÇLAR VE TARTIŞILMASI</b>	67
<b>4.1. AKTİF KARBON SEÇİMİ</b>	67
4.1.1. ADSORPSİYON KAPASİTELERİNİN TAYINI	67
4.1.2. TOPLAM YÜZEV ALANI	73
4.1.3. KÜL MİKTARI TAYINI	73
4.1.4. YÜZEV SERTLİĞİ, KIRILGANLIK VE AŞINMA TESTİ	74
4.1.5. TEMİZLİK VE YIKANABİLİRLİK TAYINI	76
4.1.6. STERİLLENEBİLME ÖZELLİĞİNİN TAYINI	77
4.1.7. AKTİF KARBON YÜZEV MORFOLOJİSİ	78
4.1.8. ARA SONUÇ	78
<b>4.2. AKTİF KARBONUN POLİMERİK MEMBRANLA KAPLANMASI</b>	81
4.2.1. POLİMERİK KAPLAMA YÖNTEMİNİN GELİŞTİRİLMESİ	81
4.2.2. KAPLANMIŞ AKTİF KARBONLARIN ADSORPSİYON ÖZELLİKLERİ	85
4.2.3. KAPLANMIŞ AKTİF KARBONLARIN TOPLAM YÜZEV ALANI DEĞİŞİMİ	85
4.2.4. KIRILGANLIK VE İNCE PARTİKÜL SALINIMI	87
4.2.5. ARA SONUÇ	90
<b>4.3. AKTİF KARBON ELEK ANALİZİ</b>	92
<b>4.4. KOLON VE SİSTEM TASARIMI</b>	92
4.4.1. SULU FAZ DENEYLERİ	93
4.4.1.a. Kesikli Karıştırmalı Sistem	93
4.4.1.b. Sürekli Sistem	101
4.4.1.c. Kesikli Karıştırmalı Sistem-Kapalı Devreli Dolaşımlı Sistem İlişkileri	127
4.4.1.d. Kolon Boyut Büyütme Çalışmaları	145
4.4.1.e. Büyütülmüş Kolonda Kütle Transfer Bölgesinin İncelenmesi	168

**İÇİNDEKİLER DİZİNİ**  
( devam ediyor )

Sayfa

4.4.1.f. Kolon Baglama Yönteminin, Adsorpsiyon Hızına ve Aktif Karbon Sıvı Faz Temas Yüzey Alanına Etkisinin Araştırılması	170
4.4.2. IN-VITRO KAN DENEYLERİ	177
4.4.2.a. Kesikli Karıştırmalı Sistemlerde Kan Deneyleri	177
4.4.2.b. Kapalı Devreli Dolaşımlı Sistemde Kan Deneyleri	184
4.4.2.c. Kolonda Kan Hücre Kaybı ve Kolon Çapı Optimizasyon Deneyleri	186
<b>5. ÖNERİ: YENİ BİR HEMOPERFÜZYON KOLON VE SİSTEM TASARIM YÖNTEMİ</b>	193
<b>6. REFERANSLAR</b>	197
<b>7. EKLER</b>	203

## ÖZET

Bu çalışmanın amacı, aktif karbon dolgulu hemoperfüzyon kolon tasarımına etkiyen parametrelerin bulunması ve bunların ışığı altında genel bir hemoperfüzyon kolon ve sistem tasarım yönteminin oluşturulmasıdır.

Çalışmanın ilk bölümünde Norit ve Bac Mu<sup>®</sup> karbonlarının adsorpsiyon kapasiteleri, yüzey alanları, kül miktarları, kırılganlıkları, aşınma dayanımları, temizlik, yıkayılabilirlik, sterilleştirilebilirlik ve ince partikül salınımıları incelenmiştir.

Çalışmanın ikinci aşamasında Bac Mu<sup>®</sup> karbonu selüloz nitratla kaplanmış ve adsorpsiyon hızı, toplam yüzey alanı, kırılganlık ve ince partikül salınımındaki değişimler incelenerek polimerik kaplama ve kalınlığının hemoperfüzyon sistemine uygun olup olmadığı saptanmıştır.

Son olarak da çiplak ve kaplanmış Bac Mu<sup>®</sup> aktif karbonları ile sulu ve in-vitro kan fazlarında yapılan deneylerle bir hemoperfüzyon kolon ve sisteminin tasarımını gerçekleştirilmiştir.

Yapılan ilk grup deneyler sonucunda, çeşitli özellikleri ile Bac Mu<sup>®</sup> aktif karbonunun, hemoperfüzyona daha uygun olduğu belirlenmiştir.

Kaplama basamağında tarafımızdan geliştirilen yöntemle, ağırlıkça % 0.4 selüloz nitratla kaplanmış Bac Mu<sup>®</sup> karbonlarının, çiplak karbona göre adsorpsiyon hızında önemli bir değişme yaratmadan, ince partikül salınımını azalttığı, dolayısıyla hemoperfüzyona uygunluğu gösterilmiştir.

Sulu faz deneylerinde, kesikli karıştırmalı-kapalı devreli dolaşımlı sistemler arasında bir ilişki olduğu bulunmuş ve bu ilişkinin kolon ve sistem tasarımında kullanıldığı bir yöntem önerilmiştir.

Boyut büyütme çalışmalarında, iki kademeli bir işlemle, mini kolon verileri kullanılarak, intravasküler ve ekstraselüler sıvı hacimlerinin toksik maddelerden temizlenmesinde kullanılacak bir tasarım yöntemi geliştirilmiştir.

In-vitro kan deneyleriyle sulu faz deneyleri karşılaştırılarak ilgili ilişkiler belirlenmiş, sulu faz verilerinin kullanılması ile kanda istenilen adsorpsiyon hızı ve kapasitesine ulaşabilecek bir kolon ve sistem tasarım yöntemi oluşturulmuştur. Kan hücresel eleman kaybı göz önüne alınarak yapılan kolon çapı optimizasyon deneyleri sonucunda, çapı D= 62 mm, boyu L= 103 mm olan, 136 gram % 0.4 selüloz nitrat kaplanmış Bac Mu® aktif karbonu içeren kolon, uygun "Hemoperfüzyon Kolonu" olarak seçilmiştir.

Çalışmanın genel sonucu olarak tüm bulguların ışığı altında, kapalı devreli dolaşımlı adsorpsiyon sistemlerinin tasarımında da kullanılabilcek, yeni bir "Hemoperfüzyon Kolon ve Sistem Tasarım Yöntemi" geliştirilerek önerilmiştir.

## SUMMARY

The aim of this study is to find the design parameters of an activated carbon hemoperfusion column and to develop column plus system design procedure by taking these data into account.

In the first part of the study, the adsorptive capacities, the total surface areas, the ash contents, the attrition resistance, the cleanliness, washabilities, the sterilizabilities and the fine particle generation characteristics of Norit plus Bac Mu® activated carbons were investigated.

Bac Mu® activated carbons were coated with cellulose nitrate in the second part of the study and the variation of the adsorption rate, the total surface area, fragmentation and fine particle generation characteristic were investigated in order to determine the suitability of the polymeric coating and the thickness of the coating the hemoperfusion system.

In the last part of the study, the design of a hemoperfusion column and system was realized by using uncoated and coated Bac Mu® activated carbons in the experiments that were made in the aqueous and in-vitro blood phases.

It was shown in the coating step, which was modified in the study, that 0.4 % cellulose nitrate coated Bac Mu® activated carbons are suitable for hemoperfusion as they exhibits low fine particle generation without causing significant adsorption rate lost in comparision with the uncoated Bac Mu® activated carbon.

A relation found between mixed batch and recycle batch reactor systems is used in the proposed hemoperfusion column plus system design procedure.

A scale up procedure which has two steps was developed for the detoxification of intravascular and extracellular fluids by using the data obtained from the mini hemoperfusion column.

The relations, determined by the comparison of the adsorption test results of the aqueous and in-vitro blood phases, were used in the development of a hemoperfusion column and system design procedure in order to reach the desired adsorption rate and capacity in the blood phase by using aqueous phase data.

The hemoperfusion column developed by the optimization of the column diameter by taking lost percent of the blood cells into account, has a diameter of 62 mm length of 103 mm and contains 136 gram of 0.4 % cellulose nitrate coated Bac Mu® activated carbon.

By taking of the influence of the factors and data into account, a "Hemoperfusion Column and System Design Procedure", which can also be used in the design of recycle batch adsorption systems, was developed and proposed as the general result of the study.

## ŞEKİLLER DİZİNİ

	<u>Sayfa</u>
<b>Şekil 2. 1. Gaz ve Su Fazında Kullanılan Aktif Karbonların Gözenek Yapısı.....</b>	<b>12</b>
<b>Şekil 2.2. Aktif Karbonların Yüzeyindeki Oksijenli Fonksiyonel Gruplar.....</b>	<b>14</b>
<b>Şekil 2.3. Brunauer'e Göre Gaz Adsorpsiyon İzotermi.....</b>	<b>19</b>
<b>Şekil 2.4. Polimerik Membranla Kaplanmış Aktif Karbon Yapısı ve Adsorpsiyon Hızını Sınırlayan Basamaklar.....</b>	<b>23</b>
<b>Şekil 2.5. Sentetik Membranların Yapısal Olarak Sınıflandırılması.....</b>	<b>26</b>
<b>Şekil 2.6. Faz Dönüşüm Yöntemiyle Elde edilen Membran Türleri;</b> (a) Kanallı; (b) Songerimsi.....	<b>28</b>
<b>Şekil 2.7. Vücut Sıvıları.....</b>	<b>30</b>
<b>Şekil 2.8. Kanın Yapısı.....</b>	<b>32</b>
<b>Şekil 2.9. Kanın Pihtlaşma Mekanizması.....</b>	<b>34</b>
<b>Şekil 2.10. Kan Viskozitesine Hemotokritin Etkisi.....</b>	<b>35</b>
<b>Şekil 2.11. Temizlenme Hızı Kavramının Geliştirilmesi.....</b>	<b>40</b>
<b>Şekil 2.12. Adsorpsiyonda Hız Sınırlayıcı Basamakların Tayini.....</b>	<b>41</b>
<b>Şekil 3.1. Sulu Fazda Kullanılan Kapalı Devreli Dolaşımlı Sistem Deney Düzenegi.....</b>	<b>55</b>
<b>Şekil 3.2. In-Vitro Kan Deneylerinde Kullanılan Kapalı Devreli Dolaşımlı Sistem Deney Düzenegi.....</b>	<b>62</b>
<b>Şekil 4.1 Kreatinin Adsorpsiyon İzotermi.....</b>	<b>68</b>

ŞEKİLLER DİZİNİ  
(Devam Ediyor)

<b>Sayfa</b>	
<b>Şekil 4.2. Ürik Asit Adsorpsiyon İzotermleri.....</b>	<b>69</b>
<b>Şekil 4.3. Vitamin B-2 Adsorpsiyon İzotermleri.....</b>	<b>70</b>
<b>Şekil 4.4. Vitamin B-12 Adsorpsiyon İzotermleri.....</b>	<b>71</b>
<b>Şekil 4.5. Bac Mu® Aktif Karbonunun Yüzey Morfolojis;(a)Yıkamamış; (b) Ultrasonik Yıkamadan Sonra.....</b>	<b>75</b>
<b>Şekil 4.6. Aktif Karbonların Temizlik, Yıkınabilirlik ve Sterillenebilme Özellikleri.....</b>	<b>77</b>
<b>Şekil 4.7. Bac Mu® Aktif Karbonunun Yüzey Morfolojis.....</b>	<b>79</b>
<b>Şekil 4.8. Norit RBXS-1 Aktif Karbonunun Yüzey Morfolojis.....</b>	<b>80</b>
<b>Şekil 4.9. Polimerle Kaplanmış Bac Mu® Aktif Karbonlarının Yüzey SEM Fotoğrafları.....</b>	<b>82</b>
<b>Şekil 4.10. Polimerle Kaplanmış Bac Mu® Aktif Karbonlarının Yüzey SEM Fotoğrafları.....</b>	<b>83</b>
<b>Şekil 4.11. Polimerle Kaplanmış Bac Mu® Aktif Karbonlarının Yüzey SEM Fotoğrafları.....</b>	<b>84</b>
<b>Şekil 4.12. Kaplanmamış ve Kaplanmış Bac Mu® ve Norit RBXS-1 Aktif Karbonlarının Adsorpsiyon İzotermleri.....</b>	<b>86</b>
<b>Şekil 4.13. Kaplanmamış ve Kaplanmış Bac Mu® Aktif Karbonlarının Kırılganlığı ve İnce Partikül Salımı.....</b>	<b>88</b>
<b>Şekil 4.14. Kaplanmamış ve Kaplanmış Bac Mu® Aktif Karbonlarının Kırılganlığı ve İnce Partikül Salımı.....</b>	<b>89</b>
<b>Şekil 4.15. % 0.4 Selüloz Nitrat Kaplanmış Bac Mu® Aktif Karbon Yüzeyinin SEM Fotoğrafı.....</b>	<b>91</b>

**ŞEKİLLER DİZİNİ**  
(Devam Ediyor)

Sayfa

<b>Şekil 4.16. Sulu Fazda, Kesikli Karıştırmalı Sistemde, Kreatinin Konsantrasyonunun (C) Zamanla (t) Değişimine, Birim Aktif Karbon Miktarı Miktarı % 0.4 Selüloz Nitrat Kaplanmış Bac Mu<sup>®</sup>.....</b>	<b>94</b>
<b>Şekil 4.17. Sulu Fazda, Kesikli Karıştırmalı Sistemde, Birim Aktif Karbon Miktarı Başına Adsorplanan Kreatinin Miktarının (X/M) Zamanla (t)<sup>1/2</sup> Değişimine Birim Aktif Karbon Miktarı Başına Kullanılan Çözelti Miktarının (V<sub>d</sub>/M) Etkisi, % 0.4 Selüloz Nitrat Kaplanmış Bac Mu<sup>®</sup> .....</b>	<b>95</b>
<b>Şekil 4.18. Sulu Fazda, Kesikli Karıştırmalı Sistemde, Adsorpsiyon Hızının (k) Birim Aktif Karbon Miktarı Başına Kullanılan Çözelti Miktarıyla (V<sub>d</sub>/M) Değişimi, % 0.4 Selüloz Nitrat Kaplanmış Bac Mu<sup>®</sup>.....</b>	<b>96</b>
<b>Şekil 4.19. Sulu Fazda, Kesikli Karıştırmalı Sistemde, Kreatinin Konsantrasyonunun (C) Birim Aktif Karbon Miktarı Başına Adsorplanan Kreatinin Miktarı (X/M) ile Değişimine, Zamanın (t) Etkisi, % 0.4 Selüloz Nitrat Kaplanmış Bac Mu<sup>®</sup>.....</b>	<b>97</b>
<b>Şekil 4.20. Sulu Fazda, Kesikli Karıştırmalı Sistemde, Birim Aktif Karbon Miktarı Başına Kullanılan Çözelti Miktarının (V<sub>d</sub>/M) Birim Aktif Karbon Miktarı Başına Adsorplanan Kreatinin Miktarı (X/M) ile Değişimine, Zamanın (t) Etkisi, % 0.4 Selüloz Nitrat Kaplanmış Bac Mu<sup>®</sup>.....</b>	<b>98</b>
<b>Şekil 4.21. Sulu Fazda, Kesikli Karıştırmalı Sistem Tasarımında Kullanılan Grafiksel Yöntem.....</b>	<b>99</b>

**ŞEKİLLER DİZİNİ**  
(Devam Ediyor)

Sayfa

Sekil 4.22. Sulu Fazda, Sürekli Tek Geçişli Sistemde, Çıkış Konsantrasyonunun ( $C_{\text{ç}}$ ) Zamanla ( $t$ ) Değişimi, Kaplanmamış Bac Mu <sup>®</sup> .....	102
Sekil 4.23. Sulu Fazda, Tek Geçişli Sistemde, Çıkış Konsantrasyonunun ( $C_{\text{ç}}$ ) Zamanla ( $t$ ) Değişimi, Kaplanmamış Bac Mu <sup>®</sup> .....	103
Sekil 4.24. Sulu Fazda, Tek Geçişli Sistemde, Adsorplanan Kreatinin Miktarının ( $X$ ) Zamanla ( $t$ ) Değişimi.....	104
Sekil 4.25. Sulu Fazda, Tek Geçişli Sistemde Adsorplanan Kreatinin Miktarının ( $X$ ) Zamanla ( $t$ ) Değişimi, Kaplanmamış Bac Mu <sup>®</sup> .....	105
Sekil 4.26. Sulu Fazda, Kapalı Devreli Dolaşımlı Sistemde, Temizlenme Hızının (T.H.) Zamanla ( $t$ ) Değişimi, Kaplanmamış Bac Mu <sup>®</sup> .....	108
Sekil 4.27. Sulu Fazda, Kapalı Devreli Dolaşımlı Sistemde, Temizlenme Hızının (T.H.) Zamanla ( $t$ ) Değişimi, Kaplanmamış Bac Mu <sup>®</sup> .....	109
Sekil 4.28. Sulu Fazda, Kapalı Devreli Dolaşımlı Sistemde, Temizlenme Hızının (T.H.) Zamanla ( $t$ ) Değişimi, Kaplanmamış Bac Mu <sup>®</sup> .....	110
Sekil 4.29. Sulu Fazda, Kapalı Devreli Dolaşımlı Sistemde, Temizlenme Hızının (T.H.) Zamanla ( $t$ ) Değişimi, % 0.4 Selüloz Nitrat Kaplanmış Bac Mu <sup>®</sup> .....	111
Sekil 4.30. Sulu Fazda, Kapalı Devreli Dolaşımlı Sistemde, Temizlenme Hızının (T.H.) Zamanla ( $t$ ) Değişimi, % 0.4 Selüloz Nitrat Kaplanmış Bac Mu <sup>®</sup> .....	112

**ŞEKİLLER DİZİNİ**  
(Devam Ediyor)

Sayfa

Şekil 4.31. Sulu Fazda, Kapalı Devreli Dolaşımı Sistemde, Temizlenme Hızının (T.H.) Kullanılan Aktif Karbon Miktarı ( $M$ ) ile Değişimine, Çözelti Hacimsel Akış Hızının Etkisi, Kaplanmamış Bac Mu <sup>®</sup> .....	113
Şekil 4.32. Sulu Fazda, Kapalı Devreli Dolaşımı Sistemde, Temizlenme Hızının (T.H.) Polimerik Kaplama Kalınlığı ile Değişimine, Çözelti Hacimsel Akış Hızının Etkisi.....	114
Şekil 4.33. Sulu Fazda, Kapalı Devreli Dolaşımı Sistemde, Toplam Kütle Trans- fer Direncinin ( $1/K$ ) Çözelti Hacimsel Akış Hızı (veya Çizgisel Hızı) ile Değişimi ve Buna Birim Aktif Karbon Miktarı Başına Kullanılan Çözelti Miktarının ( $Vd/M$ ) Etkisi, Kaplanmamış Bac Mu <sup>®</sup> .....	115
Şekil 4.34. Sulu Fazda, Kapalı Devreli Dolaşımı Sistemde, Toplam Kütle Trans- fer Direncinin ( $1/K$ ) Çözelti Hacimsel Akış Hızı (veya Çizgisel Hızı) ile Değişimi ve Buna Selülozik Kaplamanın Etkisi.....	118
Şekil 4.35. Sulu Fazda, Kapalı Devreli Dolaşımı Sistemde, Birim Aktif Karbon Miktarı Başına Adsorplanan Kreatinin Miktarının ( $X/M$ ) Zamanla ( $t$ ) ile Değişimine, Çözelti Hacimsel Akış Hızının ( $F$ ) Etkisi, Kaplanmamış Bac Mu <sup>®</sup> .....	119
Şekil 4.36. Sulu Fazda, Kapalı Devreli Dolaşımı Sistemde, Birim Aktif Karbon Miktarı Başına Adsorplanan Kreatinin Miktarının ( $X/M$ ) Zamanla ( $t$ ) ile Değişimine, Çözelti Hacimsel Akış Hızının ( $F$ ) Etkisi, Kaplanmamış Bac Mu <sup>®</sup> .....	120

**ŞEKİLLER DİZİNİ**  
(Devam Ediyor)

Sayfa

Şekil 4.37. Sulu Fazda, Kapalı Devreli Dolaşımı Sistemde, Birim Aktif Karbon Miktarı Başına Adsorplanan Kreatinin Miktarının ( $X/M$ ) Zamanla ( $t$ ) ile Değişimine, Çözelti Hacimsel Akış Hızının ( $F$ ) Etkisi, Kaplanmamış Bac Mu <sup>®</sup> .....	121
Şekil 4.38. Sulu Fazda, Kapalı Devreli Dolaşımı Sistemde, Birim Aktif Karbon Miktarı Başına Adsorplanan Kreatinin Miktarının ( $X/M$ ) Zamanla ( $t$ ) ile Değişimine, Çözelti Hacimsel Akış Hızının ( $F$ ) Etkisi, % 0.4 Selüloz Nitrat Kaplanmış Bac Mu <sup>®</sup> .....	122
Şekil 4.39. Sulu Fazda, Kapalı Devreli Dolaşımı Sistemde, Birim Aktif Karbon Miktarı Başına Adsorplanan Kreatinin Miktarının ( $X/M$ ) Zamanla ( $t$ ) ile Değişimine, Çözelti Hacimsel Akış Hızının ( $F$ ) Etkisi, % 0.4 Selüloz Nitrat Kaplanmış Bac Mu <sup>®</sup> .....	123
Şekil 4.40. Sulu Fazda, Kapalı Devreli Dolaşımı Sistemde, Birim Aktif Karbon Miktarı Başına Adsorplanan Kreatinin Miktarının ( $X/M$ ) Zamanla ( $t$ ) ile Değişimine, Polimerik Kaplama Kalınlığının Etkisi.....	124
Şekil 4.41. Sulu Fazda, Kapalı Devreli Dolaşımı Sistemde, Birim Aktif Karbon Miktarı Başına Adsorplanan Kreatinin Miktarının ( $X/M$ ) Zamanla ( $t$ ) ile Değişimine, Kullanılan Aktif Karbon Miktarının ( $M$ ) Etkisi, Kaplanmamış Bac Mu <sup>®</sup> .....	125
Şekil 4.42. Sulu Fazda, Kapalı Devreli Dolaşımı Sistemde, Kütle Transfer Katsayılarının Bulunmasında Kullanılan Grafiksel Yöntem.....	126

**ŞEKİLLER DİZİNİ**  
(Devam Ediyor)

Sayfa

<b>Şekil 4.43.</b> Sulu Fazda, Kesikli Karıştırmalı-Kapalı Devreli Dolaşımlı Sistemlerde, Kreatinin Konsantrasyonunun (C) Zaman ( $t$ ) ile Değişimine ( $t_{kes}$ ) ile ( $t_{kop}$ ) Zamanlarının Tayini, % 0.4 Selüloz Nitrat Kaplanmış Bac Mu®.....	128
<b>Şekil 4.44.</b> Sulu Fazda, Kesikli Karıştırmalı-Kapalı Devreli Dolaşımlı Sistemlerde, Kreatinin Konsantrasyonunun (C) Zaman ( $t$ ) ile Değişimi ve ( $t_{kes}$ ) ile ( $t_{kop}$ ) Zamanlarının Tayini, % 0.4 Selüloz Nitrat Kaplanmış Bac Mu®.....	129
<b>Şekil 4.45.</b> Sulu Fazda, Kesikli Karıştırmalı-Kapalı Devreli Dolaşımlı Sistemlerde, Kreatinin Konsantrasyonunun (C) Zaman ( $t$ ) ile Değişimi ve ( $t_{kes}$ ) ile ( $t_{kop}$ ) Zamanlarının Tayini, % 0.4 Selüloz Nitrat Kaplanmış Bac Mu®.....	130
<b>Şekil 4.46.</b> Sulu Fazda, Kesikli Karıştırmalı-Kapalı Devreli Dolaşımlı Sistemlerde, Kreatinin Konsantrasyonunun (C) Zaman ( $t$ ) ile Değişimi ve ( $t_{kes}$ ) ile ( $t_{kop}$ ) Zamanlarının Tayini, % 0.4 Selüloz Nitrat Kaplanmış Bac Mu®.....	131
<b>Şekil 4.47.</b> Sulu Fazda, Kesikli Karıştırmalı-Kapalı Devreli Dolaşımlı Sistemlerde, Kreatinin Konsantrasyonunun (C) Zaman ( $t$ ) ile Değişimi ve ( $t_{kes}$ ) ile ( $t_{kop}$ ) Zamanlarının Tayini, % 0.4 Selüloz Nitrat Kaplanmış Bac Mu®.....	132

**ŞEKİLLER DİZİNİ**  
(Devam Ediyor)

Sayfa

Şekil 4.48. Sulu Fazda, Kesikli Karıştırmalı-Kapalı Devreli Dolaşımlı Sistemlerde, Kreatinin Konsantrasyonunun ( $C$ ) Zaman ( $t$ ) ile Değişimi ve ( $t_{kes}$ ) ile ( $t_{kop}$ ) Zamanlarının Tayini, % 0.4 Selüloz Nitrat Kaplanmış Bac Mu <sup>®</sup> .....	133
Şekil 4.49. Sulu Fazda, Ana Depoda Çözelti Alıkonma Süresinin ( $\tau_d$ ), Kesikli Karıştırmalı-Kapalı Devreli Dolaşımlı Sistem Adsorpsiyon Eğrilerinin Kesişme Zamanı ( $t_{kes}$ ) ile Değişimi, % 0.4 Selüloz Nitrat Kaplanmış Bac Mu <sup>®</sup> .....	134
Şekil 4.50. Sulu Fazda, Kapalı Devreli Dolaşımlı Sistemde, Kreatinin Konsantrasyonunun ( $C$ ) Zamanla ( $t$ ) Değişimine, Çözelti Hacimsel Akış Hızının Etkisi, % 0.4 Selüloz Nitrat Kaplanmış Bac Mu <sup>®</sup> .....	135
Şekil 4.51. Sulu Fazda, Ana Depoda Çözelti Alıkonma Süresinin ( $\tau_d$ ), Akış Limit ve Kapalı Devreli Dolaşımlı Sistem Adsorpsiyon Eğrilerinin Kopma Zamanı ( $t_{kop}$ ) ile Değişimi, % 0.4 Selüloz Nitrat Kaplanmış Bac Mu <sup>®</sup> .....	136
Şekil 4.52. Sulu Fazda, Kapalı Devreli Dolaşımlı Sistemlerde, Ana Depoda Çözelti Alıkonma Süresinin ( $\tau_d$ ), Birim Aktif Karbon Miktarı Başına Adsorplanan Kreatinin Miktarıyla ( $X/M$ ) Değişimine, Zamanın Etkisi, % 0.4 Selüloz Nitrat Kaplanmış Bac Mu <sup>®</sup> .....	138
Şekil 4.53. Adsorpsiyon Sistemlerinde Konsantrasyonun ( $C$ ), Birim Aktif Karbon Miktarı Başına Adsorplanan Kreatinin Miktarı ( $X/M$ ) ile Değişimi.....	138

**ŞEKİLLER DİZİNİ**  
(Devam Ediyor)

Sayfa

Şekil 4.54. Kesikli Karıştırmalı ve Kapalı Devreli Dolaşımlı Sistem İlişkileri ve Yeni Bir Adsorpsiyon Egrisinin Oluşturulması İçin Kullanılan Grafiksel Yöntem.....	140
Şekil 4.55. Kapalı Devreli Dolaşımlı Sistemlerde Yeni Bir Adsorpsiyon Egrisinin Oluşturulması İçin Kullanılan Grafiksel Yöntem.....	141
Şekil 4.56. Birinci Kolon Boyut Büyütme Basamagında Ulaşılan Kolonda, Birim Aktif Karbon Miktarı Başına Adsorplanan Kreatinin Miktarının (X/M) Zamanla (t) Değişiminin, Mini Kolonla Karşılaştırılması, Kaplanmamış Bac Mu <sup>®</sup> .....	146
Şekil 4.57. Birinci Kolon Boyut Büyütme Basamagında Ulaşılan Kolonda, Birim Aktif Karbon Miktarı Başına Adsorplanan Kreatinin Miktarının (X/M) Zamanla (t) Değişiminin, Mini Kolonla Karşılaştırılması, % 0.4 Selüloz Nitrat Kaplanmış Bac Mu <sup>R</sup> .....	146
Şekil 4.58. Kapalı Devreli Dolaşımlı Sistemde Birim Aktif Karbon Miktarı Başına Adsorplanan Kreatinin Miktarının (X/M) Zamanla (t) Değişimine, Kolon Çapının Etkisi, Kaplanmamış Bac Mu <sup>®</sup> .....	149
Şekil 4.59. Kapalı Devreli Dolaşımlı Sistemde, Birim Aktif Karbon Miktarı Başına Adsorplanan Kreatinin Miktarının (X/M) Zamanla (t) Değişimine, Kolon Çapının Etkisi, % 0.4 Selüloz Nitrat Kaplanmış Bac Mu <sup>®</sup> .....	150
Şekil 4.60. Kapalı Devreli Dolaşımlı Sistemde, Birim Aktif Karbon Miktarı Başına Adsorplanan Vitamin B-2 Miktarının (X/M) Zamanla (t) Değişimine, Kolon Çapının Etkisi, Kaplanmamış Bac Mu <sup>®</sup> .....	151

**SEKİLLER DİZİNİ**  
**(Devam Ediyor)**

Sayfa

Şekil 4.61. Kapalı Devreli Dolaşımlı Sistemde, Birim Aktif Karbon Miktarı Başına Adsorplanan Vitamin B-2 Miktarının (X/M) Zamanla (t) Değişimine, Kolon Çapının Etkisi, % 0.4 Selüloz Nitrat Kaplanmış Bac Mu®.....	152
Şekil 4.62. Kapalı Devreli Dolaşımlı Sistemde, Birim Aktif Karbon Miktarı Başına Adsorplanan Vitamin B-12 Miktarının (X/M) Zamanla (t) Değişimine, Kolon Çapının Etkisi, Kaplanmamış Bac Mu®.....	153
Şekil 4.63. Kapalı Devreli Dolaşımlı Sistemde, Birim Aktif Karbon Miktarı Başına Adsorplanan Vitamin B-12 Miktarının (X/M) Zamanla (t) Değişimine, Kolon Çapının Etkisi, % 0.4 Selüloz Nitrat Kaplanmış Bac Mu®.....	154
Şekil 4.64. Kapalı Devreli Dolaşımlı Sistemde, Birim Aktif Karbon Miktarı Başına Adsorplanan Kreatinin Miktarının (X/M) Zamanla (t) Değişimine, Polimerik Kaplamanın Etkisi.....	155
Şekil 4.65. Kapalı Devreli Dolaşımlı Sistemde, Birim Aktif Karbon Miktarı Başına Adsorplanan Kreatinin Miktarının (X/M) Zamanla (t) Değişimine, Polimerik Kaplamanın Etkisi.....	156
Şekil 4.66. Kapalı Devreli Dolaşımlı Sistemde, Birim Aktif Karbon Miktarı Başına Adsorplanan Kreatinin Miktarının (X/M) Zamanla (t) Değişimine, Polimerik Kaplamanın Etkisi.....	157
Şekil 4.67. Kapalı Devreli Dolaşımlı Sistemde, Birim Aktif Karbon Miktarı Başına Adsorplanan Vitamin B-2 Miktarının (X/M) Zamanla (t) Değişimine, Polimerik Kaplamanın Etkisi.....	158

**ŞEKİLLER DİZİNİ**  
(Devam Ediyor)

	<u>Sayfa</u>
Şekil 4.68. Kapalı Devreli Dolaşımlı Sistemde, Birim Aktif Karbon Miktarı Başına Adsorplanan Vitamin B-2 Miktarının ( $X/M$ ) Zamanla ( $t$ ) Değişimine, Polimerik Kaplamanın Etkisi.....	159
Şekil 4.69. Kapalı Devreli Dolaşımlı Sistemde, Birim Aktif Karbon Miktarı Başına Adsorplanan Vitamin B-2 Miktarının ( $X/M$ ) Zamanla ( $t$ ) Değişimine, Polimerik Kaplamanın Etkisi.....	160
Şekil 4.70. Kapalı Devreli Dolaşımlı Sistemde Birim Aktif Karbon Miktarı Başına Adsorplanan Vitamin B-12 Miktarının ( $X/M$ ) Zamanla ( $t$ ) Değişimine Polimerik Kaplamanın Etkisi.....	161
Şekil 4.71. Kapalı Devreli Dolaşımlı Sistemde, Birim Aktif Karbon Miktarı Başına Adsorplanan Vitamin B-12 Miktarının ( $X/M$ ) Zamanla ( $t$ ) Değişimine, Polimerik Kaplamanın Etkisi.....	162.
Şekil 4.72. Kapalı Devreli Dolaşımlı Sistemde, Birim Aktif Karbon Miktarı Başına Adsorplanan Vitamin B-12 Miktarının ( $X/M$ ) Zamanla ( $t$ ) Değişimine, Polimerik Kaplamanın Etkisi.....	163
Şekil 4.73. Geliştirilen Kolon Boyut Büyütme Yöntemi.....	167
Şekil 4.74. Sulu Fazda, Kapalı Devreli Dolaşımlı Sistemde, Kolon Parçalarında Adsorplanan Kreatinin Miktarının $[F(C_g - C_c)]$ Zamanla ( $t$ ) Değişimi, % 0.4 Selüloz Nitratla Kaplanmış Bac Mu <sup>®</sup> .....	169
Şekil 4.75. Sulu Fazda, Kapalı Devreli Dolaşımlı Sistemde, Kolon Parçalarında Birim Aktif Karbon Miktarı Başına Adsorplanan Kreatinin Mikta- rinin ( $X/M$ ) Zamanla ( $t$ ) Değişimi, % 0.4 Selüloz Nitrat Kaplanmış Bac Mu <sup>®</sup> .....	171

**ŞEKİLLER DİZİNİ**  
**(Devam Ediyor)**

Sayfa

Sekil 4.76. Sulu Fazda,Kapalı Devreli Dolaşımı Sistemde, Kreatinin Konsan trasyonunun (C) Kolon Boyunca (L) Değişimine, Zamanın Etkisi.....	172.
Sekil 4.77. Sulu Fazda, Kapalı Devreli Dolaşımı Sistemde, Kolon Parçalarının Teker Teker Baglandığı Durumda, Herbir Kolon Parçasında Adsorplanan Kreatinin Miktarının $[F(C_g - C_f)]$ Zamanla (t) Değişimi, % 0.4 Selüloz Nitrat Kaplanmış Bac Mu <sup>®</sup> .....	173
Sekil 4.78. Sulu Fazda, Kapalı Devreli Dolaşımı Sistemde, Kolon Parçalarının Teker Teker Baglandığı Durumda, Herbir Kolon Parçasında Birim Aktif Karbon Miktarı Başına Adsorplanan Kreatinin Miktarının (X/M) Zamanla (t) Değişimi,% 0.4 Selüloz Nitrat Kaplanmış Bac Mu <sup>®</sup> .....	174
Sekil 4.79. Sulu Fazda,Kapalı Devreli Dolaşımı Sistemde,Adsorplanan Toplam Kreatinin Miktarının (X) Zamanla (t) Değişimine, Kolon Bağlama Yönteminin Etkisi, % 0.4 Selüloz Nitrat Kaplanmış Bac Mu <sup>®</sup> .....	175
Sekil 4.80. Kolon Bağlama Yöntemlerinin Karşılaştırılması,% 0.4 Selüloz Nitrat Kaplanmış Bac Mu <sup>®</sup> .....	176
Sekil 4.81. Kesikli Karıştırmalı Sistemde, Kan Fazında (In-Vitro), Kreatinin Konsantrasyonunun (C) Zamanla (t) Değişimine, Birim Aktif Karbon Miktarı Başına Kullanılan Kan Miktarının ( $V_k/M$ ) Etkisi, % 0.4 Selüloz Nitrat Kaplanmış Bac Mu <sup>®</sup> .....	178

**ŞEKİLLER DİZİNİ**  
(Devam Ediyor)

Sayfa

Şekil 4.82. Kesikli Karıştırmalı Sistemlerde, Kan-Su Fazlarının Eşit Adsorption Kapasitesine ve Hızına Ulaştıkları, Birim Aktif Karbon Miktarı Başına Kullanılan Sıvı Faz Miktarlarında ( $V_{d,k}/M$ ), Kreatinin Konsantrasyonunun (C) Zamanla (t) Değişimi, % 0.4 Selüloz Nitrat Kaplanmış Bac Mu®.....	179
Şekil 4.83. Kan Fazında (In-Vitro), Kesikli Karıştırmalı Sistemde Birim Aktif Karbon Miktarı Başına Adsorplanan Kreatinin Miktarının (X/M), Zamanla ( $t^{1/2}$ ) Değişimine Birim Aktif Karbon Miktarı Başına Kullanılan Kan Miktarının ( $V_k/M$ ) Etkisi, % 0.4 Selüloz Nitrat Kaplanmış Bac Mu®.....	180
Şekil 4.84. Kan Fazında (In-Vitro), Kesikli Karıştırmalı Sistemde, Adsorpsiyon Hızının (k), Birim Aktif Karbon Miktarı Başına Kullanılan Çözelti Miktarı ile ( $V_k/M$ ) Değişimi, % 0.4 Selüloz Nitrat Kaplanmış Bac Mu®.....	181
Şekil 4.85. Kan Fazında (In-Vitro), Kesikli Karıştırmalı Sistemde, Kreatinin Konsantrasyonunun (C) Birim Aktif Karbon Miktarı Başına Adsorplanan Kreatinin Miktarı (X/M) ile Değişimine Zamanın (t) Etkisi, % 0.4 Selüloz Nitrat Kaplanmış Bac Mu®.....	182
Şekil 4.86. Kan Fazında (In-Vitro), Kesikli Karıştırmalı Sistemde, Birim Aktif Karbon Miktarı Başına Kullanılan Çözelti Miktarının ( $V_k/M$ ) Birim Aktif Karbon Miktarı Başına Adsorplanan Kreatinin Miktarı (X/M) ile Değişimine, Zamanın (t) Etkisi, % 0.4 Selüloz Nitrat Kaplanmış Bac Mu®.....	183

**SEKİLLER DİZİNİ**  
(Devam Ediyor)

Sayfa

Şekil 4.87. Kan Fazında (In-Vitro), Kesikli Karıştırmalı Sistemde, Kreatinin Konsantrasyonunun (C) Zamanla (t) Değişimine, Hemotokrit ve Kan Türünün Etkisi, % 0.4 Selüloz Nitrat Kaplanmış Bac Mu® .....	184
Şekil 4.88. Kan Fazında (In-Vitro), Kesikli Karıştırmalı Sistemde, Kreatinin Konsantrasyonunun (C) Zamanla (t) Değişimine, Hemotokrit ve Kan Türünün Etkisi, % 0.4 Selüloz Nitrat Kaplanmış Bac Mu® .....	185
Şekil 4.89. Kapalı Devreli Dolaşımlı Sistemde, Su ve Kan Fazlarındaki (In-Vitro), Kreatinin Konsantrasyonunun (C), Zamanla (t) Değişimi.....	186
Şekil 4.90. Kan Fazında (In-Vitro), Kesikli Karıştırmalı Sistemlerde, Trombosit Sayısının ( $N_T$ ) Zamanla (t) Değişimi.....	188
Şekil 4.91. Kan Fazında (In-Vitro), Kesikli Karıştırmalı Sistemlerde, Eritrosit Sayısının ( $N_E$ ), Zamanla (t) Değişimi.....	189
Şekil 4.92. Kan Fazında (In-Vitro), Kesikli Karıştırmalı Sistemlerde, Lökosit Sayısının ( $N_L$ ), Zamanla (t) Değişimi.....	190
Şekil 5.1. Önerilen Hemoperfüzyon Kolon ve Sistem Tasarım Yöntemi.....	194
Şekil A1. Standart Kreatinin Eğrisi, Sulu Faz.....	204
Şekil A2. Standart Ürik Asit Eğrisi, Sulu Faz.....	205
Şekil A3. Standart Vitamin B-2 Eğrisi, Sulu Faz.....	207
Şekil A4. Standart Vitamin B-12 Eğrisi, Sulu Faz.....	208
Şekil B1. Standart Kreatinin Eğrisi, Kan Fazı.....	209

## ÇİZELGELER DİZİNİ

	<u>Sayfa</u>
Çizelge 2.1. Aktif Karbon Gözeneklerinin Özellikleri.....	12
Çizelge 2.2. Aktif Karbon Üretiminde Kullanılan Hammaddeler.....	15
Çizelge 2.3. Membranların Yapısal Olarak Sınıflandırılması.....	25
Çizelge 3.1. Aktif Karbonu Polimerik Membranla Kaplama Yönteminin Geliştirilmesinde İncelenen Çeşitli İşlemler.....	50
Çizelge 3.2. Polimerik Kaplama Çözeltilerinin Bileşimleri.....	51
Çizelge 3.3. Sulu Faz Kapalı Devreli Dolaşımlı Sistemde Kullanılan Hemoperfüzyon Kolonlarının Özellikleri.....	56
Çizelge 3.4. Birinci Boyut Büyütme Basamağı Sonrasında Yapılan Adsorpiyon Deneylerinde Kullanılan Hemoperfüzyon Kolonlarının Özellikleri.....	58
Çizelge 3.5. In-Vitro Kan Deneylerinde Kolon Çapı Optimizasyonu İçin Kullanılan Hemoperfüzyon Kolonları.....	65
Çizelge 4.1. Aktif Karbonların Freundlich Katsayıları.....	72
Çizelge 4.2. Aktif Karbonların Toplam Yüzey Alanları.....	73
Çizelge 4.3. Aktif Karbonların Kül Miktarları.....	74
Çizelge 4.4. Aktif Karbonların Aşınma Kayıpları.....	74
Çizelge 4.5. Polimerik Kaplamanın Aktif Karbon Toplam Yüzey Alanına Etkisi.....	87
Çizelge 4.6. Bac Mu® Aktif Karbonunun Elek Analizi.....	92

**ÇİZELGELER DİZİNİ**  
(devam ediyor )

	<u>Sayfa</u>
Çizelge 4.7. Sulu Fazda, Kesikli ve Karıştırmalı Sistemlerde, Birim Aktif Karbon Miktarı Başına Adsorplanan Kreatinin Miktarları ( $t=240$ . dak).....	93
Çizelge 4.8. Toplam Kütle Transfer Hızlarına Kolon Boyutları ve Akış Hızının Etkisi.....	116
Çizelge 4.9. Kütle Transfer Hızlarına Kaplama Kalınlığının Etkisi.....	118
Çizelge 4.10. Özelti Hacimsel Akış Hızının Kesişme ve Kopma Zamanlarına Etkisi.....	130
Çizelge 4.11. Birinci Kolon Büyütme Basamağında Kullanılan ve Ulaşılan Kolon ve Sistem Parametreleri.....	146
Çizelge 4.12. Büyütülmüş Kolonda Adsorpsiyon Deneyleri İçin Kullanılan Sistemler.....	147
Çizelge 4.13. Boyut Büyütme Basamaklarında Kullanılan ve Ulaşılan Kolon ve Sistem Parametreleri.....	155
Çizelge 4.14. In-Vitro Kan Deneylerinde Kullanılan Kesikli Karıştırmalı Sistemlerde Adsorplanan Kreatinin Miktarları ( $t=240$ dak).....	179
Çizelge 4.15. Kolon Çapı Optimizasyon Deneylerinde Kullanılan Kolon ve Sistemler.....	187
Çizelge 4.16. Kolon Çapı Optimizasyon Deneylerinde Kullanılan Mini Sistemlerden, Boyut Büyütme Yöntemi ile Elde Edilen , Orjinal Hemoperfüzyon Kolon ve Sistem Boyutları.....	192

## SİMGELER VE KISALTMALAR DİZİNİ

### SİMGELER

- a: Birim ağırlıktaki aktif karbon dış yüzey alanı,  $\text{cm}^2/\text{gram aktif karbon}$ .
- A: Kolondaki aktif karbon toplam dış yüzey alanı  $\text{cm}^2$
- b: Sabit bir katsayı, Adsorpsiyon entalpisi ile ilgilidir.
- C: Adsorbat konsantrasyonu,  $\text{mg adsorbat/litre}$ .
- $C_c$ : Kolondan çıkış konsantrasyonu,  $\text{mg adsorbat/litre}$ .
- $C_d$ : Aktif karbon ile dengedeki sıvı fazdaki adsorbat konsantrasyonu,  
 $\text{mg adsorbat/litre}$ .
- $C_g$ : Kolona giriş konsantrasyonu,  $\text{mg adsorbat/litre}$ .
- $C_0$ : Adsorbat başlangıç konsantrasyonu,  $\text{mg adsorbat/litre}$ .
- $C_{\text{ort}}$ : Kolondaki logaritmik ortalama adsorbat konsantrasyonu,  
 $\text{mg adsorbat/litre}$ .
- D: Kolon çapı, mm.
- D.A.K.H.A.: Aktif karbon hacim-yüzey ortalama partikül çapı, mm.
- $D_n$ :  $(n-1)$ . elek ile  $(n)$ . elek aritmetik gözenek çapları ortalaması, cm.
- $E_I$ : İlk adsorplanan tabakanın adsorpsiyon ısısı.
- $E_L$ : Normal yoğunlaşma ısısı
- F: Çözeltili veya kan hacimsel akış hızı, ml/dak.
- F': Konsantrasyonu giriş konsantrasyonuna eşit olduğu varsayılan çözeltili hacimsel  
akış hızı, ml/dak.
- F'': Konsantrasyonu sıfır olan çözeltili hacimsel akış hızı, Temizlenme Hızı, ml/dak.
- J: Küresel partiküller için 1'e eşit olan hacimsel şekil faktörü, boyutsuz.
- k: Weber yönteminde adsorpsiyon hızı,  $\text{mg adsorbat/gram aktif karbon. dak}^{1/2}$
- K: Kütle transfer katsayısı,  $\text{ml/cm}^2 \text{dak}$

**SİMGELER VE KİSALTMALAR DİZİNİ**  
**(Devam ediyor)**

- KA: Toplam kütle transfer katsayısı, ml/dak.
- K<sub>f</sub>: Freundlich katsayı, boyutsuz.
- K<sub>k</sub>: Katı faz kütle transfer katsayısı, ml/cm<sup>2</sup> dak.
- K<sub>s</sub>: Sıvı faz filminin kütle transfer katsayısı, ml/cm<sup>2</sup>dak
- L: Kolon boyu, mm.
- m<sub>1</sub>: Adsorpsiyon hızının (k) birim aktif karbon miktarı başına kullanılan çözelti miktarı ile ( $V_d/M$ ) değişim grafigindeki doğrusal ilişkinin eğimi.  
 $\text{mgadsorbat/ml dak}^{1/2}$
- m<sub>2</sub>: Adsorpsiyon hızının (k) birim aktif karbon miktarı başına kullanılan kan fazı miktarı ile ( $V_k/M$ ) değişim grafigindeki doğrusal ilişkinin eğimi.  
 $\text{mgadsorbat/ml dak}^{1/2}$
- M: Kolondaki toplam aktif karbon miktarı, gram aktif karbon.
- n: Freundlich katsayı, boyutsuz.
- N: Partikül sayısı, partikül/ml
- N<sub>A,k</sub>: Birim ağırlıktaki aktif karbonun partikül sayısı, partikül /gram aktif karbon.
- N<sub>E</sub>: Eritrosit sayısı, [N<sub>E</sub>]₀ başlangıç değeri, adet/mm<sup>3</sup>.
- N<sub>L</sub>: Lökosit sayısı, [N<sub>L</sub>]₀ başlangıç değeri, adet/mm<sup>3</sup>.
- N<sub>T</sub>: Trombosit sayısı, [N<sub>T</sub>]₀ başlangıç değeri, adet/mm<sup>3</sup>.
- P: Gazın dengede eylemsiz gazdaki kısmi basıncı
- P<sub>eL</sub>: Boyca Pectlet sayısı, boyutsuz.
- P<sub>s</sub>: Gazın deney sıcaklığındaki buhar basıncı.
- R<sub>kattı</sub>: Katı faz kütle transfer direnci, dak cm<sup>2</sup>/ml
- R<sub>sıvı</sub>: Sıvı faz filminin kütle transfer direnci, dakcm<sup>2</sup>/ml

**SİMGELER VE KISALTMALAR DİZİNİ**  
**(Devam ediyor)**

$R_{top}$ : Toplam kütte transfer direnci,  $\text{dak cm}^2/\text{ml}$

$S$ : Boş kolon kesit alanı,  $\text{cm}^2$

$t$ : Zaman, dak.

$t_{kes}$ : Kesikli karıştırmalı sistem ve kapalı devreli dolaşımı sistem adsorpsiyon eğrilerinin "Kesişme Zamanı", dak.

$t_{kop}$ : Akış limit eğrisi [ $C = C_0 \exp(-t/t_d)$ ] ile kapalı devreli dolaşımı sistem adsorpsiyon eğrilerinin birbirlerinden ayrıldığı "Köpme Zamanı", dak.

T.H.: Temizlenme hızı,  $\text{ml/dak}$ .

$U$ : Boş kolonda çözelti çizgisel akış hızı,  $\text{cm/dak}$ .

$U_k$ : Boş kolonda kan fazın çizgisel akış hızı,  $\text{cm/dak}$ .

$V$ : Sabit sıcaklıkta adsorplanan gazın hacmi ( $0^\circ\text{C}$ ,  $760 \text{ mmHg}$ 'de)/ adsorbat ağırlığı.

$V_d$ : Sulu fazın ana depo hacmi,  $\text{ml}$  veya litre.

$V_k$ : Kan fazının ana depo hacmi,  $\text{ml}$  veya litre.

$V_{kolon}$ : Kolon hacmi,  $\text{cm}^3$

$V_m$ : Yüzeyi tek tabaka ile kaplayacak gaz hacmine eşit empirik bir sabit.

$V_{top}$ :  $t$  anına kadar kolondan geçen sıvı hacmi, ( $F.t$ ),  $\text{ml}$  veya litre.

$V_d/M$ : Birim aktif karbon miktarı başına kullanılan çözelti miktarı,  $\text{ml/gram aktif karbon}$ .

$V_k/M$ : Birim aktif karbon miktarı başına kullanılan kan fazı miktarı,  $\text{ml/gram aktif karbon}$ .

$q_d$ : Dengede birim adsorban ağırlığı başına adsorplanan adsorbat miktarı,  $\text{mg adsorbat/gram adsorban}$ .

**SİMGELER VE KISALTMALAR DİZİNİ**  
**(Devam ediyor)**

$Q^0$ :  $q_d$ 'nın maksimum değeri. Yüzeyde tam bir tek tabaka oluşturmak için adsorbanın birim ağırlığı başına adsorplanan adsorbat miktarı, mg adsorbat/ gram adsorban.

$dW$ : Kolonda adsorbat adsorblanma hızı, mg adsorbat/dak.

$x$ : Gazın bağıl doygunluğu, ( $x = P/P_s$ )

$X$ : Adsorplanan adsorbat miktarı, mg.

$X/M$ : Birim aktif karbon miktarı başına adsorplanan adsorbat miktarı,  
mg adsorbat/gram aktif karbon.

$\beta$ : Bir katsayı, boyutsuz.

$\Delta\phi_n$ : ( $n-1$ ). elegi geçen, ( $n$ ). elegin üstünde kalan örneğin kütte kesri.

$\Psi$ : Küresel partiküller için 1'e eşit olan şekil faktörü, boyutsuz.

$\eta$ : Kan hücresel eleman kaybının hasta tarafından tolere edilebileceği sınır,  
boyutsuz.

$\rho_p$ : Aktif karbon partikül yoğunluğu, gram aktif karbon/cm<sup>3</sup>

$\rho_{kolon}$ : Birim kolon hacmindeki dolgu miktarı, gram aktif karbon/cm<sup>3</sup>.

$t_d$ : Ana depoda çözelti alikonma süresi, dak.

$t_k$ : Ana depoda kan alikonma süresi, dak.

$t_{kolon}$ : Boş kolonda çözelti alikonma süresi, dak.

$\Omega$ : Bir ampirik sabit.

$\gamma$ : Sıvı faz değişim katsayısı, sulu faz ve kan fazı kesikli karıştırılmış-  
kapalı devreli dolaşım sistemlerinde  $V_k/M$ 'nin  $V_d/M$ 'ye oranı, boyutsuz.

SİMGELER VE KISALTMALAR DİZİNİ  
(Devam ediyor)

**KISALTMALAR**

A.A.: Akrilik asit

A.C.A.C.: Albumin-kollodion kaplı aktif karbon (Albumin Collodion coated Activated Carbon)

A.K.: Aktif karbon

A.N.: Akrilonitril

C.A.K.: Kompozit suni böbrek sistemi (Composite Artificial Kidney)

D.M.A.E.M.A.: Dimetilamino etilmetakrilat

D.M.F.: Dimetilformamid

N.B.M.A.: N-Butilmetakrilat

K. D. D.S.: Kapalı devreli dolaşımlı sistem

K. K. S.: Kesikli karıştırmalı sistem

poliHEMA: Polihidroksetilmetakrilat

P.A.N.: Poliakrilonitril

P.C.: Polikarbonat

P.V.A.: Polivinilalkol

P.V.C.: polivinilklorür

P.V.F.: polivinilidinförür

S. N.: Selüloz nitrat

T.H.F.: Tetrahidrofuran.

## 1. GİRİŞ VE ÇALIŞMANIN AMACI

Endojen ve eksojen toksinleri vücuttan uzaklaştıran böbrek, ve buna bağlı boşaltım sistemleri fonksiyonlarının yavaşlaması veya tamamen durması sonucunda meydana gelen hastalıklar tüm dünyada olduğu gibi Türkiye'de de sağlık problemleri içinde önemli bir yer tutmaktadır. Çeşitli ülkelerde yapılan istatistikler, böbrek yetmezliği teşhisi ile hayatını kaybedenlerin toplam nüfusa oranının % 0.15 - 0.91 arasında değiştigini ve yalnız Avrupa'da her yıl 160.000'den fazla hastanın hayatını kaybettiğini göstermektedir.

Günümüzde çalışma prensipleri ultrafiltrasyon, diyaliz, adsorpsiyon, iyon alışverişesi, elektrodiyaliz gibi kimya mühendisliği birim işlemlerine dayanan suni böbrek cihazlarıyla bu hastaların hayatlarının devamlı sağlanmakta, çeşitli organlardan kana verilen metabolizma artıkları ve/veya vücut dışından kana karışan zehirli maddeler uzaklaştırılabilmektedir [1, 2].

Suni böbrek sistemleri denilince ilk akla gelen şüphesiz hemodiyalizdir. Hemodiyalizde, hasta kanı yarı geçirgen membran bulunan bir diyaliz ünitesinden perfüze edilir. Membranın bir yanından hasta kanı dolaştırılırken diğer taraftan bileşimi ayarlanabilen diyaliz çözeltisi akışılır. Kandaki toksikler kandan çözelti yönüne diyalizle uzaklaştırılır. Bu proses oldukça uzundur, bunun sonucu hastaların haftada ortalama 2-3 kez 6-8 saat diyaliz edilmeleri gerekmektedir. Bu husus sistemin en önemli dezavantajlarından birisidir. Hemodiyaliz sisteminde tek kullanımlık ve çok pahalı elementlerin yanı sıra diyaliz makinası yatırım maliyeti de çok yüksektir. Ayrıca hastahane işletme ve bakım masrafları da sistemin yaygın olarak kullanılmasını engelleyen önemli ekonomik dezavantajlardır. Oysa, diyaliz süresi 6-8 saat yerine aynı etkiyi sağlayacak şekilde 1-2 saatte indirilebilirse başka bir ifade

ile sistemin etkinliği artırılabilsse bir diyaliz makinasına bağlanabilen hasta sayısı en az 2-3 misli artacaktır. Bu da kolaylıkla değerlendirileceği gibi önemli ekonomik avantajları yanında hemodiyaliz uygulama süresinin kısaltılmasıyla sisteme bağlı olarak hayatlarını sürdürün hastaların moralleri üzerinde olumlu etkiler yaratacaktır.

Hemodiyalize alternatif yöntemlerden birisi de, şiddetli ilaç zehirlenmesi olaylarında, akut ve kronik böbrek, karaciger yetmezliklerinde etkin olarak kullanılan hemoperfüzyondur. Tedavide hasta kanı bu sistemin en önemli elemanı olan aktif karbon dolgulu kolonlardan perfüze edilirken kandaki toksik maddeler aktif karbon üzerinde hızla adsorbe edilerek hasta hayatı kurtarılır.

Yatzidis tarafından 1964 yılında klinik olarak ilk defa uygulanan hemoperfüzyon, başlangıçta sadece granül aktif karbon içeren bir adsorpsiyon sistemi olarak ortaya çıkmıştır [3]. Ancak klinik uygulamalar sonucunda kaplanması aktif karbonla temas eden kan hücresel elemanlarında büyük oranda deformasyon ve kayıp yanında karbon granüllerinden kopan zerreçiklerin yarattığı emboli oluşumları rapor edilmiştir [4,5]. 1966 yılında yine Yatzidis tarafından söz konusu aktif karbonlar (A.K) selüloz asetatla kaplanarak tüm yan etkileri minumuma indirecek önemli bir yaklaşım yapılmış [6] ve hemoperfüzyon sistemi hızla gelişmeye başlamıştır.

Günümüzde bu yan etkilerin giderilmesi için, aktif karbon granülleri, kanla uyuşabilen selüloz asetat, kollodion, selüloz, modifiye akrilik hidrojeller, çapraz bağlı jelatin gibi çeşitli polimerlerle 0.05-0.3  $\mu\text{m}$  kalınlıklarda kaplanmaktadır [7,8].

Yaklaşık 10-15 senedir detoksifiye edici olarak ticari amaçla satılan hemoperfüzyon sistemleriyle ilgili üretim bilgilerinin hepsi patent literatüründe yer almaktadır. Konu ile ilgili bilgiler yeni ve gizli olduğu için hemoperfüzyon kolonları günümüzde maliyetinin çok üstünde fiyatlarla (500 DM) satılmaktadır.

Bu çalışmanın amacı aktif karbon dolgulu hemoperfüzyon kolon tasarımlına etkiyen parametrelerin bulunarak bunların ışığı altında genel bir hemoperfüzyon sistemi modelleme yönteminin oluşturulmasıdır.

Çalışmanın ilk basamağında sisteme en uygun adsorbanın seçilmesi için yabancı kaynaklı Norit RBXS-1(Norit, Hollanda) ve Bac Mu® (Kureha, Japonya) aktif karbonlarının kesikli karıştırılmış sistemde kreatinin, Ürik asit, vitamin B-2 ve vitamin B-12 gibi izleyicilerle adsorpsiyon kapasitesi ve Freundlich parametreleri saptanmıştır. Ayrıca bu aktif karbonların yüzey alanı, kül miktari, kırılganlığı, aşınma mukavemeti, temizliği ve yıkanabilirliği, sterilleşme özelliği, ince partikül salınımıları tayin edilerek temel özelliklerinin hemoperfüzyon sisteme uygunluğu araştırılmıştır [9].

Çalışmanın ikinci basamağında kanla temasa geldiğinde kandaki hücresel eleman kaybını minimuma indirmek amacıyla Bac Mu® aktif karbon partikülleri selüloz nitratla kaplanmıştır. Polimerik kaplama faz dönüşümü ve ara yüzeye çöktürme yöntemlerinin modifikasyonu ile gerçekleştirilmiştir [10]. Bu aşamada aktif karbon adsorpsiyon hızının, toplam yüzey alanının, kırılganlığının ve ince partikül salınımının değişimi incelenerek polimerik kaplamaların hemoperfüzyon sisteme uygun olup olmadığı saptanmıştır [10].

Bu aşamada yapılan elek analizi yardımıyla, birim ağırlıktaki Bac Mu® aktif karbonunun dış yüzey alanı ve ortalama partikül çapı hesaplanmış, bulunan değerler kolon ve sistem tasarımında kullanılmıştır.

Çalışmanın son basamágında sulu ve in-vitro kan fazlarında yapılan deneysel çalışmalarla kolon ve sistem tasarımını gerçekleştirmiştir. Sulu fazda, kesikli karıştırmalı ve sürekli sistemlerde çalışılarak, kesikli karıştırmalı-kapalı devreli dolaşımı sistem ilişkileri, kolon boyut büyütme yöntemi [11], büyütülmüş kolonda kütte transfer bölgesinin ilerleyisi, kolon baglama yönteminin adsorpsiyon hızına ve aktif karbon-sıvı faz temas yüzey alanına etkisi belirlenmiştir. Ayrıca, kan fazında, kesikli karıştırmalı ve kapalı devreli dolaşımı sistemlerde yapılan çalışmalarla, sulu faz ile kan fazı arasındaki ilişkiler yanında, kan hücresel eleman kaybını azaltmak amacıyla, kolon çapı optimizasyonu da gerçekleştirilmiştir.

Yapılan tüm bu çalışmalar sonucunda elde edilen bulgulardan yararlanılarak, yeni bir "Hemoperfüzyon Kolon ve Sistem Tasarım Yöntemi" geliştirilmiş ve önerilmiştir.

## 2. GENEL BİLGİLER

Bu bölümde, yapılan çalışmaya ışık tutacak, konuya ilgili bilgiler sunulmuştur. İlk önce hemoperfüzyon tedavisi tanımlanmış, tarih içindeki gelişimi ve günümüzdeki uygulamaları verilmiştir. Sonraki bölümde aktif karbon özellikleri ve adsorpsiyon açıklanmıştır. Daha sonra polimerik membranlar ve hazırlanmaları ile ilgili bilgiler verilmiştir. Beşinci bölümde ise vücut sıvıları ile ilgili bilgiler ve hemoperfüzyonun kullanıldığı ortam olan kan ve özellikleri kısaca sunulmuştur. Genel bilgiler bölümünün sonunda ise, araştırma ile ilgili teorik literatür bilgisi verilmiş ve araştırmanın bu çalışmalar arasındaki yeri tartışılmıştır.

### 2. 1. HEMOPERFÜZYON

Hemoperfüzyon ilaç zehirlenmeleri ve kronik böbrek yetmezliklerinde başarıyla kullanılan bir tedavi yöntemidir [12-16]. Prensip olarak kandaki toksik maddelerin aktif karbon, reçineler veya diğer adsorbanlarda adsorbanarak uzaklaştırılması esasına dayalı olarak çalışır. Yukarıda verilen uygulamaları yanısıra karaciger yetmezliği, sizofreni, siroz vb. gibi metabolik kökenli ve nedeni tam olarak bilinmeyen hastalıkların tedavisinde ve özellikle son yıllarda kanser ve benzeri hastalıklarda patojenik antibadilerin kandan uzaklaştırılmasında da uygulanmaktadır [17-20].

Hemoperfüzyon ilk kez 1964 yılında Yatzidis tarafından uygulanmıştır [3]. Yatzidis 20 kronik 2 akut böbrek hastasında yaptığı hemoperfüzyon uygulamalarında platelet ve fibrinojen azalması ve hipertansiyon gözlendigini rapor etmiştir [3, 21]. Daha sonra Dunea ve Kolff, hemoperfüzyonu 3 öreli hasta 18 kez kullanmışlar [22], kreatinin, ürik asit ve salisilikatlar için yüksek temizlenme

hızlarına ulaştığını, ancak platelet miktarında % 50 azalma ve kolonda keklesme oluşumu gözledigini bildirmiştir.

İlk kez 1966 yılında Hangstam ve grubu tarafından ince partikül salımı üzerinde çalışmalar yapılmıştır [4]. Plastik bir hemoperfüzyon kolonuna 0.3-1.0 mm çaplı 23 gram aktif karbon doldurarak 40 tavşan üzerinde testler yapan araştırmacılar, test sonunda hayvanlar üzerinde yaptıkları patolojik incelemede, akcigerde, karacigerde, böbreklerde ve dalakta ince karbon kalıntıları bulmuşlardır.

Barakat ve McPhee'de benzeri çalışmalar sonucu yaptıkları ayrıntılı histopatolojik çalışmalarla özellikle akciger, karaciger ve böbreklerde karbon kalıntılarına rastladıklarını, ayrıca perfüzyon sırasında platelet kaybının yüksek olduğunu bildirmiştir [23].

1966 yılında yine Yatzidis yukarıda söz edilen yan etkilerin önüne geçmek üzere, 0.5-0.75 mm çaplı aktif karbonları selüloz asetat ile kaplamış ve selüloz asetat ile kaplanmış bu karbonlardan doldurduğu 200 gramlık hemoperfüzyon kolonlarını 6 akut ve 11 kronik böbrek hastasında uygulamıştır [6]. Sonuçta aktif karbonların bu şekilde kaplanması ile adsorpsiyon kapasitesinde önemli bir fark olmaksızın önceki tüm yan etkilerin önüne geçildiğini rapor etmiştir.

Rosenbaum ve arkadaşları ise selüloz asetat kaplı aktif karbon kullanarak köpekler üzerinde yaptıkları deneylerde yine trombosit ve lökosit azalması ile ince aktif karbon embolisine rastlamışlardır [24].

Andrade ve grubu tarafından aktif karbonlar ilk kez akrilik polimerler ile kapsüllenmiştir [25]. Kaplama maddesi olarak çapraz bağlı polihidroksietil-metakrilat (poliHEMA) kullanan araştırmacılar koyunlarda yaptıkları deneylerde, kullandıkları polimerik kaplamadan kanla çok iyi uyum

gösterdigini ve adsorpiyon kapasitesinin de degişmedigini bildirmișlerdir. Bir saatlik hemoperfüzyon sonucu albumin kaplanmış sistemde % 20-50'lik, poliHEMA kaplılarda ise % 20'lik bir platelet azalması olduğunu rapor etmişlerdir. Kolonda kekleşme olmadığı için de toksiklerin adsorpsiyonunun daha verimli hale geldigini de ayrıca vurgulamışlardır. Bu yaklaşım sonraki yıllarda Kuraray Co., Ltd. (Japonya) tarafından Hydron Hemoperfusion Cartridge® adıyla ticari olarak üretilen kolonlarda kullanılmıştır.

Ticari olarak üretilen poliHEMA ile kaplanmış aktif karbon içeren hemoperfüzyon kolonlarına başka bir örnekte HEMACOL® sistemidir. Bu sistem Fennimore ve arkadaşları tarafından geliştirilmiştir [26]. Kaplama kalınlığı % 2-10 arasında olan 200 g aktif karbon dolgulu bu hemoperfüzyon kolonlarında 4 saatlik hemoperfüzyon sonucu % 20 den az platelet azalması bildirilmiştir.

Strathclyde'deki biyomühendislik grubu aktif karbonun kaplanması için akrilik kopolimerler kullanmışlardır [27]. Courtney ve arkadaşlarına göre bu tür kaplamada, kopolimeri oluşturan monomerlerden biri kaplama membran direncini digeri ise seçiciliğini artırmaktadır. Bu amaçla 2 ayrı kopolimer sistemi denenmiştir. Bunlardan ilki akrilik asit (AA) ve n-bütil metakrilat (NBMA) sistemidir. Burada, metakrilat membran direncini artırırken akrilik asit de membrana seçicilik sağlamaktadır. Bu polimerin etilen oksit ile reaksiyon vererek daha yüksek hidrosilik yapıya ulaştığı, ve kanla uyuşabiliğinin arttığı rapor edilmiştir.

Strathclyde Biyomühendislik Grubu tarafından kullanılan ikinci kopolimer ise dimetilaminoetilmetakrilat (DMAEMA) ve akrilonitril (AN)'den oluşmaktadır [28]. Polimerizasyon sonucu AN çok kararlı bir yapı olan poliakrilonitrile (PAN) dönüşmekte ve membranın dayanıklılığı artmaktadır. Ancak bununla

kaplanmış aktif karbon dolgulu hemoperfüzyon kolonlarının % 30-40 platelet kaybına neden olduğu da yayınlanmıştır.

Selüloz asetat kaplanmış aktif karbonların alkali ile deasetillenmesi sonucu hazırlanan selüloz kaplama tekniği de ilk kez Denti grubu tarafından verilmiştir [29]. Püskürme ile % 3 oranında selüloz asetat ile kaplanan aktif karbonlar daha sonra % 45 lik KOH ile etkileştirilerek membranın geçirgenliği arttırlılmıştır.

Denti grubunun benzeri uygulama Gambro firması (İsveç) tarafından üretilen Adsorba® sistemlerinde ticari olarak kullanılmaktadır [30]. Kaplama kalınlığı % 2 olarak ayarlanan bu sistemde 2 saatlik hemoperfüzyon sonucu hemen hemen hiç platelet kaybının olmadığı görülmüştür. Bundan başka ince partikül salınımının da tamamen önlediği bildirilmiştir.

Amano ve arkadaşları da petrol türevlerinden üretilen 0.6 mm çaplı küresel aktif karbonları 0.5  $\mu\text{m}$  kalınlığında selüloz nitrat (kollodion) ile kaplamışlardır [31]. Kullandıkları aktif karbonların benzerlerine göre daha sert, daha parlak ve adsorpsiyon kapasitesinin daha yüksek olduğunu belirten araştırmacılar, özellikle orta büyüklükteki moleküller için in-vitro çalışmalarda çok iyi sonuç aldıklarını bildirmiştir.

Rostock grubu (Doğu Almanya) tarafından kloroform ve etanol karışımında (9:1 hacim oranı) çözülmüş selüloz asetat ile ağırlıkça % 0.5-1.0 oranında püskürme ile kaplanmış aktif karbon granülleri, köpeklerde yapılan in-vivo çalışmalarda başarıyla uygulanmıştır [32].

Tijssen tarafından geliştirilen ve sonraki yıllarda Organon Teknika (Hollanda) tarafından pazarlanan hemoperfüzyon sisteminde, aktif karbonlar çok ince

olarak selüloz asetat kaplanmıştır [33]. Bu çalışmada kaplama kalınlığının 30 Å civarında olduğu bildirilirken kaplama yöntemi hakkında bir açıklama yapılmamıştır. Yirmibes hastaşa başarıyla uygulanan bu hemoperfüzyon kolonlarında hiçbir yan etkiye rastlanmadığı rapor edilmiştir.

Bugüne kadar kaplanmış aktif karbon hemoperfüzyonunda en geniş çalışma Chang ve arkadaşları tarafından yapılmıştır [34-43]. Chang grubu tarafından yapılan çalışmalarda kaplama malzemesi olarak naylon, kollodion, heparin+benzalkonium kompleksli kollodion, albumin-kollodion (ACAC), selüloz asetat, radyasyonla heparin bağlanmış selüloz, silikon, vb. kullanılmıştır. Tüm bu sistemler içerisinde, 0.05 µm kalınlığında selüloz nitrat kaplamaların en etkili sistem olduğu açıklanmıştır. Ayrıca selüloz nitrat kaplı aktif karbonların insan albumini ile kaplanması sonucunda kanla uyusabilirliklerinin önemli oranda arttırıldığı da rapor edilmiştir.

Bu grup tarafından son olarak geliştirilen ve 80 g kollodion kaplı aktif karbon içeren hemoperfüzyon kolonu ile kapiler fiberli hemodializ sisteminin seri bağlanması ile oluşturulmuş kompakt bir suni böbrek sistemi (Composite Artificial Kidney: CAK) Dialaid firması (Montreal, Kanada) tarafından ticari olarak üretilmeye başlanmıştır.

Piyasaya en son sunulan hemoperfüzyon sistemlerinden birisi de Nipro Hemocarbo® hemoperfüzyon kolonudur. Nissho firması tarafından üretilen bu sistemde kollodion kaplı küresel aktif karbonlar kullanılmıştır.

Detoxifier Type 1® sistemi de Shanghai (Çin) grubu tarafından geliştirilmiş olup kullanılan karbonlar çapraz bağlanmış jelatin kaplıdır [44].

Yukarıda sayılan gelişmelerin izlenmesi sonucunda hemoperfüzyon için uygun birçok sistemin olduğu görülmektedir. Bununla beraber az sayıda klinik

uygulama nedeniyle en iyi sistemin hangisi olacağı halen tartışmaya açıktır. Bundan başka piyasaya sunulan sistemlerde kullanılan yöntemler de patent konusu olup saklı tutulmaktadır.

Sunulan çalışmanın yürütüldüğü Pişkin grubu tarafından da hemoperfüzyon için aktif karbonun polimerik membranlarla kaplanması konusunda çeşitli araştırmalar yürütülmüştür [45-49]. Bu çalışmalarında aktif karbon granülleri selüloz ve türevleri, naylon, polietilenglikol, silikon, vb. gibi polimerler kullanılarak, çözücü döküm, ara yüzey kondenzasyonu,  $\gamma$ -irradiyasyonu, plazma polimerizasyonu gibi tekniklerle kaplanmış ve in-vitro deneylerde karşılaştırmalı olarak performansları araştırılmıştır. Bu çalışmaların ışığında sunulan araştırma kapsamında kaplama maddesi olarak selüloz nitrat (kollodion) seçilmiş ve kaplama yöntemi olaraka faz dönüşümü ara yüzeyde çöktürme tekniğinin izlenmesi öngörülmüştür.

## **2. 2. AKTİF KARBON**

Karbon eski çağlardan beri adsorplayıcı olarak kullanılmış bir malzemedir. Hindular tarafından içme suyunun odun kömüründen süzülmesi ve eski Mısır'da ilaç olarak kullanılması aktif karbonun yüksek adsorpsiyon özelliğinden kaynaklanmaktadır. 18. yüzyıl sonlarına doğru gaz adsorpsiyon özelliği teşhis edilen aktif karbonun ilk kullanıldığı endüstri alanı şeker endüstrisidir. 1915 yılında Almanların I. Dünya Savaşında ilk kimyasal silah olarak klor gazını kullanmaları sonucunda müttefikler tarafından hızla gaz maskesi üretimine geçilmiş ve büyük bir aktif karbon endüstrisi doğmuştur. Bu bölümde, günümüzde tıbbi uygulamaları yanında sayısız endüstriyel uygulaması da bulunan aktif karbonun genel özellikleri ve üretim yöntemi

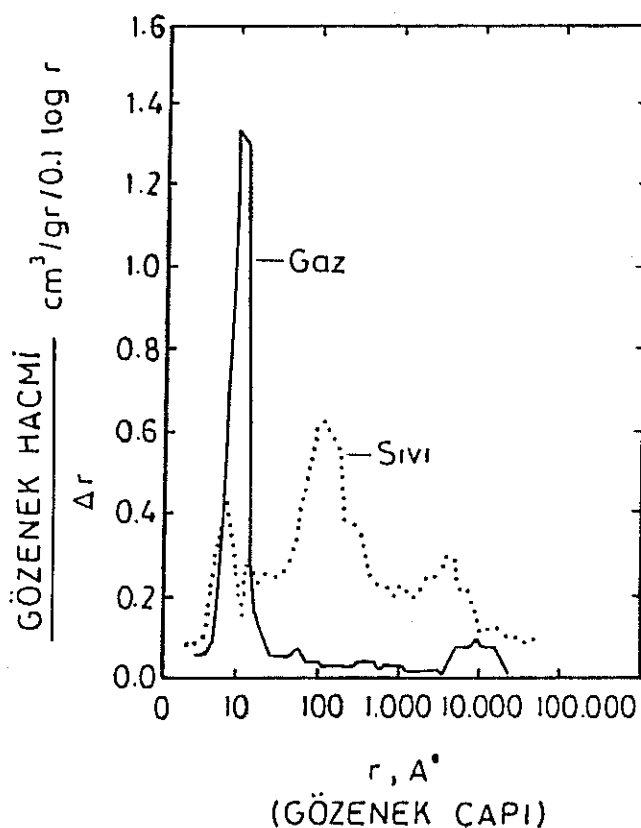
Üzerinde kısaca durulmuş, hemoperfüzyonda kullanılabilmesi için aranan özellikler belirtilmiştir.

### 2. 2. 1. AKTİF KARBONUN YAPISI

#### 2. 2. 1. a. FİZİKSEL YAPI

Aktif karbon gözenekli bir yapıya sahiptir ve gözenek boyutları üç ana grup altında incelenebilir, Çizelge 2. 1.

- Büyük gözenekler (makro-gözenekler): Etkin çapı 500-1000 Å'dan büyük gözenekler makro-gözenek olarak adlandırılırlar. Çizelge 2.1'de bu tür gözeneklerin toplam hacim ve yüzey alanı, birim aktif karbon ağırlığı başına verilmiştir. Yüzey alanı değerlerinden de görüleceği gibi makrogözeneklerin adsorpsiyonda etkisi yoktur. Ancak virus gibi büyük organik moleküllerin adsorpsiyonundan sorumlu olabilirler. En önemli görevleri adsorbsiyon maddenin aktif karbon içine ulaşmasında kanal gibi davranışlardır.
- Orta boy gözenekler: Etkin çapı 16-2000 Å arasındaki gözeneklerdir. Monomoleküler ve polimoleküler adsorbsiyon bu gözeneklerde oluşur. Çizelge 2.1'de birim aktif karbon miktarı başına toplam hacim ve yüzey alanları verilmiş olan bu büyülükteki gözeneklerin özel olarak geliştirilmesiyle 0.7 ml/g aktif karbon hacmine ve 200-450 m<sup>2</sup>/g yüzey alanına ulaşabilmektedirler.
- Küçük gözenekler (mikro-gözenekler): Büyük yüzey alana sahip oldukları için adsorbsiyonda en etkin bölgelerdir. Yüzey alanları toplam yüzey alanının % 95'i dir. Aktif karbonlarda büyük, orta boy ve küçük gözenekler birbirlerine bağlıdır ve bu bağlantı partikül dış yüzeyinden içeriye doğru yukarıdaki sırayı takip eder. Direkt olarak yüzeye açılan küçük gözenek sayısı oldukça azdır.



Şekil 2.1. Gaz ve Su Fazında Kullanılan Aktif Karbonların Gözenek Yapısı.

Çizelge 2.1. Aktif Karbon Gözeneklerinin Özellikleri.

Gözenek Türü	Etkin çap (Å)	Hacim (ml/g. A. K.)	Yüzey Alan (m²/g A.K.)
Makro	> 500 - 1000	0.2 - 0.8	0.5 - 2
Orta boy	16 - 1000	0.02 - 0.1	20 - 70
Özel boy	2000	0.7	200 - 450
Mikro	< 18 - 20	0.15 - 0.5	Toplamın % 95'i

Fiziksel yapılarına, dolayısıyla kullandıkları fazlara göre iki tip aktif karbon vardır (Şekil 2.1).

- Gaz fazında kullanılan aktif karbon
- Sıvı fazda kullanılan aktif karbon

Sekilden de görüldüğü gibi, gaz adsorplama süreçlerinde kullanılan aktif karbonun gözenekleri büyük ve küçük gözenekli bölgede çok, orta boy gözenekli bölgede azdır. Sıvı faz işlemlerinde kullanılan aktif karbon ise, bunun aksine orta boy bölgede daha çok gözeneye sahiptir.

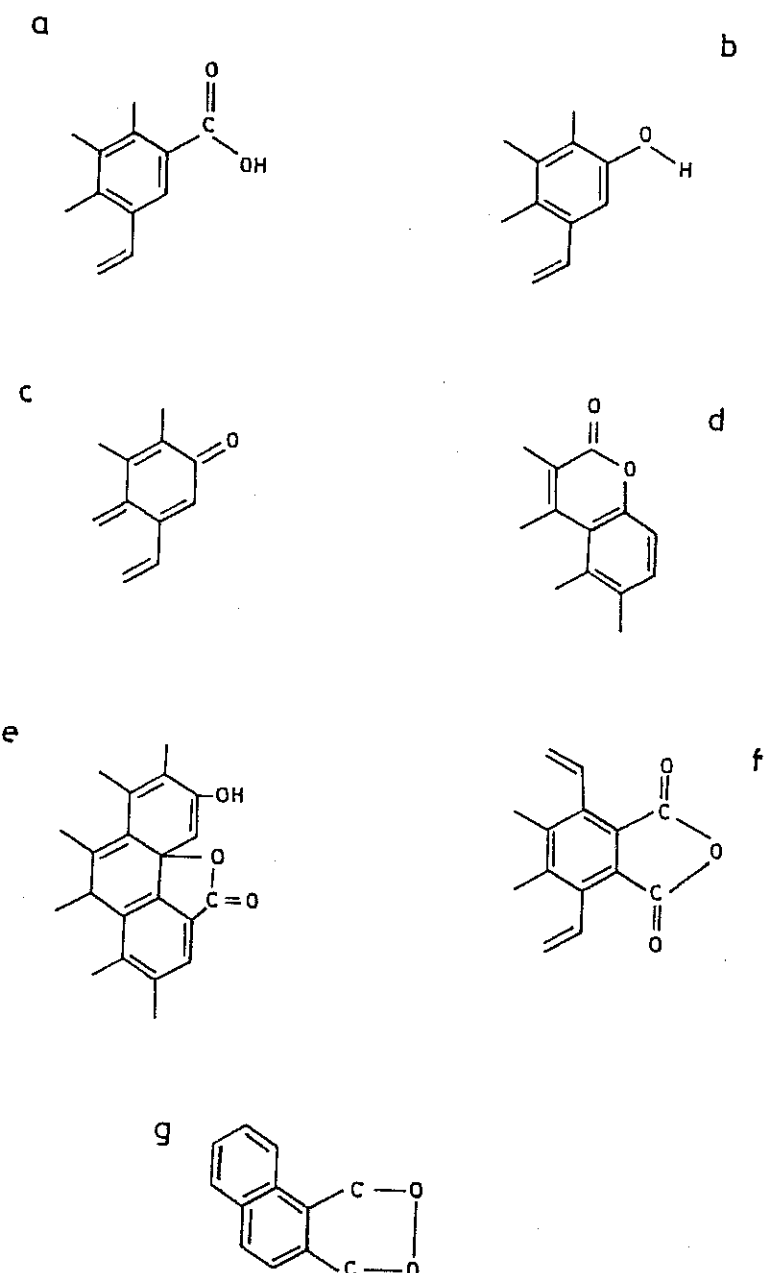
#### 2. 2. 1. b. KİMYASAL YAPI

Bazı araştırmacılar tarafından bir organik polimer olarak ele alınan aktif karbon, yapısında % 2-25 arasında O, H atomu içerir. Fiziksel yapısı grafite benzer. Ancak mikrokristalin yapıda yanmadan kaynaklanan yapı bozuklukları ve elektron dağılımı, grafite göre önemli farklılıklar meydana getirerek polar maddelerin adsorpsiyonunda önemli rol oynarlar. Hammadde veya aktivasyon ortamından kaynaklanan kimyasal bağlı H ve O atomları nedeniyle karbonun yapısı grafitten farklıdır. Küçük miktari ve küçük bileşimi de yapıyı önemli ölçüde etkileyen bir parametredir.

Aktif karbonlar Şekil 2.2'de verilen yüzey fonksiyonel gruplarına göre asidik veya bazik olarak sınıflandırılırlar. Bunlardan karboksilik, laktone ve fenolik gruplar asidik yüzey oksitleridirler. Asidik karbon (L tipi), 200-500°C'da oksijen ile reaksiyon sonucunda meydana gelir. Negatif yüzey gerilimine sahiptir. Bazik karbon (H tipi) ise, oda sıcaklığında O<sub>2</sub> ile tepkime sonucunda oluşur ve pozitif yüzey gerilimine sahiptir.

#### 2. 2. 1. c. AKTİF KARBON ÜRETİMİ

Aktif karbon yüksek oranda karbon içeren birçok hammaddeden üretilmektedir. Kullanılan hammaddeler ekonomisi yanında kullanım özellikleride göz önün alınarak seçilir. Bu amaçla kullanılan bazı hammaddeler Çizelge 2. 2'de verilmiştir.



**Şekil. 2.2. Gaz ve Su Fazında Kullanılan Aktif Karbonlarla Gözenek Yapısı.**  
(a) Karboksilik Grup; (b) Fenolik Hidroksit Grup; (c) Kinon Tipi  
Karbonil Grubu; (d) Normal Lakton Grubu; (e) Flurosein Tipi Lakton  
Grubu; (f) Karboksilik Asidin Anhidrit Grubu; (g) Siklik Peroksit Grubu.

### Çizelge 2.2. Aktif Karbon Üretiminde Kullanılan Ham Maddeler

Kan	Kemik	Kahve
Karbonhidratlar	Kağıt Hamuru Artığı	Talaş
Hindistan Cevizi Kabuğu	Deri Artıkları	Linyit
Petrol Artıkları	Polimerler	Kömür
Fındık Kabukları	Lastik Artıkları	

Aktif karbon üretimi başlıca iki ana basamakta gerçekleştirilir.

- **Karbonizasyon:** Üretimde ilk basamak hamaddenin karbonizasyonu ve saf karbona dönüştürülmesidir. Karbon bileşiginin tam yanmaması için işlem oksijensiz ortamda yapılır. İşlem sırasında hammaddede bulunan oksijenli bileşikler yapının gözenekliliğini arttırır. Bazı durumlarda da ortama konulan potasyum karbonat gibi bileşiklerle istenilen karbonizasyon ortamı sağlanabilir.
- **Aktivasyon:** Karbonizasyon sonucunda elde edilen karbona adsorpsiyon özelliklerini kazandırmak amacıyla yüzey alanının artırılması, kimyasal ve fiziksel yapısında değişiklikler yapılması gereklidir. Aktivasyon oksidasyonla meydana geldiginde, özellikler, oksitleyici gaz ve konsantrasyonu, oksidasyon sıcaklığı, aktivasyon süresi, hammaddedeki mineraller ve inorganik bileşiklere bağlı olarak değişir.

#### 2.2. 1. d. HEMOPERFÜZYONA UYGUN AKTİF KARBON ÖZELLİKLERİ

Hemoperfüzyon sisteminde kullanılacak aktif karbon, aşağıda belirtilen özelliklere sahip olmalıdır.

- Adsorban oldukça yüksek hız ve miktarda toksik madde adsorplamalıdır.

- Uygun mekanik özellikleri sayesinde emboli yanında kolonda kekleşme ve/veya kanallaşma meydana gelmemelidir.
- Adsorban (varsayıklaması) ve ekstraktları, trombojenik, toksik, pirojen etki göstermemeli, kanla uyusabilmelidir.

## 2. 3. ADSORPSİYON

### 2.3.1. ADSORPSİYON TÜRLERİ

Adsorpsiyon faz ve yüzey sınırlarında aktif çekim kuvvetlerinin etkisi ile ortaya çıkan bir yüze tutunma olayıdır. Yüzey ve yüzeye yakın bölgede yer alan moleküller arasında var olan çekim kuvvetlerinin temeli ise, bu moleküllerin çekirdek ve elektronları arasındaki elektromanyetik etkileşmelerden kaynaklanır. Katının iç kısmındaki moleküller her yönde eşit kuvvetler ile dengelenirlerken yüzeyde dengelenmemiş kuvvetler vardır. Dengelenmemiş kuvvetler ise ancak diğer bir gaz veya sıvı molekülünün yüzeye tutunması ile dengelenebilir. Bu yüzden adsorpsiyon bir denge reaksiyonuna benzer ve çözeltideki çözünenlerin, yüzeydeki kuvvetleri dengeye ulaşırana kadar, yüzeye tutunmaları ile kendini gösterir. Çözeltilerden adsorpsiyon aşağıda verilen üç ana grupta incelenebilir.

- Van der Waals adsorpsiyonu (fiziksel veya ideal adsorpsiyon): Bu tür adsorpsiyonda zayıf van der Waals kuvvetleri etkindir. Fiziksel adsorpsiyona neden olan bu kuvvetler, bir gazın sıvılaşmasına neden olan kuvvetler ile aynı türdendir. Fiziksel adsorpsiyon sonucu verilen ısı gaz yoğunluğu işleminde açığa çıkan ısının büyüğündedir. Gaz basıncı veya çözünenin konsantrasyonu düşürülerek fiziksel adsorpsiyon kolaylıkla azaltılabilir.
- Kimyasal adsorpsiyon (kemisorpsiyon): Kimyasal adsorpsiyonda adsorplanan (adsorbat) ile adsorplayan (adsorban) yüzeyi üzerindeki aktif

merkezlerde kuvvetli kimyasal bağlar oluşur. Endotermik kimyasal reaksiyonlara benzer olarak, kemisorpsiyon hızı yüksek sıcaklıklarda artar. Bu türde tek tabaklı bir adsorpsiyon oluşur. Çıkan ısı kimyasal reaksiyonlarda açığa çıkan ısı kadardır. Kimyasal adsorpsiyon genellikle tersinmezdir.

- Cözünen ile adsorban arasındaki elektriksel etkileşme sonucu adsorpsiyon: İyon değiştiricilerde de görülen, katı yüzeydeki yüklu fonksiyonel gruplar ile iyonlar arasındaki elektrostatik ilgiden kaynaklanan üçüncü bir bağ kuvvetiyle oluşur. Bu tip etkileşme literatürde yer değiştirmeye adsorpsiyonu olarak adlandırılmakta ve etkinliği aktif karbonlu sistemlerde fizikal ve kimyasal adsorpsiyondan sonra gelmektedir.

### 2. 3. 2. ADSORPSİYON İZOTERM MODELLERİ

Bir katı-sıvı arasındaki etkileşme, çözeltide kalan çözünenin konsantrasyonu, yüzeyde tutulan çözünen konsantrasyonu ile dinamik bir dengeye ulaşınca kadar sürer. Dengenin bu durumunda, çözünenin katı ve sıvı fazları arasında belirli bir dağılımı vardır. Dağılım oranı, adsorpsiyon işleminde denge durumunun bir ölçüsüdür. Adsorpsiyon dengesini belirtmek için sabit sıcaklıkta dengede çözeltide kalan çözünen konsantrasyonuna karşı katı adsorban birim ağırlığında adsorbe edilen, adsorbat, miktarı grafige geçirilir. Genellikle doğrusal olmayan bu eğriler adsorpsiyon izotermi olarak adlandırılır. Adsorpsiyon izotermelerini matematiksel olarak ifade eden başlıca üç model vardır [50].

- Langmuir modeli: Maksimum adsorpsiyonun, adsorban yüzeyinde çözünen moleküllerin doygun bir tek tabakasına karşın olduğunu ve sabit yüzey enerjisinin varlığını kabul eden bu model, aşağıdaki denklemle ifade edilir.

$$q_d = \frac{Q^0 b C_d}{(1 + b C_d)} \quad (2.1)$$

Burada,

$q_d$ : Birim adsorban ağırlığı başına adsorplanan adsorbat miktarı (mg/gram adsorban)

$C_d$ : Dengede çözeltide kalan adsorbat konsantrasyonu (mg/litre)

$b$ : Sabit bir katsayı olup adsorpsiyon entalpisi ile ilgilidir.

$Q^0$ :  $q_d$ 'nin maksimum değeri. Yüzeye tam bir tek tabaka oluşturmak için adsorbanın birim ağırlığı başına adsorplanan adsorbat miktarı (mg/gram adsorban)

- Freundlich modeli: Bu model Langmuir denklemindeki enerji ile ilgili terim  $b$ 'nin,  $q_e$ 'nin bir fonksiyonu olarak değiştiği heterojen yüzey enerjilerinin bulunduğu özel bir durumu ifade eder.

$$q_d = K_f C_d^{1/n} \quad (2.2)$$

Burada,  $K_f$  ve  $n$  Freundlich katsayıları olup  $q_d$  ve  $C_d$  Langmuir denklığında tanımlanmış olan değişkenlerdir.

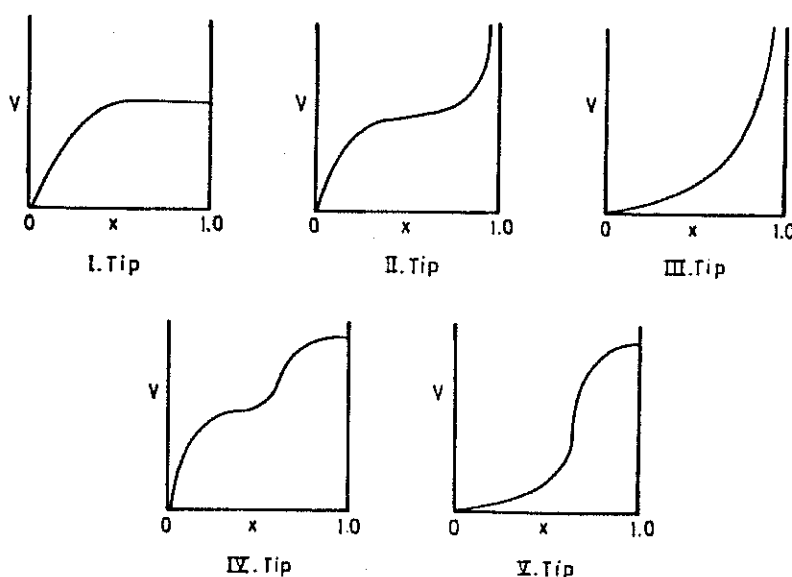
- BET (Brunauer, Emmett, Teller) modelleri: Bu modeller çok tabaka adsorpsiyonu gösteren izotermi belirtirler. Brunauer [51] gaz adsorpsiyonu gösteren izotermelerini başlıca beş ana grup altında sınıflandırmıştır, Şekil 2.3.

I. tip eğri: Adsorpsiyon tek tabakalı, eğri hiperboliktir.

II. tip eğri: Adsorpsiyon çok tabakalı, eğri S şeklindedir.

III. tip eğri: Eğri absise doğru dışbükey olup ikinci türevi pozitiftir.

Adsorpsiyon çok tabakalı olabilir. Dışbükeylik ilk tabakanın yüzeyle



Şekil 2.3. Brunauer'e Göre Gaz Adsorpsiyon İzotermi.

etkileşmesi sonucunda meydana gelmekte ve adsorpsiyon ısısının normal yoğunuma ısısından düşük olduğunu göstermektedir.

IV. tip eğri: II. Tip eğriye, düşük ve yüksek bağıl doygunluk değerlerinde benzer. Adsorplanan gaz hacminin yüksekliği kılcal yoğunma ile açıklanabilir.

V. tip eğri: Küçük ve orta büyülükteki x değerlerinde III. tip eğriye benzer ancak doyduğunda kılcal yoğunma ile belirli bir tabaka kalınlığına ulaşlığını gösterir.

İlk üç tipteki adsorpsiyon izotermi aşağıdaki denklem ile ifade edilebilir.

$$V = \frac{V_m C x}{(1-x)[1 + (C-1)x]} \quad (2.3)$$

Burada,

$V$  : Sabit sıcaklıkta adsorplanan gazın hacmi ( $0^\circ C$ ,  $760 \text{ mmHg}$ 'de)/adsorbat ağırlığı,

$x$  : Gazın bağıl doygunluğu ( $x = P/P_S$ ),

$P$  : Gazın dengede eylemsiz gazdaki kısmi basıncı,

$P_S$  : Gazın deney sıcaklığındaki buhar basıncı,

$V_m$  : Yüzeyi tek tabaka ile kaplayacak gaz hacmine eşit empirik bir sabittir.

$\Omega$  : İkinci bir empirik sabit olup aşağıdaki şekilde ifade edilmektedir.

$$\Omega = \exp(E_f - E_L) / RT \quad (2.4)$$

Burada,

$E_f$  : İlk tabakanın adsorpsiyon ısısı,

$E_L$  : Normal yoğunlaşma ısısıdır.

Burada kılcal yoğunlaşma yoktur ancak, sonsuz sayıda tabaka adsorpsiyonu söz konusu olabilir. Denklem 2.3,  $\Omega > 1$  ve  $E_f > E_L$  durumunda I. ve II. tip eğriler için,  $\Omega < 1$  ve  $E_f < E_L$  durumunda ise III. tip eğriler için kullanılabilir.  $\Omega \gg 1$  olduğunda denklik Langmuir denkligine dönüşür ve  $\Omega = b P_S$  olur.

Aşağıdaki denklükte,  $x = 0.05 - 1$  aralığında, kılcal yoğunmanın olduğu IV. ve V. tip adsorpsiyon izotermleri ifade edilebilmektedir.

$$V = \frac{(V_m x \Omega) [1 + (0.5 n g - 0.5 n)x^{n-1} - (n g + 1)x^n + (0.5 n g + 0.5)x^{n+1}]}{(1-x) [1 + (\Omega - 1)x + (0.5 \Omega g - 0.5 \Omega)x^{n-1} - (0.5 \Omega g + 0.5 \Omega)x^{n+1}]} \quad (2.5)$$

Burada

$$g = \exp(Q/RT),$$

$Q$ : Son tabaka adsorpsiyon ısısı,

$n$ : Adsorplanan tabaka sayısı.

Denklem 2.5.  $\Omega > 1$  durumunda IV. tip  $\Omega < 1$  durumunda ise V. tip eğriye uymaktadır.

### 2. 3. 3. ADSORPSİYONA ETKİ EDEN FAKTÖRLER

Adsorpsiyona etki eden çeşitli parametreler vardır. Bunlardan önemlileri aşağıda verilmiştir.

- Yüzey alanı : Adsorpsiyonun genellikle aktif yüzey alanı ile doğrudan orantılı olarak artar. Ancak bu kural her zaman geçerli değildir. Çünkü, adsorpsiyonda etkin olan alan ıslatılabilen alan olup bu hiçbir zaman toplam alana eşit degildir. Ayrıca, birçok uygulamada, adsorbat moleküllerin büyüğünü nedeniyle, yüzeyin büyük bir kısmını oluşturan küçük gözenekler kullanılmaz, dolayısıyla daha küçük aktif yüzey alanı söz konusudur.
- Moleküler yapı: Adsorbatın moleküler yapısı genellikle adsorpsiyonun derecesini etkileyen önemli bir parametredir. Kural olarak, aynı molekül büyüğüğine sahip aromatik bileşikler alifatik bileşiklerden, dallanmış zincirli bileşikler düz zincirlilerden, aynı kimyasal yapıdaki moleküllerden büyük olanlar küçüklerden daha çok adsorplanırlar. Yapıdaki polar gruplar ise, sulu çözeltilerden adsorpsiyonu azaltırlar.
- Cözünürülük: Çözünürülükteki artış, çözücü ile çözünen arasındaki yüksek afinityyi gösterir. Bu ise, adsorbanın çözünen için sahip olduğu ilgiyi azaltacak yönde bir özellikleir. Suda iyi çözünen polar gruplu bileşikler az, suda

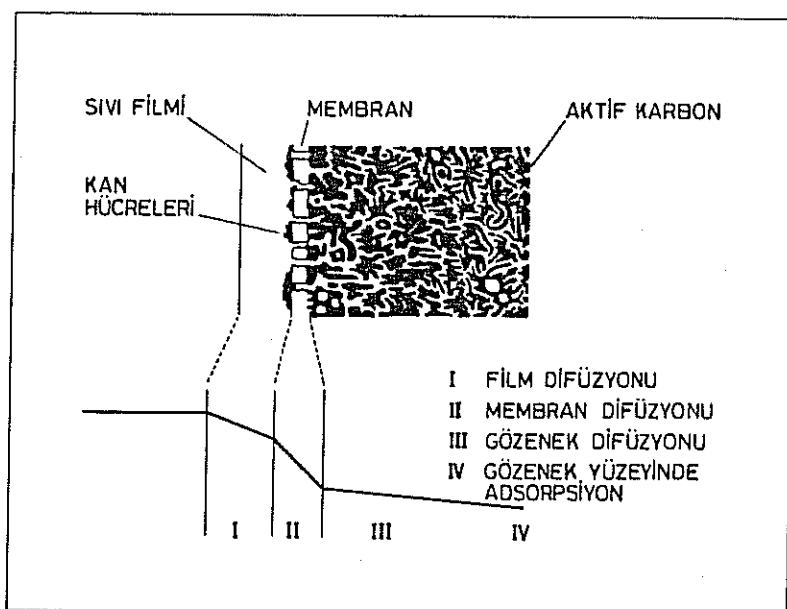
az çözünen büyük moleküllü alifatik asit ve alkoller gibi bileşikler ise yüksek oranda adsorplanırlar. Ancak bunun tam tersi olan durumlarda vardır.

- Iyonlaşma: Genellikle adsorpsiyonu azaltır. İnorganik tuz iyonlarının adsorpsiyonu çok düşüktür. İyonlaşma ile adsorpsiyon özelliği önemli ölçüde değişebilmektedir. Düşük pH değerinde organik asitlerin adsorpsiyonu artarken aynı artış organik bazlar için yüksek pH'da gerçekleşmektedir. Bu da her çözelti sistemi için bir optimum adsorpsiyon pH'ının bulunduğu göstermektedir.
- Sıcaklık: Adsorpsiyon reaksiyonu genellikle ekzotermik olduğundan yüksek sıcaklıklarda işlem yavaşlar. Ancak bu etkinin aktif karbon cinsine göre değişiklik gösterdiği de unutulmamalıdır.
- Birden fazla adsorbat bulunması: Adsorpsiyonu hızlandırabilir, yavaşlatabilir veya hiçbir etkisi olmaz.
- Cözücünün yapısı: Organik maddelerin organik çözüçülerden adsorplanması sulu çözeltilere göre daha yavaştır. Bu etki organik maddelerin organik çözücüdeki yüksek çözünürlüğünden ve çözücü adsorpsiyonunun etkin yüzeyin bir kısmını örtmesinden kaynaklanmaktadır.

## 2. 3. 4. ADSORPSİYON KİNETİĞİ

Granül aktif karbonla yapılan adsorpsiyonda işlem temel olarak aşağıda verilen beş hız basamağı sonucunda oluşur [52].

- Çözeltinin katı-sıvı etkileşmesinin sağlandığı cihazdaki dağılımı, karışması,
- Adsorbatın yüzey filminden geçerek adsorbanın dış yüzeyinde yer alması (film difüzyonu),
- Adsorbatın polimerik kaplamadan difüzlenmesi (eğer polimerik bir kaplama varsa),



**Şekil 2.4.** Polimerik Membranla Kaplanmış Aktif Karbon Yapısı ve Adsorpsiyon Hızını Sınırlayıcı Basamaklar.

- Adsorbatın adsorplayıcının iç gözeneklerinde difüzyonu (gözenek difüzyonu),
- Adsorbatın gözenek iç yüzeylerinde adsorplanması.

Adsorpsiyon hızı Şekil 2.4'de görülen basamaklar içindeki en yavaş basamak tarafından kontrol edilir ve bu basamaga hız sınırlayıcı basamak adı verilir. Yukarıdaki basamaklardan son üçünün etkisi, kullanılan aktif karbona polimerik kaplama kalınlığına, partikül boyutuna ve cinsine bağlı olarak değişebilir. Bazı durumlarda bu üç basamak tek bir değişken gibi göz önüne alınır. Adsorpsiyon hızında yavaşlama ile önemini ortaya koyan ilk hız basamağının, gerek karıştırmalı gerekse dolgulu kolonlarda etkin bir direnç oluşturmaması için cihazlarda durgun bölge oluşumu uygun bir tasarımla önlenir.

Film difüzyonu ise genellikle hız sınırlayıcı basamaklardan birisidir. Bu tabakanın kalınlığı, sıvı viskozitesi ile doğru, sıvı akış hızının karekökü ile ters orantılı olup, etkisi yüksek akış hızlarında oluşan karmaşık akış ile çok azalır veya ortadan kalkar [52].

Ideal ve sürekli karıştırmalı kesikli reaktör tiplerinde, yüksek sıvı faz akış hızlarında ve konsantrasyon çözeltilerden adsorpsiyonda, sıvı faz filminin etkisi kalkar, polimerik membran gözenegindeki difüzyon ve gözenek iç yüzeyinde adsorpsiyon basamaklarının bileşimi hız sınırlayıcı basamak olur. Sürekli akışta, sabit yataklı karbon içeren reaktörlerde ise, film difüzyonu bu üç basamakla birlikte veya yalnız başına hız sınırlayıcı basamaklı oluşturmaktadır.

## **2. 4. POLİMERİK MEMBRAN TEKNOLOJİSİ**

### **2.4.1. SENTETİK MEMBRANLARIN SINIFLANDIRILMASI**

Günümüzde Sentetik membranları sınıflandırmak için kullanılan çeşitli kriterler vardır. Membranlar:

- Homojen veya heterojen,
- Simetrik veya asimetrik yapıda,
- Elektriksel olarak yüklü veya nötr,
- Kati veya sıvı olabilirler.

Bir membranın yapısal olarak sınıflandırılmasında kimyasal, mikrokristalin ve gözenek yapı özellikleri göz önüne alınır. Geçirgenlik ve seçicilik gibi özellikleri ise fonksiyonel olarak sınıflandırılmasında kullanılır. Bu bölümde

**Çizelge 2.3. Membranların Yapısal Olarak Sınıflandırılması.**

---

**SENTETİK MEMBRANLAR**

• HETEROJEN

Simetrik

Asimetrik

Integral Asimetrik

- Homojen Zarlı

- Mikrogözenek Zarlı

Kompozit

- Homojen Zarlı

- Mikrogözenek Zarlı

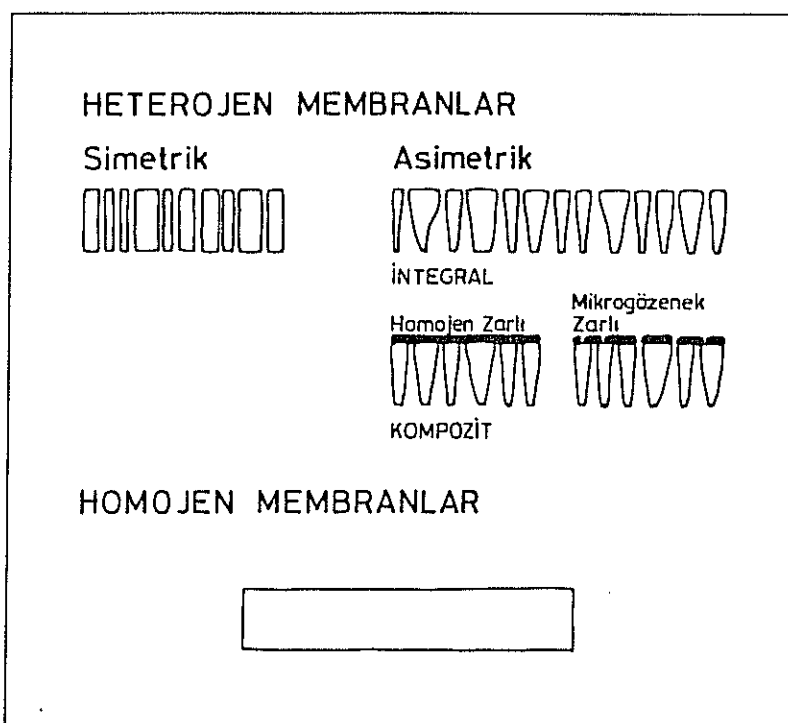
• HOMOJEN

---

mekanik, ıslı, çevre ile etkileşim gibi ikincil özelliklere de sahip olan membranların yalnızca aşağıda verilen yapısal sınıflandırılması yapılmıştır, (Çizelge 2.3).

Mikro seviyede homojen ve heterojen olarak iki ana grup altında sınıflandırılan sentetik membranların söz konusu yapısal özellikleri Sekil 2.5'de şematize edilmiştir. Çapları 5-50 nm aralığında değişen çeşitli boyutlukteki gözenekli katı bir fazdan oluşan heterojen membranları, simetrik veya asimetrik yapıda hazırlamak mümkündür. Asimetrik olanlar tek polimerden (integral) veya birden fazla polimer tabakasından oluşabilirler (kompozit). Ayrıca homojen veya heterojen yapıda ikinci bir membran tabakasına da sahip olabilirler. Membranın seçiciliğinde bu sık ancak çok ince yapıdaki polimerik tabakanın önemli görevi vardır.

İkinci grup sentetik membranlar homojen membranlar olarak adlandırılırlar. Bu türdeki membranların sürekli ve gözeneksiz bir yapıya sahip olduğu kabul



Şekil 2.5. Sentetik Membranların Yapısal Olarak Sınıflandırılması.

edilebilir. Ancak, transfer olan moleküllerin geçebilmesi için homojen membranlarda da gözenek olarak tanımlanabilecek açıklıklıkların olması gerekmektedir. Homojen polimerik membranlardan difüzyon, yeterli miktarda bölgesel boşlukların bulunabilme olasılığı ile, bunların oluşumunda belirli bir aktivasyon enerjisinin gerekliliğine dayanan "Serbest Hacim Teorisi" ile tanımlanmaktadır. Ancak buradaki serbest hacimler gözenek olarak kabul edilmezler.

#### 2. 4. 2. SENTETİK MEMBRANLARIN HAZIRLANMASI

Günümüzde sentetik membranlar içine polimerlerinde dahil olduğu çeşitli malzemelerden, patentlerde yer alan değişik yöntemlerle hazırlanabilmektedir.

[54,55]. Özel uygulamalarda kullanılabilen bu katı veya sıvı membranları homojen veya heterojen, elektriksel olarak yüklü veya nötr hazırlamak mümkündür. Bir membranın değerlendirilmesinde en önemli kriter onun seçiciliği ve membrandan geçen maddenin geçiş hızıdır. Ayrıca özel uygulama için hazırlanan sentetik membranların mekanik mukavemeti, kimyasal ve ısıl kararlılığı, biyokompatibilitesi ve çevrede yaptığı tahribat gibi faktörler de yukarıdakileri tamamlayan diğer özelliklerdir.

Homojen membranlarda gözenek olmadığı, dolayısıyla kütte transfer hızının yavaşlayacağı göz önüne alınarak, hemoperfüzyon kolonlarında kullanılan aktif karbonlar heterojen türdeki membranlarla kaplanmıştır. Söz konusu heterojen membranların üretiminde kullanılan çeşitli yöntemler, aşağıda verilen beş ana grup altında incelenebilir.

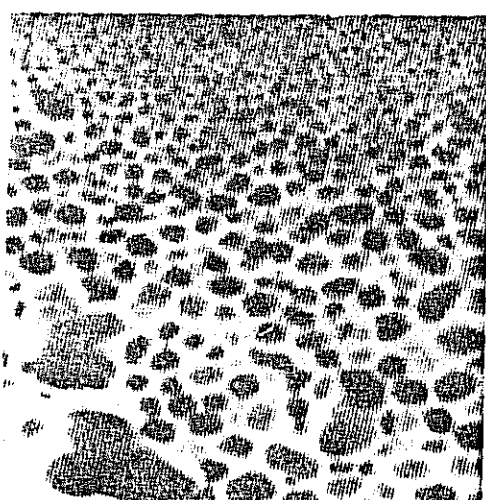
- Çözücü Döküm (Faz Dönüşümü)
- Sinterleme
- Germe-Uzatma
- Track-Etching
- Diğerleri

Bu yöntemlerden en yaygın olarak kullanılan ve sunulan araştırmada da modifiye edilerek uygulanan çözücü döküm yöntemi aşağıda kısaca tanıtılmıştır.

**Cözücü döküm (faz dönüşümü):** Bu yöntem bir polimer çözeltisinin uygun bir yüzeye dökülüp yayılması ve uygun bir atmosferde jelleştirilmesi sonucunda elde edilen mikro gözenekli membranların üretiminde kullanılır. [55,56] Jelleşme basamağında polimer çöker ve çözücü ortamdan uzaklaşır. Bu yöntem yardımıyla membran oluşturulmasında kullanılan ana işlem basamakları şöyledir.



(a)



(b)

**Şekil 2.6.** Faz Dönüşüm Yöntemi ile Elde Edilen Membran Türleri; (a) Kanallı, (b) Süngerimsi.

- İlk basamakta genellikle aseton, eter, etanol, DMF, THF gibi çözüçüler veya çözücü sistemleri kullanılarak yaklaşık % 10-30 polimer içeren polimer çözeltileri hazırlanır.
- Hazırlanacak polimer çözeltisi 100-500  $\mu\text{m}$  kalınlığında olacak şekilde dökülür ve film halinde yayılır. Bu işlemde cam yüzeyi oldukça yaygın olarak kullanılır.
- Bu film kötü bir çözücü veya çözücü sistemi içine daldırılarak polimer çöktürülür ve çözücü ortamdan uzaklaştırılır. Genellikle bu basamakta kötü çözücü olarak su kullanılır..
- Tüm bu işlemlere ek olarak membrana farklı özellikler kazandırmak amacıyla 70-80°C'da belirli bir süre tavlama işlemi uygulanabilir. Ancak bu son basamagın, uygulama şekline bağlı olarak, membranı heterojen yapıdan homojen yapıya dönüştürebileceği de göz önüne alınmalıdır.

Heterojen membranların hazırlanması amacıyla yukarıdaki basamaklar uygalandığında iki değişik türde membran elde edilebilmektedir. Şekil 2.6'da

görülen bu iki farklı tür membrandan "Kanallı" olanının kütte transfer hızı oldukça yüksektir, ancak seçiciliği yanında mekanik dayanıklılığında azdır.

"Süngerimsi" yapıdaki diğer türdeki membranlarda ise seçicilik ve mekanik dayanıklılık yüksek olup kütte transfer hızı oldukça düşüktür.

Faz dönüşümü yöntemindeki sistem parametreleriyle oynanarak söz konusu iki tür yapı arasında kalan, çok değişik gözenek boyut ve boyut dağılımına sahip çeşitli membranların hazırlanması mümkündür. Aşağıda, membran yapısına etki eden bu parametreler topluca verilmiştir.

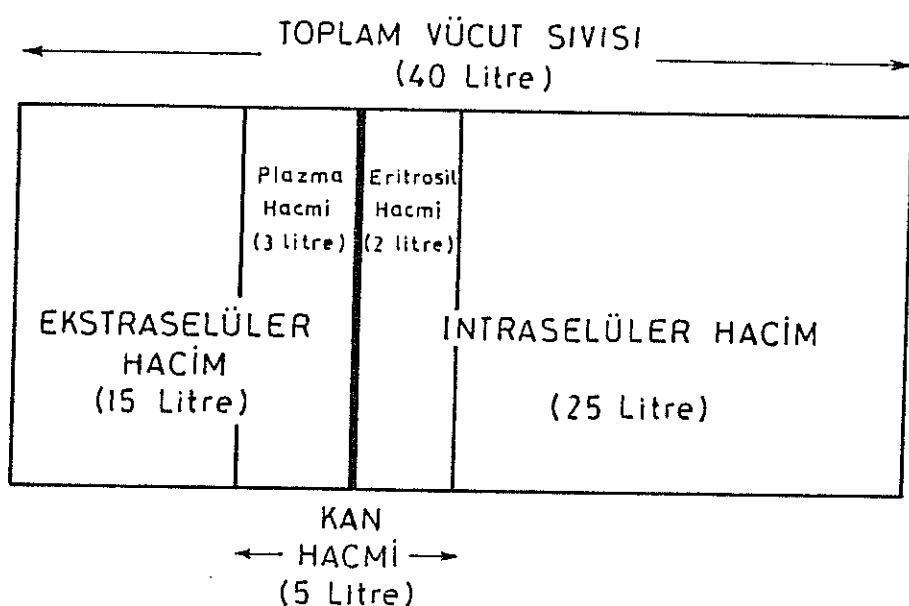
- Polimer çözeltisindeki polimerin cinsi ve konsantrasyonu,
- Çözücü sistemi,
- Çöktürme sistemi,
- Ön ve son işlemler, (tavlama, vb.),
- Membran kalınlığı.

Sonuçta ulaşılan yapılar açısından üretim parametreleri incelendiginde yüksek çöktürme hızlarında "Kanallı", yavaş çöktürme hızlarında "Süngerimsi", çok yavaş çöktürme hızlarında da simetrik yapılar oluşmaktadır, [55-57].

Heterojen membranların ticari olarak üretiminde çok kullanılan bu yöntemle selüloz esterlerinden (selüloz nitrat, selüloz asetat), PC, PVC, Poliamid, Poliasetal, PVF, Poliakrilat, çapraz bağlı PVA gibi polimerler kullanılarak mikro gözenekli simetrik ve asimetrik yapıda membranların hazırlanması mümkündür. Günümüzde bu yöntemle üretilen membranlar mikrofiltrasyon, ultrafiltrasyon, ters ozmoz, yapay böbrek ve ilaç salınım sistemlerinde kullanılmaktadır.

## 2. 5. VÜCUT SİVİLERİ, YAPILARI VE ÖZELLİKLERİ

Ortalama 70 kg ağırlığında bir erkek vücutunun toplamı 40 litre olmak üzere % 57'si sudur [58]. bu değer yeni doğmuş çocuklarda % 75' e ulaşabilmektedir. Ancak başlangıçtaki bu yüksek sıvı yüzdesi, büyük kısmı insan hayatının ilk 10 yılında olmak üzere, doğumdan yaşılanana kadar sürekli azalır. Şekil 2.7'de görüldüğü gibi, bu 40 litrelük sıvı vücutta hücre içi (intraselüler) ve hücre dışı (ekstraselüler) olmak üzere iki ana kompartmana dağılmıştır.



Şekil 2.7. Vücut Sıvıları

### Intraselüler Kompartman:

Vücut sıvısının 25 litrelilik kısmı, yaklaşık olarak 75 trilyon hücreden meydana gelen bu kompartman içinde bulunur [58]. Her hücre sıvısı kendine has bileşikler içermesine rağmen bu bileşiklerin hücre sıvılarındaki konsantrasyon-

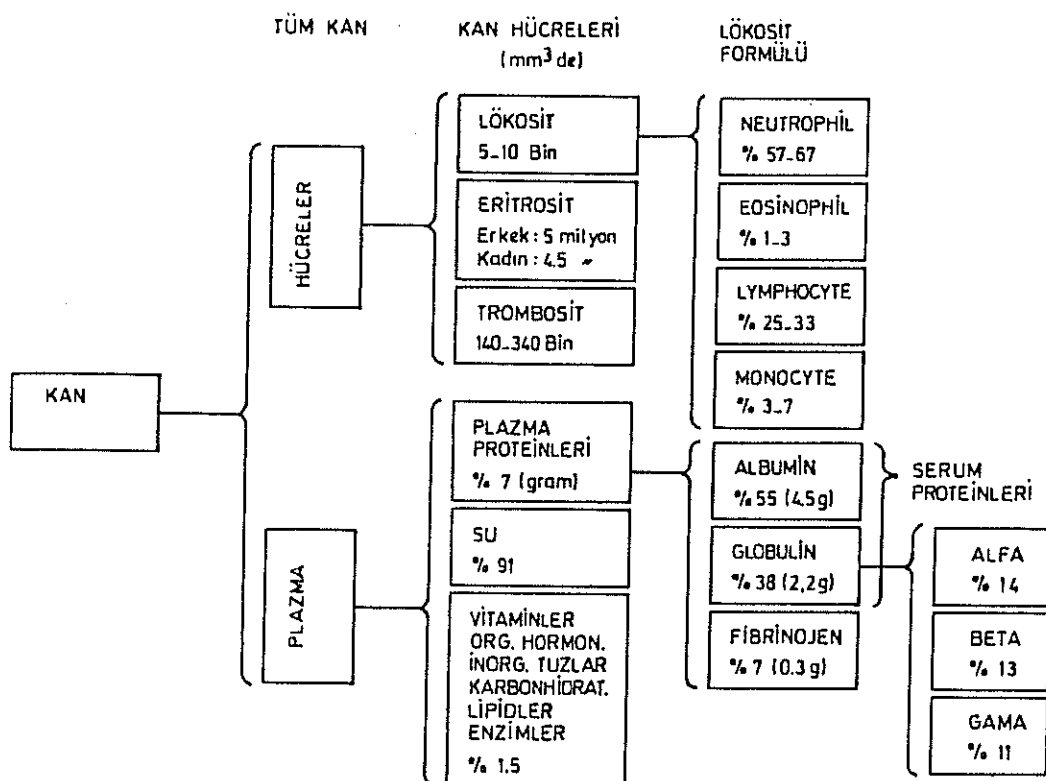
yonları birbirlerine oldukça yakındır. Bu yüzden trilyonlarca küçük kompartmandan meydana gelen hücreler topluluğu tek bir kompartman şeklinde kabul edilir.

#### Ekstraselüler kompartman:

Vücut hücreleri dışında kalan ve 15 litrelilik toplam hacme sahip olan (70 kg'lık erkek için) bu kompartman, sabit olarak karışan ve birbirleri arasında hücre içi ve dışı sıvılar arasındaki hızlı kütle transferi mümkün olan sıvılardan meydana gelmiştir [58]. Hücre arası, göz içi, sindirim yolu, beyin-omurilik sıvıları ile plazma bu grubu oluşturan sıvılardır. Hücreler arası sıvının çok az kısmı akabilecek sıvı olup, % 99'u hücreler arasındaki jel yapısındadır. Plazma ise kanın hücreler dışındaki sıvı kısmı olup hücreler arasındaki sıvı ile kapilerler aracılıyla sürekli temasadır. Hacmi genellikle 3 litre olarak kabul edilmektedir [58].

#### 2.5.1. KAN

Kan, 3000 ml ekstraselüler bir sıvı ortam ve bu ortam içinde 2000 ml intraselüler sıvı ihtiyaç eden hücrelerden oluşmuştur [58]. Esas görevi taşımadır. Bir çok maddeyi organlara ve dokulara götürür, birçoğunu da dokulardan alıp uzaklaştırır. Dolaşım sistemi kanın görevini yapabilmesi için gerekli mekanizmayı sağlar ve vücut hücrelerinin içinde bulunduğu sıvının (interstitial) kimyasal yapısı kanın kimyasal yapısı ile denge halinde tutulur. Böylece doku sıvısında hidrojen iyonları, oksijen, elektrolitler, besin maddeleri ve öteki birçok maddenin konsantrasyonu oldukça sabit kalır. Ayrıca, kan dolaşımı sayesinde, hücre metabolizma artıklarının dokuda birikmesi önlenir. İnsan kanının normal yapısı Şekil 2.8'de gösterilmiştir [59].



Sekil 2.8. Kanın Yapısı.

## 2. 5. 2. ERİTROSİT

Ortalama çapı 8  $\mu\text{m}$ , kalınlığı 1-2  $\mu\text{m}$  olan iç bükey disk şeklindeki hücrelerdir.

Normal ömrüleri 100-200 gün arasındadır [59]. Eritrositin % 70'i su, % 25'i hemoglobin geri kalanıysa bazı proteinler ve  $\text{Na}^+$ ,  $\text{K}^+$ ,  $\text{C}^-$  gibi iyonlardır. Hacmi % 30-40 kadar arttığında veya mekanik tahrış ile hücre membranı yırtıldığında hemoglobin hücre dışındaki plazmaya geçer. Bu olaya hemoliz adı verilir.

### 2.5.3. LÖKOSİT

Çapı 8-15  $\mu\text{m}$  dolayında olup çok kolay şekil değiştiren küresel yapıdaki elemanlardır. Bir çekirdek, sitoplazma ve plazmadaki çeşitli iyonları içerir. Dokuların tahrip olduğu durumlarda ve bazı hastalıklarda lökosit sayısı çok yükselebilir. Lökosit membranı, eritrosit membranından daha esnek olduğundan hacmi çok fazla arttırlsa bile eski haline dönüştürülüğünde, şeklinde değişme olmaz.

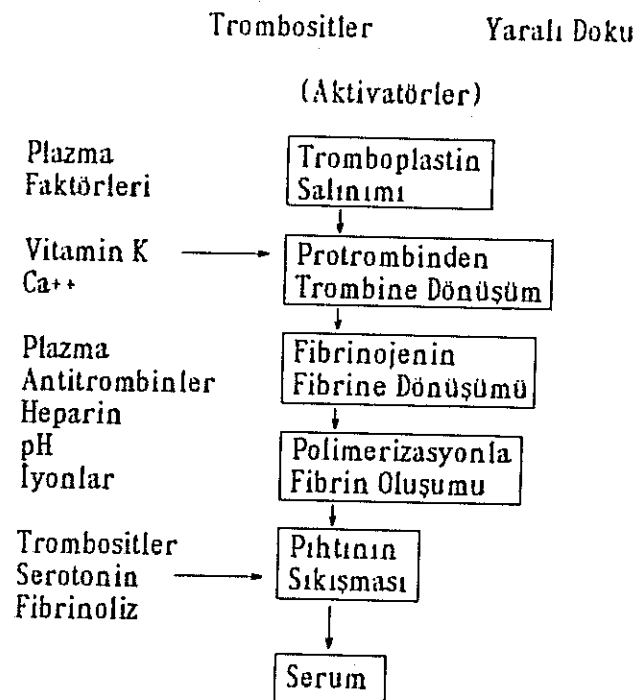
### 2.5.4. TROMBOSİTLER

Boyutları 1-3  $\mu\text{m}$  arasında değişir. Kan pihtlaşma mekanizmasında, dolayısıyla iç ortamın degişmez tutulmasında (homeostasis) önemli rolleri vardır. Kan akışında çok etkili degillerdir. Hücrelerin hem çekirdekleri hem de belirli bir sınırları yoktur.

### 2.5.5. PIHTLAŞMA

Pihtlaşma karışık ve tersinmez bir mekanizma sonucunda meydana gelen polimerizasyondur. Kan dolaşım sistemi içinde bulunduğu sürece pihtlaşma olmaz. Ancak kan yabancı bir madde ile temas'a geldiginde, Şekil 2.9'da gösterilen beş basamak sonucunda pihtlaşır. Burada ilk iki ve sonuncu basamaklar fizikokimyasal, diğerleri ise biyokimyasal reaksiyonlardır.

Diyalizer, hemoperfüyon kolonu, oksijenatör gibi vücut dışı (ekstrakorporeal) dolaşım sistemli tedavi cihazlarında dolaştırılan kanın pihtlaşması sistem girişinde kanın heparinazasyonu ile önlenir.



**Sekil 2. 9. Kanın Pihtlaşma Mekanizması.**

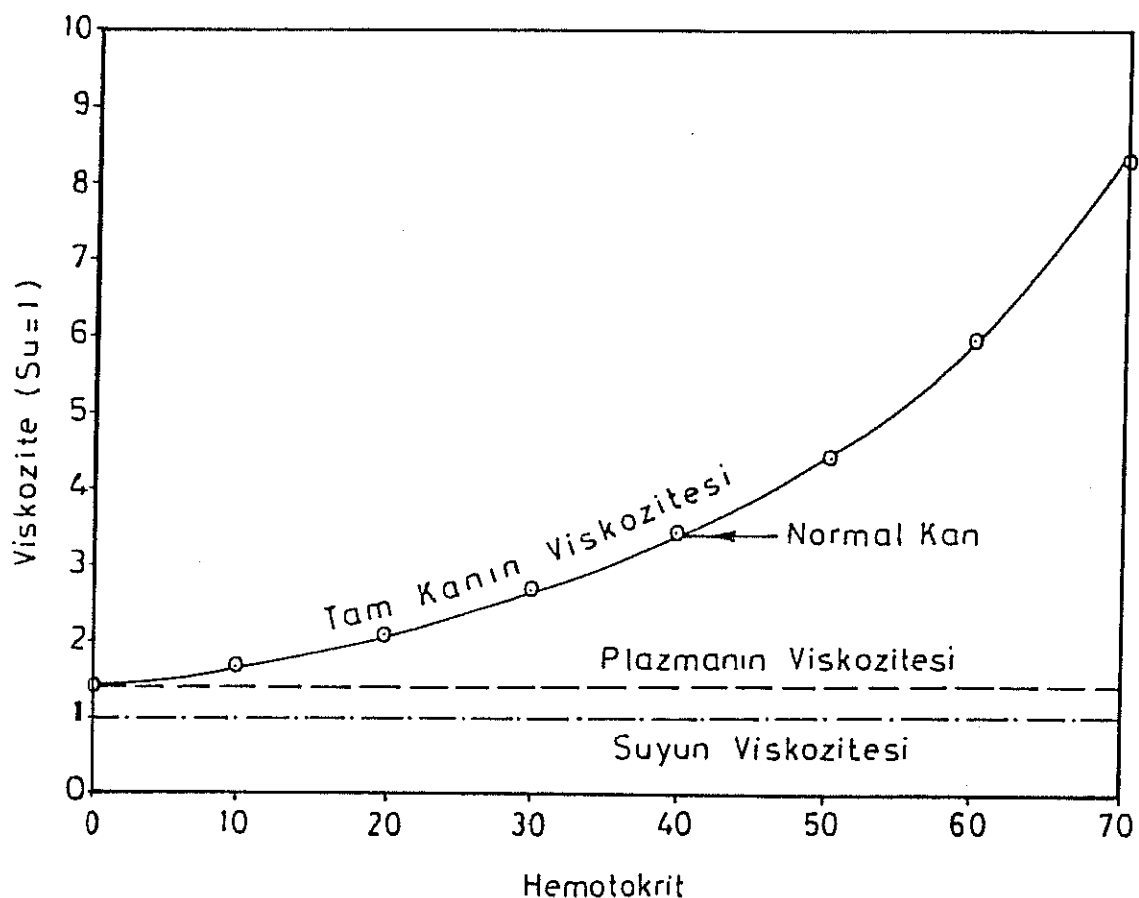
#### 2. 5. 6. HEMOTOKRIT

Kan hacminin hücrelerden oluşan kesrinin yüzdesidir. Normal insanda hematokrit 42 civarında olup kadınlarda bu değer 38'dir.

#### 2. 5. 7. KAN VİSKOZİTESİ

Plazma, suda 1.5 kat daha viskoz bir sıvıdır ve ihtiya ettiği proteinlerin cinsi ile konsantrasyonu kan viskozitesini etkileyen önemli faktörlerdir. Ancak, Sekil 2.10'dan da görüleceği gibi kan viskozitesinin değişimine hemotokritin etkisi yukarıdaki faktörlerden daha fazladır. Hemotokrit ve plazma proteinlerinin etkileri yanında aşağıdaki faktörlerde damarlarda akan kanın viskozitesini etkilerler.

- Fahraeus-Lindqvist etkisi çapı 1.5 mm'den küçük damarlarda görülür. Kılçal damarlarda etkisi çok artar ve kan viskozitesini büyük damarlardaki



Şekil 2.10. Kan Viskozitesine Hemotokritin Etkisi.

de gerinin yarısına kadar düşürür. Etkinin alyuvarların arkaya arkaya dizilebilmesinden kaynaklandığı ileri sürülmektedir [58].

- Küçük damarlarda akış hızı azaldıkça kan viskozitesinde önemli artışlar kaydedilir. Alyuvarların birbirlerine ve çeperlere yapışmasından kaynaklandığı sanılan bu etki, viskoziteyi 10 kat artırabilmektedir.
- Küçük damarlarda çok kısa süreli aralıklarla hücre geçisi bloke edildiğinde ortaya çıkar. Görünür etki yüksek viskozite artışıdır.

## 2. 6. TEORİ

Son 15 yıl içinde geliştirilip ticari olarak satılan hemoperfüzyon kolonlarının sadece ikisinde yüksüz polimerik reçine kullanılırken, diğerlerinde adsorban olarak çeşitli aktif karbonlar kullanılmıştır. Bunun en önemli nedeni ise, çok geniş klinik uygulamalar yanında, teşhis bile kesin olarak yapılamayan zehirli maddelerin vücuttan uzaklaştırılmasında oldukça geniş adsorpsiyon spektrumuna sahip adsorbanlara ihtiyaç duyulmasıındandır.

Hemoperfüzyon sistemlerinin geliştirilmesinde en önemli hususlardan birisi şüphesiz en iyi adsorbanın seçilmesidir. Ancak adsorban seçimi kadar önemli diğer bir hususta hemoperfüzyon sistemlerinin optimum tasarımına olanak verecek parametrelerin ve bunlar arasındaki ilişkilerin bilinmesidir. Sunulan bu çalışmada, bu hususlar dikkate alınarak planlanmıştır. Bu çalışmalara ışık tutmak üzere, aşağıda hemoperfüzyon sistemlerinin modellenmesi için günümüzde kadar yapılan önemli çalışmalar özet biçiminde sunulmuştur.

Adsorpsiyon sistemlerinin tasarımında laboratuvar ölçüğinden başlayarak orjinal kolon boyutuna ulaşmak için geliştirilen çeşitli tasarım ve boyut büyütme yöntemleri vardır [60, 61]. Bunlar başlıca üç grup altında toplanabilir.

- Mikro yöntem
- Makro yöntem
- Deneysel yöntem

Mikro yaklaşımada adsorpsiyon ünitesinde adsorbat dağılımını tanımlayabilecek matematiki bir fonksiyonun çıkartılması gereklidir. Yaklaşımada, çözeltideki adsorbatın adsorplanana kadar karşılaştığı tüm dirençler bilinmelii

ve formülde tanımlanmalıdır. Ancak bu dirençlerin tanımlanması sıkıcı ve zor bir işlem olup, bir çok durumda da hangi basamağın hız sınırlayıcı basamak olduğuna önceden karar verilmesi gerekmektedir [61,62].

Makro yaklaşım Michaels tarafından iyon değiştiriciler için önerilen bir yöntemidir [63]. Daha sonra Weber ve Luckhis tarafından aktif karbon dolgulu kolonlara uygulanmıştır [50, 61]. Burada mikro yöntemin aksine toplam kütle transfer direnci göz önüne alınmadıdan, kütle transferinin gerçekleştiği bölgenin hareketi, kaçak akım "Breakthrough" egrilerinden faydalananarak incelenir.

Deneysel yöntem, atık suların temizlenmesinde kullanılan bir yaklaşım olup, adsorpsiyon işlemindeki fiziksel ve kimyasal faktörlerin göz önüne alınmadığı bir yaklaşımdır. Bu yöntemde yeni tesisler, işletme tecrübe ve daha önce kurulmuş olan işletmelerdeki kriterler kullanılarak kurulur. Yöntemin tasarım prensibi a) hacimsel akış hızı; b) alikonma süresi ve c) basınç kaybının göz önüne alınmasına dayanmaktadır.

Dolgulu kolon adsorpsiyon kinetiginin sabit giriş konsantrasyonlu tipa tipi akışta asimtotik çözümü Vermeulen, Hall, Fleck, Bishof ve Brauch tarafından yapılmıştır [64-69]. Ancak hemoperfüzyon kolonu hasta ile kapalı bir devre oluşturduğundan giriş konsantrasyonu zamana bağlı olarak değişir. Ayrıca boyca Pectlet sayısı ( $P_{eL}$ ) 17-50 aralığındayken geri karışma veya eksenel dağılımlar meydana geldiği de Dunlop ve Radcliffe tarafından belirtilmiştir [69]. Bu yüzden hemoperfüzyon kinetiği dolgulu kolonlarda kütle transferi için yapılmış çözümlerin dışında kalmıştır. Dunlop ve Cooney tarafından çeşitli ticari hemoperfüzyon kolonları için kütle transfer dirençleri tespit edilmiş ancak bunların performansa etkileri kolon kütle transfer kinetigi açısından

incelememiştir. Hastaya uygulama sırasında "farmakokinetik" açıdan kolon performansı Cooney ve Sheikh , Chang Shettigar ve Deepak tarafından araştırılmış, ancak, burada da kütle transfer parametreleri yanında, tüm performansı etkileyen farmakokinetik, ticari hemoperfüyon kolonlarına uygulanabilecek şekilde ayrıntılı incelenmemiştir [70-72]. Dunlop ve Williams hemoperfüzyonda hasta farmakokineticini göz önüne alarak iki model önermiş ve adsorpsiyon kolonu performansını tanımlamaya çalışmışlardır [73]. Önerdikleri modellerin ilkinde kolona adsorbat giriş çıkış konsantrasyon oranı işlem sırasında sabit kabul edilmiş, ikincisinde ise zamanın fonksiyonu olan empirik bir doyma modeli tanımlanarak kullanılmıştır. Ancak her iki modelde de hemoperfüyon kolonlarındaki kütle transferi, adsorpsiyon ve hidrodinamik işlemler göz önüne alınmamıştır .

#### **2.6.1. KESİKLİ KARIŞTIRMALI SİSTEMDE ADSORPSİYON HİZİNİN (k) TAYINI, WEBER YÖNTEMİ**

Weber tarafından, kesikli karıştırmalı sistemlerde ana depo izleyici konsantrasyonunun başlangıçta hızla, daha sonra oldukça yavaş değiştiği durumlarda , hız sınırlayıcı basamağı, aktif karbonun (veya adsorbanın) kapiler gözeneklerinin oluşturduğu varsayılmaktadır [74]. Bu durumlarda da partikül içi difüzyonun teorik temelleri, adsorban partikülünün geometrik özellikleriyle değişen oldukça kompleks matematiksel ilişkilere dayanmaktadır. Çalışmada , difüzyonun matematiksel olarak irdelenmesi yapılmamasına rağmen, verilerin değerlendirilebilmesi amacıyla Weber tarafından geliştirilen aşağıdaki yöntem kullanılmıştır.

Adsorpsiyonun partikül içi difüzyon tarafından kontrol edildiği sistemlerde adsorplanan izleyici miktarı ile  $t^{1/2}$  arasında doğrusal bir ilişki vardır. Ayrıca

birçok adsorpsiyon işleminde de en azından sürecin başlangıcında bu doğrusal ilişki görülebilmektedir. Böylece hazırlanan  $t^{1/2}$ 'ye karşı adsorplanan izleyici miktarı grafiklerinin başlangıç eğimleri "Adsorpsiyon Hızı,  $k$ " olarak tanımlanabilir. Buradaki  $k$ 'nın birimi süreç hızı biriminden farklı olup mg adsorbat/ gram aktif karbon (dak $^{1/2}$ ) şeklinde boyutlandırılmıştır, dolayısıyla  $k$  süreç hızı olarak tanımlanmamalıdır.

#### 2. 6. 2. KAPALI DEVRELİ DOLAŞIMLI SİSTEMLERDE KÜTLE TRANSFER KATSAYILARININ TAYINI

Sürekli akışta sabit yataklı karbon içeren reaktörlerde adsorpsiyonun toplam kütle transfer katsayısı aşağıdaki denklikler yardımıyla hesaplanabilir [75,76].

$$dW = -F \cdot dC = K \cdot a \cdot dM (C_{ort} - C_d) \quad (2.6)$$

Burada

$dW$  : Kolonda adsorbat adsorplanma hızı (mg adsorbat /dak)

$a$  : Birim ağırlıktaki aktif karbon dış yüzey alanı ( $\text{cm}^2/\text{gram A. K.}$ )

$K$  : Kütle transfer katsayısı ( $\text{ml}/\text{cm}^2\text{dak}$ )

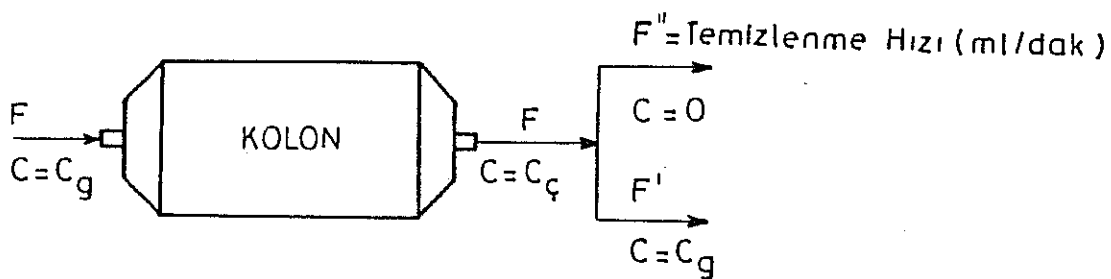
$C_{ort}$ : Kolondaki logaritmik ortalama adsorbat konsantrasyonu  
(mg adsorbat /litre)

$M$  : Kolondaki aktif karbon miktarı (gram A. K.)

$F$  : Sıvı faz hacimsel akış hızı ( $\text{ml}/\text{dak}$ )

$C_d$  : Aktif karbon ile dengedeki sıvı fazındaki adsorbat konsantrasyonu (mg adsorbat//litre)

olup,  $(C_{ort} - C_d)$  kütle transferi için gerekli olan sürücü güçtür.



Şekil 2.11. Temizlenme Hızı Kavramının Geliştirilmesi.

Başlangıçta ( $t=0$ ) kolondaki aktif karbon hiçbir adsorbat içermez ve  $C_d = 0$  olarak alınabilir. Böylece, kütte transfer katsayısı ile toplam adsorban dış yüzey alanının çarpımı aşağıda挈ktilen denklikte ifade edilebilir.

$$-\frac{C_{\zeta}}{C_g} \int dC = K_a \cdot C_{\text{ort}} \int \frac{M}{dM} \quad (2.7)$$

$$F(C_g - C_{\zeta}) = K_a \cdot M \frac{(C_g - C_{\zeta})}{\ln(C_g/C_{\zeta})} \quad (2.8)$$

$$F \cdot \ln(C_g/C_{\zeta}) = K_a \cdot M = K_a \cdot A \quad (2.9)$$

$$K = (F/A) \cdot \ln(C_g/C_{\zeta}) \quad (2.10)$$

Burada,

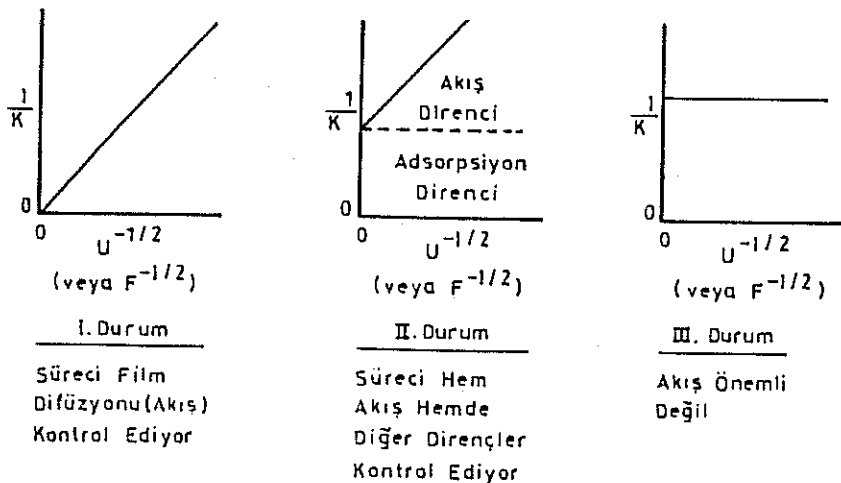
$A$  : Kolondaki aktif karbonun toplam dış yüzey alanı,  $A = M \cdot a$ , ( $\text{cm}^2$ )

$C_g$  : Çözeltinin kolona giriş konsantrasyonu, (mg adsorbat/litre)

$C_{\zeta}$  : Çözeltinin kolondan çıkış konsantrasyonu, (mg adsorbat/litre)

olarak tanımlanmaktadır.

Deneysel çalışmada  $F$  ve  $C_g$  değerleri başlangıçta ( $t=0$ ) sabit kabul edilebilir.  $C_{\zeta}$  değerinin bulunması için tip literatüründe kandaki toksik maddelerin böbrek veya yapay böbrek vasıtasi ile atılma hızı için kullanılan "Temizlenme Hızı" eğrilerinden yararlanılır. Temizlenme hızı, birim zamanda temizlenen çözelti hacmi olup aşağıdaki yöntemle hesaplanır, Şekil 2.11.



Şekil 2.12. Adsorpsiyonda Hız Sınırlayıcı Basamakların Tayini.

$$F \cdot C_g - F' C_\zeta = F (C_g - C_\zeta) \quad (2.11)$$

$$F = F' + F'' \quad (2.12)$$

$$F - F' = F \frac{(C_g - C_\zeta)}{C_g} \quad (2.13)$$

$$\text{Temizlenme Hızı (T.H.)} = F'' = F \frac{(C_g - C_\zeta)}{C_g} = F \left( 1 - \frac{C_\zeta}{C_g} \right) \quad (2.14)$$

Zamana karşı çizilen temizlenme hızı eğrisinde ekstrapolasyonla  $t=0$  anındaki temizlenme hızı değeri bulunarak  $C_\zeta$  değeri hesaplanabilir. Ancak kütle transfer denkliği kullanıldığında  $C_\zeta = 0$  ve civarında KA değerindeki hata artacagından bu teknigin  $C_\zeta$  değerini 0 yapmayacak kadar yüksek akış hızlarında daha doğru sonuç verdiği göz önüne alınmalıdır.

Toplam kütle transfer direnci  $R_{top}$ ,  $1/K_A$  degerine eşit olup sıvı faz direnci ile katı faz direncinin lineer toplamına eşittir.  $R_{top} = R_{sivi} + R_{kati}$ . Burada,  $R_{kati}$ : adsorban gözenek kapilerlerinde ve iç yüzeyinde adsorpsiyona gösterilen direnç yanında polimerik kaplama (varsayı) direncinin toplamına eşittir.

Dolgulu kolonlar için geliştirilen bağıntılarda sıvı faz direncinin ( $R_{sivi}$ ),  $F^{-0.5}$  ile orantılı olduğu gösterilmiştir [66,77]. Böylece toplam kütle transfer direnci  $R_{top} = \beta F^{-0.5} + R_{kati}$  şeklinde ifade edilmektedir. Deneyel olarak  $C_g, C_c$ ,  $F$  değerlerinden hesaplanabilen toplam kütle transfer direnci ( $R_{top}$ ),  $F^{-0.5}$ 'e karşı grafike alındığında elde edilen doğrunun eğimi  $\beta$  degerine, ordinatı kestiği noktası ise ( $F = \infty$ ) katı faz direncine ( $R_{kati}$ ) eşittir.

Sonuç olarak, herhangi bir  $F$  değerinde toplam kütle transfer direncini  $R_{sivi}$  ve  $R_{kati}$  değerlerine ayırarak adsorban, cihaz ve performansı hakkında yaklaşım yapabilmenin mümkün olduğu görülmektedir. Şekil 2.12'de bu yöntemle elde edilebilecek grafikler gösterilmiş ve gerekli açıklamalar şekil üzerinde yapılmıştır.

### 2.6. 3. DİĞER FİZİKSEL ÖZELLİKLER

#### Elek Analizi

Dolgulu kolonlarda adsorpsyon hızına etkiyen önemli bir parametrede partikül boyutudur. Partikül boyutu küçüldükçe yüksek adsorpsyon hızlarına ulaşılır, ancak basınç düşmesi artar ve kanla çalışan hemoperfüzyon kolonlarında aşırı kan hücreyi ile pıhtılaşma gözlenir.

Standart elek analizi sonuçlarının "Diferansiyel Elek Analizi" veya "Kümülatif Elek Analizi" metodları ile değerlendirilmesi sonucunda birim aktif karbon ağırlığı başına "Dış Yüzey Alan,  $a$ ", "Partikül Sayısı,  $NAK$ " ve "Hacim-Yüzey

Ortalama Partikül Çapı  $D_{A.K.H.A}$  bulunur [78]. Diferansiyel elek analizi metodunda kullanılan denklemler aşağıda verilmiştir.

$$a = \frac{6 \psi}{\rho_p} \sum \frac{\Delta \phi_n}{D_n} \quad (2.15)$$

$$N_{AK} = \frac{1}{J \cdot \rho_p} \sum \frac{\Delta \phi_n}{D_n^3} \quad (2.16)$$

$$D_{A.K.H.A} = \frac{6 \psi}{a \cdot \rho_p} \quad (2.17)$$

$\psi$ : Küresel partiküller için 1'e eşit olup şekil faktörüdür (Boyutsuz).

$J$ : Küresel partiküller için 1'e eşit olup hacim şekil faktörüdür (Boyutsuz).

$\Delta \phi_n$ : ( $n-1$ ), eleğin geçen, ( $n$ ), eleğin üzerinde kalan örneğin kütle kesri.

$D_n$ : ( $n-1$ ), elek ile ( $n$ ), eleğin aritmetik gözenek çapları ortalaması.

$\rho_p$ : Partikül yoğunluğu, 0,5 gram A.K./cm<sup>3</sup>

### 3. DENEYSEL ÇALIŞMA

#### 3. 1. KULLANILAN MALZEMELER

Çalışmada ticari olarak mevcut iki tip granül aktif karbon kullanılmıştır. Bunların ilki olan petrol bazlı küresel Bac Mu® (Kureha, Japonya) aktif karbonunun boyutları 0.4-1.0 mm aralığında dağılım göstermektedir. Bu karbonun ticari alternatifi olan ve bu çalışmada da test edilen Norit RBXS-1 (Norit, Hollanda) karbonu ise silindirik şekilde olup çap/boy oranı 1.0/3.0-1.0/5.0 (mm/mm) aralığındadır.

Aktif karbonların kaplanmasında "Collodion" ticari adı altında satılan selüloz nitratin dietileterdeki % 4'lük çözeltisi Merck, (B. Almanya), dietileter, NaOH, BDH, (İngiltere), mutlak etil alkol, Tekel, (Türkiye) firmalarından sağlanmıştır.

Kaplanmış ve kaplanmamış aktif karbonların test edilmesinde izleyici olarak kreatinin (Merck, B. Almanya, M.A: 113), ürik asit (Fisher, ABD, Mol. Ag: 168), vitamin B-2 (Merck, B. Almanya, M.A: 376), vitamin B-12 (Sigma, ABD, M. A: 135) kullanılmıştır.

In-vitro kan deneylerinde antikoagulan olarak "Liquemine" ticari adı altında Roche, (Türkiye) tarafından üretilen heparinin 5000 I.U/ml'lik sulu çözeltisi kullanılmıştır.

### **3. 2. İZLENEN DENEYSEL YÖNTEMLER**

Çalışma kapsamında yapılan deneyleri aşağıda verilen üç ana grup altında incelemek mümkündür.

- Aktif Karbon Seçimi
- Aktif Karbonun Polimerik Membranla Kaplanması ve Kaplanmış Aktif Karbonların Test Edilmesi
- Kolon ve Sistem Tasarımı
  - Sulu Faz Deneyleri
  - Kan Deneyleri (In-Vitro)

#### **3.2. 1. AKTİF KARBON SEÇİMİ**

##### **3.2. 1.a ADSORPSİYON KAPASİTELƏRİNİN TAYINI**

Bu bölümde aktif karbonların, çeşitli izleyiciler kullanılarak, kesikli düzende adsorpsiyon denge izotermleri bulunmuştur. Izleyici başlangıç konsantrasyonları ( $C_0$ ), kreatinin, ürik asit, vitamin B-2 ve vitamin B-12 için sırasıyla 100, 50, 20, 20 mg/litre olarak alınmıştır. Değerlerin seçiminde literatürdeki çalışmalar göz önüne alınmıştır. Bu grupta izlenen deney yöntemi şöyledir.

- 100 ml,  $C_0$ , konsantrasyonunda izleyici içeren çözeltilere farklı miktarlarda (0.002, 0.005, 0.01, 0.02, 0.05, 0.1, 0.2, 0.5 gram) aktif karbon konur.
- Aktif karbon ile çözeltili, bir çalkalayıcıda (Nüve SL350, Türkiye) 48 saat süre ile 37° C'da temasa getirilir.

- Bu süre sonucunda çözeltiden alınan örneklerde izleyici konsantrasyonu EK-A'daki spektrofotometrik yöntemle bulunur.

### 3.2.1.b. TOPLAM YÜZEY ALANI TAYINI

Çalışmada kullanılan aktif karbonların toplam yüzey alanları, standart N<sub>2</sub> adsorpsiyon yöntemi ile Çekmece Araştırma ve Eğitim Merkezi'nde (İstanbul) ölçülmüştür [79].

### 3.2.1.c. KÜL MİKTARININ TAYINI

Kül miktarının tayini iç in izlenen yöntem şöyledir:

- Üç adet kroze ve aktif karbon örnekleri kurutulup (105°C) sabit tartıma getirilir.
- Krozelerden ikisine 1'er gram aktif karbon konur, Üçüncü ile birlikte aynı fırında yakılır. Aktif karbon kül miktarı gravimetrik yöntemle tayin edilir.

### 3.2.1.d. YÜZEY SERTLİĞİ, KIRILGANLIK VE AŞINMA TESTİ

Çalışmada kullanılan aktif karbonların yüzey sertlikleri ve aşınma dirençlerinin saptanması için literatürden alınan yöntem modifiye edilerek kullanılmıştır [80]. Bu yöntemde 10 gramlık aktif karbon örnekleri 250 µm (No: 60 U.S. Stand. Sieve, The W.S. Tyler Int. Co., A.B.D) sallamalı bir elektre (Endecotts, Ingiltere) 90 dakika elenmiş, aşınma ile elek altına geçen parçacıkların miktarı bulunmuş ve sonuçlar gravimetrik yöntemle değerlendirilmiştir.

### 3. 2. 1.e. TEMİZLİK VE YIKANABİLİRLİK TESTİ

Yapılan çalışmada iki alternatif yıkama tekniği üzerinde durulmuştur. İlk teknik aktif karbonların bir ultrasonik yıkama banyosunda (Bransonic, Model 221, Branson Cleaning Equipment Co., A.B.D) 2 saat süreyle yıkanması esasına dayanmaktadır. İkinci yöntem ise daha ılımlı bir temizleme tekniği olup, aşağıdaki basamaklardan oluşmuştur.

- 5 gramlık aktif karbon örnekleri 100 ml serum fizyolojik ile 125 devir/dakika hızda 30 dakika çalkalanır.
- Bu, 200 ml'lik bir erlene alınır ve aktif karbonlar taze bir 100 ml serum fizyolojik ile tekrar yıkanır.
- İki çözelti birleştirilir.
- Yukarıdaki işlemlere toplam örnek sayısı 4, toplam çalkalama süresi 120 dakikaya ulaşana kadar devam edilir.
- 200 ml'lik örneklerde partiküller bir "Coulter Counter" kullanılarak sayılır. Sayımlar M.T.A. Enstitüsü'ndeki Coulter Counter, (Model ZB, ABD) cihazında yapılmıştır.

### 3. 2. 1. f. STERİLLENEŞİM ÖZELLİĞİNİN TAYINI

Aktif karbon sterillenebilme özelliği 120 dakikalık temizlik ve yıkanabilirlik testinden çıkan örneklerə aşağıdaki işlemler uygulanarak araştırılmıştır.

- Aktif karbonlar  $121^{\circ}\text{C}$ ,  $1.1 \text{ kg/cm}^2$  buhar basıncında otoklavda (VEB MLW, Medinische Gerate, Berlin) 2 saat sterilenir.
- 100 ml serum fizyolojikle 125 devir/dakika hızda 30 dakika çalkalanır.

- Çözelti ayrılır ve aktif karbon üzerine tekrar 100 ml çözelti ilave edilecek çalkalamaya devam edilir.
- Yukarıdaki çalkalama işlemine örnek sayısı 3, toplam çalkalama süresi 90 dakika olana kadar devam edilir.
- 100 ml'lik örneklerde partiküller sayılır. Sayımlar M.T.A. Enstitüsü'ndeki Coulter Counter, (Model ZB, ABD) cihazında yapılmıştır.

### **3. 2. 1. g. AKTİF KARBON PARTİKÜLLERİNİN YÜZEV YAPILARININ İNCELENMESİ**

Deneyselde kullanılan aktif karbonların yüzey yapıları SEM (Scanning Electron Microscope) fotoğrafları yardımıyla incelenmiştir.

Bu amaçla önce incelenen örneklerin yüzeyi 200 Å kalınlığında altın ile kaplanarak iletken hale getirilmiş ve Türkiye Çimento Müstahsilleri Araştırma Merkezi'nde bulunan SEM cihazı (LEITZ-AMR 1000 Roster-Elektronen Microscope, İngiltere) kullanılarak yüzey SEM fotoğrafları çekilmiştir.

### **3. 2. 2. AKTİF KARBONUN POLİMERİK MEMBRANLA KAPLANMASI VE KAPLANMIŞ AKTİF KARBONLARIN TEST EDİLMESİ**

Bu bölümde, hemoperfüzyon kolonlarında çiplak olarak kullanıldığından oluşturduğu kan hücre deformasyonu ve kaybı yanında, emboli oluşturan ince partikül salımını da önlemek üzere, aktif karbon granülleri polimerik membranla kaplanmıştır. Kaplama maddesi olarak günümüzde ticari örneklerde de yaygın olarak kullanılan ve grubumuz tarafından daha önceki çalışmalarında da en uygun olduğu saptanan sefiloz nitrat seçilmiştir [81].

### 3.2. 2. a. POLİMERİK KAPLAMA YÖNTEMİNİN GELİŞTİRİLMESİ

Bu çalışmanın 1. basamağında çeşitli özelliklerini nedeniyle en uygun olarak seçilen Bac Mu® küresel aktif karbonlarının bu selülozik polimerle kaplanması için, ilk defa Chang T.M.S. [82] tarafından ileriye sürülen bir faz dönüşümü-çökürme yöntemi, yapılan çalışmalarla geliştirilerek uygulanmıştır.

En iyi kaplama yönteminin araştırıldığı bu bölümdeki çalışmalar üç ana grupta toplanmıştır, (Çizelge 3.1).

- Ön İşlemler
- Kaplama
- Son İşlemler

Ön işlemler bölümünde, önce aktif karbon granülleri yıkandıktan sonra ince toz partiküller elimesine edilmiş, daha sonra granüller konsantre HCl içinde 24 saat bırakılarak çözünebilir inorganik veya organik safsızlıklar uzaklaştırılmıştır. Sonra granüller destille su ve NaOH ile çıkan su pH'sının 7 olana kadar yıkandıktır. Yıkama işleminde eter, su ve bunların karışımı da alternatif olarak kullanılmıştır. Kurutma işlemi için aşağıda verilen üç alternatif yöntem uygulanmıştır.

- Tam kurutma: 105°C'da etüvde 4 saat
- Yüzey kurutma: 20°C'da etüvde 4 saat
- Yüzey kurutma: 20°C'da santrifüjle

Kaplama basamağında elektrostatik olarak yüklenen veya yüksüz aktif karbon granülleri konsantrasyonları Çizelge 3.2'de verilen selüloz nitrat çözeltileri ile temasına getirilmiştir. Karıştırma işlemine partiküller birbirine yapışmayana kadar devam edilmiştir. Kaplama kalınlığı, gram karbon başına kullanılan gram selüloz nitratın yüzdesi olarak ifade edilmiştir.

Cizelde 3.1. Aktif Karbonu Polimerik Membranla Kaplama Kontenminin Geliştirilmesinde İncelenen Çeşitli İşlemler.

No	Kaplama Kahnesi	I. İşlem	ON İŞLEMELER	II. İşlem	III. İşlem	KAPLAMA	İ. İşlem	II. İşlem	SON SLEMLER	IV. İşlem	V. İşlem	Seri No
1	0.1	Ozuleme (HCl)	Nötralizasyon Tam Kuruma (NaOH+H <sub>2</sub> O)	(105°C, 4 saat)			Elektristik olarak yüklenmiş veya yükle- memiş aktif karbonlar	Kuruma (50°C, 15 saat)				4.9 (2)
2	0.2	Ozuleme (HCl)	Nötralizasyon Tam Kuruma (NaOH+H <sub>2</sub> O)	(105°C, 4 saat)			memiş aktif karbonlar polimer çözeltisine	Kuruma (50°C, 15 saat)				4.9 (5)
3	0.2	Ozuleme (HCl)	Nötralizasyon Tam Kuruma (NaOH+H <sub>2</sub> O)	(105°C, 4 saat)			dokular Partiküler birbirine	Kuruma (50°C, 15 saat)	Cök. Tavlamı (Kav Su 2 saat)	Kuruma (50°C, 15 saat)		4.10 (3)
4	0.2	Ozuleme (HCl)	Nötralizasyon Tam Kuruma (NaOH+H <sub>2</sub> O)	(105°C, 4 saat)			yapışmayaça kadar tarzlarını	Kuruma (50°C, 15 saat) (Eter)	Cök. Tavlamı (Kav Su 2 saat)	Kuruma (50°C, 15 saat)		4.11 (2)
5	0.4	Ozuleme (HCl)	Nötralizasyon Tam Kuruma (NaOH+H <sub>2</sub> O)	(105°C, 4 saat)			İstemeye devam edilen	Kuruma (50°C, 15 saat)				4.9 (7.0)
6	0.4	Ozuleme (HCl)	Nötralizasyon Tam Kuruma (NaOH+H <sub>2</sub> O)	(105°C, 4 saat)			İstem oda sicaklığından	Kuruma (50°C, 15 saat)				-
7	0.4	Ozuleme (HCl)	Nötralizasyon Tam Kuruma (NaOH+H <sub>2</sub> O)	(105°C, 4 saat)			yapılır	Kuruma (50°C, 15 saat) (Eter)	Kuruma (50°C, 15 saat)	Kuruma (50°C, 15 saat)		4.11 (6)
8	0.4	Ozuleme (HCl)	Nötralizasyon Tam Kuruma (NaOH+H <sub>2</sub> O)	(105°C, 4 saat)				Kuruma (50°C, 15 saat) (Eter)	Cök. Tavlamı (Kav Su 2 saat)	Kuruma (50°C, 15 saat)		4.11 (4)
9	0.4	Ozuleme (HCl). Nötral. (NaOH+H <sub>2</sub> O)	Yıkama	Yüzey Kuruma (20°C, 4 saat)				Kuruma (105°C) (0.5 saat)	Cök. Tavlamı (Kav Su 2 saat)	Kuruma (50°C, 15 saat)		-
10	0.4	Ozuleme (HCl) Nötral. (NaOH+H <sub>2</sub> O)	Yıkama	Yüzey Kuruma (105°C)				Kuruma (105°C) (0.5 saat)	Cök. Tavlamı (Eter)	Kuruma (50°C) (0.5 saat)	Kuruma (50°C) (2 saat)	4.10 (3.2)
11	0.4	Ozuleme (HCl) Nötral. (NaOH+H <sub>2</sub> O)	Yıkama	Yüzey Kuruma (20°C Santrifüj)				Kuruma (50°C, 15 saat)				4.10 (2)
12	0.4	Ozuleme (HCl). Nötral. (NaOH+H <sub>2</sub> O)	Kaynaşma	Yüzey Kuruma (20°C Santrifüj)				Kuruma (Eter)	Cök. Tavlamı (50°C) (2 saat)	Kuruma (50°C) (15 saat)		4.10 (1)

Çizelge 3.2. Polimerik Kaplama Çözeltilerinin Kompozisyonları.

No	Kaplama Kalınlığı (% w/w)	Aktif Karbon (g)	Kofodion (ml)	Etanol (ml)	Dietileter (ml)
1	0.1	5	0.125	0.84	11.35
2	0.2	5	0.250	0.44	4.94
3	0.2	5	0.250	0.78	3.70
4	0.4	5	0.500	1.04	11.06
5	0.8	5	1.000	1.04	11.06
6	1.2	5	1.500	1.04	11.06

Kaplanmış aktif karbon yüzeyinde yer alan polimerin çöktürülmesi, istenilen geçirgenlik ve sağlamlıkta bir yapıya ulaşılması için su, dietileter ve ısıl işlem etkisi araştırılmıştır. İlgili yöntemler Çizelge 3.1'de görülmektedir. Bu işlemlerde polimerin çöktürülmesi için su ve dietileter kullanılmıştır. Dietileter ile çöktürme basamağı oda sıcaklığında yapılırken, sulu ortamda çöktürme oda sıcaklığındaki suya dökülen kaplanmış aktif karbonların daha sonra ısıtılan bu suda 2 saat kaynatılması sonucunda gerçekleştirilmiştir. Yöntemdeki son kurutma işlemleri ( $85^{\circ}\text{C}$  olanlar hariç)  $50^{\circ}\text{C}$  gibi düşük bir sıcaklıkta, membran özelligini bozmadan yüzey SEM fotoğrafı elde edebilmek amacıyla uygulanmıştır.

Ayrıca, çalışmanın ilerideki bölümlerinde kullanılan tüm kaplanmış Bac Mu® aktif karbonları en son işlem olarak,  $121^{\circ}\text{C}$ ,  $1.1 \text{ kg/cm}^2$  buhar basıncından 2 saat otoklavda (MLW., Medizinische, Berlin) sterillenmişlerdir.

### 3.2.2. b . KAPLANMIŞ AKTİF KARBONLARIN ADSORPSİYON ÖZELLİKLERİİNİN TAYINI

Polimerik kaplamanın aktif karbon adsorpsiyon kinetigine etkisi kesikli karıştırmalı sistem'de yapılan adsorpsiyon deneyleri ile araştırılmıştır. izleyici olarak yalnızca kreatinin kullanılmıştır. 100 mg/litre başlangıç

konsantrasyonunda kreatinin sulu çözeltilerinden 100 ml'lik örnekler 250 ml'lik agzi kapaklı erlenlere konmuş, üzerlerine 1'er gram aktif karbon granülü ilave edilmiştir. Erlenler 37°C sıcaklıkta 2 saat süreyle çalkalanmış, deney başlangıcından itibaren her 15 dakika da bir alınan 0.2 ml'lik sıvı faz örneklerinde kreatinin konsantrasyonu EK-A'da verilen spektrofotometrik yöntemle tayin edilmiştir. Deneyler çeşitli kalınlıklarda kaplanmış aktif karbon örneklerinin yanısıra karşılaştırma olağrı saglamak amacıyla kaplanmamış Bac Mu®, kaplanmamış Norit RBXS-1 ve Gambio firmasınca üretilen Adsorba® hemoperfüzyon kolonlarından alınan selüloz kaplı Norit RBXS-1 aktif karbon örnekleriyle de tekrarlanmıştır.

### **3. 2. 2. c. KAPLANMIŞ AKTİF KARBONLARIN TOPLAM YÜZEV ALAN DEĞİŞİMİNİN TAYINI**

Kaplanmış aktif karbonlarda toplam yüzey alanı degişiminin belirlenmesi için Bölüm 3.2.1.b'de verilen yöntem uygulanmıştır.

### **3. 2. 2. d. KIRILGANLIK VE İNCE PARTİKÜL SALINIM ÖZELLİKLERİNİN TAYINI**

Kaplanmış ve kaplanmamış Bac Mu® aktif karbonunun kırılganlık ve ince partikül salinim özellikleri, daha önce Bölüm 3.2.1.e'de verilen çalkalamalı yıkama yöntemiyle saptanmıştır.

### **3. 2. 3. AKTİF KARBON ELEK ANALİZİ**

Bu bölümde birim aktif karbon ağırlığı başına dış yüzey alan, partikül sayısı ve hacim-yüzey ortalama partikül çapının belirlenmesi için aşağıda verilen standart elek analizi yapılmıştır.

- 100 gramlık aktif karbon örnekleri çeşitli elek tepsileri (Tyler Mesh; 12, 16, 20, 24, 32, 42, Tyler Co., A.B.D.) üzerinde 1 saat süreyle elenir.
- Her elek tepsisi üzerinde kalan aktif karbon miktarı tartılarak tesbit edilir.

### 3. 2. 4. KOLON VE SİSTEM TASARIMI

#### 3. 2. 4. a. SULU FAZ DENEYLERİ

Kolon ve sistem tasarımının sulu faz deneyleri ile ilgili bölümü, kesikli karıştırmalı ve sürekli adsorpsiyon sistemlerinde yapılan deneysel çalışmalarla gerçekleştirilmiştir.

##### Kesikli Karıştırmalı Sistem

Kesikli, karıştırmalı sistemde adsorpsiyon kinetiginin incelendiği deneylerde kullanılan düzenek 2 litrelük bir cam kap, mekanik karıştırıcı ve sıvı faz sıcaklık kontrol cihazından (Nüve Termomix, Türkiye) oluşmaktadır. Bu gruptaki deneylerde izleyici olarak yalnızca kreatinin kullanılmıştır. Kreatinin sulu çözeltisinin başlangıçtaki konsantrasyonu ( $C_0$ ), 100 mg/litre olarak alınmıştır. Deneylerde % 0.1 ve % 0.4 selüloz nitrat kaplı Bac Mu® karbonları kullanılmıştır. Bu gruptaki kesikli karıştırmalı sistem adsorpsiyon deneylerinde aşağıda verilen yöntem izlenmiştir.

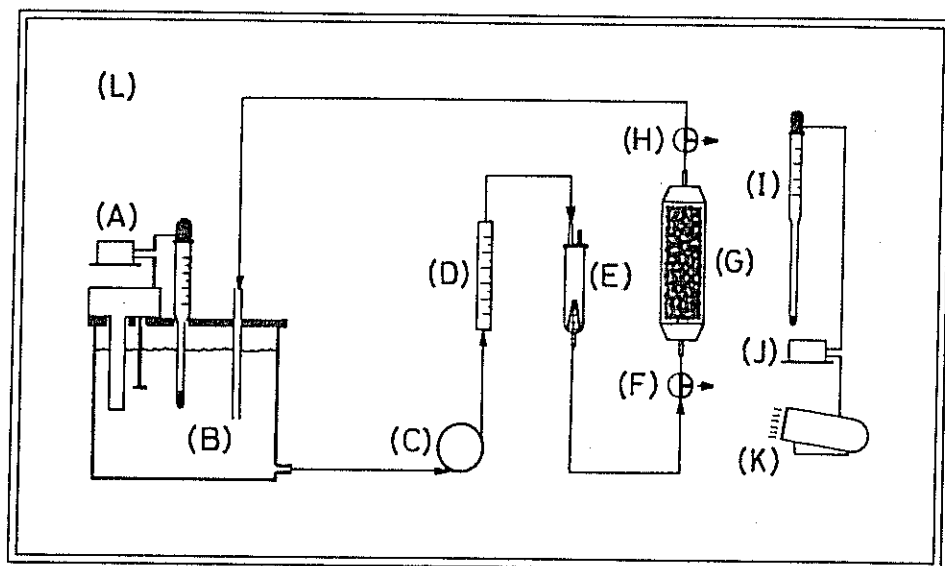
- 1650 ml'lik kreatinin çözeltileri cam kaplara konur ve çözeltilerin sıcaklığı 37° C'da sabit kalacak şekilde sıcaklık kontrol edilir.

- $37^{\circ}\text{C}$ deki çözeltilere değişik miktarlarda (5.27, 7.31, 11.5, 16.3, 23.9 gram) aktif karbon konur ve çözeltiler sürekli olarak aktif karbon granülleri parçalanmadan çalışılabilen en yüksek hızda (2600 devir/dak) karıştırılır.
- 4 saatlik deney süresinde belirli zaman aralıklarında 2.5 ml'lik örneklerde kreatinin konsantrasyonu EK - A'daki spektrofotometrik yöntemle ölçülerek zamanla değişimini saptanır.

#### Sürekli Sistem:

Sürekli düzende yapılan adsorpsiyon deneyleri ise aşağıda verilen iki farklı şekilde yapılmıştır.

Tek Geçişli Sürekli Sistem: Birinci grup sürekli sistem deneylerinde sabit konsantrasyonda izleyici içeren sulu çözeltiler, kaplanmamış Bac Mu aktif karbonlarıyla doldurulmuş adsorpsiyon kolonlarından "tek geçişli" olarak akıştırılmıştır. Kullanılan silindirik adsorpsiyon kolonunun çapı ( $D$ ) 25 mm, boyu ( $L$ ) 50 mm olup 11.5 gram aktif karbon granülleri ile doldurulmuştur. Adsorpsiyon deneyleri sabit sıcaklıkta ( $37^{\circ}\text{C}$ ) tutulan bir sabit sıcaklık odacığında gerçekleştirilmiştir. Bu odacığın sıcaklığı, sıcak hava üfleci (Esem Mini Klima, Türkiye), civalı kontakt termometre (Jumo, B. Almanya) ve röleden ((Jumo, B. Almanya) oluşan bir sistemle kontrol edilmiştir. Sıvı faz sıcaklık kontrolü ve karıştırma işlemi, Nüve Termomix, (Türkiye) cihazı ile yapılmıştır. Pompa olarak Watson Marlow, (İngiltere) peristaltik pompa kullanılmıştır. Kolon çıkışından 15-30 dakika zaman aralıklarıyla alınan örneklerde kreatinin konsantrasyonu EK-A'da verilen spektrofotometrik yöntemle ölçülür. Deneylerde adsorpsiyon kolonundan sıvı faz akış hızı ( $F$ ) 12.5-130 ml/dakika aralığında değiştirilmiştir. Test çözeltisi olarak 20 mg/litre ve 100



**Şekil 3.1. Sulu Fazda Kullanılan Kapalı Devreli Dolaşımlı Sistem Deney Düzenegi.**

A: Ana Depo Sıcaklık Kontrol Ünitesi; B: Ana Depo; C: Pompa; D: Rotametre;  
E: Damlama Hücresi; F ve H: Üç Yollu Vana; G: Hemoperfüzyon Kolonu;  
I: Kontakt Termometre; J: Röle; K: Isıtıcı; L: Sabit Sıcaklık Odacığı.

mg/litre olmak üzere iki farklı konsantrasyonda kreatinin içeren sulu çözeltiler kullanılmıştır.

**Kapalı Devreli Dolaşımlı Sistem:** Bu gruptaki deneylerde izleyici olarak 100 mg/litre başlangıç konsantrasyonunda kreatinin sulu çözeltisi ve adsorban olarak kaplanmamış ve % 0.4 ve % 0.8 selüloz nitrat kaplı Bac Mu karbonları kullanılmıştır. Deneylerin yürütüldüğü deney düzenegi (Şekil 3.1) aşağıdaki ana bölümlerden oluşmuştur.

- **Ana depo:** 1650 ml çözelti içeren bir cam kaptır. Ana depoda sıvı faz sıcaklık kontrol ve karıştırma işlemi Termomix (Nüve, Türkiye) cihazla yapılmıştır.
- **Sabit sıcaklık odacığı:** Tüm sistemi sabit sıcaklıkta ( $37^{\circ}$  C) tutmak için kullanılmıştır. Bu odacığın sıcaklığı sıcak hava üfleci (Esem Mini Klima,

Türkiye), cıvalı kontakt termometre (Jumo, B. Almanya) ve röleden (Jumo, B. Almanya) oluşan bir sistemle kontrol edilmiştir.

- Adsorpsiyon kolonu: Deneylerde teflondan yapılmış 3 farklı boyuttaki kolonlar kullanılmıştır. Çizelge 3.3.
- Dolasım pompası: Test çözeltisinin dolasımını sağlamak için hız ayarlı bir peristaltik pompa (Watson Marlow, İngiltere) kullanılmıştır.
- Rotametre: Çözelti hacimsel akış hızı bir rotametre ile kontrol edilmiştir.
- Dolasım devresi: Dolasım devresini oluşturmak üzere ticari olarak satılan hemodiyaliz setlerinden (Gambro, İsveç) alınan plastik boru sistemleri kullanılmıştır.

**Cizelge 3.3. Sulu Faz Kapalı Devreli Dolasımlı Sistemde Kullanılan Hemoperfüzyon Kolonlarının Özellikleri.**

Kolon No	Kolon Çapı (mm)	Kolon Boyu (mm)	Kolon Kesit Alanı (cm <sup>2</sup> )	A. K. Miktari (g)	Malzeme Cinsi	Taşıyıcı Elek Gözenek Boyutu (μm)
1	25	25	4.9	5.5 + 0.5	Teflon®	74
2	25	50	4.9	11.5 + 0.5	Teflon®	74
3	25	75	4.9	16.5 + 0.5	Teflon®	74

Kapalı devreli dolasımlı sürekli adsorpsiyon deneylerinin yapılmasında aşağıda verilen sıra izlenmiştir.

- Çözelti ana depoya konur ve ısıtıcı sıcaklığı ayarlanarak depo sıcaklığının 37°C'da sabit tutulması sağlanır.
- Aktif karbon dolgulu kolon ve tüm dolasım sistemi 37°C'daki sabit sıcaklık odacığına yerleştirilir.

- İstenilen çözelti dolaşım hızı ayarlanarak (bu gruptaki deneylerde 25, 50, 75, 125 ml/dak akış hızlarında çalışılmıştır) deney başlatılır. Uygun zaman aralıklarında (15-30 dak) kreatinin konsantrasyonu değişimini izlemek için kolon giriş ve çıkışından 0,5 ml'lik örnekler alınır.
- Deney süresince alınan örneklerde izleyici konsantrasyonu EK-A'da verilen spektrofotometrik yöntemle tayin edilir.

#### Kesikli Karıştırmalı Sistem-Kapalı Devreli Dolaşımı Sistem İlişkilerinin Araştırılması

Çalışmanın bu bölümünde kesikli karıştırmalı sistem ile kapalı devreli dolaşımı sistem arasındaki ilişkilerin araştırılması için yukarıdaki kapalı devreli dolaşımı sistem deneylerine ek olarak, Şekil 3.1'de verilen, ana depo çözelti hacmi 1650 ml, izleyici olan kreatinin başlangıç konsantrasyonu 100 mg/litre, kullanılan kolon boyutları D=25 mm, L=50 mm olan kapalı devreli dolaşımı sisteme dört deney daha yapılmıştır. İlk iki deneyde çözelti hacimsel akış hızı, F, 167 ve 227 ml/dak olarak seçilmiştir ve buradan elde edilen veriler kesikli karıştırmalı-kapalı devreli dolaşımı sistemler arasındaki ilişkinin belirlenmesi için kullanılmıştır. Bu grupta yapılan üçüncü deneyde, 33 ml/dak sabit çözelti hacimsel akış hızında çalışılmıştır. Burada yapılan dördüncü deneyde ise, deney boyunca hacimsel akış hızının azaltılmasının etkisini gözlemek amacıyla, ilk 5 dakikada 216, ikinci 5 dakikada 107, daha sonra 10 dakika, 40 ve 220 dakika süreyle, 27 ml/dakika çözelti hacimsel akış hızlarında çalışılmış ve ortalama çözelti hacimsel akış hızının 33 ml/dak olması sağlanmıştır.

### Kolon Boyut Büyütme Çalışması

Bu bölümde, hemoperfüzyon kolonlarının olduğu kadar diğer adsorpsiyon sistemlerinde önemli bir tasarım aşamasını oluşturan kolon boyut büyütme

**Çizelge 3.4. Birinci Boyut Büyütme Basamağı Sonrasında Yapılan Adsorpsiyon Deneylerinde Kullanılan Hemoperfüzyon Kolonlarının Özellikleri.**

Kolon No	Kolon Çapı (mm)	Kolon Boyu (mm)	Kolon Kesit Alanı (cm <sup>2</sup> )	A. K. Miktarı (g)	Malzeme Cinsi	Taşıyıcı Elek Gözenek Boyutu (μm)
1	38	69	11.3	35 ± 1.5	Delrin®	177
2	44	59	15.2	35 ± 1.5	Delrin®	177
3	54	34	22.9	35 ± 1.5	Delrin®	177

çalışmaları yapılmıştır. Çalışma aşağıda verilen iki ana basamakta gerçekleştirilmiştir.

**Birinci boyut büyütme basamağı:** Birinci basamakta 5 litrelilik intravasküler hacime eşdeğer hacimdeki sıvı fazın, ana depo hacmi  $V_d=1650$  ml, kreatinin başlangıç konsantrasyonu  $C_0=100$  mg/litre, çözelti hacimsel akış hızı,  $F= 75$  ml/dak, kullanılan kolon boyutları  $D=25$  mm,  $L=50$  mm, ve birim aktif karbon miktarı başına kullanılan çözelti hacmi,  $V_d/M=144$  ml/gram aktif karbon olan mini sisteme ulaşılan kreatinin adsorplanma hızında temizlenmesi için, gerekli kolon boyutları ve çözelti hacimsel akış hızı hesaplanmıştır.

- **Birinci boyut büyütme basamağı sonrasında yapılan adsorpsiyon deneyleri :** Bu grupta yapılan çalışmada, ilk boyut büyütme basamağında ulaşılan ve Çizelge 3.4 No 2'de verilen kolon yanında, yine 35 gram aktif karbon içeren, ancak, değişik boy/çap oranlarına sahip, Çizelge 3.4 No 1 ve 3'de

Özellikleri belirtilen kolonlar kullanılmıştır. Burada kreatininin yanı sıra, vitamin B-2 ve vitamin B-12 adsorpsiyonu da aynı koşullarda incelenmiştir. Bu deneylerde kreatinin, vitamin B-2, vitamin B-12 başlangıç konsantrasyonları sırasıyla 100, 20, 20 mg/litre olarak alınmıştır. Kaplamanın adsorpsiyon üzerindeki etkisinin incelenmesi için de deneylerde hem kaplanmamış hemde % 0.4 selüloz nitrat kaplanmış Bac Mu aktif karbonları kullanılmıştır.

İkinci boyut büyütme basamağı: Kolon boyut büyütme işleminin ikinci basamagında 15 litrelilik ekstraselüler sıvı hacmine eşit miktardaki sulu fazdan kreatinin temizlenmesi incelenmiştir. Bu amaçla ana depo hacmi  $V_d = 5000$  ml, kreatinin başlangıç konsantrasyonu  $C_0 = 100$  mg/litre, çözelti hacimsel akış hızı,  $F = 227$  ml/dak, kullanılan kolon boyutları  $D = 44$  mm,  $L = 50$  mm ve birim aktif karbon miktarı başına kullanılan çözelti hacmi  $V_d/M = 144$  ml/gram A. K. olan ve birinci boyut büyütme basamağındaki araştırmalar sonucunda ulaşılan kolon ve sistemle eşit degerde boş kolonda çözelti çizgisel akış hızına,  $U$ , çözelti hacimsel akış hızına,  $F$  ve birim aktif karbon miktarı başına kullanılan çözelti miktarına,  $V_d/M$  sahip yeni bir kolon ve sistem tasarımı gerçekleştirilemiştir.

#### Büyütlümüs Kolonda Kütle Transfer Bölgesinin İncelenmesi

İkinci boyut büyütme basamagında yapılan çalışmalar sonucunda kolon çapı  $D = 44$  mm, kolon boyu  $L = 150$  mm, toplam aktif karbon miktarı  $M = 102$  gram olan hemoperfüzyon kolonuna ulaşılmıştır. Bu sistemde kütle transfer bölgesinin ilerleyişinin incelenmesi amacıyla söz konusu kolon 5 cm boyunda seri halde bağlı üç eşit parçadan oluşacak şekilde hazırlanmıştır. Deneylerde izleyici olarak kullanılan kreatininin başlangıç konsantrasyonu 100 mg/litre olup deney süresince her kolon parçasının giriş ve çıkışından alınan örneklerde kreatinin konsantrasyonu EK-A'da verilen yöntemle saptanmıştır.

Kolon Bağlama Yönteminin Adsorpsiyon Hızına ve Aktif Karbon-Sıvı Faz Temas Yüzey Alanına Etkisinin Araştırılması

Bu bölümdeki deneyler aktif karbon ile sıvı faz arasındaki temas yüzey alanının küçültülebilmesi amacıyla gerçekleştirilmiştir. Çizelge 3.5'de verilen sistemde kullanılan hemoperfüzyon kolonunun üç parçası sırasıyla I. kolon 40 dakika , II. kolon 41 dakika, III. kolon 119 dakika ve ikinci kolon tekrar 40 dakika olmak üzere sisteme teker teker bağlanıp çıkarılmış ve elde edilen sonuçlar tek seferde üç kolon parçasının birlikte bağlanmasındaki durumla karşılaştırılmıştır. Deneylerde izleyici olarak kreatinin kullanılmıştır. Kreatinin başlangıç konsantrasyonu yine 100 mg/litre'dir.

### 3.2. 4. b. IN-VITRO KAN DENEYLERİ

Bu gruptaki deneyler heparinize taze koyun kanı veya sağlıklı ve hastalıklı insan kanı kullanılarak gerçekleştirilmiştir. In-vitro düzeneklerde gerçekleştirilen bu gruptaki adsorpsiyon çalışmaları aşağıda belirtildiği gibi kesikli karıştırmalı ve kapalı devreli dolaşımlı sistemlerinde yapılmıştır. Ayrıca kolonun kan hücresel elemanları kaybı yönünden optimize edilebilmesi için yalnızca insan kanı ile kapalı devreli dolaşımlı sistemde yapılan deneylerde hücre kaybına kolon çapının etkisi araştırılmıştır.

#### Kesikli Karıştırmalı Sistemlerde Kan Deneyleri

Deneylerde kullanılmak üzere deney gününde hayvan veya insandan alınan kanlar 1 ml'sine 5 IU olacak şekilde heparinize edilmiş böylece kanın pıhtılaşması önlenmiştir. Bu kanlar deney öncesi 37°C'daki sabit sıcaklıkta

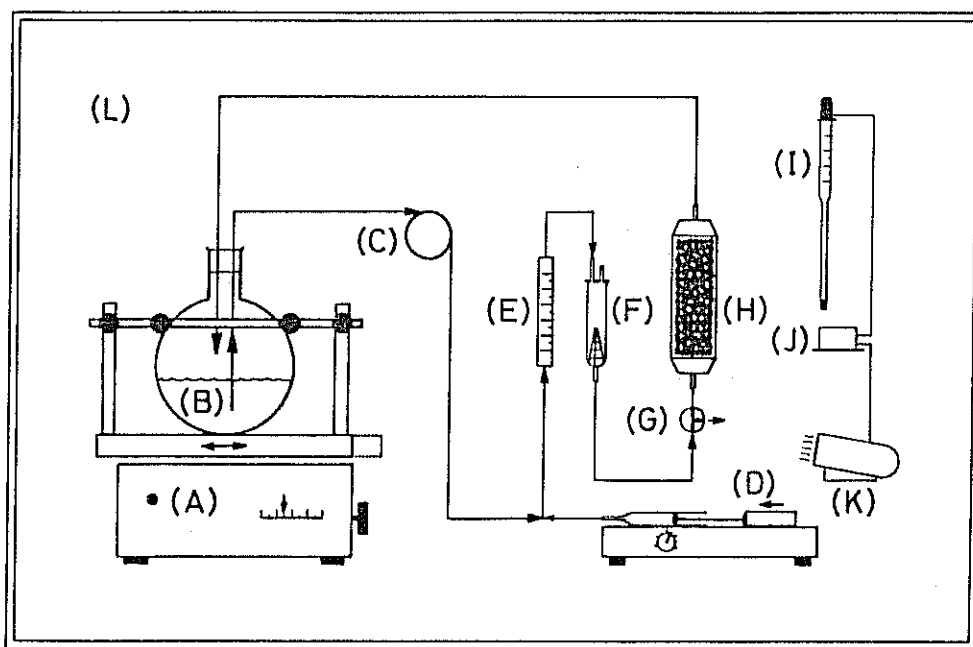
korunmuş ve deneyler aşağıda anlatılan deney düzenegi ve yöntemiyle yapılmıştır.

- Kandaki kreatinin konsantrasyonu EK-B'de verilen spektrofotometrik yöntemle, hemotokrit ise EK-C'de belirtilen yöntemle tayin edilir.
- Tüm kan hacmi mezürle ölçülür ve kana, kreatinin konsantrasyonunu 100 mg/litre değerine yükseltceek miktarda kreatinin ilave edilir.
- 100 ml'lik örnekler 500 ml'lik ağızlı tipli temiz serum fizyolojik şişelerine konur ve üzerlerine değişik miktarlarda (0.48, 0.96, 1.70, 1.92 gram) aktif karbon ilave edilir.
- Cam şişeler bir çalkalayıcı (Nüve SL 350, Türkiye) üzerine yerleştirildikten sonra 37°C sıcaklıkta 4 saat süreyle çalkalanır.
- Şişelerden deney başlangıcından itibaren 0., 15., 30., 60., 120., 180., 240., dakikalarda 2.5 ml'lik kan örnekleri alınır.
- Bu kanların santrifürlenmesi ile elde edilen plazmadan alınan 1 ml'lik örneklerde EK-B'de verilen yöntemle kreatinin tayini yapılır.
- Örneklerden geriye kalan plazma ve kan hücreleri hemen deney ortamına ilave edilir.

#### Kapalı Devreli Dolasımlı Sistemde Kandan Kreatinin Adsorpsiyonu

Bu grupta koyun kanı ile yapılan adsorpsiyon deneyleri yer almaktadır. Deneyler kesikle sistemdeki işlemlere uyularak her seferinde üç ayrı koyundan alınan toplam 1290 ml hacimdeki uygun şekilde heparinize edilmiş kanlarla yapılmıştır. Bu gruptaki deneyler Şekil 3.2'de görülen deney düzeneğinde gerçekleştirılmıştır. Bu düzenek aşağıdaki elemanlardan oluşmuştur.

- Sabit sıcaklık odası: Bölüm 3.2. 4'a'da kapalı devreli dolasımlı sistem kısmında özellikleri verilmiştir.



**Şekil 3.2. In-Vitro Kan Deneylende Kullanılan Kapalı Devreli Dolaşmalı Sistem**  
 Deney Düzeneği. A: Çalkalayıcı; B: Ana Depo; C: Pompa; D: Şırıngalı Pompa;  
 E: Rotametre; F: Damlama Hücresi; G: Üç Yollu Vana; H: Hemoperfüzyon  
 Kolonu; I: Kontakt Termometre; J: Röte; K: Isıtıcı; L: Sabit Sıcaklık Odası.

- Dolasım devresi: Bölüm 3.2. 4.a'da kapalı devreli dolaşmalı sistem kısmında özellikleri verilmiştir.
  - Ana depo: Ekstraselüler hacim ile aktif karbon miktarı arasındaki birim aktif karbon miktarı başına kullanılan kan miktarı ( $V_k/M$ ) oranını sağlayacak hacimde (1290 ml) kan içeren 4 litrelik bir balondur.
  - Adsorpsiyon kolonu: Deneylerde çapı  $D=22.8$  mm, boyu  $L=66$  mm ve aktif karbon miktarı  $M=11.7$  gram olan poliamid kolon kullanılmıştır.
  - Dolasım pompa: Kan dolasımını sağlamak için hız ayarlı bir peristaltik pompa (Masterflex Cole Parmer, ABD) kullanılmıştır.
  - Şırıngalı pompa: Dolasım sistemine sürekli ve sabit hacimsel akış hızında heparin beslemek için bir şırıngalı pompa (Sage, Model 355 ABD) kullanılmıştır.
  - Çalkalayıcı: Kan hücresel eleman kaybını minumuma indirmek için ana depodaki karıştırma işlemi bir çalkalayıcı (Nüve SL 350, Türkiye) ile

gerçekleştirilmiştir. Çalkalama, kan yüzeyinde köpük oluşumunu minimumda tutacak devirde (< 50 devir/dakika) yapılmış ve sürekli olarak deney boyunca kontrol edilerek ayarlanmıştır.

- Rotametre: Hacimsel akış hızının kontrolü ve kalibrasyonu için kullanılmıştır.

- Damlama hücresi: Kolona hava kaçmasını önlemek için kullanılmıştır.

Bu deneylerde  $F$  değeri 19 ve 46 ml/dak olarak iki farklı kan hacimsel akış hızında çalışılmıştır. Kullanılan kan hacmi 1290 ml olduğu düşünülürse bu iki akış hızına karşılık gelen kan deposunda alikonma süreleri,  $\tau_k$ , sırasıyla 28 ve 69 dakikadır. Bu değerler seçilirken aşağıdaki noktalar göz önünde tutulmuştur.

Hastanın ekstraselüler hacmi tek bir kompartman gibi düşünüldüğünde toplam hacim 15 litre'dir. Ekstrakorporeal yöntemlerinde tedavi amacıyla günümüzde en çok kullanılan kan hacimsel akış hızı 200 ml/dak olup, 75 dakikalık  $\tau_k$  değerine eşdeğerdir. 19 ml/daklık akış hızı ile ulaşılan 69 dakikalık  $\tau_k$  değeri hem bu değere, hem de sulu çözeltide daha önceden kullanılan 66 dakikalık  $\tau_d$  değerine oldukça yakındır. Uzaklaştırılmak istenen toksik maddenin vücutundan diğer kompartmanlarından kana difüzyonunun çok yavaş olduğu durumlarda ise, hastanın intravasküler hacmi (5 litre) tek bir kompartman olarak göz önüne alınabilir. Bu durumda kanın intravasküler hacimde alikonma süresi 25 dakika olup, kapalı devreli dolaşımlı sistemde kullanılan 28 dakikalık  $\tau_k$  değeri bununla ve sulu çözeltide daha önceden kullanılan 33 dakikalık değerlerle uyum göstermektedir.

Bu sistemde izleyici olarak kreatinin ( $C_0 = 100 \text{ mg/litre}$ ) kullanılmış ve 4 saatlik deneylerin yapılmasında aşağıda verilen işlem sırası izlenmiştir.

- Orjinal kandaki kreatinin konsantrasyonu EK-B'de verilen spektrofotometrik yöntemle tayin edilir.

- Tüm kan hacmi mezürle ölçülür ve kana, kreatinin konsantrasyonunu 100 mg/litre değerine yükseltecek miktarda kreatinin ilave edilir.
- Dolaşım sistemi ve aktif karbon dolgulu kolon 0.45 ml heparin içeren 500 ml serum fizyolojigin bir kısmıyla durulanır ve kalanı sistemde 30 dakika süreyle dolaştırılır. Dolaşım başlatıldıktan 15 dakika sonra dolaşım pompa girişine 0.45 ml heparin enjekte edilir.
- Dolaşım devresindeki tüm heparinli serum fizyolojik boşaltılır. Bu işlem aktif karbon kolonuna ters emme ile uygulanır ve kolon sistemden ayrılır.
- Sisteme 1290 ml kan konur ve bu kan devrede dolaştırılırken rotametre yardımıyla pompa ayarı yapılır.
- Pompa girişine 0.45 ml heparin enjekte edilir ve 5 dakika sonra 2.5 ml'lik bir kan örneği alınarak dolaşım durdurulur.
- Örnekte Ek-C'de belirtilen yöntemle hemotokrit tayin edilir.
- Hemoperfüyon kolonu sisteme bağlanır ve kolon girişine (kanın hemen önüne) 0.45 ml heparin enjekte edilir.
- Deney başlatılır ve deney süresince sisteme şırıngalı pompa yardımıyla heparinin serum fizyolojikte çözeltisi (0.6 ml heparin / 10 ml çözelti) enjekte edilir, (Heparin hacimsel akış hızı 5 ml/saat).
- Uygun zaman aralıklarında (0., 15., 30., 45., 60., 90., 120., 150., 210., 240., dakikalar) alınan 2.5 ml'lik kan örneklerinde EK-B'de verilen yöntemle kreatinin konsantrasyonu tayin edilir.

#### Kolonda Kan Hücre Kaybı ve Kolon Çapı Optimizasyon Deneyleri

Bu grupta insan kanı ile yapılan kolon çapı optimizasyon deneyleri yer almıştır. Deneyler her seferinde farklı insanlardan alınan ve önceki bölümde açıkladığı gibi heparinize edilen 316 ml hacimdeki kanlarla yapılmıştır.

Deneylede, damlama hücresi olmayan, Şekil 3.2'de gösterilen ve aşağıdaki elemanlardan oluşan kapalı devreli dolaşımı sistemde çalışılmıştır.

- Sabit sıcaklık odacığı: Bölüm 3.2.4.a'da kapalı devreli dolaşımı sistemliğinde özellikleri verilmiştir.
- Ana depo: İntravasküler hacim ile aktif karbon miktarı arasındaki birim aktif karbon miktarı başına kullanılan çözelti (veya kan) miktarını ( $V_k / M$ ) sağlayacak hacimde ( $V_k=316 \text{ ml}$ ) kan içeren 1 litrelilik bir balondur.
- Adsorpsiyon kolonları: Deneylede Çizelge 3.5'de özellikleri verilen poliamid kolonlar kullanılmıştır. Kolonlarda kullanılan elekler pırıncıltır.
- Dolasım pompası: Bölüm 3.2.4.b'de kapalı devreli dolaşımı sistemde kan-dan kreatinin adsorpsiyonu kısmında özellikleri verilmiştir.
- Sırıngalı pompa: Bölüm 3.2.4.b'de kapalı devreli dolaşımı sistemde kan-dan kreatinin adsorpsiyonu kısmında özellikleri verilmiştir.
- Çalkalayıcı: Bölüm 3.2.4.b'de kapalı devreli dolaşımı sistemde kandan kreatinin adsorpsiyonu kısmında özellikleri verilmiştir.
- Rotametre: Kan hacimsel akış hızının kontrolü ve kalibrasyonu için kullanılmıştır.

**Çizelge 3.5. In-Vitro Kan Deneyleerde Kolon Çapı Optimizasyonu İçin Kullanılan Hemoperfüzyon Kolonları.**

Kolon No	Kolon Çapı (mm)	Kolon Boyu (mm)	Kolon Kesit Alanı (cm <sup>2</sup> )	A. K. Miktarı (g)	Malzeme Cinsi	Taşıyıcı Elek Gözenek Boyutu (μm)
1	18.0	77	2.54	8.6	Poliamid	177
2	15.0	103	1.76	8.6	Poliamid	177
3	12.5	155	1.23	8.6	Poliamid	177

Hemoperfüzyon kolon çapı hesabı için, boş kolonda çizgisel akış hızının kan hücresel elemanları kaybına etkisinin incelediği 4 saatlik bu gruptaki deneylerin yapılmasında aşağıda verilen işlem sırası takip edilmiştir.

- Dolaşım sistemi ve aktif karbon dolgulu kolon 0.2 ml heparin içeren 250 ml serum fizyolojigin bir bölümyle durulanır ve kalanı sistemde 30 dakika süreyle dolaştırılır. Dolaşının başlatılmasından 15 dakika sonra dolaşım pompası girişine 0.45 ml heparin enjekte edilir.
- Dolaşım devresindeki tüm heparinli serum fizyolojik boşaltılır. Bu işlem aktif karbon kolonuna ters emme ile uygulanır ve kolon sistemden ayrıılır.
- Sisteme 316 ml kan konur ve bu kan devrede dolaştırılırken rotametre yardımıyla pompa ayarı yapılır.
- Pompa girişine 0.35 ml heparin enjekte edilir ve 5 dakika sonra yine 2.5 ml heparin enjekte edilir ve 5 dakika sonra 2.5 ml'lik bir kan örneği alınarak dolaşım durdurulur.
- Örnekte hemotokrit ölçümü yanında lökosit, eritrosit ve trombosit sayımları yapılır. Bu ölçümler için EK-C ve D'de verilen yöntemler izlenir.
- Hemoperfüzyon kolonu sisteme bağlanır ve kolon girişine (kanın hemen önüne) 0.2 ml heparin enjekte edilir.
- Deney başlatılır ve deney süresince sisteme şırıngalı pompa yardımıyla 5 ml/saat hızla, heparinin serum fizyolojikteki çözeltisi (0.6 ml heparin/10 ml çözelti) enjekte edilir.
- Uygun zaman aralıklarında (0., 30., 60., 120., 180., 230., dakikalar) alınan 2.5 ml'lik kan örneklerinde hemotokrit, lökosit, eritrosit ve trombosit tayini yapılır.

## 4. DENEYSEL SONUÇLAR VE TARTIŞILMASI

Bu bölümde, bir aktif karbon dolgulu hemoperfüzyon kolonunun hazırlanması amacıyla yapılan deneysel çalışmaların sonuçları sunulmuş ve yeri geldikçe bulgular üzerinde tartışmalar yapılmıştır. Deney sonuçları üç ana grup altında incelenmiş olup ilk önce adsorban seçimi ile ilgili deney sonuçları ele alınmıştır. Sonraki bölümde aktif karbon yüzeyinin selüloz nitratla kaplanabilmesi için geliştirilen deneysel çalışma sonuçları incelenmiştir. Üçüncü bölümde de kolon tasarımlı amacıyla sulu ortamda ve kanla (in-vitro) yapılan deneylerin sonuçları verilmiştir.

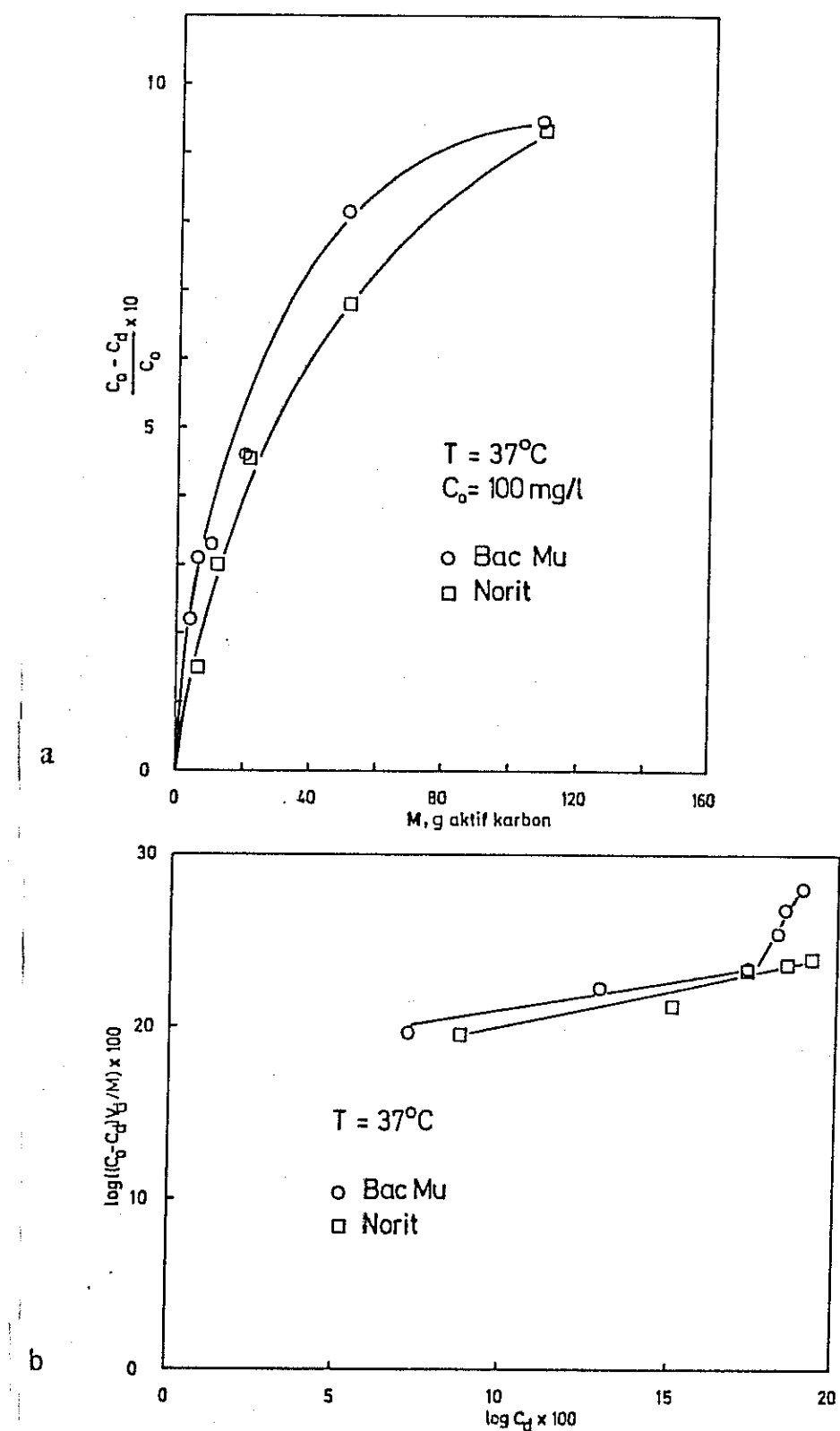
### 4.1. AKTİF KARBON SEÇİMİ

#### 4.1.1. ADSORPSİYON KAPASİTELERİNİN TAYINI

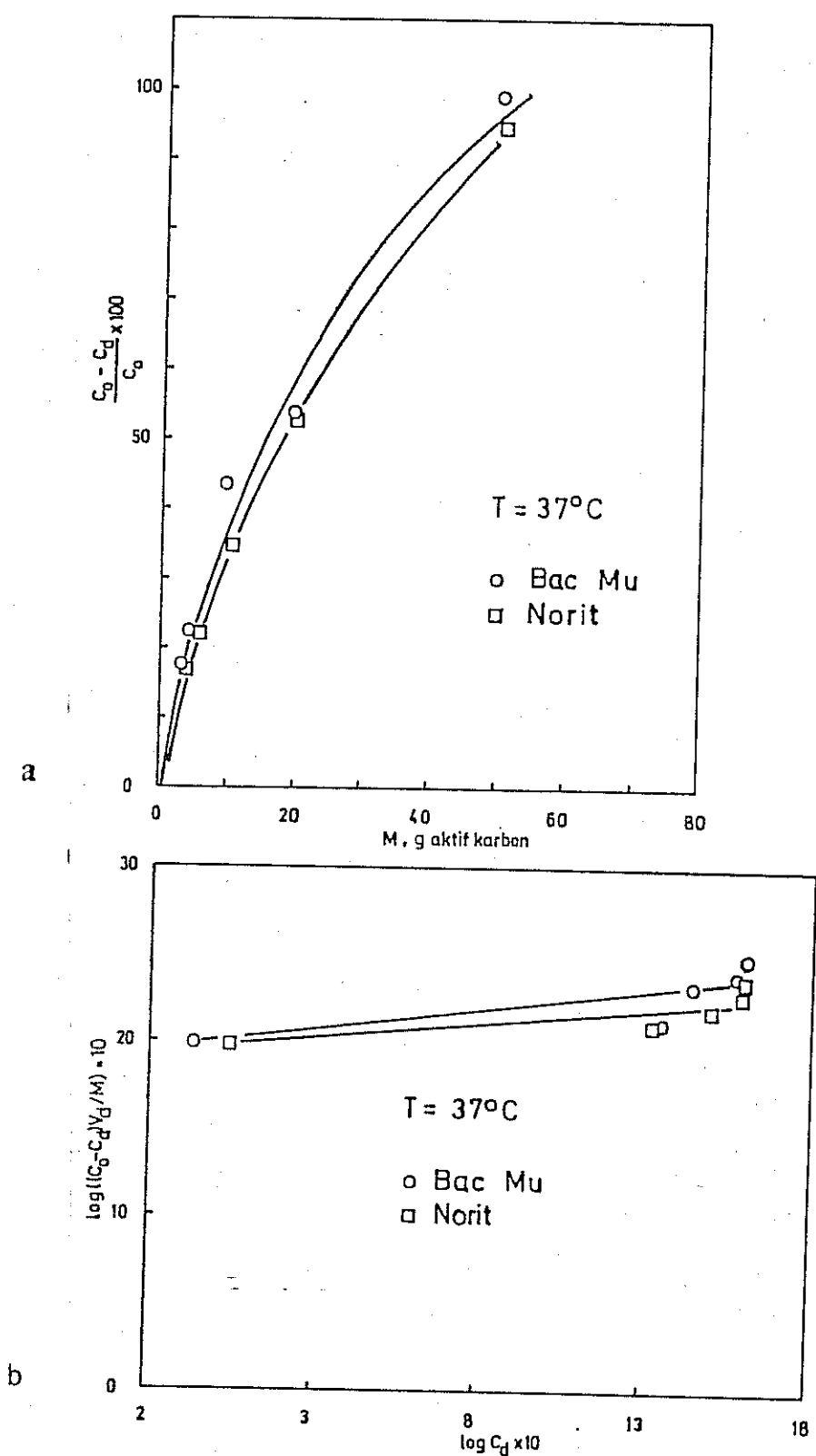
Aktif karbonun adsorplama kapasitesi, başka bir ifade ile, birim aktif karbon başına adsorplanan adsorbat miktarı bir adsorbanın en önemli özelliği olup, direkt olarak kolon hacminin saptanmasında etkin rol oynar.

Çalışmanın bu bölümünde Bac Mu<sup>®</sup> ve Norit RBXS-1 karbonlarının denge adsorpsiyon kapasiteleri saptanmıştır. Deneylerde izleyici olarak endojen metabolik artıklar olan kreatinin ve ürik asit ile kandaki orta büyülüklükteki toksikleri temsil etmek üzere vitamin B-2 ve vitamin B-12 kullanılmıştır.

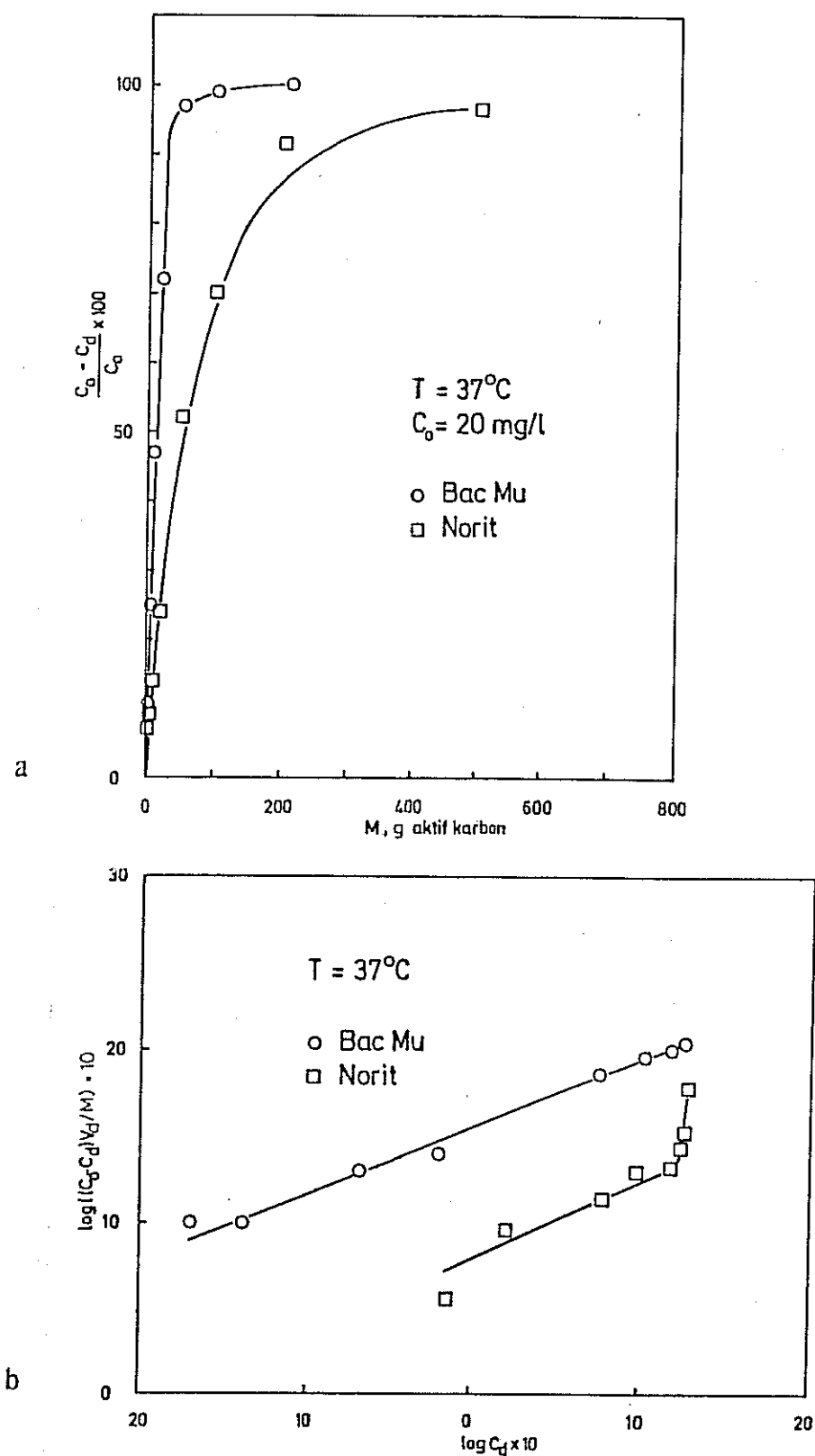
Sonuçlar Şekil 4.1-4.4 'de topluca sunulmuştur. Her şekilde de ikişer grafik verilmiştir. Birinci grafiklerde (a indisli) kullanılan aktif karbon miktarına karşı denge durumunda adsorplanan izleyici miktarı,  $(C_0 - C_d)/C_0$ , (boyutsuz) yer almaktadır. Burada,  $C_0$  başlangıç,  $C_d$  ise denge konsantrasyonlarıdır. Şekillerdeki ikinci grafikler (b indisli) daha önce Bölüm 2.3.2'de verilen



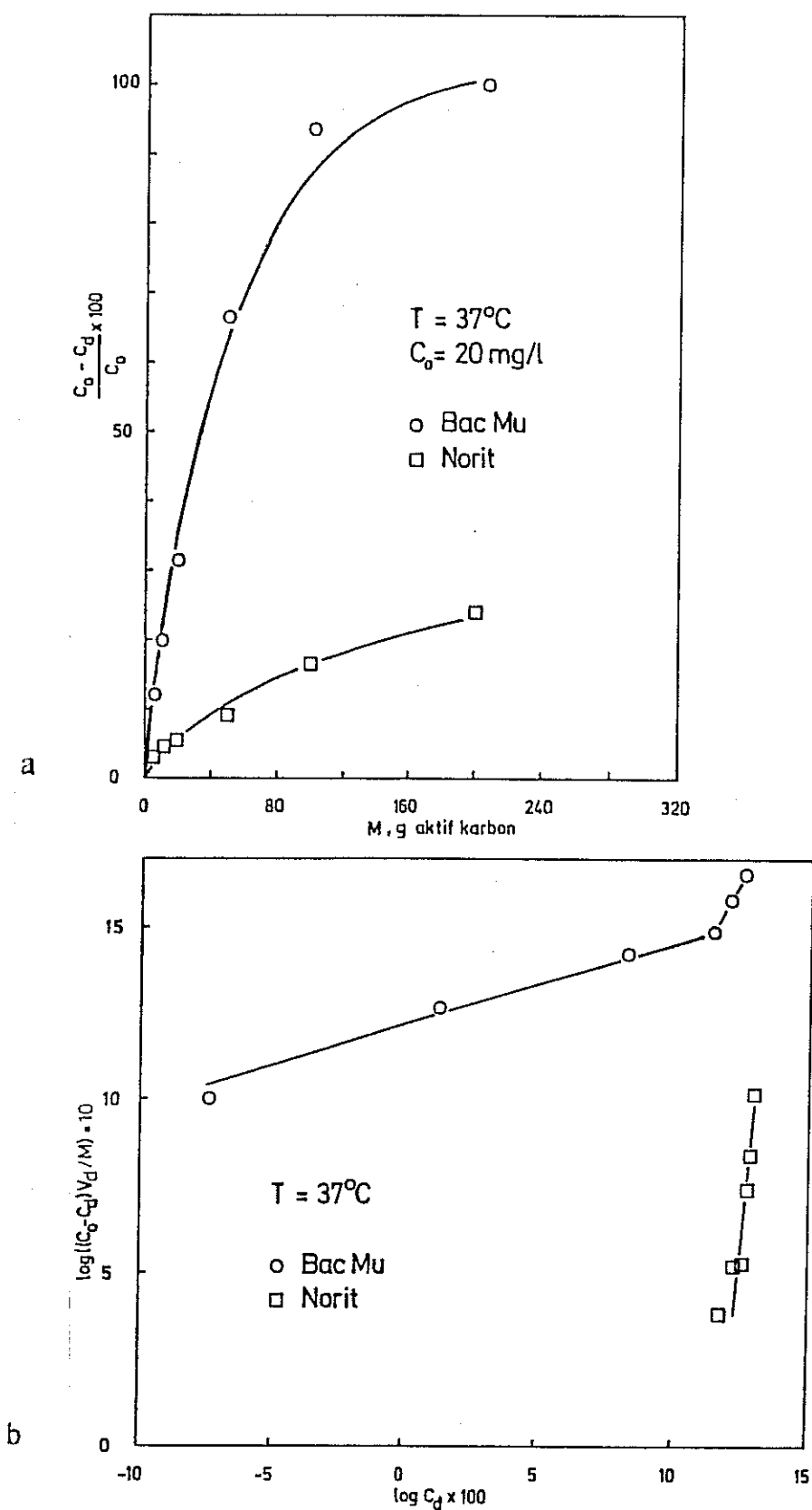
Sekil 4.1. Kreatinin Adsorpsiyon Izotermi.



Şekil 4.2. Ürik Asit Adsorpsiyon Izotermleri.



Şekil 4.3. Vitamin B-2 Adsorpsiyon Izotermi.



Şekil 4.4. Vitamin B-12 Adsorpsiyon İzotermi.

Çizelge 4.1. Aktif Karbonların Freundlich Katsayıları.

Aktif Karbon Türü	İzleyici							
	Kreatinin		Ürik Asit		Vitamin B-2		Vitamin B-12	
	K <sub>f</sub>	n	K <sub>f</sub>	n	K <sub>f</sub>	n	K <sub>f</sub>	n
Norit RBXS-1	36.71	2.33	91.2	5.26	5.13	1.56	0.01	0.52
Bac Mu	41.69	2.13	100.0	4.00	38.90	2.78	16.22	3.33

Freundlich denkligindeki "K<sub>f</sub>" ve "n" katsayılarının hesaplanmasıında kullanılan log (C<sub>d</sub>)'ye karşı log [(C<sub>0</sub>-C<sub>d</sub>) V<sub>d</sub>/M] grafikleridir. [(C<sub>0</sub> - C<sub>d</sub>) V<sub>d</sub>/M], birim aktif karbon başına adsorplanan adsorbat miktarı olup, V<sub>d</sub> ana depodaki toplam çözelti hacmidir.

Grafiklerden görüldüğü gibi, Bac Mu<sup>®</sup> aktif karbonu Norit RBXS-1 karbonundan daha yüksek adsorplama kapasitesine sahiptir. Küçük molekül ağırlıklı adsorbatlar (kreatinin, Ürik asit) için az olan bu kapasite farkı, adsorbat molekül ağırlığı arttıkça (vitamin B-2 ve vitamin B-12) hızla Bac Mu<sup>®</sup> aktif karbonu lehine değişmektedir. Şekillerde görüldüğü gibi Bac Mu<sup>®</sup>'nın kreatinin ve vitamin B-12 için, Norit RBXS-1'in ise vitamin B-12 iç in hazırlanan adsorpsiyon izotermi çok tabakalı BET adsorpsiyon izotermelerine benzemektedir.

Eğrilerden hesaplanan Freundlich katsayıları Çizelge 4.1'de topluca verilmiştir. Bu değerler de Bac Mu<sup>®</sup>'nın özellikle büyük moleküller için daha yüksek adsorpsiyon kapasitesine sahip olduğunu göstermektedir.

Çizelge 4.2. Aktif Karbonların Toplam Yüzey Alanları.

Aktif Karbon Türü	Toplam Yüzey Alan ( $m^2/g$ )	
	Ölçülen Değer	Literatür Değeri
Norit RBXS-1	922	930
Bac Mu®	1383	1000 - 1300

#### 4.1.2. TOPLAM YÜZEY ALAN

Aktif karbonların adsorpsiyon kapasitesini etkileyen en önemli parametrelerden birisi de toplam yüzey alanıdır. Çalışmanın bu bölümünde Bac Mu® ve Norit RBXS-1 karbonlarının yüzey alanları Çekmece Nükleer Araştırma ve Eğitim Merkezi'nde ölçülmüş ve değerler Çizelge 4.2'de verilmiştir. Çizelgede ayrıca üretici firmaların literatür değerleri de sunulmuştur.

Çizelge 4.2'de görüldüğü gibi Bac Mu®'nın toplam yüzey alanı Norit RBXS-1'den % 30 daha fazla olup bulgular üretici firmalarca verilen değerlere uyum göstermektedir.

#### 4.1.3. KÜL MİKTARI TAYINI

Hemoperfüzyonda kan ile temasa gelen aktif karbonun kül miktarı materyalin içerdigi inorganik safsızlığı gösterir. İyi bir hemoperfüzyon aktif karbonu düşük kül miktarına sahip olmalıdır. Bu grupta Bölüm 3.2.1.c'deki yöntem izlenerek bulunan değerler Çizelge 4.3'de literatür değerleri ile karşılaştırılmış olarak verilmiştir.

Çizelge 4.3. Aktif Karbonların Kül Miktarları.

Aktif Karbon Türü	Kül Miktarı (%)	
	Ölçülen Değer	Literatür Değeri
Norit RBXS-1	1.8	< 2.8
Bac Mu®	0.18	< 0.5

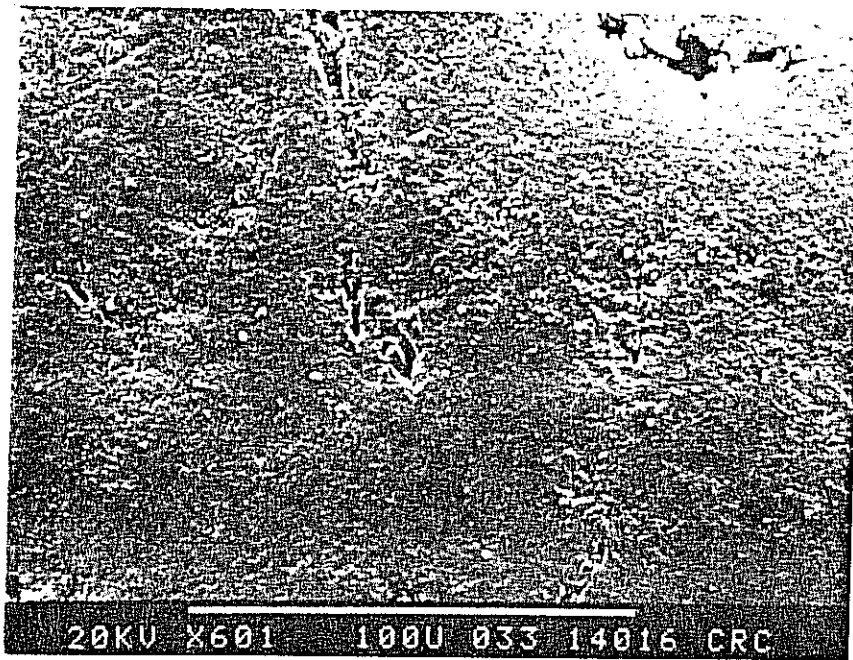
Üretici firmaların belirttiği değerlerle uyum gösteren sonuçlar Bac Mu®'nun Norit RBXS-1'e göre çok daha az inorganik safsızlık içerdigini göstermektedir.

#### 4.1.4. YÜZYEY SERTLİĞİ, KIRILGANLIK VE AŞINMA TESTİ

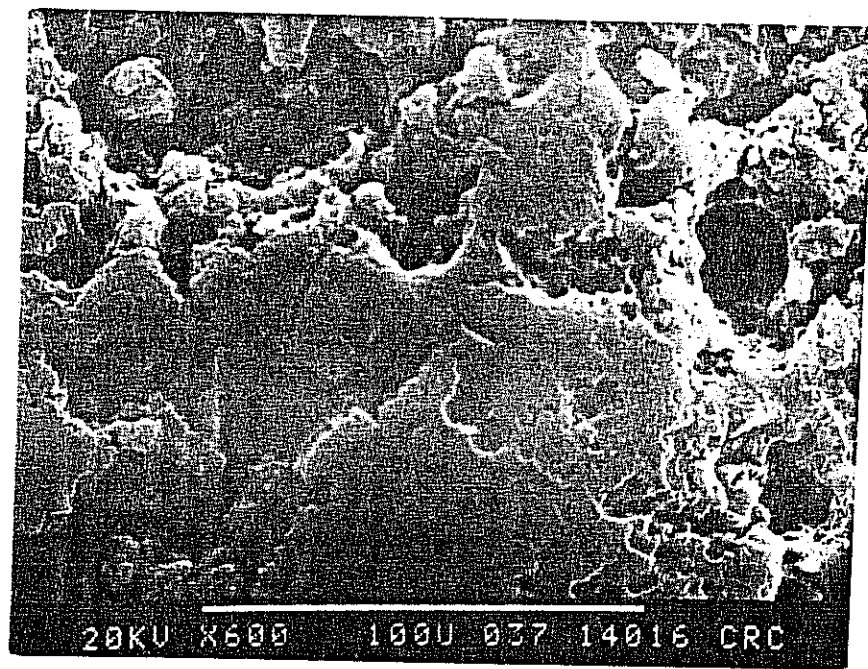
Üretim ve kullanımda aktif karbonların yüzeylerinden parça kopması başka bir ifade ile ince partikül salınımı istenmeyen bir durumdur. Bu özellikle klinik uygulamada çok önemli olup, önceki bölgelerde söz edildiği gibi emboli oluşumuna ve dokularda birikime neden olabilmektedir. Çizelge 4.4'de verilen aktif karbonların aşınma test sonuçlarına bakıldığında Bac Mu®'nun yüzey aşınma direnci ve yüzey sertliğinin Norit RBXS-1'den daha yüksek olduğu görülmektedir.

Çizelge 4.4. Aktif Karbonların Aşınma Kayıpları.

Aktif Karbon Türü	Aşınma Kaybı (%)
Norit RBXS - I	0.272
Bac Mu®	0.039



a



b

Şekil 4.5. Bac Mu® Aktif Karbonunun Yüzey Morfolojisí: (a) Yıkamamış; (b) Ultrasonik Yıkamadan Sonra.

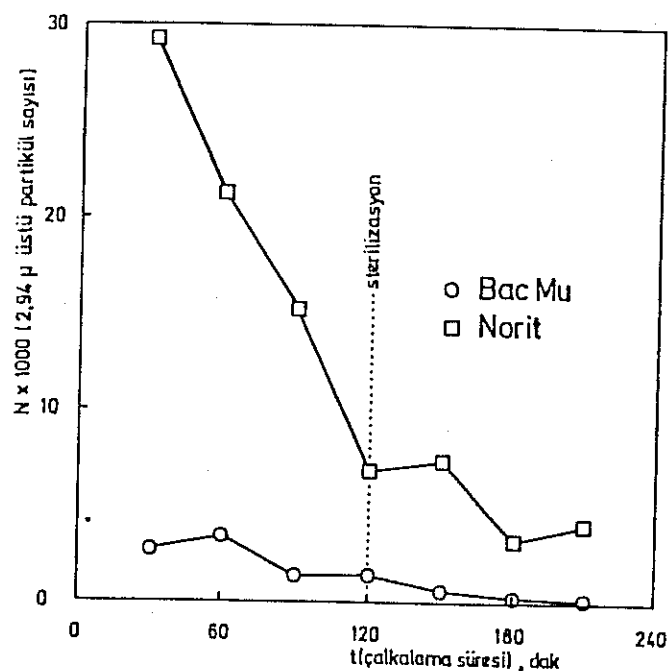
Dikkat edileceği gibi bu bölümde sonuçlar literatür bulguları ile karşılaştırılmıştır. Bunun nedeni bu grup testler için literatürde çok farklı yöntemlerin kullanılmasıdır.

#### 4. 1. 5. TEMİZLİK VE YIKANABİLİRLİK TAYINI

Daha önce de söz edildiği gibi, hemoperfüzyon kolonlarının klinik uygulamalarında karşılaşılan en önemli sorunlardan birisi de ince partikül salınımıdır. Bu, karbonun aşınma direnci ile olduğu kadar, temizliği ve yıkabilirliğiyle de ilgilidir. Ayrıca karbon granüllerinin iyi kaplanabilmesi için karbonun çok temiz olması gerekmektedir. Yıkabilirliğin proses ekonomisini de önemli oranda etkileyecegi aşikardır.

Yapılan ön çalışmalarda önce ultrasonik yıkama tekniğinin kullanılması düşünülmüştür. Yıkama deneylerinde ulaşılan sonucun incelenmesi için Bac Mu karbonunun yıkama öncesi ve ultrasonik yıkama sonucu yüzey SEM fotoğrafları çekilmiştir. Bu fotoğraflar Şekil 4.5 a ve b'de sunulmuştur. Şekil 4.5 a'da yıkanmamış aktif karbon üzerinde yabancı toz ve ince karbon partikülleri net olarak görülmektedir. Şekil 4.5b'de ise, ultrasonik yıkama sonucu, yüzeye meydana gelen şiddetli deformasyon gözlenmektedir. Bu sonuçların ışığında ultrasonik yıkamadan vazgeçilmiş ve Bölüm 3.2.1.e'de açıkladığı gibi çalkalamalı yönteme temizlik ve yıkabilirlik araştırılmıştır.

Şekil 4.6'da çalkalama zamanına karşı aynı yöntemle temizlenen ve yıkanan Bac Mu<sup>®</sup> ve Norit karbonlarından salınan partikül sayıları karşılaştırılmış olarak sunulmuştur. Dikkat edileceği gibi Bac Mu<sup>®</sup> özellikle başlangıçta Norit RBXS-1'den çok daha temizdir ve uygulanan yıkama tekniği ile 2.94  $\mu\text{m}$  üstünde



Şekil 4.6. Aktif Karbonların Temizlik, Yıkanabilirlik ve Sterillenebilme Özellikleri.

Bac Mu®dan salınan partikül sayısı 165 gibi çok düşük bir değere indirilememiştir.

#### 4. 1. 6. STERİLLENEBİLME ÖZELLİĞİNİN TAYINI

Hemoperfüzyon kolonlarının hazırlanmasında yer alan basamaklardan birisi de sterilizasyondur. Sterilizasyon sırasında veya sonrasında aktif karbonlarda görülebilecek bir parçalanma veya partikül salımında artış, klinik uygulama ve selüloz nitrat membranla kaplama basamağında sakıncalar yaratabilir. Bunun saptanabilmesi için sterilizasyona sokulan temizlenmiş ve yıkamış aktif karbonların partikül salımları incelenmiştir. Sonuçlar Şekil 4.6'da verilmiştir. Dikkat edileceği gibi 120 dakikalık yıkama işleminden sonra uygulanan sterilizasyon Bac Mu®'yu etkilememekte, ancak, Norit RBXS-1'de az

da olsa partikül salımını artırmaktadır. Amerikan farmakopesine (U.S.P. XX) göre intravenöz solüsyonlarda bulunabilecek maksimum partikül miktarının 2  $\mu\text{m}$  üzeri 1000 partikül/ml, 5  $\mu\text{m}$  üzeri 100 partikül/ml olduğu not edilmiştir. Sonraki adımlarda uygulanacak polimer kaplama ile salımın daha da azaltılacağı düşünülürse Bac Mu<sup>®</sup> aktif karbonlarının geliştirilen yıkama ve sterilleme yöntemleri ile ince partikül salımı yönünden emniyetli bir şekilde kullanılabileceği söylenebilir.

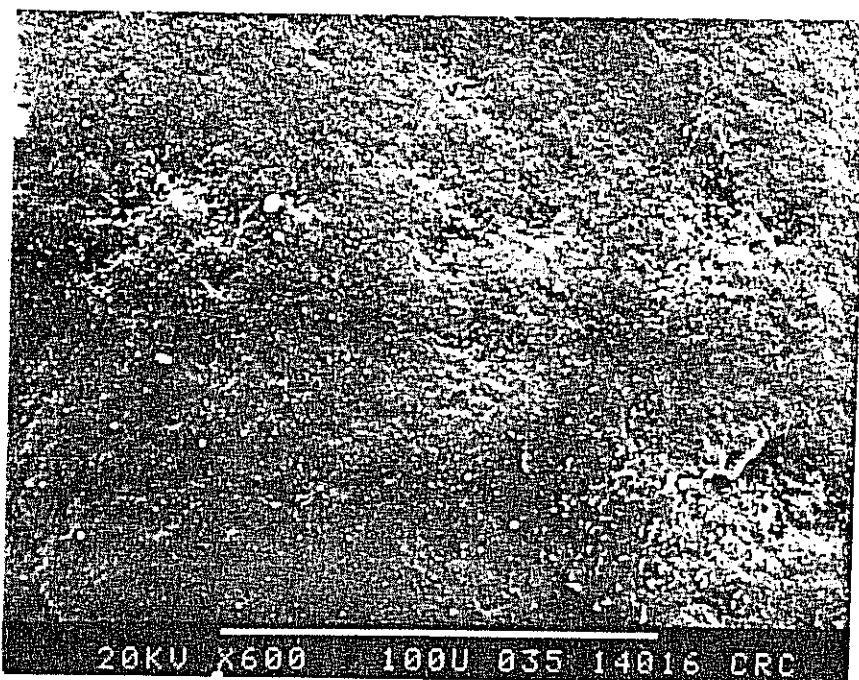
#### 4.1.7. AKTİF KARBON YÜZEY MORFOLOJİSİ

Bac Mu ve Norit RBXS-1 aktif karbonlarının yüzey morfolojisinin incelenmesi için çeşitli büyütme oranlarında yüzey SEM fotoğrafları çekilmiştir. Şekil 4.7 ve Şekil 4.8. Dikkat edileceği gibi, Bac Mu<sup>®</sup> karbonu Norit RBXS-1 karbonundan çok daha düzgün bir yüzeye sahiptir. Bu özelliği hemoperfüzyon uygulamasında, biyokompatibilite yanında polimerik kaplama kolaylığı ve homojenitesi yönünden çok önemli bir özelliktir.

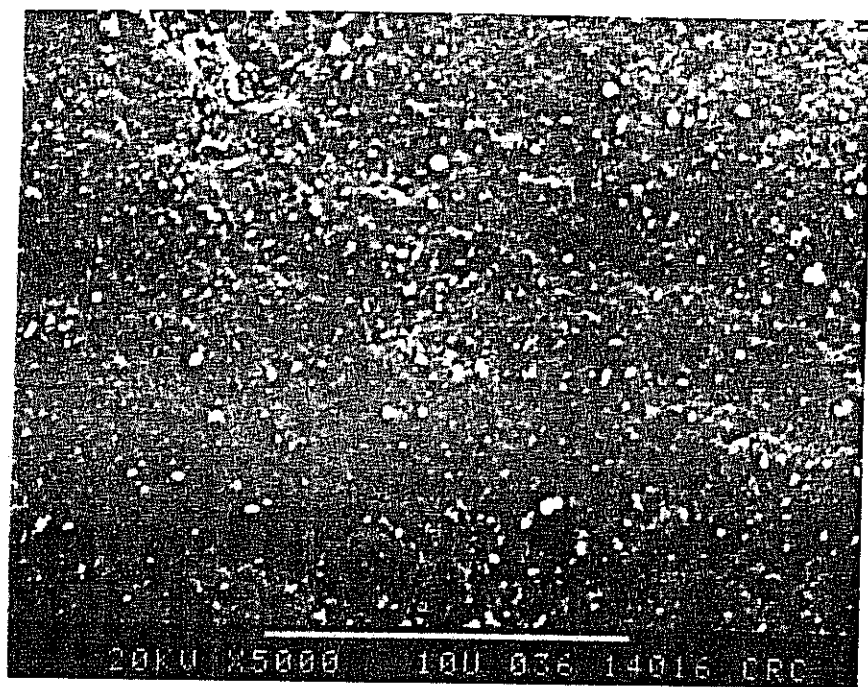
#### 4.1.8. ARA SONUÇ

Bac Mu<sup>®</sup> ve Norit RBXS-1 ticari adıyla satılan aktif karbonların özelliklerinin incelendiği bu bölümdeki çalışmalar sonucunda, hazırlanacak hemoperfüzyon kolonunda Bac Mu<sup>®</sup> (Kureha, Japonya) aktif karbonunun kullanılmasına karar verilmiştir.

Bu seçimde, Bac Mu<sup>®</sup>'nun sahip olduğu daha yüksek adsorpsiyon kapasitesi, aşınma direnci, geniş yüzey alanı, düşük miktarda kül (safsızlık) içermesi, temiz olması, yıkanabilirlik ve sterillenebilirlik özelliklerinin uygunluğu göz önünde tutulmuştur.

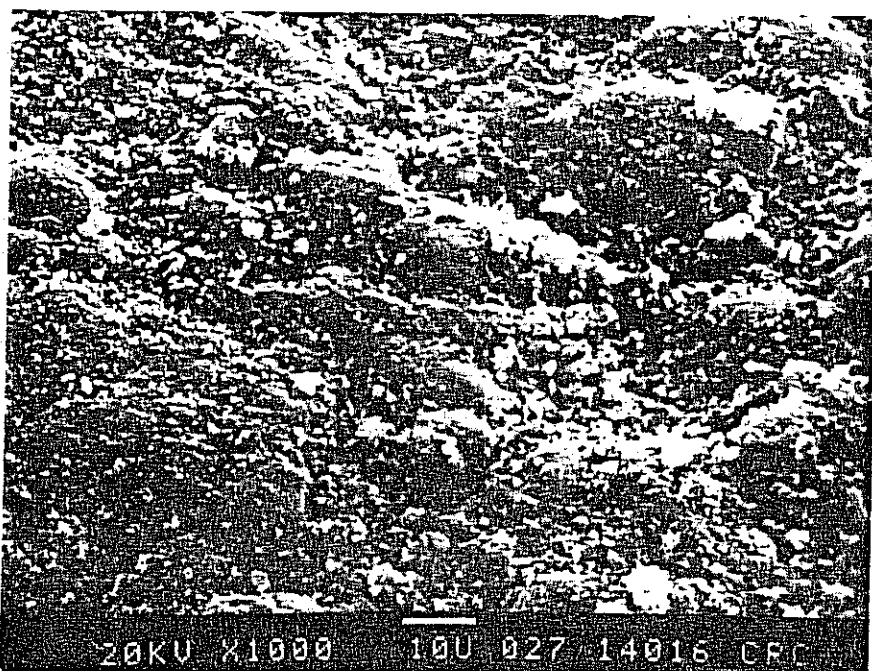


a

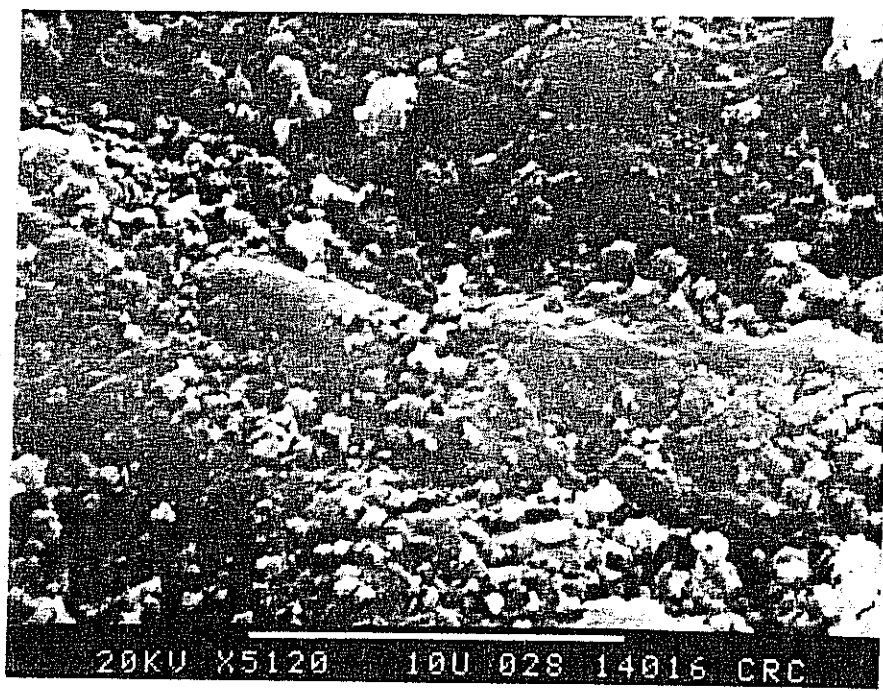


b

Şekil 4.7. Bac Mu® Aktif Karbonunun Yüzey Morfolojisı.



a



b

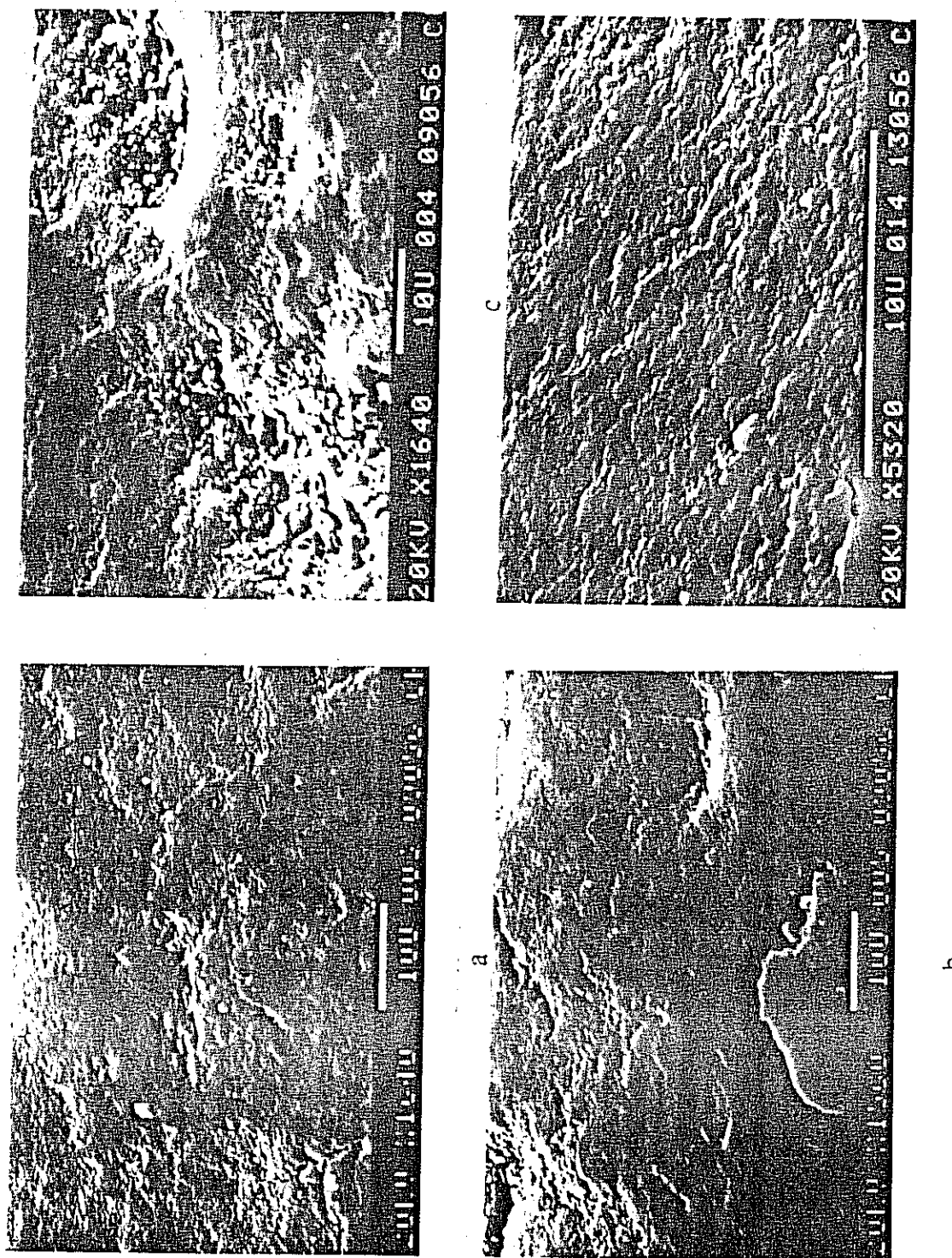
Şekil 4.8. Norit RBXS-I Aktif Karbonunun Yüzey Morfolojisı.

## **4. 2. AKTİF KARBONUN POLİMERİK MEMBRANLA KAPLANMASI VE KAPLANMIS AKTİF KARBONLARIN TEST SONUCLARI**

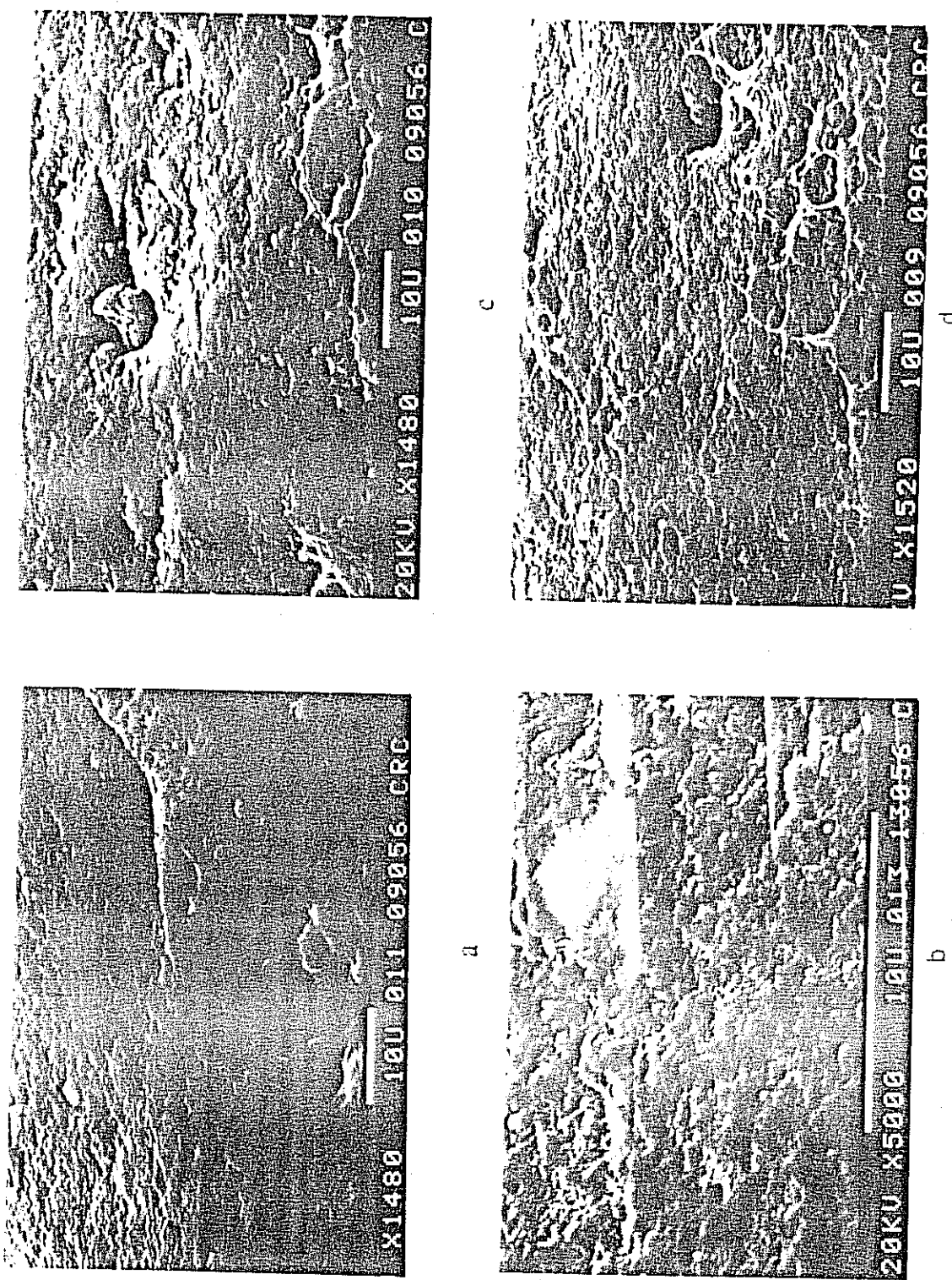
### **4.2.1. POLİMERİK KAPLAMA YÖNTEMİNİN GELİŞTİRİLMESİ**

Daha önce Çizelge 3.1'de verildiği gibi, aktif karbonlar, çeşitli parametrelerin incelendiği, üç ana basamaktan oluşan bir dizi kaplama işlemeye tabi tutulmuş ve hazırlanan kaplamaların yüzey SEM fotoğrafları çekilmiştir.

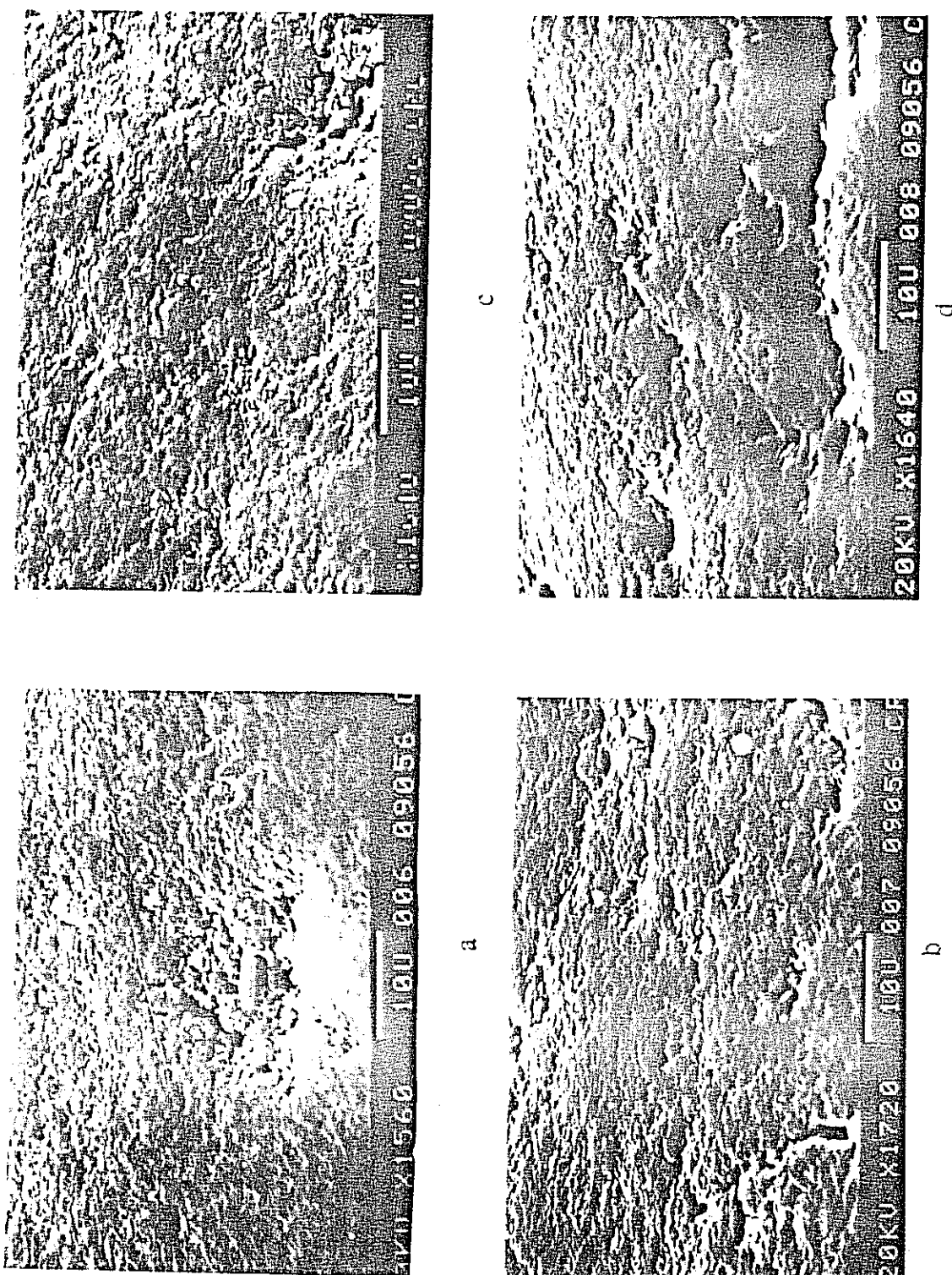
Kaplama çözeltisinde arttırılan polimer konsantrasyonu ile kaplamanın düzgünliği başlangıçta artmış ancak daha sonra makro gözenek girişleri kapanmaya başlamıştır. Bu etki Şekil 4.9 (a-d)'de (sırasıyla % 0.1, 0.2, 0.4 ve 0.4 selüloz nitrat kaplı aktif karbonlar) yer alan SEM fotoğraflarında görülmektedir. Ön işlemler basamağında yalnızca dış yüzeyi kurutulmuş (santrifüj veya 20° C'da 4 saat) örneklerde kaplamanın homojen olmadığı ve lifli bir ağ yapı oluşturduğu Şekil 4.10 (a-d)'deki SEM fotoğrafları yardımıyla anlaşılmıştır. Oluşan lifli ağ yapı, fotoğraflardan da görüldüğü gibi, makro gözenek ağızlarına çok yakın bölgelerde yer almaktadır. Bunun da, kaplama işlemi sırasında gözeneklerden dışarıya difüzlenen su veya eter fazının, kaplama çözeltisindeki polimeri, homojen bir membran oluşumundan daha önce çöktürmesinden kaynaklandığı söylenebilir. Geliştirilen yöntemin ikinci basamağında yer alan kaplama işleminden sonra, aktif karbon yüzeyinde oluşturulan mebranın su veya eter ile çöktürülmesi, kaynar suda tavlanması ve sterilenmesi sonucunda kaplama pürüzlülüğü (Şekil 4.9b, 4.11a, ve b'de % 0.2 ve Şekil 4.10a, 4.11 c ve d'de % 0.4 selüloz nitrat kaplı aktif karbonlar için), artmaktadır. Öte yandan, ileride görüleceği gibi, selüloz nitrat kaplanmış ve kaplandıktan sonra sterilenmiş aktif karbonların parçalanma ve ince partikül salınım deney sonuçları da (Bölüm 4.2.4) membran sağlamlığının arttığını açıkça göstermektedir.



Şekil 4.9. Polimerle Kaplanmış Bac Mu<sup>®</sup> Aktif Karbonlarının Yüzey SEM Fotografları. Çizelge 3.1. (a) No 1; (b) No 2; (c) No 5; (d) No 5.



Sekil 4.10. Polimerle Kaplanmis Bac Mu® Aktif Karbonlarinin Yuzey SEM Fotograflari, Cizelge 3.1. (a) No 10; (b) No 10; (c) No 11; (d) No 12.



Şekil 4.11. Polimerle Kaplanmış Bac Mu Aktif Karbonlarının Yüzey SEM Fotografları, Çizelge 3.1. (a) No 3; (b) No 4; (c) No 7; (d) No 8.

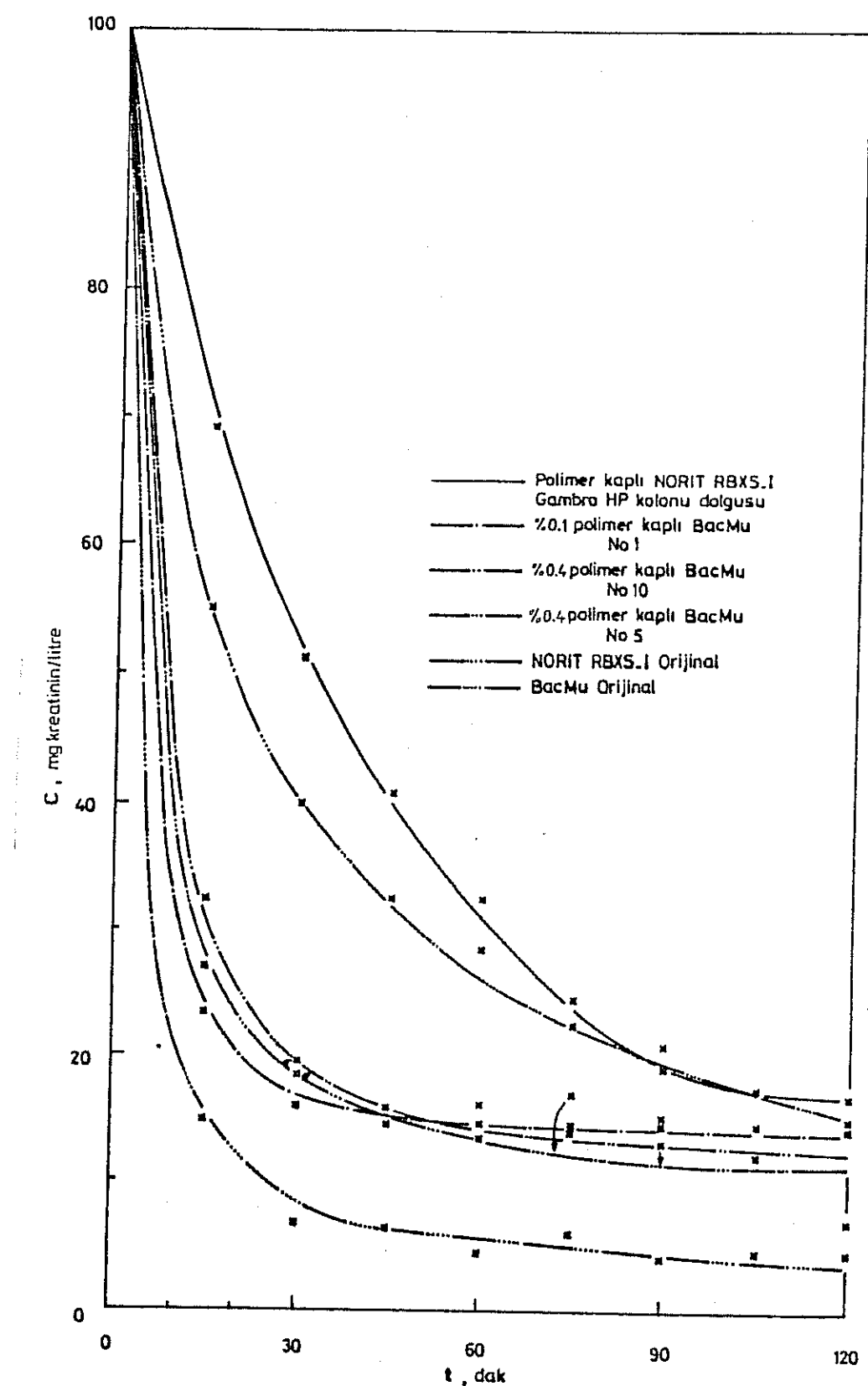
#### 4.2.2. KAPLANMIS AKTİF KARBONLARIN ADSORPSİYON ÖZELLİKLERİ

Kesikli karıştırmalı sistemde yapılan adsorpsiyon deneylerinin sonuçları Şekil 4.12'de topluca verilmiştir. Çizilen bu grafikler çözeltide zamanla ( $t$ , dakika) değişen kreatinin konsantrasyonunu ( $C$ , mg/litre) göstermektedir.

Daha önce Bölüm 4.1.1'de açıklandığı gibi orjinal Bac Mu® ve Norit RBXS-1 karbonlarının kreatinin adsorpsiyon kapasite farkı az olup Freundlich katsayıları birbirlerine çok yakındır. Ancak bu grupta yapılan deneyler Bac Mu®'nın Norit RBXS-1'den daha yüksek başlangıç adsorpsiyon hızına sahip olduğunu göstermektedir. Ayrıca, % 0.1 ve 0.4 selüloz nitrat kaplama kalınlığına sahip Bac Mu® örnekleriyle, hem kaplanmamış hem de kaplı Norit RBXS-1 karbonlarına göre çok daha yüksek başlangıç adsorpsiyon hızlarına ulaşılmasına rağmen, her iki tür aktif karbonun kaplanması ve özellikle kaplama kalınlığının artmasıyla başlangıç adsorpsiyon hızlarında azalma gözlenmiştir.

#### 4. 2. 3. KAPLANMIS AKTİF KARBONLARIN TOPLAM YÜZEY ALANI DEĞİŞİMİ

Bu bölümdeki çalışmalar sonucunda elde edilen deney sonuçları Çizelge 4.5'de verilmiştir. Bu lara göre % 0.4 ve 1.2 selüloz nitrat kaplanmış aktif karbonların yüzey alan kayipları sırasıyla % 8.2 ve 10.3'dür. Yani, kaplama kalınlığı 3 kat arttırıldığında toplam yüzey alandaki değişim sadece % 2'de kalmaktadır. Ayrıca, Şekil 4.12'de de görüldüğü gibi % 0.1 ve 0.4 selüloz nitrat kaplı aktif karbonlar arasındaki başlangıç adsorpsiyon hızları birbirlerine oldukça yakın değerlerdedir. Tüm bu verilerin ışığı altında polimerik kaplamanın yalnızca aktif karbonun dış yüzeyindeki makro gözenekleri kapladığı ve kaplama kalınlığı artsa bile yüzeyin altındaki mikro ve orta boy gözenekleri bloke etmediği söylenebilir.



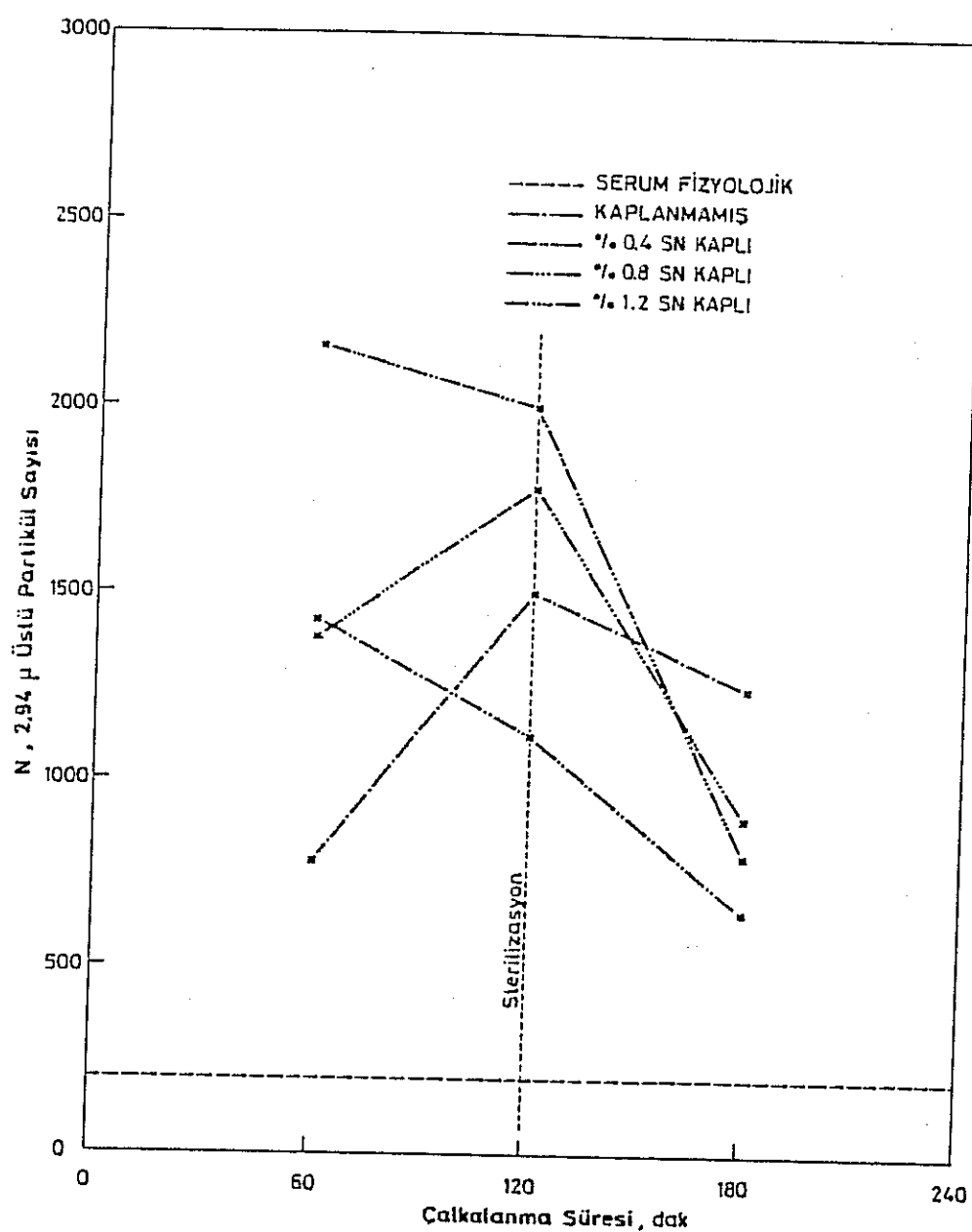
Şekil 4.12. Kaplanmamış ve Kaplanmış Bac Mu ve Norit RBXS-I Aktif Karbonlarının Adsorpsiyon İzotermeleri..

Cizelge 4.5. Polimerik Kaplamanın Bac Mu® Aktif Karbonunun Toplam Yüzey Alanına Etkisi.

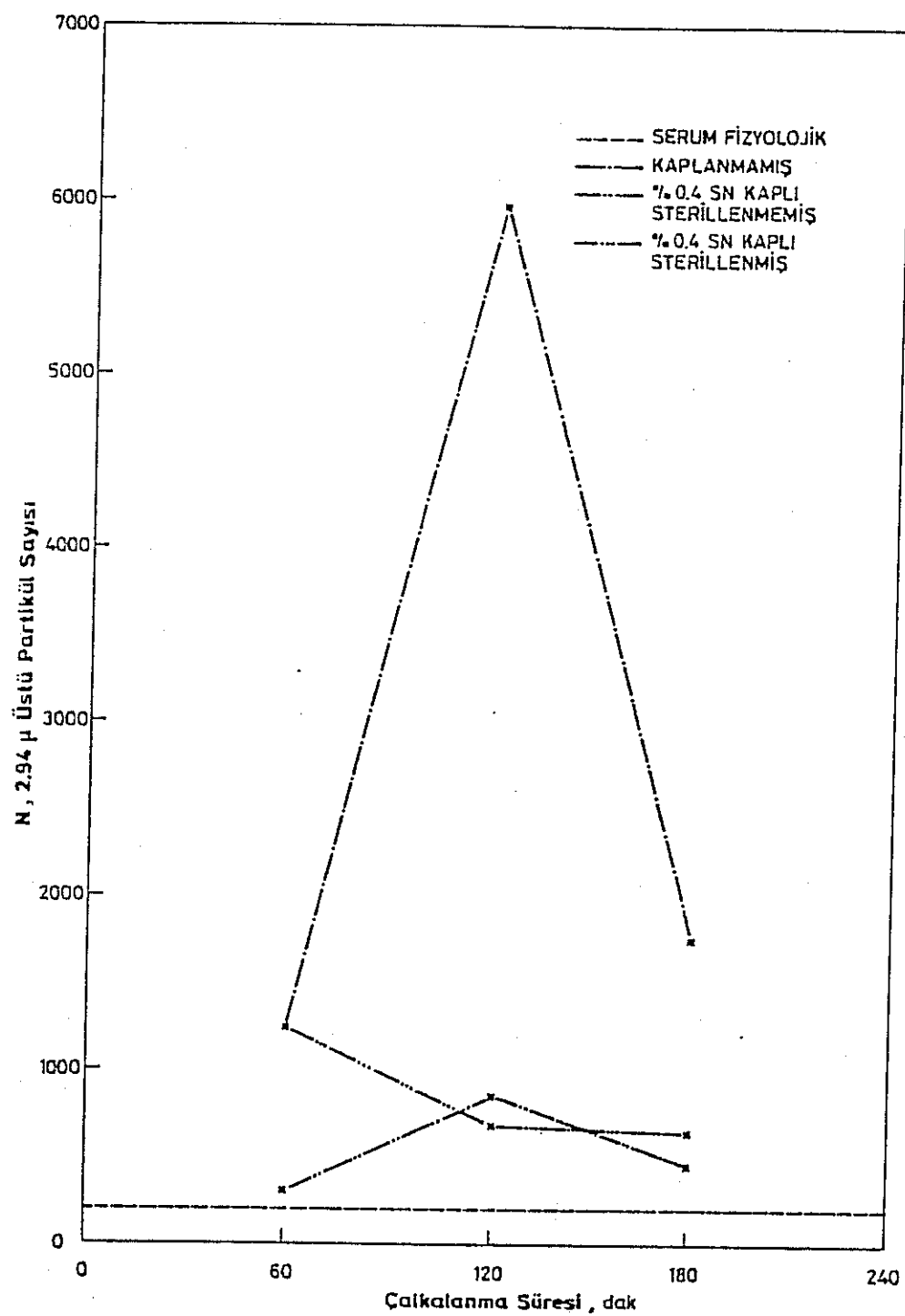
Aktif Karbon	Toplam Yüzey Alan (m <sup>2</sup> /g)	Kayıp (%)
Orjinal Bac Mu®	1383	-
% 0.4 SN Kaplanmış Bac Mu®	1269	8.2
% 1.2 SN Kaplanmış Bac Mu®	1241	10.3

#### 4. 2. 4. KIRILGANLIK VE İNCE PARTİKUL SALINIMI

Aktif karbonların polimerik bir membranla kaplanmasıının önemli nedenlerinden birisi de hemoperfüzyon kolonalarının taşıınma ve kullanımında oluşan ince partiküllere etkin bir engel oluşturmasıdır. Bu etkinin gösterilmesi için kaplanmamış ve selüloz nitrat kaplanmış aktif karbonlarla yapılan ince partikül salınım deney sonuçları Şekil 4.13 ve 4.14'de topluca sunulmuştur. Şekillerde yatay kesikli çizgi ile gösterilen düzeyde partikül sayısı N: 207 olup, çalkalama ortamı olarak kullanılan steril serum fizyolojigin partikül sayısını göstermektedir. Başka bir ifade ile bu referans (kör) çözeltideki partikül sayısıdır. Şekil 4.13'deki tüm örnekler 120°C'da 2 saat süreyle sterillenmiştir. Şekil 4.14'deki yalnızca % 0.4 selüloz nitrat kaplanmış örnek deney öncesinde sterillenmiş, diğer örnekler bu işlem uygulanmamıştır. Her iki şekilde de görüldüğü gibi başlangıç salınım değerleri yüksek bile olsa, 180 dakikalık çalkalama testi sonucunda kaplanmış aktif karbondan salınan partikül miktarı, kaplanmamış aktif karbondan salınan partikül miktarından çok daha düşük seviyeye inmektedir. (Şekil 4.13).



Şekil 4.13. Kaplanmamış ve Kaplanmış Bac Mu® Aktif Karbonlarının Kırılganlığı, İnce Partikül Sayımı.



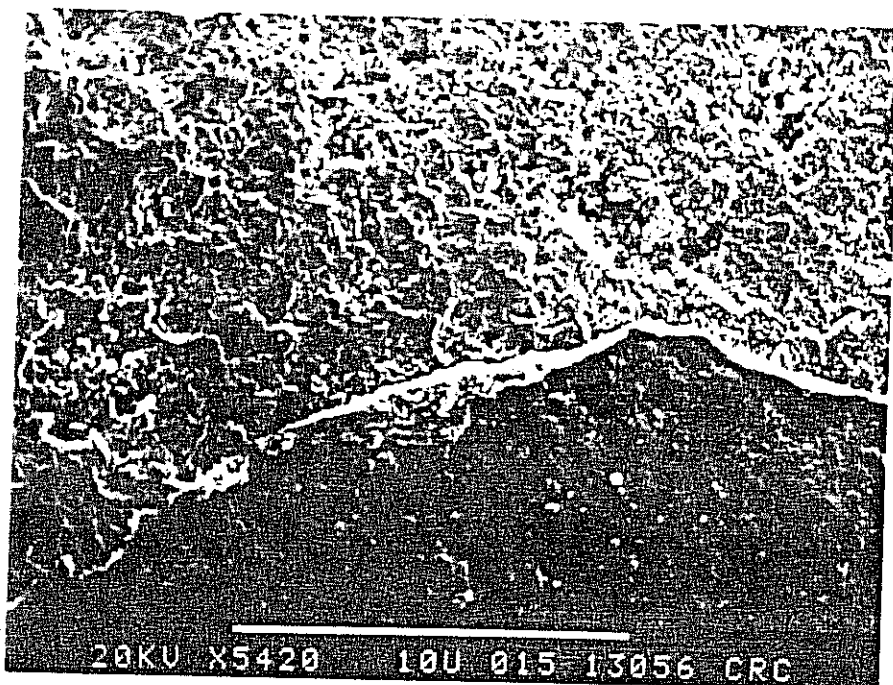
Şekil 4.14. Kaplanmamış ve Kaplanmış Bac Mu® Aktif Karbonlarının Kırılığlığı, Ince Partikül Sayısı.

Şekil 4.14'de sterilizasyon sonrasında polimerik kaplamada oluşan değişim, kaplanmış ancak sterilenmemiş ve kaplanmamış aktif karbonlardan partikül salınımı da karşılaştırılarak incelenmiştir. Selüloz nitrat kaplanmış ve sterilenmiş aktif karbondan salınan partikül sayısı sürekli olarak azalırken, kaplanmış ancak sterilenmemiş ve kaplanmamış aktif karbonlardan salınan partikül sayısı çalkalama şiddeti ile artmaktadır. (120 dakika). Ortaya çıkan bu düşük partikül salınım ve yüksek yıkabilirlik özellikleri, polimerik kaplamanın sterilizasyonda daha sağlam bir yapıya ultişğini göstermektedir.

#### 4.2.5. ARA SONUÇ

Bu bölümde yer alan deneysel çalışmalar sonucunda aktif karbon granüllerinin selüloz nitratla kaplanması için uygun bir polimerik kaplama tekniği geliştirilmiştir. Çalışmanın ilerki bölümlerinde kullanılan bu yöntem, aşağıdaki basamaklardan oluşmaktadır.

- Ön işlemler: Ön temizleme sonrasında aktif karbonlar konsantre HCl içinde 24 saat bırakılır ve safsızlıklar çözülerken uzaklaştırılır. Aktif karbonlar yıkama suyu pH'sı 7 olana kadar NaOH çözeltisi ve destile su ile yıkılır. Yıkılmış aktif karbonlar kaplama öncesinde 105°C'da 4 saat kurutulur.
- Kaplama: Kaplama basamagında elektrostatik olarak yüklenmiş aktif karbonlar daha önce cam bir kaba konmuş olan kaplama çözeltisine dökülür. Oda sıcaklığında yavaş ve sürekli bir karıştırma ile çözüçülerin kısmen buharlaşması kısmen de aktif karbon gözeneklerini doldurarak ortamdan uzaklaşmaları sağlanır. Bu basamakta partiküler arasında görülen birbirine yapışma eğilimi kaplama kalınlığına bağlıdır ve kalınlığın artmasıyla yapışma artmaktadır.



**Şekil 4.15. % 0.4 Sefüloz Nitrat Kaplanmış Bac Mu® Aktif Karbon Yüzeyinin SEM Fotoğrafi.**

- Son işlemler: Kaplanan aktif karbonlar 50°C'da 16 saat kurutularak çözüçüler uzaklaştırılır. Kaynar suda 2 saat tavlama işlemi uygulanan kaplanmış aktif karbonlar (su içinde) otoklavda 121°C ve 1.1 kg/cm<sup>2</sup> buhar basıncında sterillenir.

Yüzeydeki polimerik kaplamanın varlığı, kaplamanın yırtıldığı bir bölge sınırlını gösteren, Şekil 4.15'deki yüzey SEM фотографінда açık a belli olmaktadır. Burada üst bölge kaplanmamış, alt bölge ise kaplanmış aktif karbon yüzeylerine ait olup, membranın kıvrılan kenarı fotografın ortasında yer almaktadır.

### 4.3. AKTİF KARBON ELEK ANALİZİ

Bac Mu<sup>®</sup> aktif karbonunun toplam dış yüzey alanı ve ortalama partikül çapının hesabında kullanılmak amacıyla yapılan elek analizinin sonuçları Çizelge 4.6'da verilmiştir. Buna göre birim ağırlıktaki aktif karbonun toplam dış yüzey alanı  $a = 180.85 \text{ cm}^2$ , hacim-yüzey ortalama partikül çapı  $D_{A.K. H. A.} = 0.66 \text{ mm}$  olarak bulunmuştur.

Çizelge 4.6. Bac Mu<sup>®</sup> Aktif Karbonunu Elek Analizi.

Elek No	$D_n$ (cm)	$\Delta\phi_n$ ( $\times 10^4$ )	$1/D_n$ (cm) <sup>-1</sup>	$\Delta\phi_n/D_n$ (cm) <sup>-1</sup>	$\Delta\phi_n/D_n^3$ (cm) <sup>-3</sup>	$a$ (cm <sup>2</sup> )	N.A.K. (Par/g)	$D_{A.K.H.A}$ (mm)
14/18	0.1205	23	8.3	19.1	1.31	0.23	2.62	
18/20	0.0920	470	10.9	512.3	60.86	6.15	121.72	
20/25	0.0774	4375	12.9	5643.8	938.87	67.72	1877.74	0.66
25/35	0.0603	4573	16.6	7591.2	2091.69	91.09	4183.38	
35/45	0.0427	558	23.4	1305.7	714.9	15.66	1429.8	
<b>Toplam</b>					<b>180.85</b>	<b>7615</b>		

### 4.4. KOLON VE SİSTEM TASARIMI

Bu bölümde sulu faz ve in-vitro kan deneyleri sonuçları sunulmuş ve kolon ve sistem tasarımına etki eden parametreler tartışılmıştır. Daha önce deneysel yöntemler bölümünde söz edildiği gibi sulu fazda yapılan adsorpsiyon deneyleri kesikli ve sürekli sistemlerde olmak üzere iki ana grup altında gerçekleştirılmıştır.

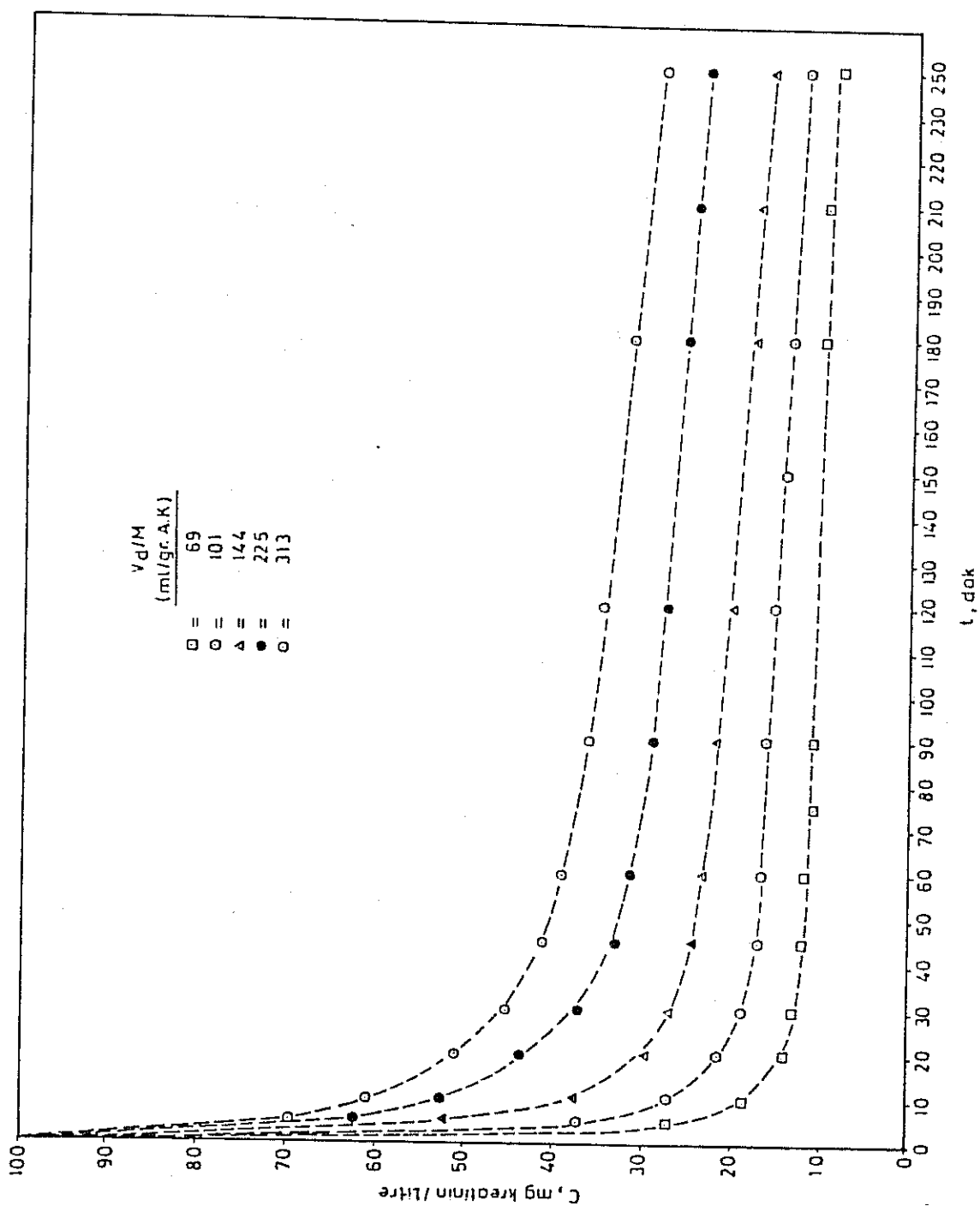
#### 4.4.1. SULU FAZ DENEYLERİ

##### 4.4.1.a. KESİKLİ KARIŞTIRMALI SİSTEM

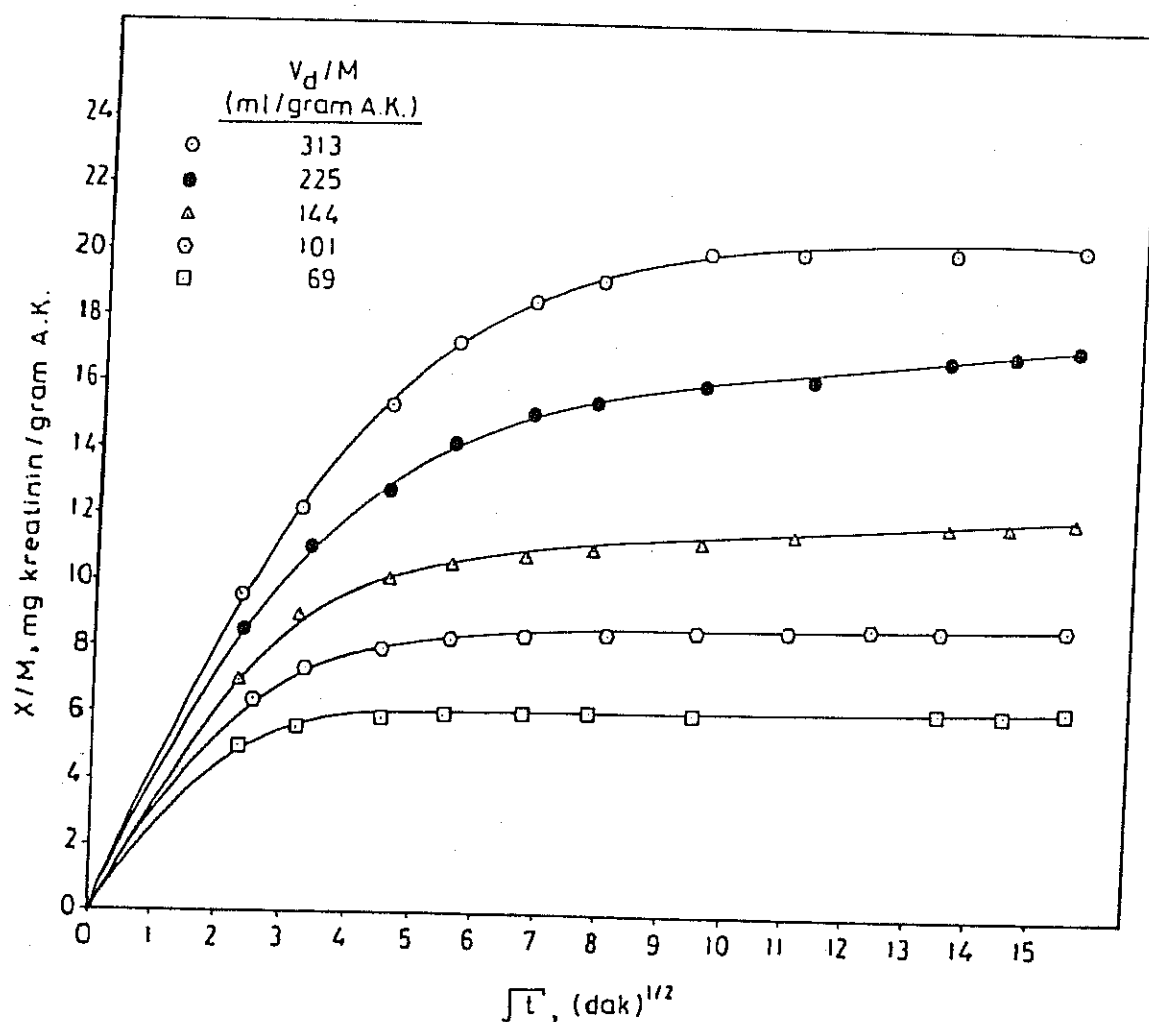
Kesikli sistemde adsorpsiyon kinetiginin incelendiği deneylerin sonuçları Şekil 4.16'da topluca sunulmuştur. Kreatinin konsantrasyonunun ( $C$ ) zamanla değişimini veren bu şekilde görüldüğü gibi adsorpsiyon başlangıç hızı, birim aktif karbon başına kullanılan çözelti miktarı ( $V_d/M$ ) arttıkça yavaşlamaktadır. Başka bir ifade ile aynı çözeltiye konulan aktif karbon miktarı arttıkça adsorpsiyon hızlanmaktadır. Aynı deney verileri kullanılarak, 240. dakika'da dengeye ulaşıldığı kabul edilerek, birim aktif karbon miktarı başına adsorplanan kreatinin miktarları ( $X/M$ ) hesaplanmış ve sonuçlar Çizelge 4.7'de sunulmuştur. Dikkat edileceği gibi birim çözelti hacmi başına kullanılan aktif karbon miktarı arttırılarak adsorpsiyon hızlandırılmasına karşın, birim aktif karbon başına adsorplanan kreatinin azalmakta, dolayısıyla adsorban daha verimsiz olarak kullanılmaktadır.

**Çizelge 4.7. Sulu Kreatinin Çözeltilerinin Kesikli Karıştırmalı Sistemlerde Adsorplanan Kreatinin Miktarları, ( $t = 240$  dakika).**

No	$V_d$ (ml)	M (g)	$V_d/M$ (ml/g A.K.)	$(X/M)_{240}$ (mg/g A.K.)
1	1650	5.27	313	22.4
2	1650	7.31	225	17.3
3	1650	11.5	144	12.0
4	1650	16.3	101	8.8
5	1650	23.9	69	6.3

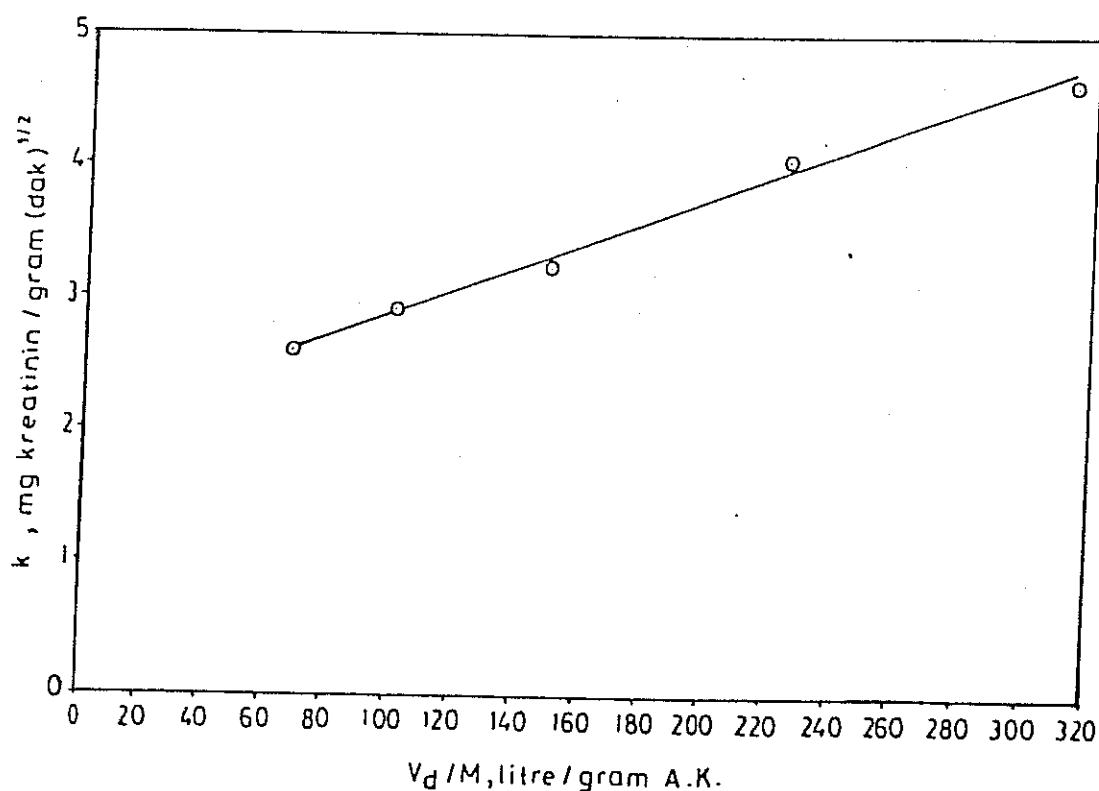


Şekil 4.16. Sulu Fazda Kesikli Karıştırma Sisteme Kreatinin Konsantrasyonunun ( $C$ ) Zamana ( $t$ ) Değişimine, Birim Aktif Karbon Miktarı Başına Kullanılan Çözelti Miktarının ( $V_d/M$ ) Etkisi, % 0.4 Selüloz Nitrat Kaplanmış Bac Mu®.



Şekil 4.17. Sulu Fazda Kesikli Karıştırmalı Sistemde, Birim Aktif Karbon Miktarı Başına Adsorplanan Kreatinin Miktarının ( $X/M$ ) Zamanla ( $t^{1/2}$ ) Değişimine, Birim Miktarı Başına Kullanılan Çözelti Miktarının ( $V_d/M$ ) Etkisi, % 0.4 Selüloz Nitrat Kaplanmış Bac Mu®.

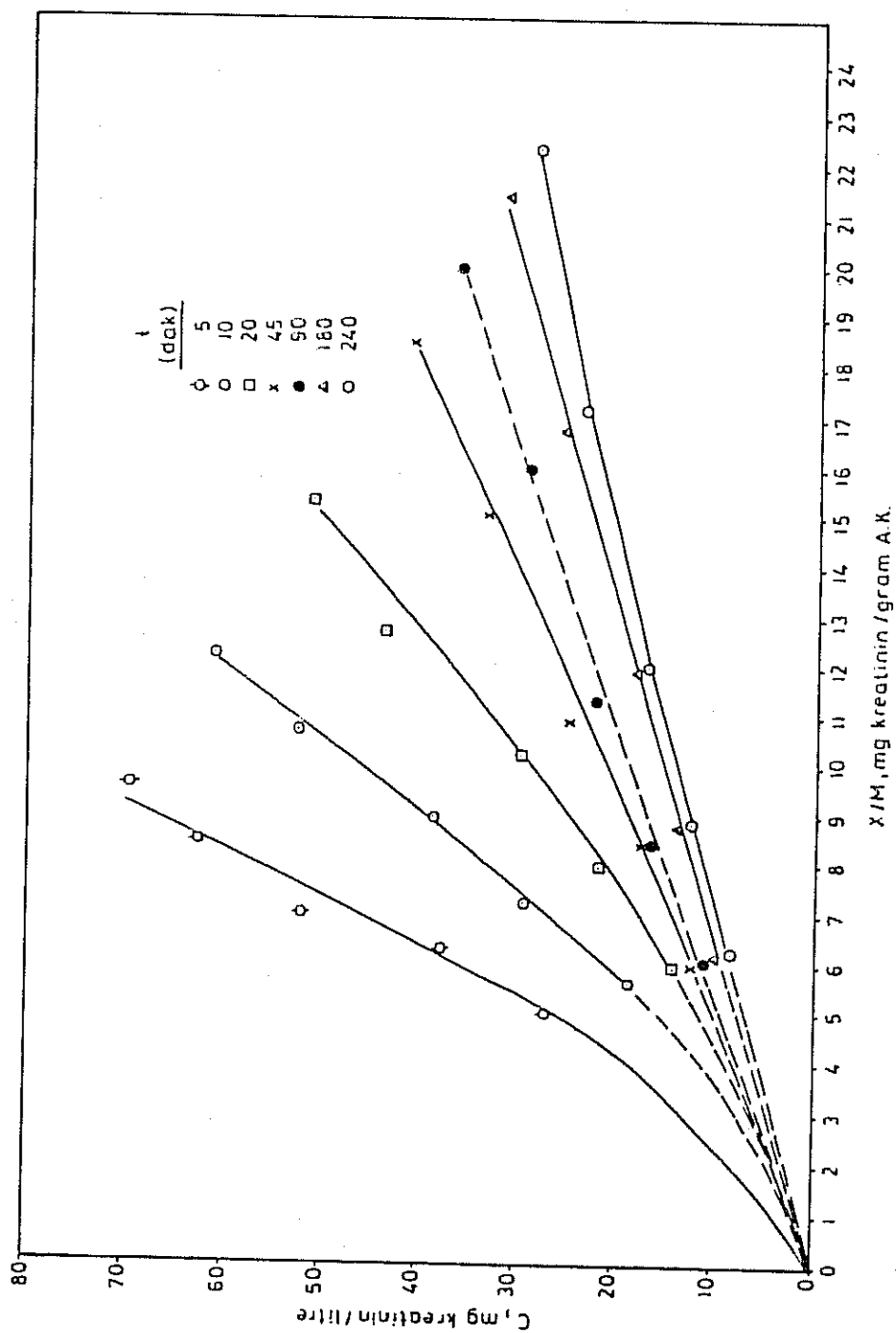
Kesikli sistemde ger ekleştirilen bu adsorpsiyon işlemleri, ayrıca adsorpsiyon hız eğrilerinin başlangıcındaki değerlerinin doğrusallaştırılmasına dayanan Bölüm 2.6.1'de verilen Weber yöntemiyle de incelenmiştir. Bu amaçla Şekil 4.16'daki adsorpsiyon izotermelerinden ( $t^{1/2}$ ) ye karşı ( $X/M$ ) değerleri hesaplanmış ve Şekil 4.17 hazırlanmıştır. Bu şekildeki eğrilerin başlangıç eğimleri, ki bu eğim Weber'e göre "k" adsorpsiyon hızına eşittir, bulunmuş ve



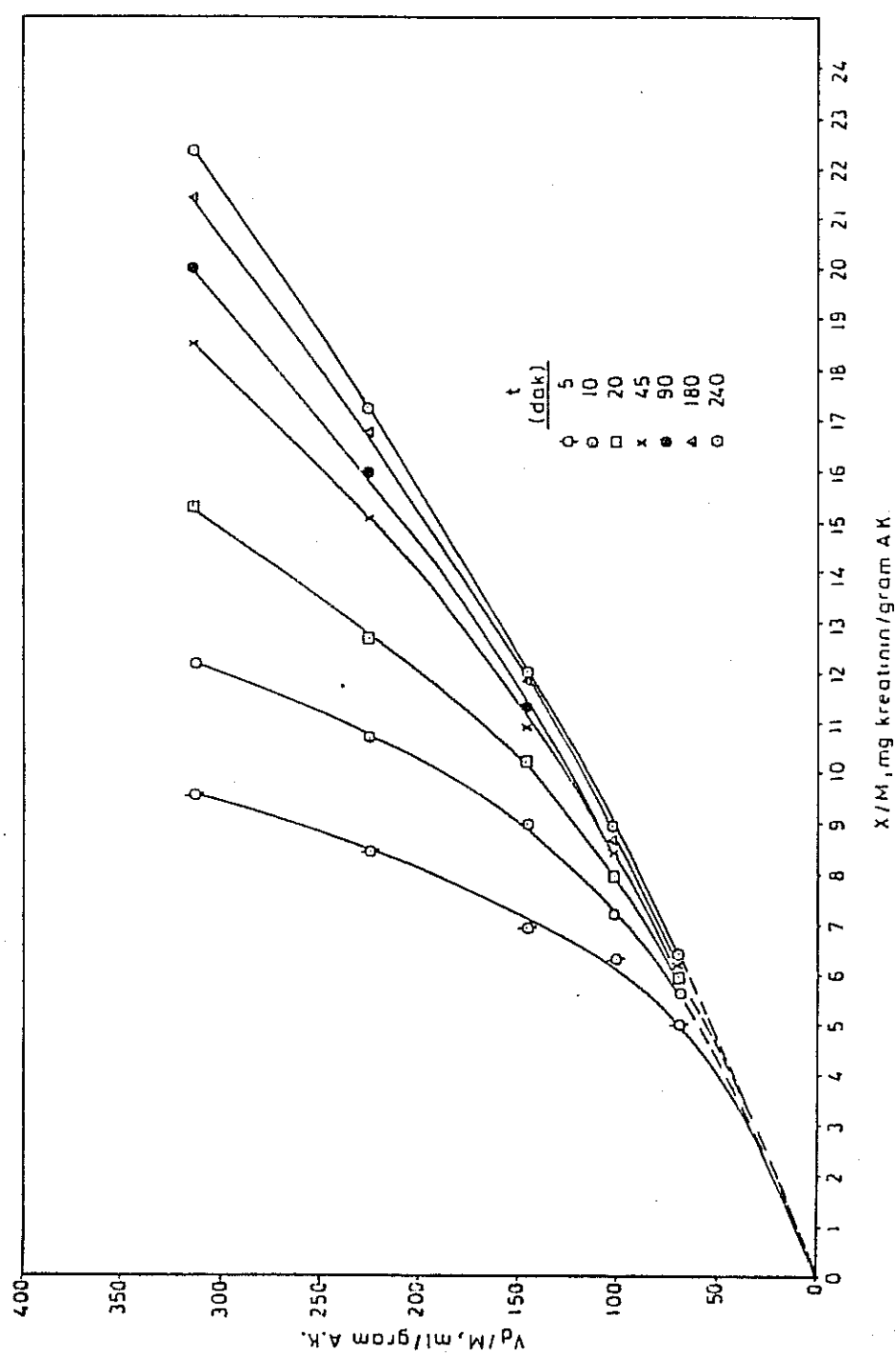
Şekil 4.18. Sulu Fazda, Kesikli Karıştırmalı Sistemde, Adsorpsiyon Hızının ( $k$ ) Birim Aktif Karbon Miktarı Başına Kullanılan Çözelti Miktarıyla ( $V_d/M$ ) Değişimi, % 0.4 Selüloz Nitrat Kaplanmış Bac Mu®.

( $V_d/M$ )'ye karşı grafiğe alınmıştır. Şekil 4.18. Göründüğü gibi ( $V_d/M$ ) değeri arttıkça  $k$  değeri de artmaktadır ve grafikteki ilişki doğrusaldır. Her iki değerin birlikte olması beklenen bir özellik olup adsorpsiyonda itici gücü oluşturan konsantrasyon farkının daha uzun süre sabit kalmasını sağlayacak miktarda adsorbatın ortamda bulunmasından kaynaklanmaktadır.

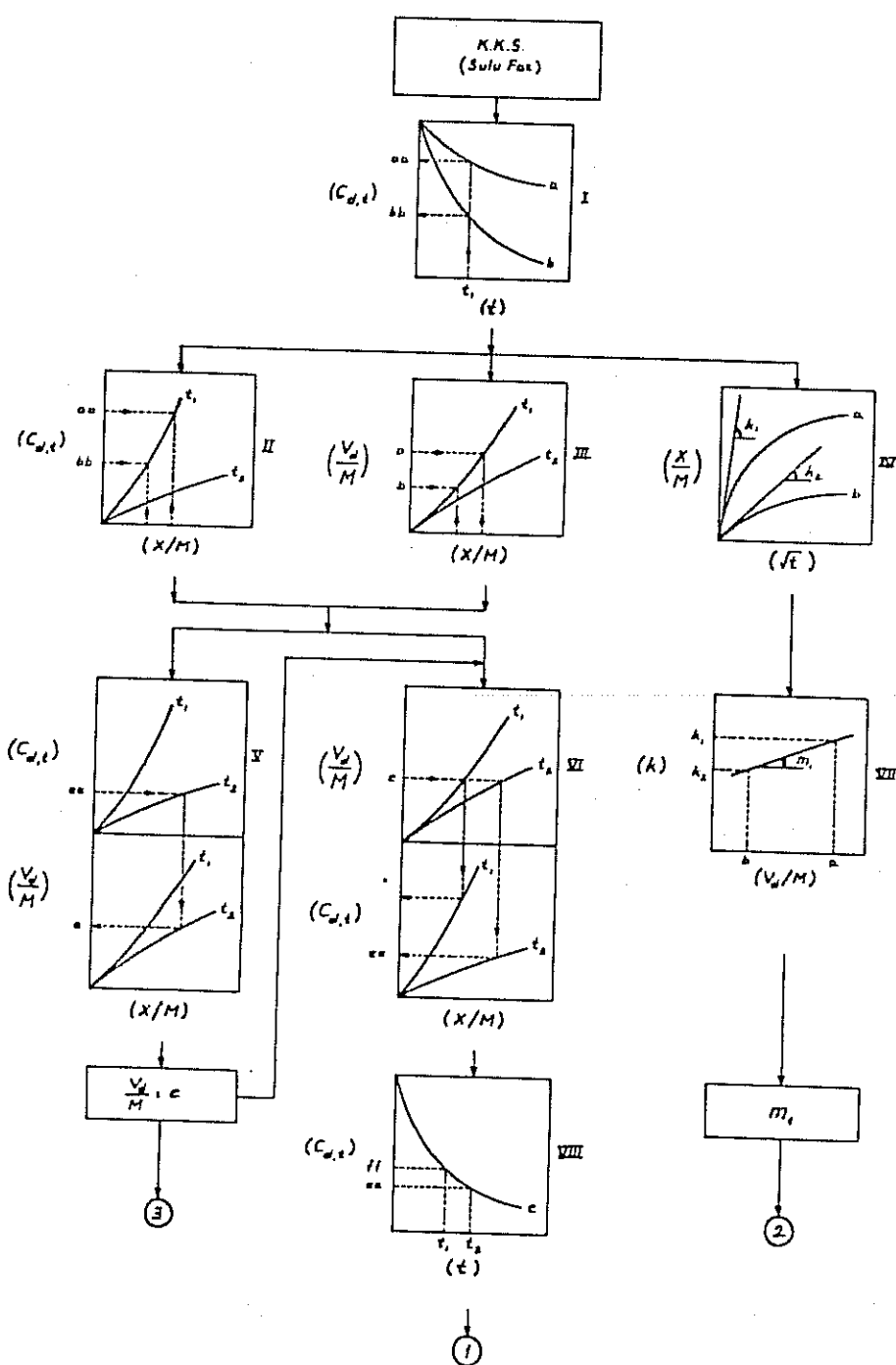
Şekil 4.16'da ham olarak verilen kesikli karıştırmalı sistem adsorpsiyon eğrilerinin değerlendirilmesi sonucunda Şekil 4.19 ve 4.20 grafikleri elde edilmiştir. Şekil 4.19'da herhangi bir andaki konsantrasyon değerleri, C, o ana kadar birim aktif karbon başına adsorplanan kreatinin miktarlarına karşı, ( $X/M$ ) grafiğe geçirilmiştir. Burada her eğri ayrı bir t zamanına aittir. Şekil 4.20'de



Şekil 4.19. Sulu Fazda Kesikli Karıştırma Sistemde Kreatinin Konsantrasyonunun ( $C$ ), Birim Aktif Karbon Miktarı Başına Adsorplanan Kreatinin Miktarı ( $X/M$ ) ile Değişimine Zamanın ( $t$ ) Etkisi, % 0.4 Selüloz Nitrat Kaplanmış Bac Mu<sup>®</sup>.



Şekil 4.20. Sulu Fazda Kesikli Karıştırılmış Sistemde, Birim Aktif Karbon Miktarı Başına Kullanılan Çözelti Miktarının ( $V/M$ ) Birim Aktif Karbon Miktarı Başına Adsorplanan Kreatinin Miktarı ( $X/M$ ) ile Değişimine Zamanın ( $t$ ) Etkisi. % 0.4 Selüloz Nitrat Kaplanmış Bac Mu®.



Sekil 4.21. Sulu Fazda, Kesikli Karıştırma Sistemi Tasarımında Kullanılan Grafiksel Yöntem.

verilen grafikte ise  $V_d/M$  değerlerine karşı  $X/M$  değerleri yine her eğri ayrı bir t zamana ait olacak şekilde grafiğe geçirilmiştir.

Her iki grafiğin en önemli özelliği kreatinin konsantrasyonunu belirli bir sürede istenilen herhangi bir C değerine düşürebilmek için gerekli olan aktif karbon miktarının tayininde kullanılabilirleridir.

#### Ara Sonuç

Kesikli karıştırmalı sistemlerde deneysel olarak elde edilen adsorpsiyon egrilerinden, başka koşullardaki adsorpsiyon egrilerinin türetilebilmesi ve sulu fazla kan arasında ilerdeki bölgelerde kurulacak ilişkide kullanılacak değerlerin bulunabilmesi için, Şekil 4.21'de şematik olarak özetlenen tasarım yöntemi geliştirilmiştir. Şekilde verilen 1 nolu grafik, sulu faza ait deneysel olarak elde edilen iki örnek adsorpsiyon egrisini, (a ve b), göstermekte olup, tasarımın çıkış grafikleridir. Yukarıda anlatıldığı gibi, bu grafik kullanılarak II, III ve IV nolu grafiklerde gösterilen egriler ve II ve III nolu grafiklerin alt alta değişik şekilde konulmasıyla da V ve VI nolu grafikler elde edilir. Bu grafiklerin kullanılmasıyla da (grafikler üzerinde oklarla yönlendirildiği gibi)  $t_2$  anında çözelti kreatinin konsantrasyonunu istenilen değere ( $C_{ee}$ ) düşürecek  $V_d/M$  değeri ve bu oranda çalışıldığında oluşacak yeni adsorpsiyon izotermının şekli (Grafik VIII) bulunur. Bu iki çıkış, şekildeki yaklaşımın iki önemli sonucudur.

I nolu grafikin Weber yöntemiyle değerlendirilmesi sonucunda IV nolu grafik ve buradan da yukarıda açıklandığı gibi VII nolu grafik elde edilir. Birim aktif karbon miktarı başına kullanılan çözelti miktarı,  $V_d/M$  değerlerine karşı adsorpsiyon hızının, ( $k$ ), çizilmesiyle elde edilen bu şekildeki doğrunun eğimi

(m<sub>1</sub>) verilen yaklaşımında üçüncü önemli bulgu olup, ileride sulu faz deney sonuçlarını kanta yapılan deney sonuçları ile karşılaştırmakta kullanılacaktır.

#### 4. 4. 1. b. SÜREKLİ SİSTEM

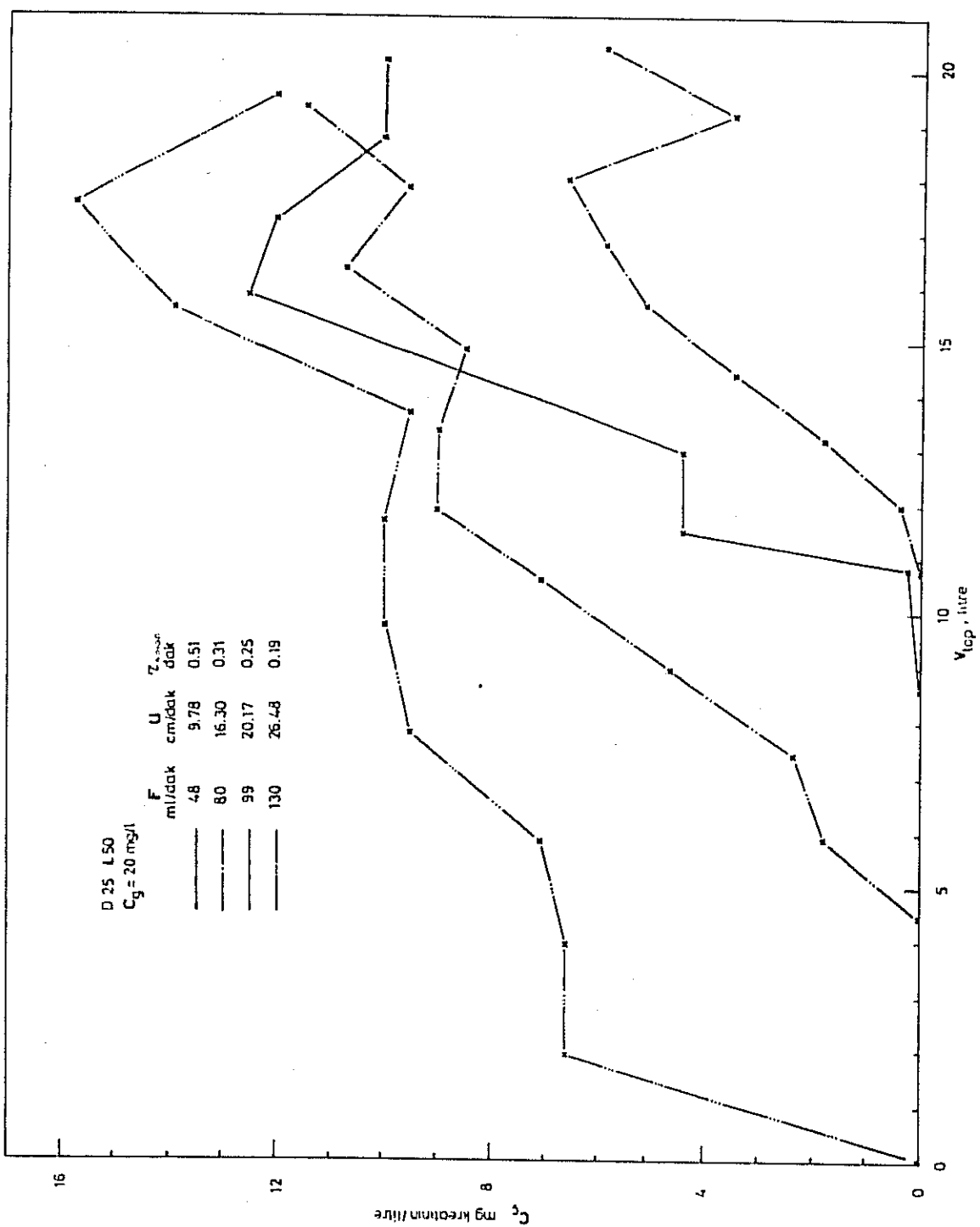
Sürekli düzende yapılan adsorpsiyon deneyleri aşağıda iki farklı grup altında değerlendirilmiştir.

##### Tek Geçişli Sürekli Sistem

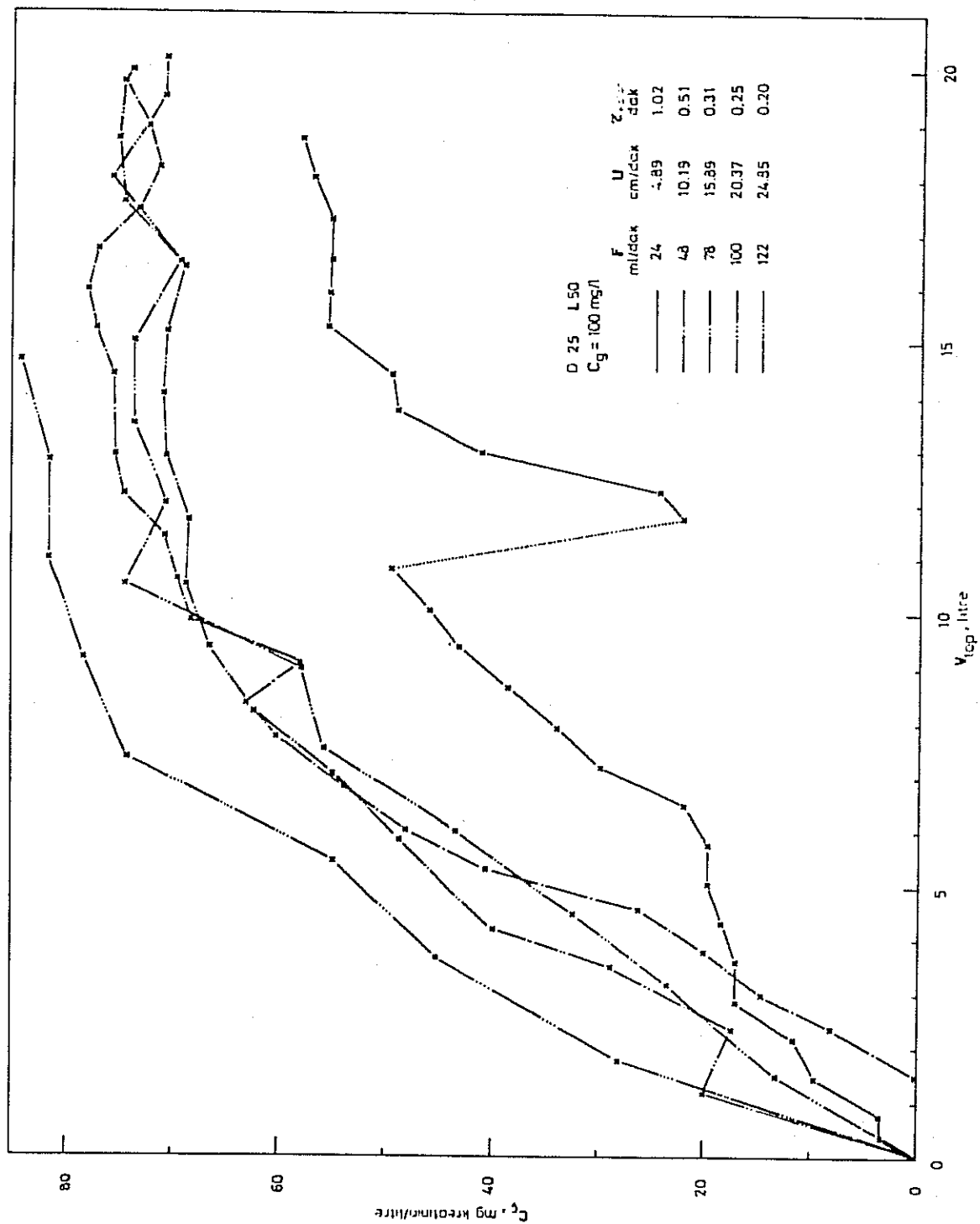
Çalışmada iki farklı konsantrasyonda (20 ve 100 mg/litre) kreatinin içeren sulu çözeltiler adsorpsiyon kolonundan ( $D= 25$ ,  $L=50$  mm) tek geçişli olarak akıştırılmıştır.

Sekil 4.22 ve 4.23 herhangi bir t anına kadar kolondan geçen sıvı hacmine ( $V_{top}$ ) karşı o anda kolon çıkışında sıvı fazda kreatinin konsantrasyonunun ( $C_c$ ) grafice geçirilmesiyle elde edilmiştir. Bu egrilere ait çözelti hacimsel akış hızları, F, boş kolonda çözelti çizgisel akış hızları, U, ( $U=F/S$ , burada S boş kolon kesit alanıdır) ve boş kolonda alikonma süreleri  $\tau$  ( $\tau = \text{boş kolon hacmi}/F$ ) 'de hesaplanarak şeiller üzerinde gösterilmiştir. Bu grafikler yardımıyla hesaplanan adsorplanan kreatinin miktarlarına (X) zamana (t) karşı grafice alınmasıyla da, Sekil 4.24 ve 4.25 hazırlanmıştır.

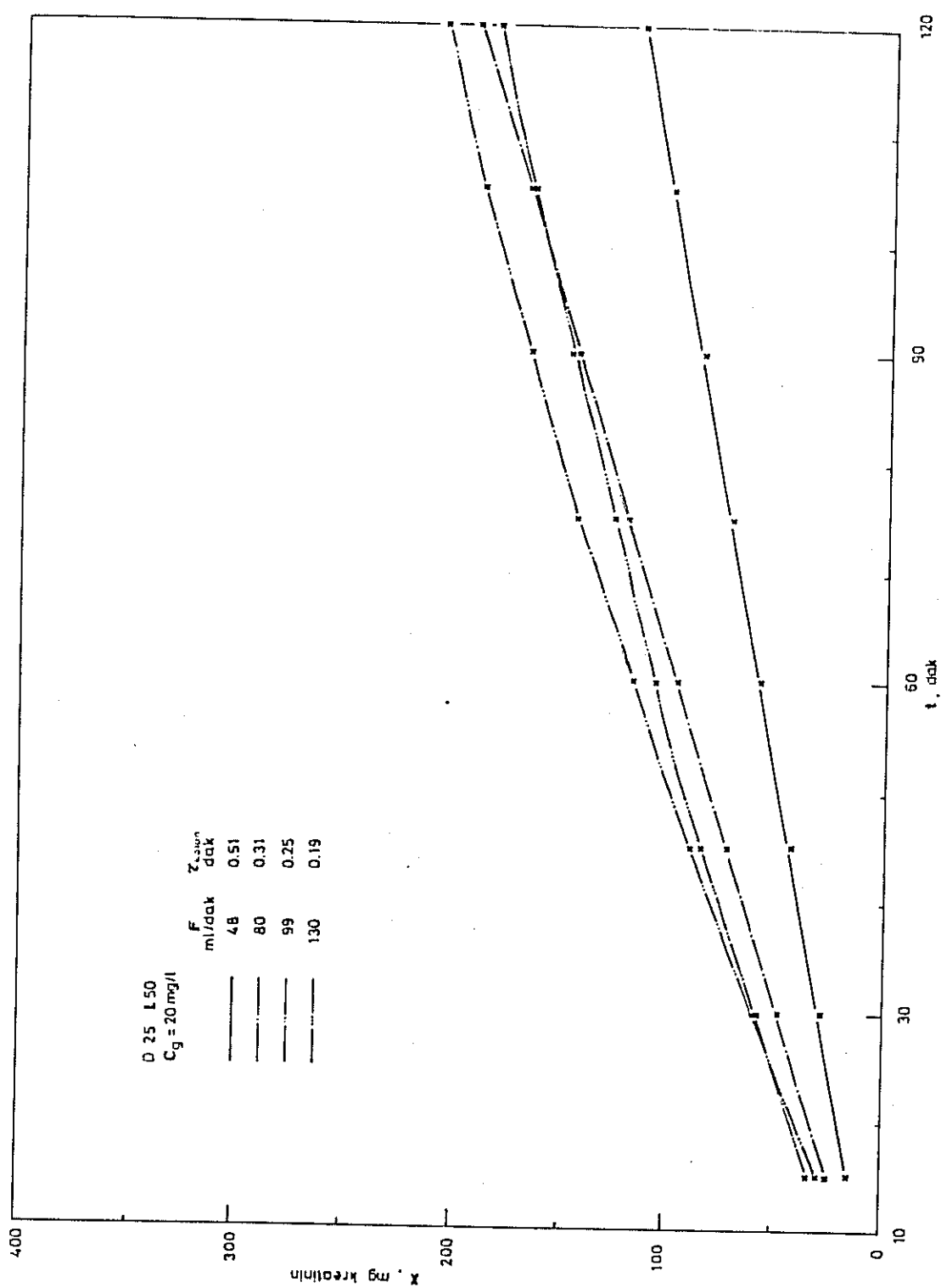
Adsorpsiyon kolonunda "S" eğrisi bekleniği gibi F ve U artışı ile daha dik olmaktadır, başka bir ifade ile kolon çıkışında konsantrasyon hızla artmaktadır. Boş kolona alikonma süresi  $\tau_{kolon}$ 'nun etkisi ise tam tersidir. Sekil 4.23'de,  $F=24$  ml/dakika akış hızına karşı gelen adsorpsiyon eğrısında bir sapma gözlenmektedir. Bu sapma, sapmanın gözlendiği bölgede deneyin 12 saat süreyle



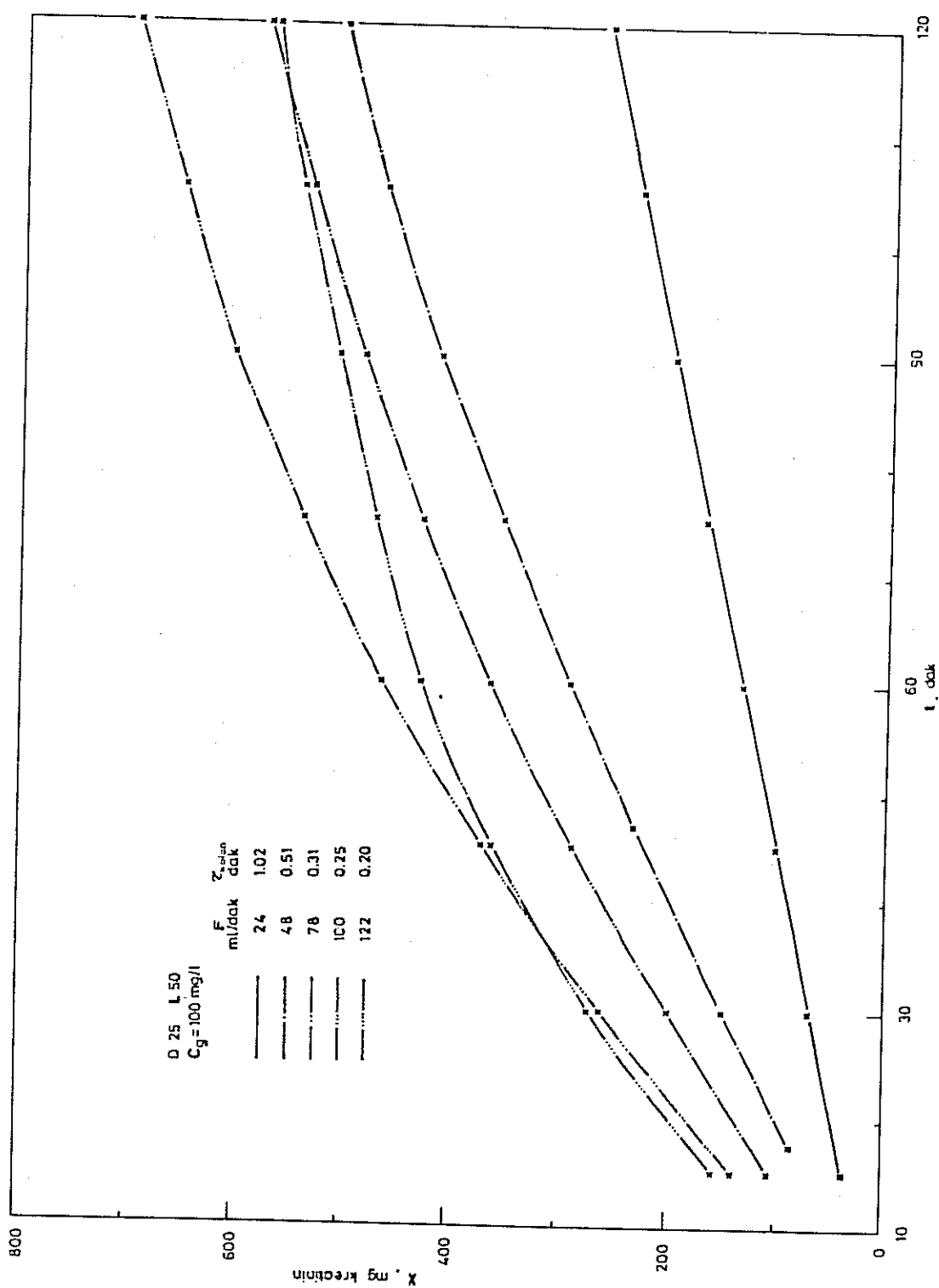
Şekil 4.22. Sulu Fazda, Sürekli Tek Geçişli Sistemde Çıkış Konsantrasyonunun ( $C_c$ ) Zamanla ( $t$ ) Değişimi, Kaplanmamış Bac Mu®.



Şekil 4.23. Sulu Fazda, Sürekli Tek Geçişli Sistemde Çıkış Konsantrasyonunun ( $C_{\text{ç}}$ ) Zamanla ( $t$ ) Değişimi, Kaplanmamış Bac Mu®.



Şekit 4.24. Sulu Fazda, Sürekli Tek Geçişli Sistemde Adsorbsiyonlu Kreatinin Miktarının (X) Zamanla (t) Değişimi, Kaplanmamış Bac Mu®.



Şekil 4.25. Sulu Fazda, Sürekli Tek Geçişli, Adsorbsion Kreatinin Miktarının  
(X) Zamanla ( $t$ ) Değişimi, Kaplanmamış Bac Mu®.

durdurulmuş olmasından kaynaklanmaktadır. Bu süre sonucunda sistem tekrar çalıştırılmış ve başlangıç adsorpsiyon hızının çok daha yüksek olduğu görülmüştür. Bu özelliğin aktif karbon granülünün dış ve iç tabakaları arasında oluşan konsantrasyon farkının yarattığı katı içindeki gözenek ve iç yüzey difüzyonundan kaynaklandığı söylenebilir. Deney duruktan sonra da devam eden bu difüzyonla aktif karbon gözeneklerinde kütte transferi devam etmekte, homojen bir adsorbat dağılımına ulaşımakta ve granül dış tabakalarında katı faz konsantrasyonu durdurma anına göre düşüğünden, tekrar deney başlatıldığında aktif karbonda adsorpsiyon hızı artmaktadır.

Eğrilerde gözlenen diğer bir özellik, sıçramalar şeklinde gözüken ve arka arkaya tekrarlanan adsorpsiyon hız artışıları olup, bu da yine granül dış ve iç tabakaları arasındaki konsantrasyon farkının değişimi göz önüne alınarak yorumlanabilir. Herhangi bir anda dış ve iç tabakalar arasında oluşabilecek konsantrasyon farkı, difüzyonun, dolayısıyla adsorpsiyonun sıçramalar halinde meydana gelmesine neden olmaktadır. Difüzyon için yeterli itici gücün sürekli olarak sağlandığı 100 mg/litre'lik çözeltilerden adsorpsiyonda oldukça yumuşak ve az sayıda sıçramalarla kendini gösteren bu özellik, 20 mg/litre'lik çözeltilerle yapılan deneylerde oldukça belirgindir. Burada başlangıçta aktif karbon granüllerinin dış yüzey adsorbat, kreatinin, konsantrasyonu küçük olmasına karşın, sürekli besleme ve yığılma sonucunda yeterli büyülükte konsantrasyon farkı sağlanmakta ve adsorbat granül içine daha büyük bir hızla difüzlenmektedir. Böylece granül dış tabakalarında katı faz konsantrasyonu azalmakta ve aktif karbon adsorpsiyon hızında sıçramalar şeklinde arka arkaya tekrarlanan artışlar gözlenmektedir.

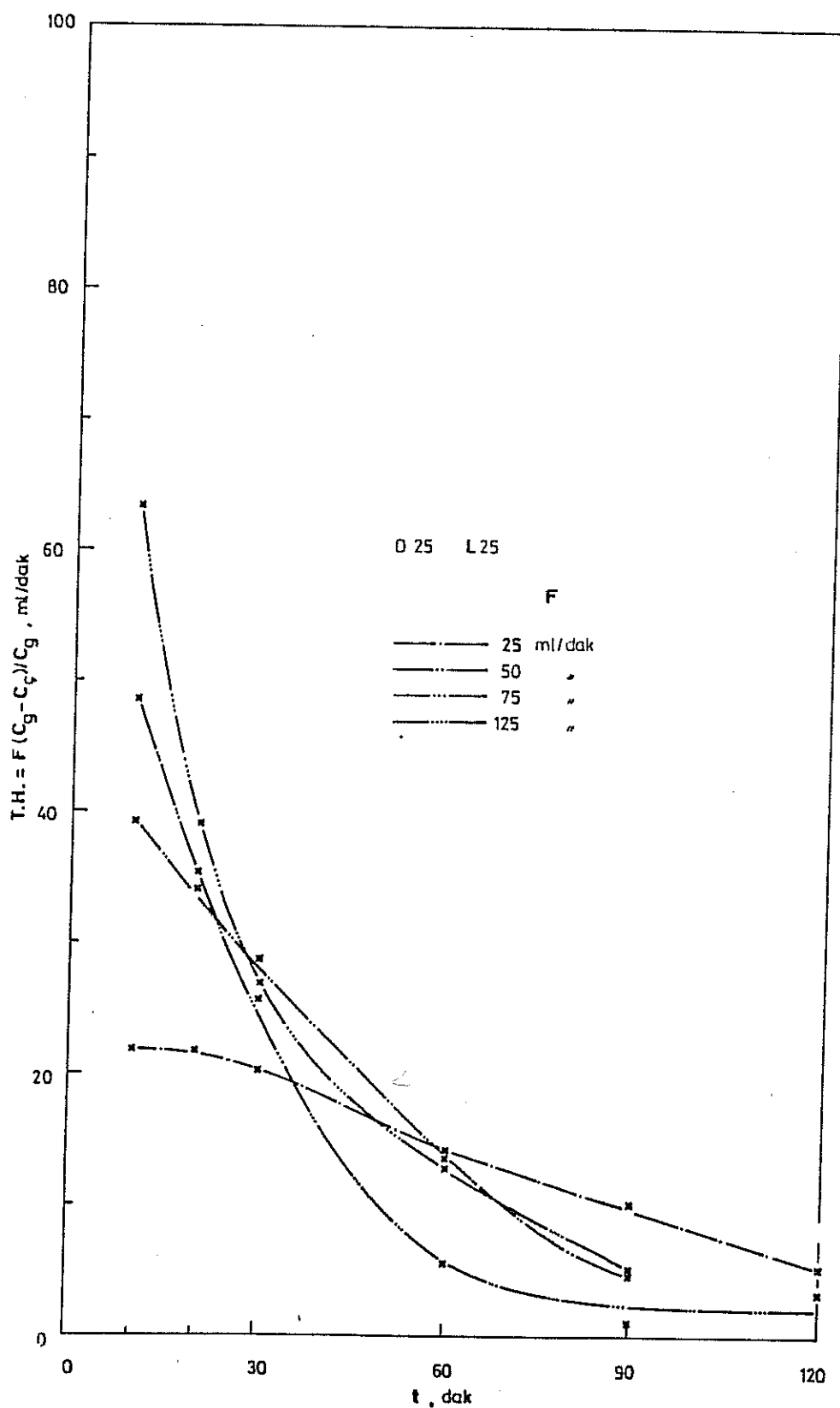
Zamana karşı ( $t$ ) adsorplanan kreatinin miktarı ( $X$ ) grafiklerinde, (Şekil 4.24 ve 4.25) ilk önce  $F = 100 \text{ ml/dakika}$  ( $U=20 \text{ cm/dakika}$ ,  $\tau_{kolon} = 0.25 \text{ dakika}$ ) 'lık çözelti

hacimsel akış hızına ulaşılana kadar performansta artış, daha sonra da azalma gözlenmektedir. Bu beklenen bir sonu olup, U arttıkça dış yüzey sıvı faz filmi incelmekte dolayısıyla adsorpsiyon hızı artmaktadır. Böylece aktif karbon dışındaki sıvı filmi incelip kütte transfer hızını sınırlayıcı etkisi azalmaktadır. Ayrıca boş kolonda alikonma süresi ( $t_{kolon}$ ) azaldığında geri karışma gibi karmaşalı akıştan kaynaklanan faktörlerin etkisi ile de adsorpsiyon hızında düşme gözlenir.

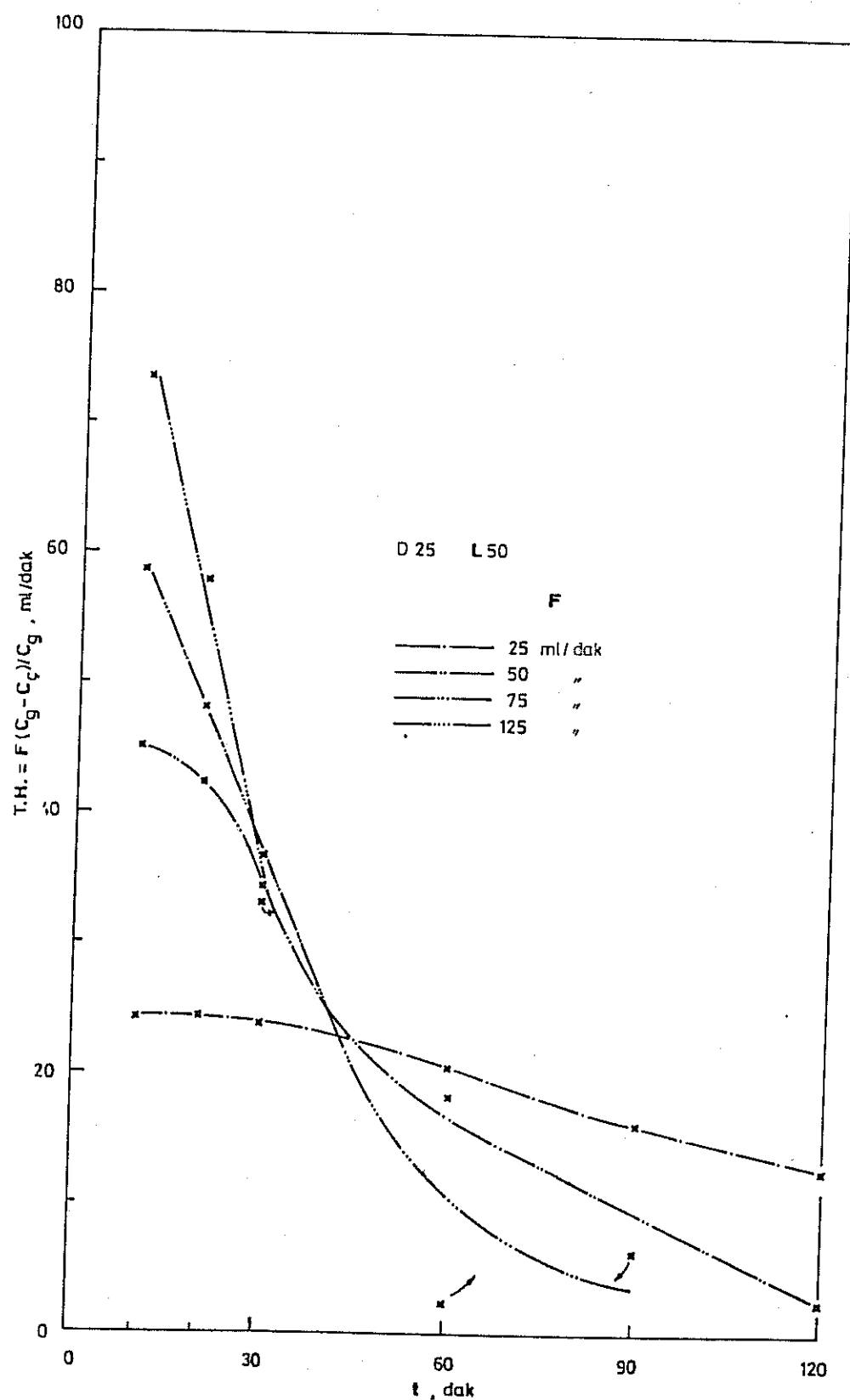
#### Kapalı Devreli Dolaşımlı Sistem:

Çözelti hacminin sabit tutularak sıvı faz akış hızının değiştirildiği bu gruptaki deneylerde, izleyici olarak kreatinin seçilmiş ve deneylerde kaplanmamış ve iki farklı kalınlıkda selüloz nitratla kaplanmış (% 0.4 ve 0.8) aktif karbonlar kullanılmıştır. Elde edilen bulgulardan, kreatinin temizlenme hızları (T.H.) Denklem 2.14'de verilen ifadeden hesaplanmış ve sonuçlar Şekil 4.26-4.30'de topluca sunulmuştur.

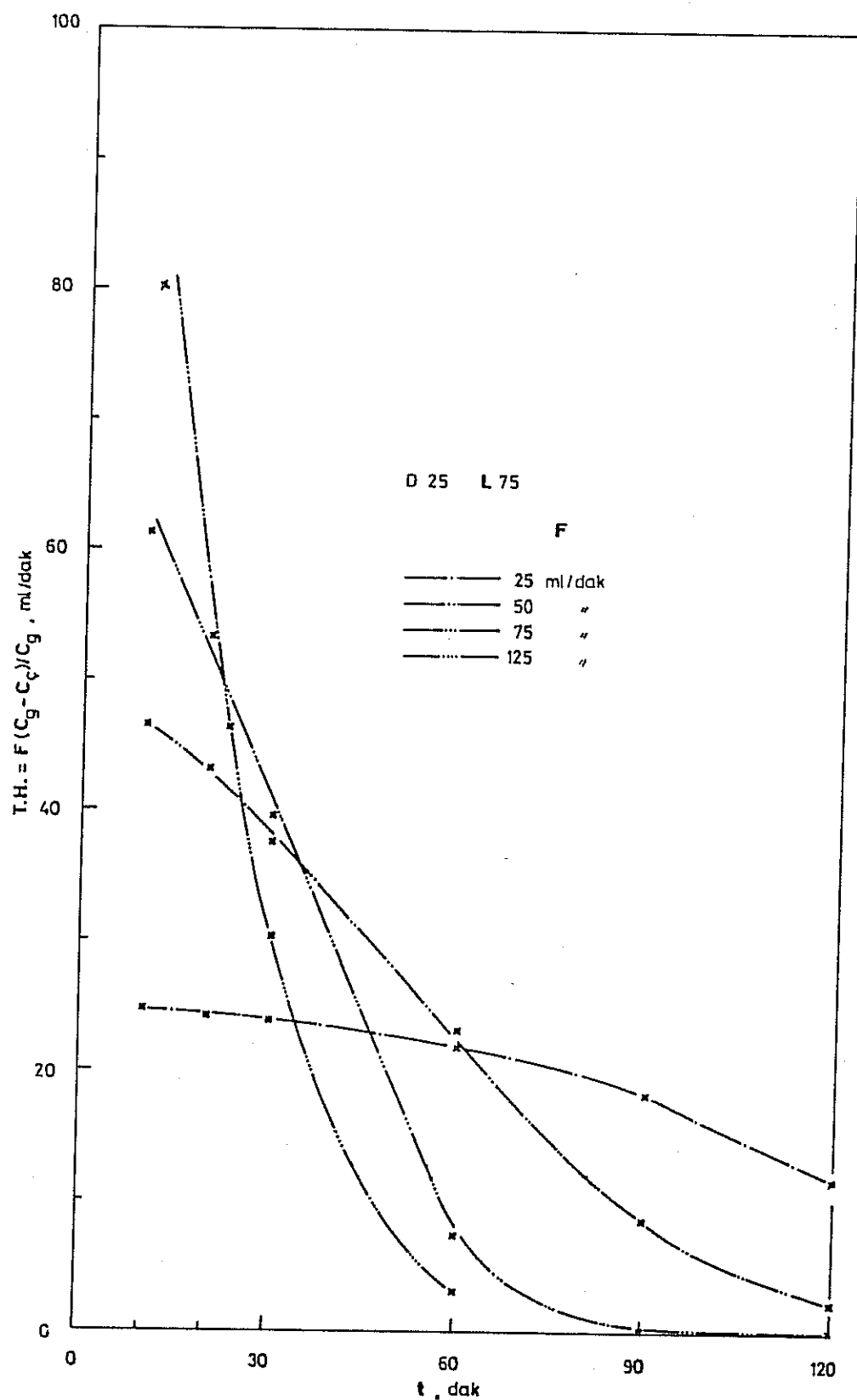
Şekil 4.26-4.28, kaplanmamış Bac Mu kullanılarak üç ayrı kolonda (dolayısıyla üç ayrı miktarda aktif karbon içeren kolonlarda) dört ayrı akış hızında yapılan kreatinin adsorpsiyon deney sonuçlarını göstermektedir. Şekil 4.29 ve 4.30'da ise sırasıyla % 0.4 ve 0.8 selüloz nitrat kaplanmış aktif karbon dolgulu 25 mm çapında 50 mm boyundaki kolonda dört ayrı akış hızında yapılan adsorpsiyon deney sonuçları verilmiştir. Tüm bu grafiklerde görüleceği gibi akış hızının artması ile temizleme hızı önemli derecede artmaktadır. Kolon boyutları (veya aktif karbon miktarının) ve kaplama kalınlığının temizleme hızına etkisini görebilmek üzere yukarıdaki şekiller kullanılarak Şekil 4.31 ve 4.32 hazırlanmıştır. Bunun için egrilerin 10. dakikadaki temizleme hızı değerleri karşılaştırılmıştır. Dikkat edileceği gibi aktif karbon miktarının artışı ile



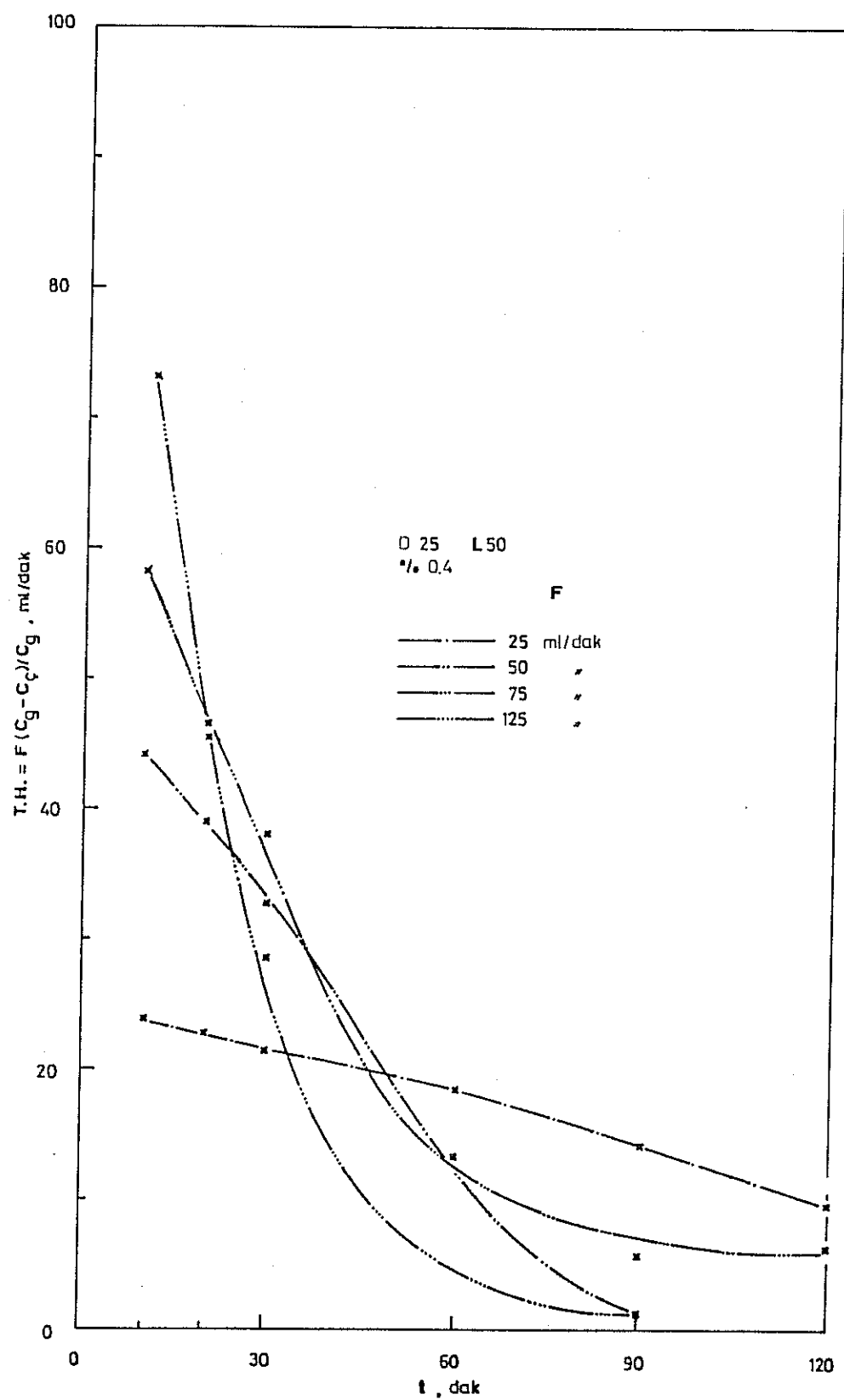
Şekil 4.26. Sulu Fazda, Kapalı Devreli Dolaşımlı Sistemde, Temizlenme Hızının  
(T. H.) Zamanla ( $t$ ) Değişimi, Kaplanmamış Bac Mu®.



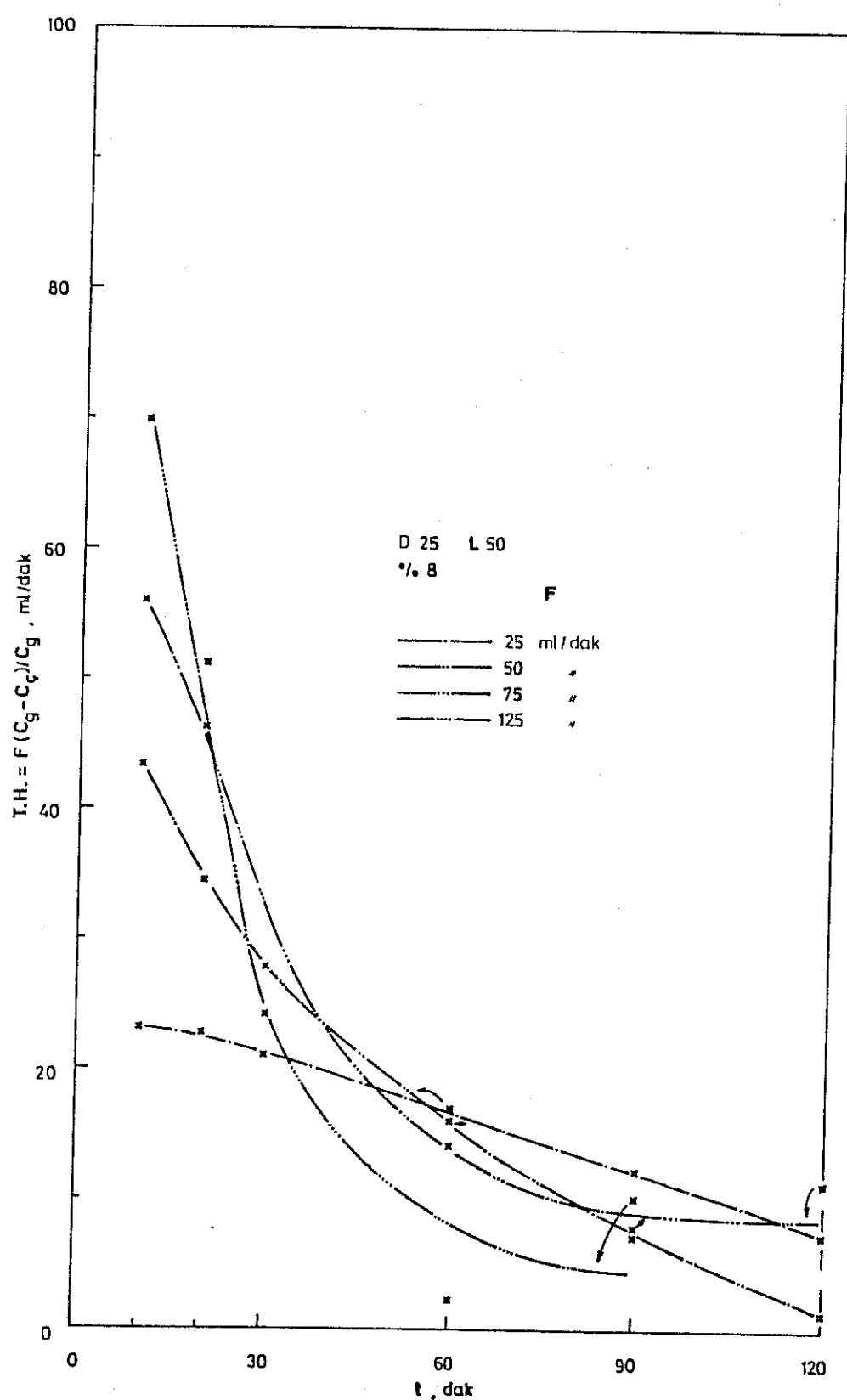
Şekil 4.27. Sulu Fazda, Kapalı Devreli Dolaşımı Sistemde, Temizlenme Hızının  
(T.H.) Zamanla ( $t$ ) Değişimi, Kaplanmamış Bac Mu®.



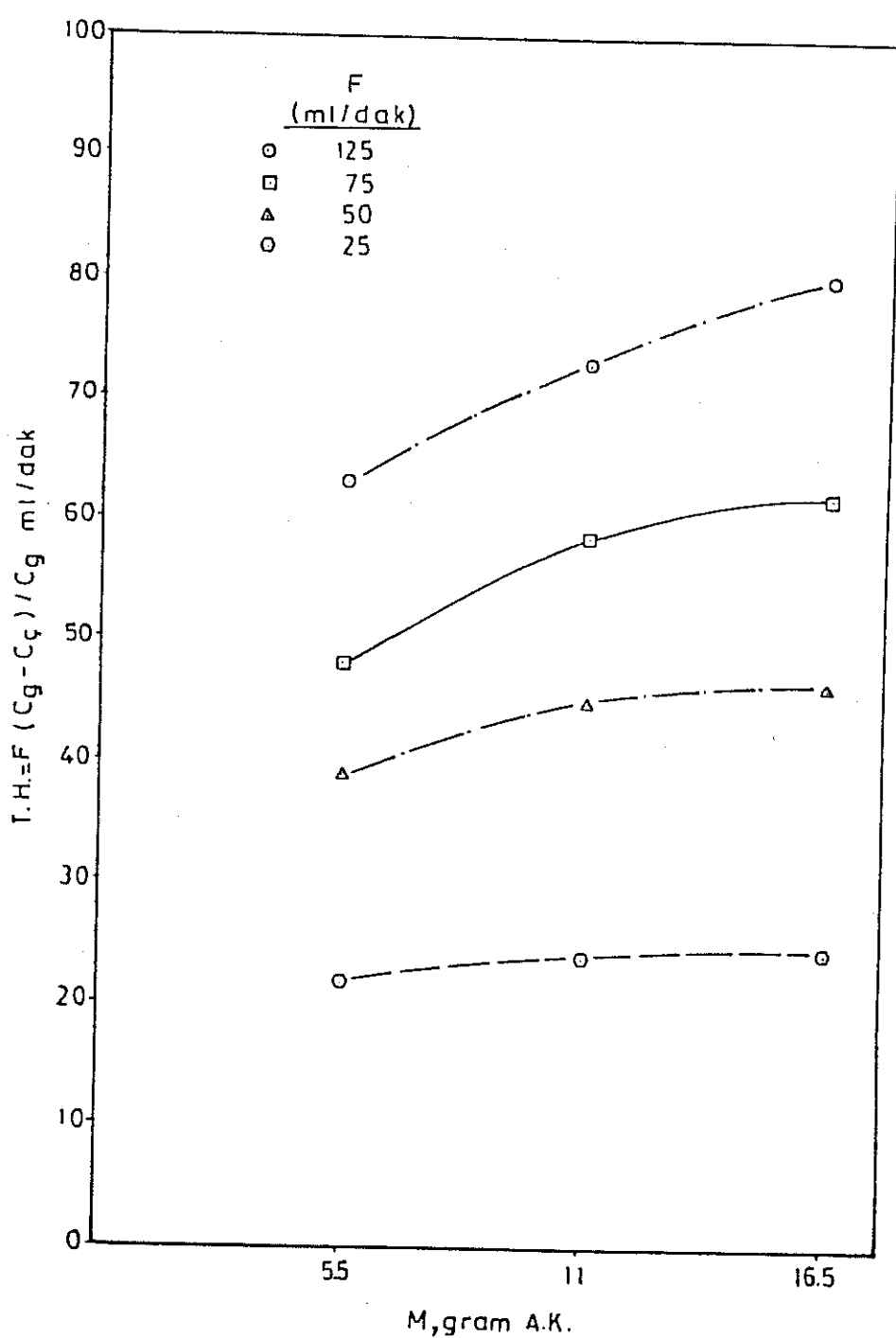
Şekil 4.28. Sulu Fazda, Kapalı Devreli Dolaşımlı Sistemde, Temizlenme Hızının (T.H.) Zamanla ( $t$ ) Değişimi, Kaplanmamış Bac Mu®.



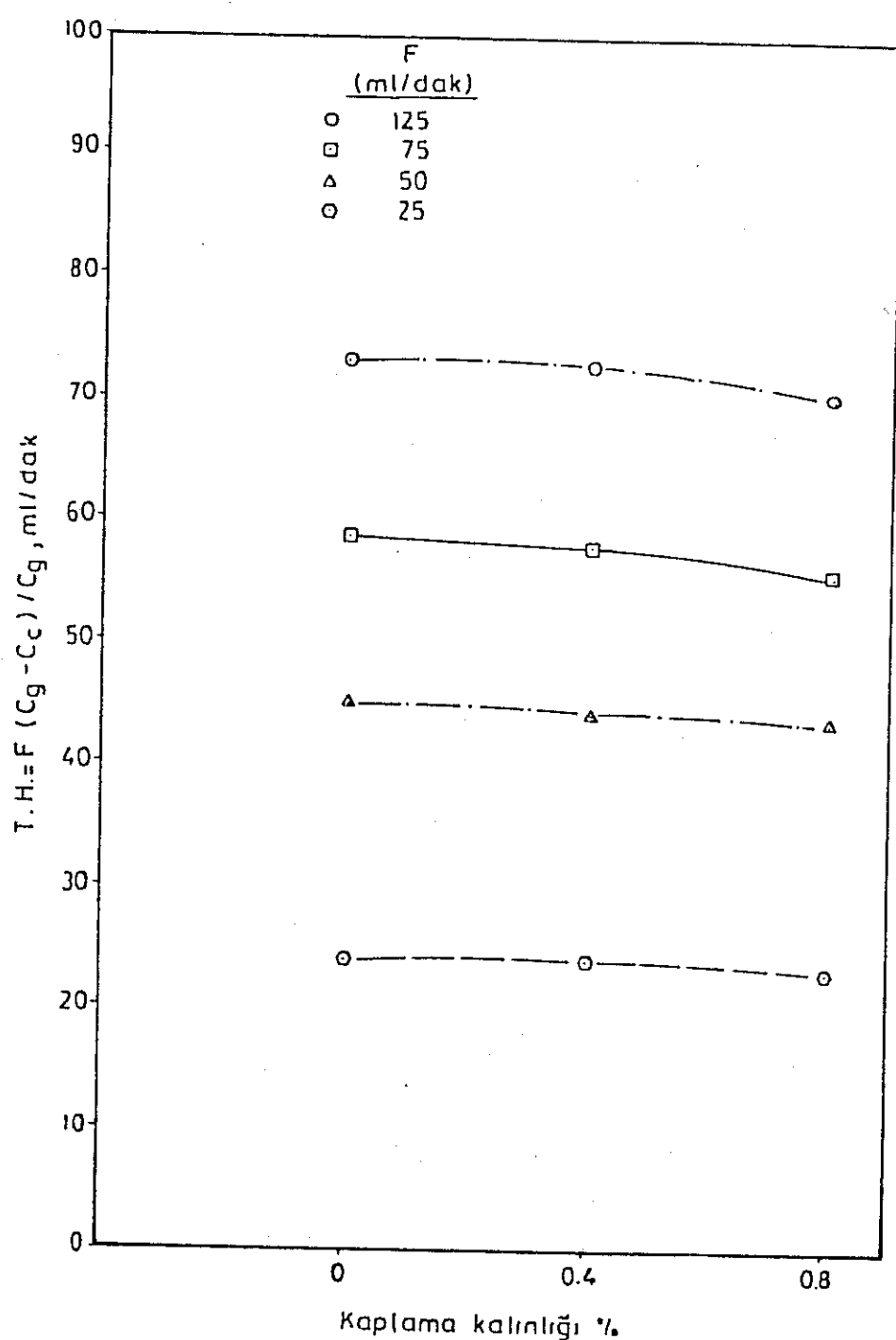
Şekil 4.29. Sulu Fazda, Kapalı Devrell Dofaşılı Sistemde, Temizlenme Hızının (T.H.) Zamanla ( $t$ ) Değişimi, % 0.4 Selüloz Nitrat Kaplıanmış Baç Mu®.



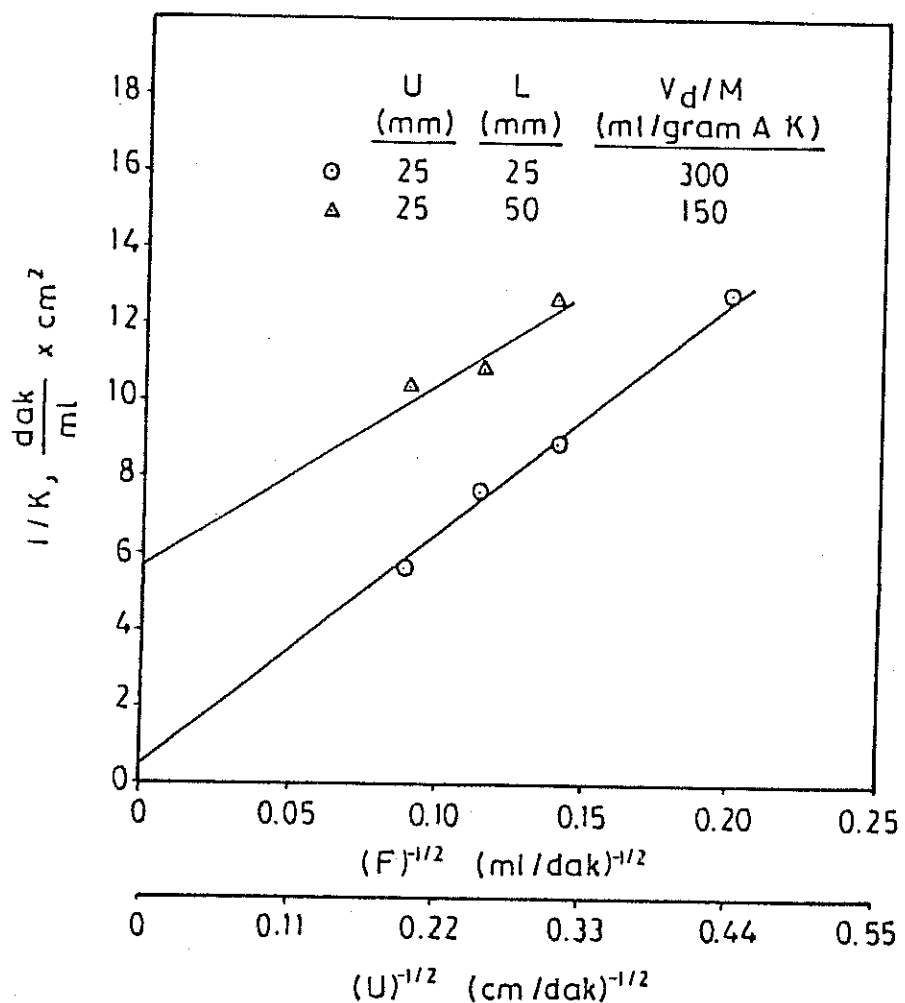
Şekil 4.30. Suju Fazda, Kapalı Devrelî Dolaşımı Sistemde, Temizlenme Hızının (T.H.) Zamania ( $t$ ) Değişimi, % 0.4 Selüloz Nitrat Kaplanmış Bac Mu<sup>®</sup>.



**Şekil 4.31.** Sulu Fazda, Kapalı Devreli Dolaşımlı Sistemde, Temizlenme Hızının (T.H.) Kullanılan Aktif Karbon Miktarı (M) ile Değişimine, Çözelti Hacimsel Akış Hızının Etkisi, Kaplanmamış Bac Mu®.



Şekil 4.32. Sulu Fazda, Kaplı Devreli Dolaşımlı Sistemde, Temizlenme Hızının ( $T.H.$ ) Polimerik Kaplama Kalınlığı ile Değişimine Çözelti Hacimsel Akış Hızının Etkisi.



Şekil 4.33. Sulu Fazda, Kapalı Devreli Dolaşımı Sistemde, Toplam Kütle Transfer Direncinin ( $1/K$ ) Çözelti Hacimsel Akış Hızı (veya Çizgisel Hızı) ile Değişimi ve Buna Birim Aktif Karbon Miktarı Başına Kullanılan Çözelti Miktarının ( $V_d/M$ ) Etkisi., Kaplanmamış Bac Mu®.

temizlenme hızları artarken polimerik kaplamanın varlığı temizlenme hızını düşürmektedir.

Kolondaki hacimsel ve çizgisel akış hızlarının kolon performansına etkilerinin daha açık olarak belirtilebilmesi için yukarıda verilen temizlenme hızı egrilerinden yararlanılarak toplam kütle transfer direnci, ( $1/K$ ), Bölüm 2.6.2'de verilen Denklem 2.10'dan hesaplanmıştır. Bulunan değerler Şekil 4.33 de

göründüğü gibi  $F^{-1/2}$ 'ye (veya  $U^{-1/2}$ ) karşı grafike alınmıştır. Dikkat edileceği gibi, toplam kütte transfer direnci  $F^{-1/2}$  ile (veya  $U^{-1/2}$ ) doğrusal olarak artmaktadır. Göründüğü gibi iki farklı kolon için de davranış biçimi aynıdır. Burada  $D=25$  mm,  $L=75$  mm olan kolonun sonuçları verilmemiştir. Çünkü bu kolonda başlangıç çıkış konsantrasyonları sıfır veya sıfıra çok yakın olduğundan, yukarıda  $K$ 'nın hesabında kullanılan teorinin ön koşulları sağlanamamış, dolayısıyla da bu kolondan elde edilen değerler grafikte yer almamıştır. Yine teori bölümünde verilen yaklaşım izlenen Şekil 4.33'deki doğruların ordinat kesim noktaları ve eğimlerinden sırasıyla katı faza ait kütte transfer katsayı  $K_k$  ve sıvı faza ait kütte transfer katsayı  $K_s$ , hesaplanmış ve değerler topluca Çizelge 4.8'de sunulmuştur.

**Çizelge 4.8. Toplam Kütte Transfer Hızlarına Kolon Boyutları ve Akış Hızının Etkileri.**

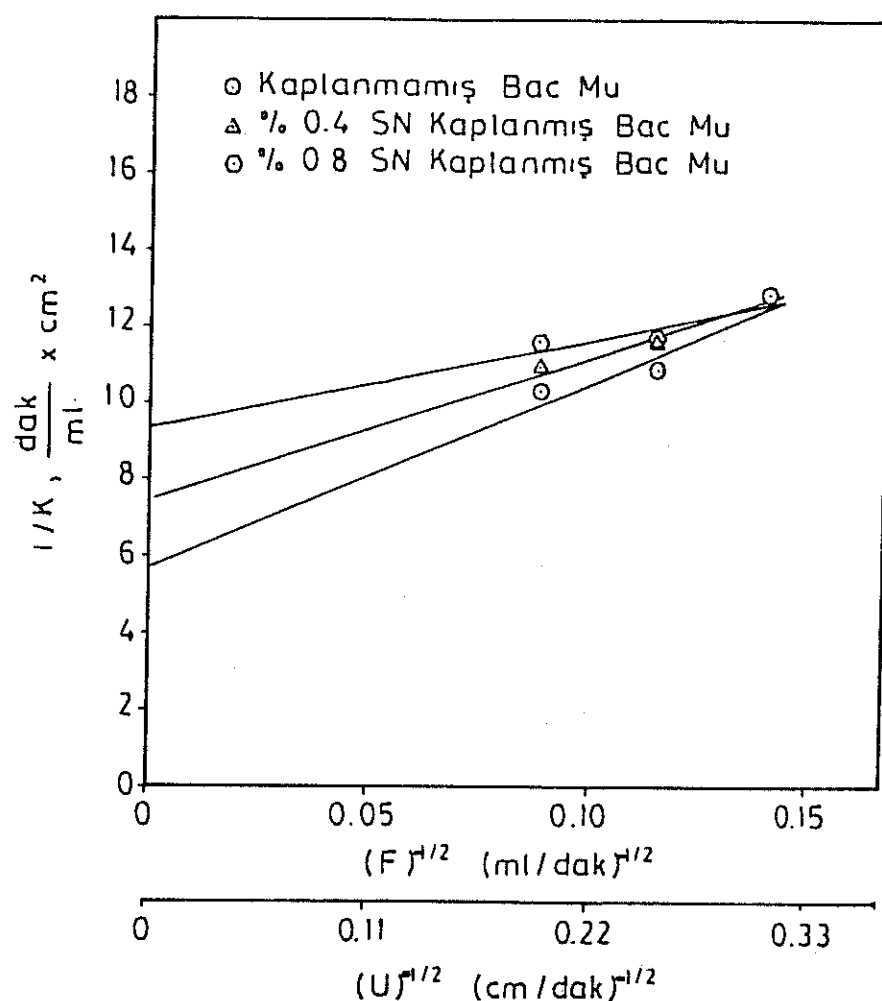
Kolon No	D (cm)	L (cm)	M (g)	F (ml/dak)	U (cm/dak)	$K_k \times 10^4$	$K_s \times 10^4$	$K \times 10^4$ cm/dak
1	2.5	2.5	5.5	50	10.2	20.000	1176	1111
	{	2.5	5.5	100	20.4	20.000	1639	1515
2	2.5	5.0	11.5	50	10.2	1754	1492	806
	{	5.0	11.5	100	20.4	1754	2127	961

Yapılan çalışmada özellikle kolon No 1'de, katı faz kütte transfer katsayısının çok yüksek olduğu ve ana direncin sıvı fazdan kaynaklandığı belirlenmiştir. Her iki çözümü çizgisel akış hızında da küçük kolonun toplam kütte transfer katsayısi diğerinden daha yüksektir. Bu davranış, adsorpsiyon kolonunda kullanılan aktif karbon miktarının çözeltiye oranla azaltılması sonucunda,

( $V_d/M_{artiş}$ ) ortamda katı faz direncini uzun süre yenecek, yeterli büyüklükte çözelti konsantrasyon farkının bulunmasından kaynaklanmaktadır. Böylece, katı faz kütle transfer katsayısı büyümekte ve sıvı faz ana direnç kaynağının durumuna düşmektedir. Dolayısıyla toplam kütle transfer katsayısı artmaktadır. Diğer taraftan 2 nolu kolonda daha belirgin olarak görüldüğü gibi düşük çözelti çizgisel akış hızlarında toplam kütle transferi sıvı faz tarafından kontrol edilirken, daha yüksek çözelti çizgisel akış hızlarına çıkıldığında sıvı faz kütle transfer katsayısı artmaktadır hatta katı faz kütle transfer katsayısını geçerek onu ana direnç kaynağının durumuna sokmaktadır.

Selüloz nitrat kaplama kalınlığının, aktif karbonun toplam kütle transfer özelliklerine etkisini incelemek için kaplanmış aktif karbonların toplam kütle transfer direnci,  $1/K$ , daha önce verilen temizleme hızı eğrileri yanında Bölüm 2.6.2'de verilen Denklem 2.10'dan yararlanılarak hesaplanmıştır. Bulunan değerler Şekil 4.34'de  $F^{-1/2}$ 'ye (veya  $U^{-1/2}$ ) karşı grafiğe alınmıştır. Burada da toplam kütle transfer direnci,  $1/K$ ,  $F^{-1/2}$  ile (veya  $U^{-1/2}$ ) Şekil 4.33'de olduğu gibi doğrusal olarak artmaktadır. Grafigin en belirgin özelliği, kaplama kalınlığının artışı ile doğruların ordinatı kesim noktası, başka bir ifade ile katı faz kütle transfer direnci artmaktadır. Ayrıca, bu doğruların ordinat kesim noktalarından katı faza, eğimlerinden ise sıvı faza ait kütle transfer katsayıları hesaplanarak Çizelge 4.9'da sunulmuştur.

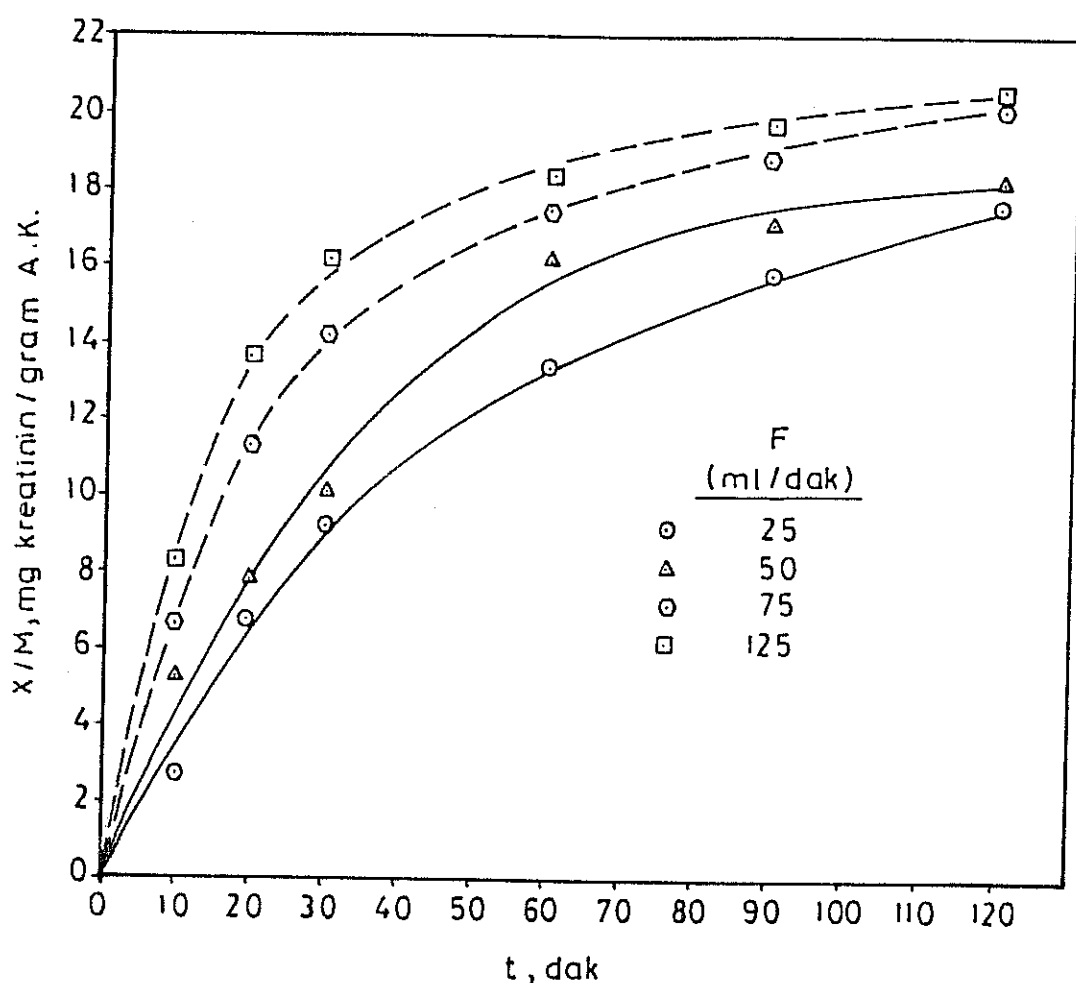
Daha önce yukarıda belirtildiği gibi kaplanmamış aktif karbonla düşük çözelti çizgisel akış hızlarında yapılan adsorpsiyon deneylerinde kütle transferi sıvı faz tarafından kontrol edilmekte ancak yüksek çözelti hızlarına çıkıldığında katı faz ana direnç durumuna düşmektedir. Kaplama kalınlığı artırıldığında bu özellik dahada belirginleşmekte ve katı faz direnci artarak toplam kütle transfer direncinin yaklaşık % 75-80'ini oluşturmaktadır. Tüm bunların



**Şekil 4.34.** Sulu Fazda Kapalı Devrelî Dotasımlı sistemde, Toplam Kütle Transfer Direncinin ( $I/K$ ) Çözeltî Hacimsel Akış Hızı (veya Çizgisel) İle Değişimi ve Buna Selülozik Kaplamanın Etkisi.

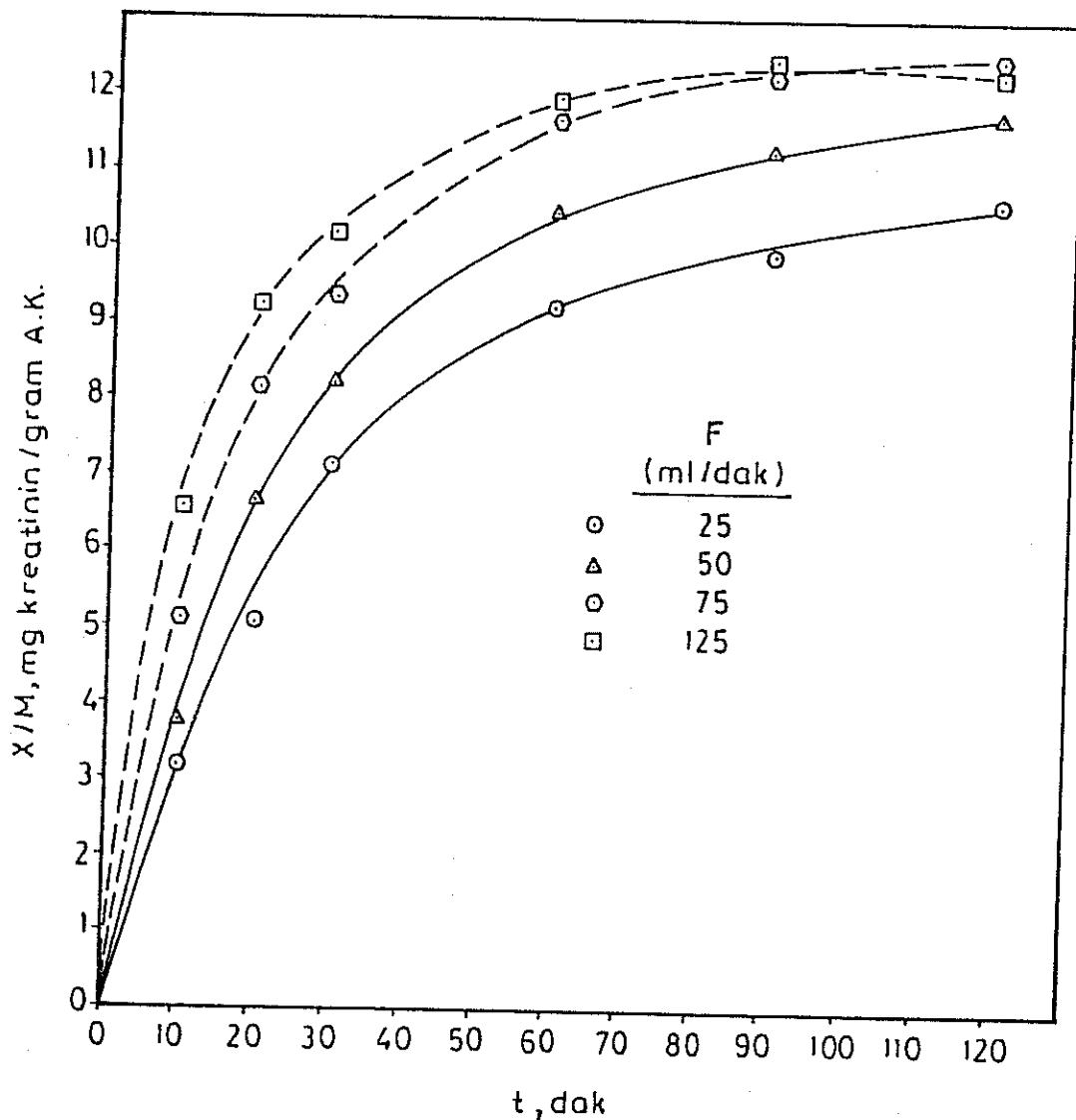
**Cizelge 4.9.** Kütle Transfer Hızlarına Kaplama Kalınlığının Etkileri.

$F$ (ml/dak)	Kaplama Kalınlığı (%)	D (cm)	L (cm)	M (g)	U (cm/dak)	$K_k \times 10^4$ (cm/dak)	$K_s \times 10^4$ (cm/dak)	$K \times 10^4$ cm/dak
50	0	2.5	5	11.5	10.2	1754	1492	806
	0.4	2.5	5	11.5	10.2	1333	1960	796
	0.8	2.5	5	11.5	10.2	1063	3333	800
100	0	2.5	5	11.5	20.4	1754	2127	961
	0.4	2.5	5	11.5	20.4	1333	2702	892
	0.8	2.5	5	11.5	20.4	1063	4545	862



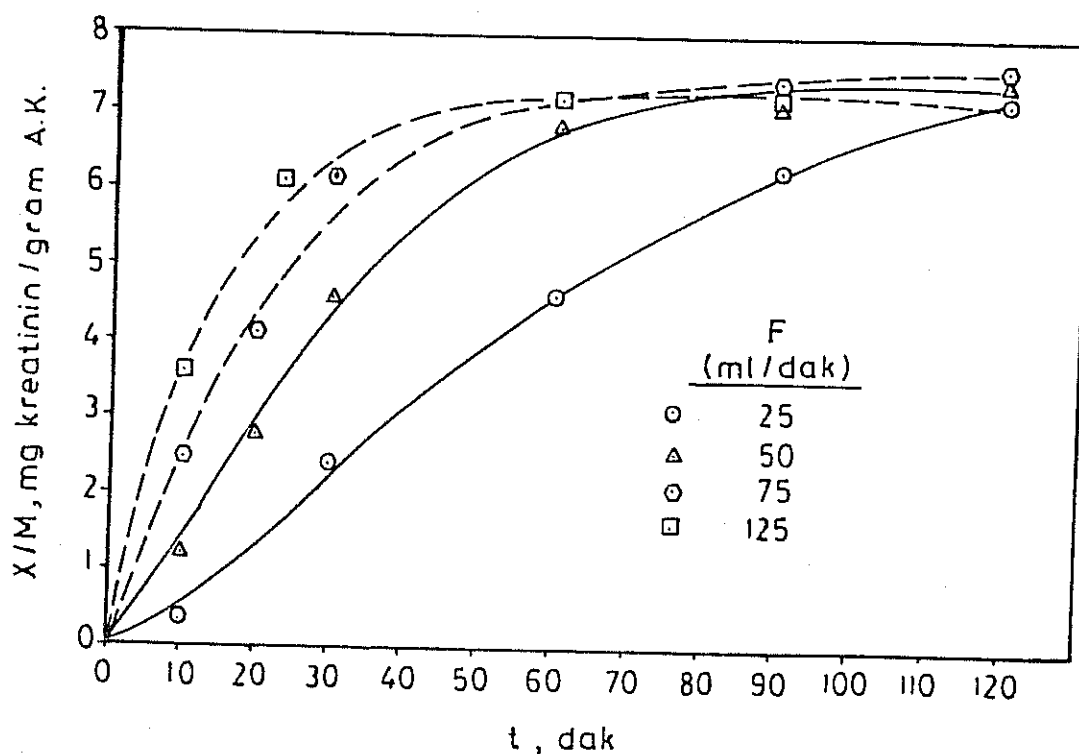
Şekil 4.35. Sulu Fazda, Kapalı Devrell Dolaşımlı Sistemde Birim Aktif Karbon  
Miktarı Başına Adsorplanan Kreatininin ( $X/M$ ) Zamanla ( $t$ ) ile  
Değişimine Çözelti Hacimsel Akış Hızının ( $F$ ) Etkisi, Kaplanmamış Bac  
Mu®.

yanında, düşük çözelti hacimsel akış hızlarında, kaplanmış ve kaplanmamış aktif karbonlar arasında önemli bir toplam kütte transfer katsayısı farkı görülmemektedir. Ancak daha yüksek çözelti çizgisel akış hızlarına çıktığında, toplam kütte transfer katsayısı kaplama kalınlığı artışı ile belirgin olarak küçülmektedir.



Sekil 4.36. Sulu Fazda, Kapali Devreli Dolasimli Sistemde Birim Aktif Karbon Miktarı Başına Adsorplanan Kreatinin Miktarının ( $X/M$ ) Zamanla ( $t$ ) ile Değişimine Çözelti Hacimsel Akış Hızının ( $F$ ) Etkisi, Kaplanmamış Bac Mu®.

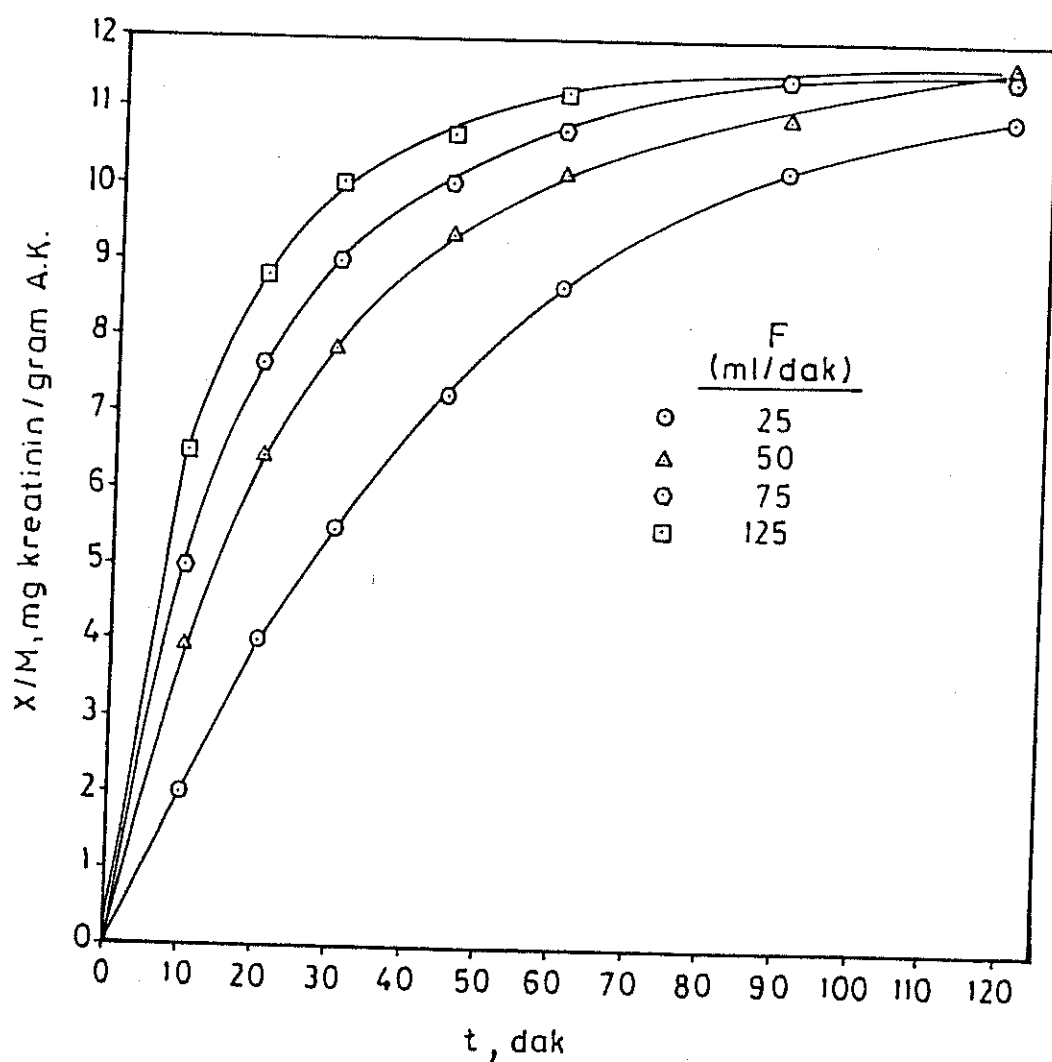
Adsorpsiyon işlemi sırasında zamanla değişen önemli parametrelerden biri de, birim aktif karbon miktarı başına adsorplanan izleyici miktarıdır, ( $X/M$ ). Bu gruptaki deneylerin sonuçlarını tartışmak üzere  $X/M$ 'nin zamanla değişimini veren grafikler hazırlanmıştır, (Şekil 4.35-4.39). Bu grafiklerde görüldüğü gibi,



Şekil 4.37. Sulu Fazda, Kapalı Devreli Dolaşımlı Sistemde Birim Aktif Karbon Miktarı Başına Adsorplanan Kreatinin Miktarının ( $X/M$ ) Zamanla ( $t$ ) ile Değişimine Çözelti Hacimsel Akış Hızının ( $F$ ) Etkisi, Kaplanmamış Bac Mu®.

$X/M$  değerleri zamanla artarak belli bir süre sonra sabit değerle ulaşmaktadır. Dikkat edileceği gibi çözelti hacimsel akış hızının artması ile  $X/M$ 'nin zamanla değişimi hızlanmaktadır ve bir plato değerine hızla ulaşmaktadır. Yaklaşık 75 ml/dak değerinden sonra bu etki çok azalmaktadır.

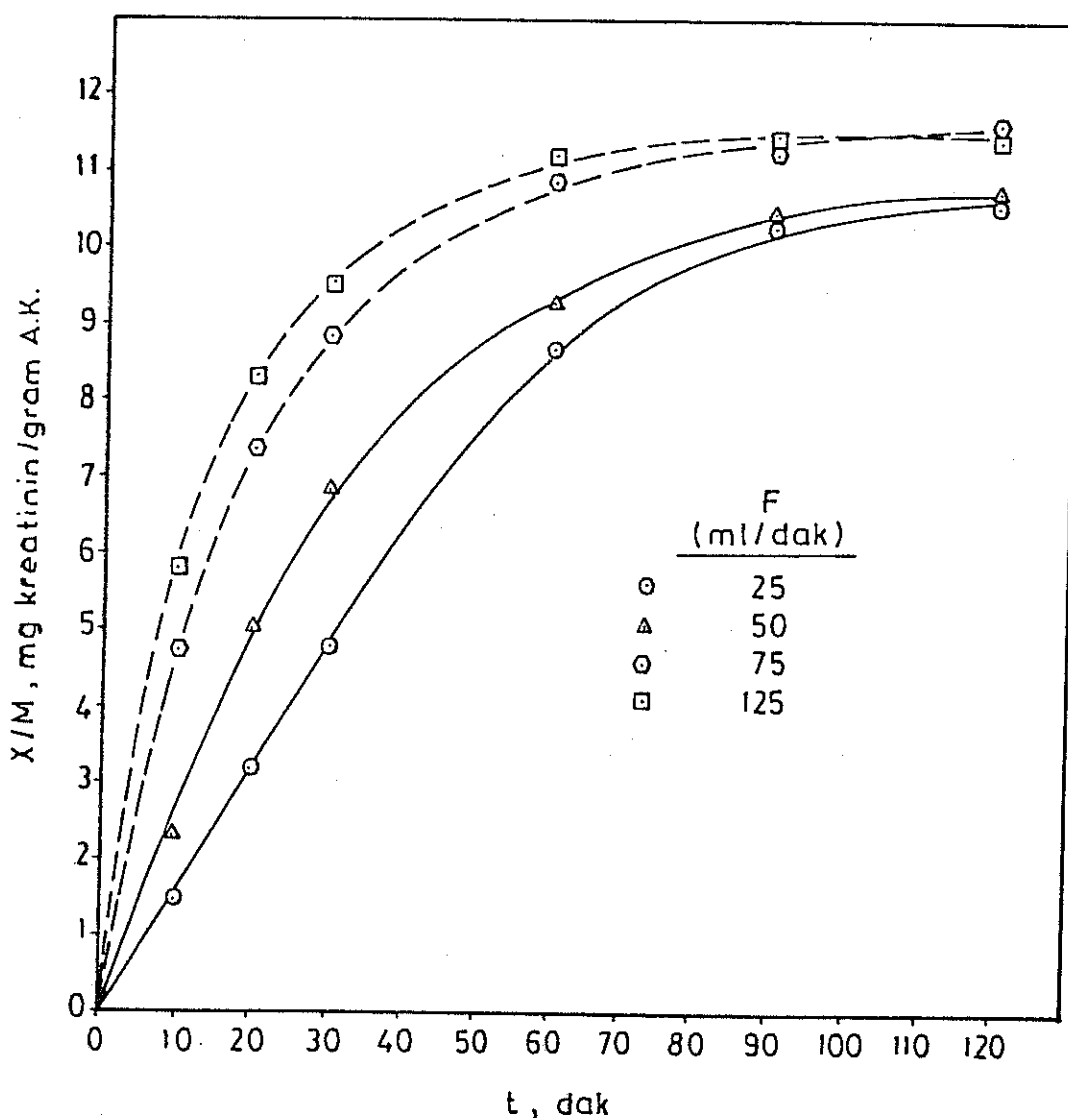
Aktif karbonun kaplanması ve kaplama kalınlığının  $X/M$  üzerinde etkisini görebilmek için Şekil 4.36-4.38 ve 4.39'dan seçilen,  $F=75$  ml/dak değerine karşılık gelen  $D=25$  mm,  $L=50$  mm'lik kolona ait deney sonuçları Şekil 4.40'da topluca verilmiştir. Görüldüğü gibi aktif karbon kaplama kalınlığı arttıkça  $X/M$  değerinin zamanla değişimi yavaşlamakta plato değeri ise azda olsa küçülmektedir. Ancak burada, yukarıdaki tartışma da göz önüne alınarak



Şekil 4.38. Sulu Fazda, Kapalı Devreli Dolaşımı Sistemde Birim Aktif Karbon Miktarı Başına Adsorplanan Kreatinin Miktarının ( $X/M$ ) Zamanla ( $t$ ) ile Değişimine Çözelti Hacimsel Akış Hızının ( $F$ ) Etkisi, % 0.4 Selüloz Nitrat Kaplanmış Bac Mu®.

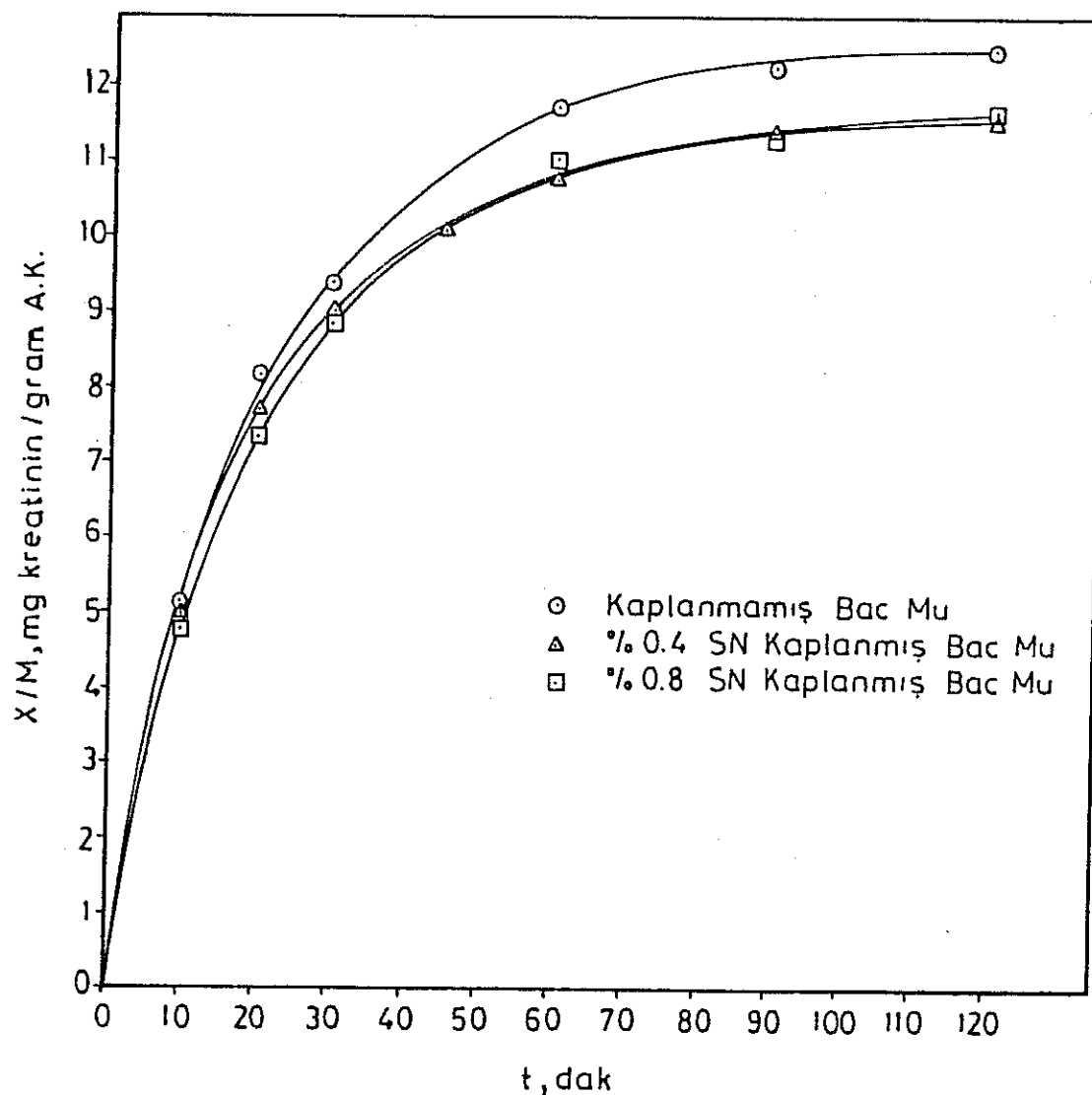
kaplama kalınlığı artsa da, daha yüksek hacimsel akış hızlarına çıkararak adsorpsiyon hızını yüksek tutmanın mümkün olduğu, önemle vurgulanmalıdır.

Aktif karbon miktarının adsorpsiyon hız ve kapasitesine ( $X/M$ )'ye etkisinin gösterilmesi için Şekil 4.35-4.37'den yararlanılarak  $F=75$  ml/dak çözelti hacimsel akış hızına karşı gelen aynı çap üç değişik boyda dolayısıyla üç değişik



Sekil 4.39. Sulu Fazda, Kapalı Devreli Dolaşımlı Sistemde Birim Aktif Karbon Miktarı Başına Adsorplanan Kreatinin Miktarının ( $X/M$ ) Zamanla ( $t$ ) ile Değişimine Çözelti Hacimsel Akış Hızının ( $F$ ) Etkisi, % 0.4 Selüloz Nitrat Kaplanmış Bac Mu®.

miktarda aktif karbon içeren kolonlarda yapılan deneylere ait eğriler Şekil 4.41'de topluca verilmiştir. Burada görüldüğü gibi kullanılan aktif karbon miktarı,  $M$ , arttıkça birim aktif karbon miktarı başına adsorplanan izleyici miktarı ( $X/M$ ) azalmaktadır. Başka bir ifade ile çap sabit tutularak boyu arttırılan kolonlarda aktif karbon daha verimsiz kullanılır hale gelmektedir.

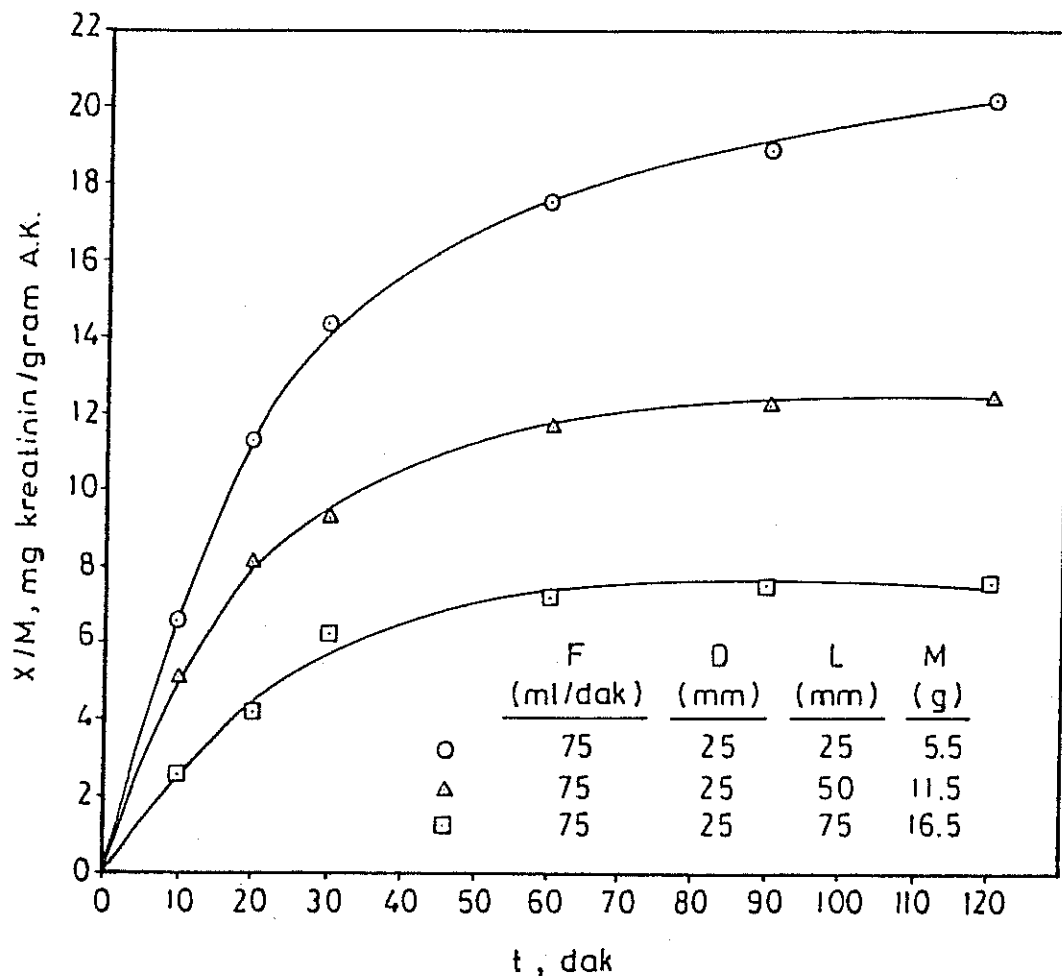


Şekil 4.40. Sulu Fazda, Kapalı Devreli Dolaşımlı Sistemde Birim Aktif Karbon Miktarı Başına Adsorbsiyon Kreatinin Miktarının ( $X/M$ ) Zamanla ( $t$ ) ile Değişimine Polimerik Kaplama Kalınlığının Etkisi.

#### Ara Sonuç

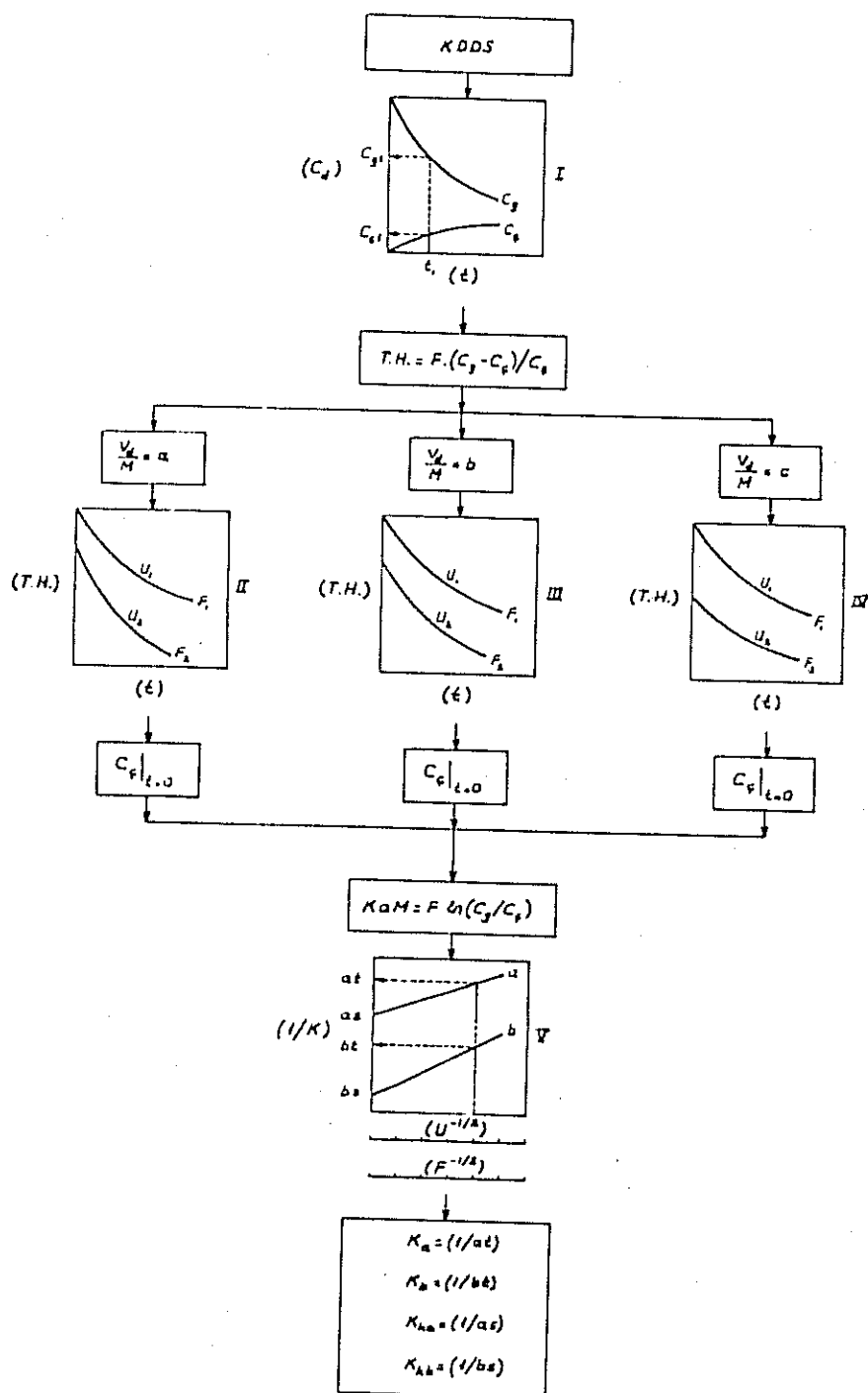
Bu gruba ait deneylerin sonuçlarını toparlamak için Şekil 4.42 hazırlanmıştır.

Bu şekeil deneysel verilerden çıkararak kütte transfer katsayılarının dolayısıyla adsorbsiyonu kontrol eden basamağın saptanmasında kullanılır. Şekildeki I nolu grafik bir kapalı devreli dolaşım sisteminde elde edilen kolon giriş ve



Şekil 4.41. Sulu Fazda, Kapalı Devreli Dolaşmalı Sistemde Birim Aktif Karbon Miktarı Başına Adsorplanan Kreatinin Miktarının ( $X/M$ ) Zamanla ( $t$ ) ile Değişimine Kullanılan Aktif Karbon Miktarının ( $M$ ) Etkisi, Kaplanmamış Bac Mu®.

cıkışında izleyici konsantrasyonunun zamanla değişimini veren örnek grafiktir. Bu grafik kullanılarak üç ayrı örnek  $V_d/M$  değerinde Denklem 2.14'den yararlanarak II, III ve IV nolu grafikler elde edilir. Bu grafiklerden başlangıç anındaki izleyici çıkış konsantrasyonları bulunur ve Denklem 2.10'dan yararlanılarak çözelti hacimsel akış hızıyla (veya çözelti çizgisel akış hızıyla) toplam kotle transfer direnci değişimini gösteren V nolu grafik hazırlanır. Bu grafikteki doğruların ordinat kesim ve eğim değerlerinden



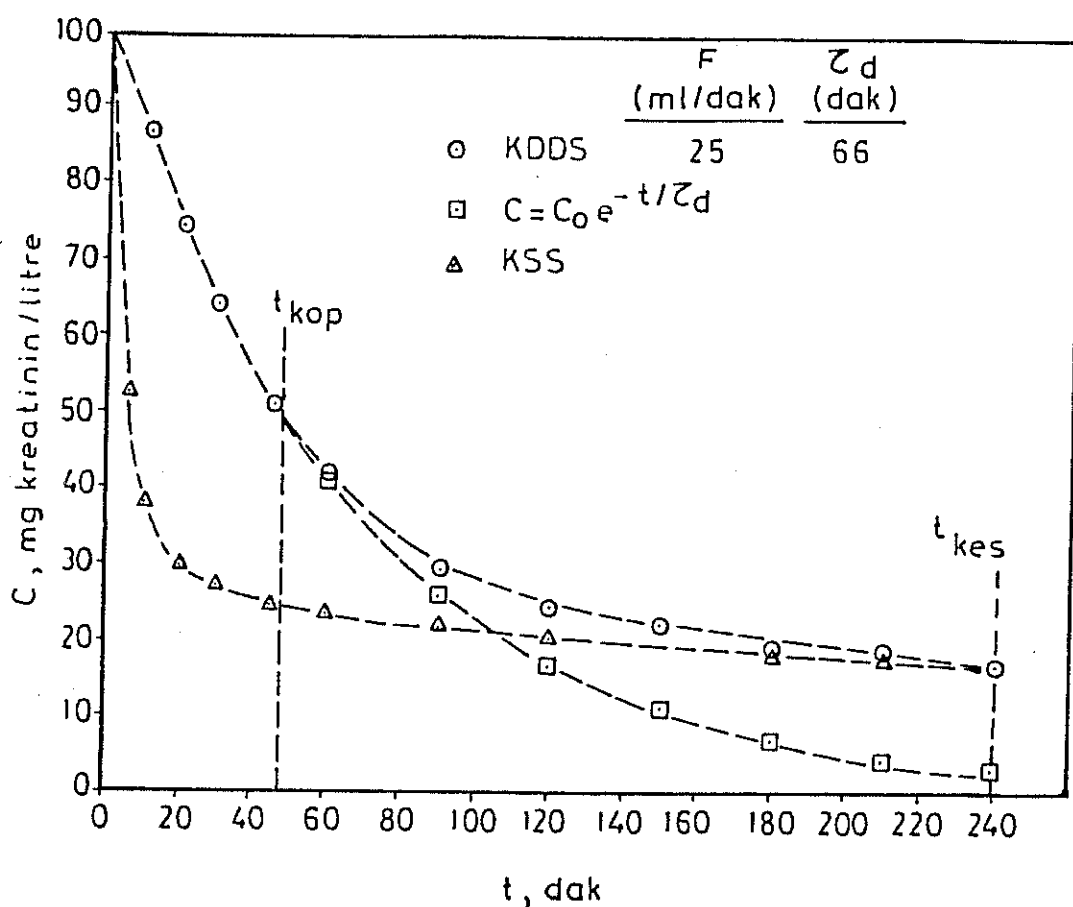
Şekil 4.42. Sulu Fazda, Kapalı Devrelî Dolaşımı Sistemde, Kütle Transfer Katsayılarının Bulunmasında Kullanılan Grafiksel Yöntem.

sırasıyla katı ve sıvı fazlara karşı gelen kütle transfer dirençleri (veya bunların tersi olan katsayılar) hesaplanır. Bu değerler ise yukarıda taktışıldığı gibi adsorpsiyon hızını kontrol eden basamakın tanımında kullanılır.

#### 4.4.1.c. KESİKLİ, KARIŞTIRMALI-KAPALI DEVRELİ DOLAŞIMLI SİSTEM İLİŞKİLERİ

Bu bölümde hemoperfüzyon kolonlarının olduğu kadar diğer adsorpsiyon sistemlerinin de tasarımında önemli bir aşama olan kesikli karıştırmalı sistem ile kapalı devreli dolaşımı sistem ilişkileri araştırılmıştır. Yapılan deneylerde % 0.4 selüloz nitrat kaplanmış aktif karbon kullanılmıştır. Sistemde ana depo çözelti hacmi 1650 ml, izleyici olan kreatinin başlangıç konsantrasyonu 100 mg/litre, kullanılan kolonun boyutları D=25 mm, L=50 mm'dir. Grafiklerde 6 ayrı çözelti hacimsel akış hızında (25, 50, 75, 125, 167, 226 ml/dak) elde edilen değerler kullanılmıştır.

Şekil 4.43-4.48'de zamana karşı kreatinin konsantrasyonunun değişimini veren eğriler yer almaktadır. Her şekilde karışıklığı önlemek üzere yalnız bir akış hızına ait eğri verilmiştir. Dikkat edileceği gibi her şekilde üç eğri bulunmaktadır. Bu eğrilerden birincisi belli bir çözelti hacimsel akış hızında yapılan kapalı devreli dolaşımı sisteme aittir. İkincisi, birim aktif karbon miktarı başına kullanılan çözelti hacmi ( $V_d/M$ ), kapalı devreli dolaşımı sistemdekine eşit tutularak yapılan kesikli karıştırmalı deneyden elde edilmiştir. Üçüncüsü aşağıdaki formülden teorik olarak hesaplanmış olup, kolon çıkışında sıvı fazdaki izleyici konsantrasyonu her zaman sıfır olacak şekilde bir temizleme yapıldığı durumu ifade eden eğridir. Akış limit eğrisi olarak adlandırılan bu eğri aşağıdaki formülle ifade edilir.



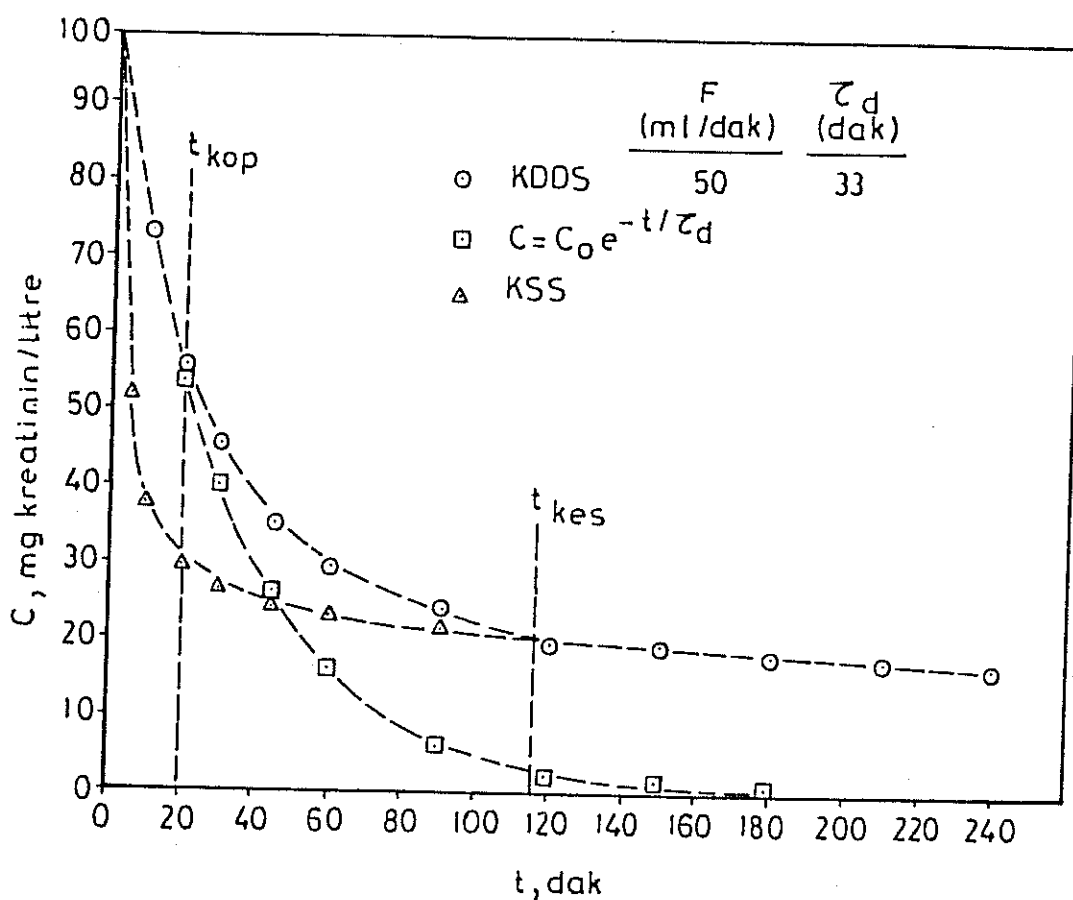
Şekil 4.43. Sulu Fazda, Kesikli Karıştırılmış Sistemlerde, Kreatinin Konsantrasyonunun ( $C$ ) Zaman ( $t$ ) ile Değişimi ve ( $t_{kes}$ ) ile ( $t_{kop}$ ) Zamanlarının Tayini, % 0.4 Selüloz Nitrat Kaplanmış Bac Mu®.

$$C = C_0 \exp(-t / \tau_d) \quad (4.1)$$

Burada

$C_0, C$ : Ana depoda sırasıyla başlangıçtaki ve herhangi bir andaki izleyici konsantrasyonu, (mg/litre).

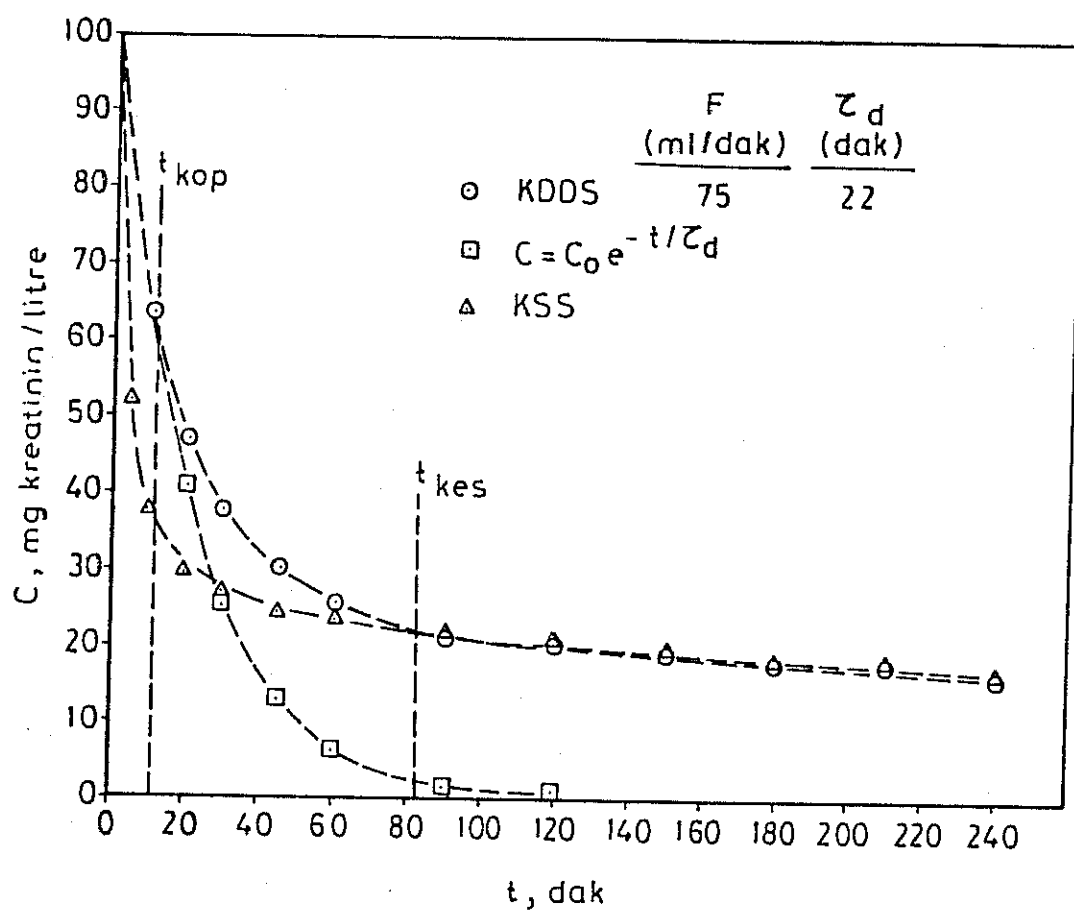
$\tau_d$ : Ana depoda alikonma süresi, (dak).



Şekil 4.44. Sülf Fazda, Kesikli Karıştırmalı Sistemlerde, Kreatinin Konsantrasyonunun ( $C$ ) Zaman ( $t$ ) ile Değişimi ve ( $t_{kes}$ ) ile ( $t_{kop}$ ) Zamanlarının Tayini, % 0.4 Selüloz Nitrat Kaplanmış Bac Mu®.

Bu grafiklerden faydalananarak her çözelti hacimsel akış hızı için kapalı devreli dolaşımlı sistem adsorpsiyon eğrilerinin kesikli karıştırmalı sistem adsorpsiyon eğrisini kesim zamanları ( $t_{kes}$ ) ve akış limit eğrisinden kopma zamanları ( $t_{kop}$ ) bulunmuş ve değerler Çizelge 4.10'da topluca sunulmuştur.

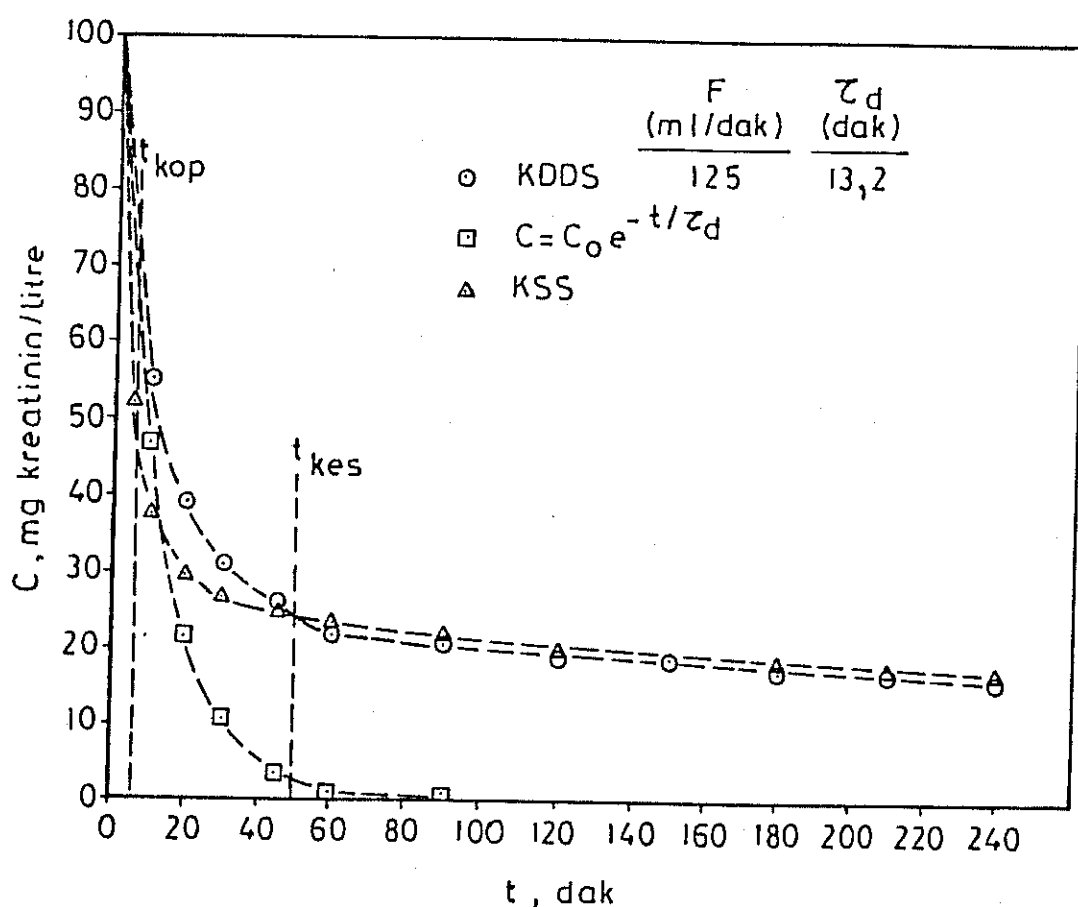
Şekil 4.43-4.48'de görüldüğü gibi çözelti hacimsel akış hızı  $F$  arttırıldıkça kapalı devreli dolaşımlı sistem ile kesikli karıştırmalı sistem eğrilerinin kesişmesine kadar geçen süre, ( $t_{kes}$ ) kısaltmaktadır. Bu beklenen bir sonuç olup,  $F$ 'nin



Şekil 4.45. Sulu Fazda, Kesikli Karıştırılmış Sistemlerde, Kreatinin Konsantrasyonunun ( $C$ ) Zaman ( $t$ ) ile Değişimi ve ( $t_{kes}$ ) ile ( $t_{kop}$ ) Zamanlarının Tayini, % 0.4 Selüloz Nitrat Kaplanmış Bac Mu®.

Cizelge 4.10. Çözelti Hacimsel Akış Hızının Kesişme ve Kopma Zamanlarına Etkisi.

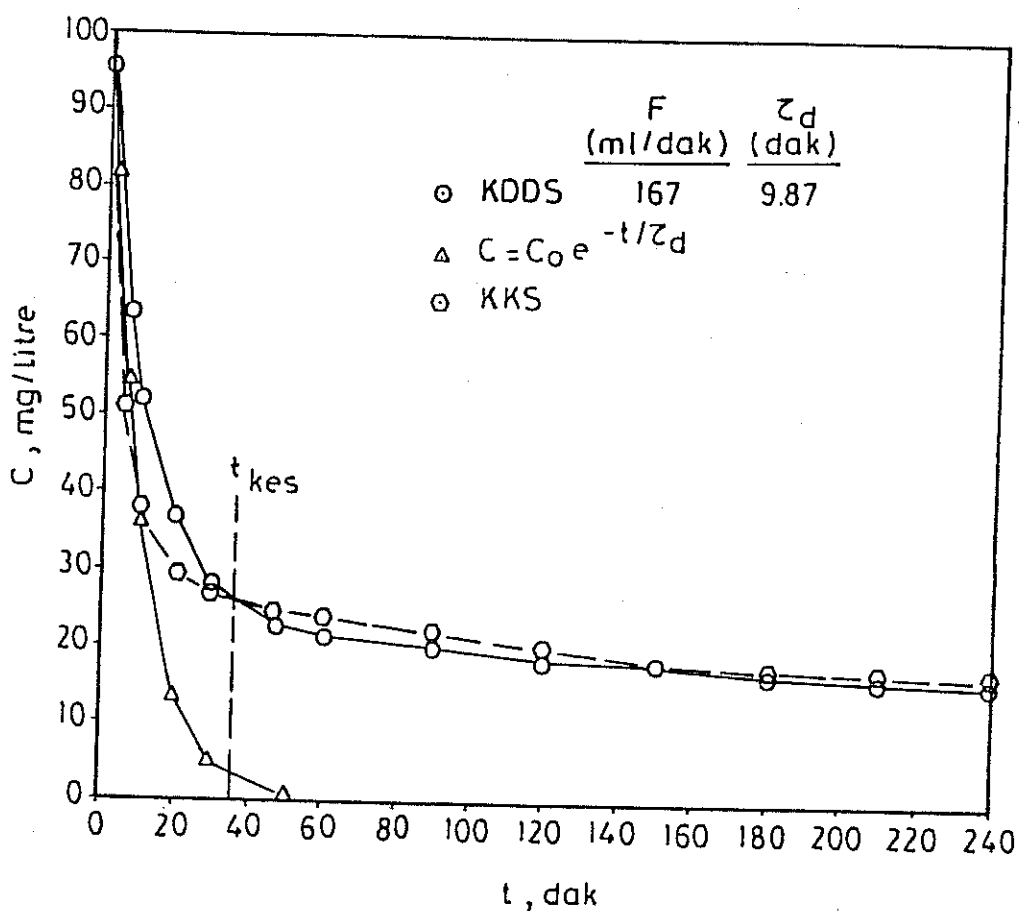
$F$ (ml/dak)	$U$ (cm/dak)	$t_{kes}$ (dak)	$t_{kop}$ (dak)	$\tau_d = V_d/F$ (dak)
25	5.1	240	48	66.0
50	10.2	115	19	33.0
75	15.3	82	12	22.0
125	25.5	49	6	13.2
167	34.1	35	-	9.9
226	46.1	30	-	7.3



Şekil 4.46. Sulu Fazda, Kesikli Karıştırmalı Sistemlerde, Kreatinin Konsantrasyonunun ( $C$ ) Zaman ( $t$ ) ile Değişimi ve ( $t_{kes}$ ) ile ( $t_{kop}$ ) Zamanlarının Tayini, % 0.4 Setüloz Nitrat Kaplanmış Bac Mu<sup>®</sup>.

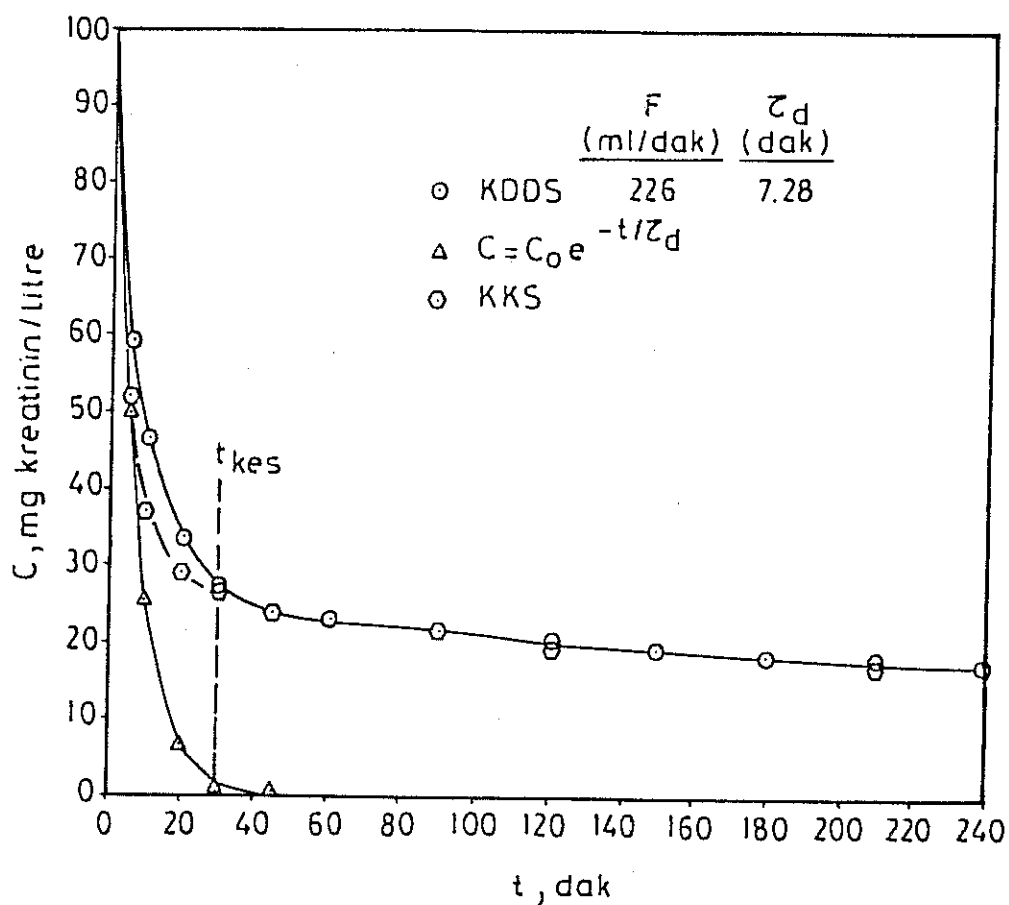
artarak ana depoda alikonma süresini ( $\tau_d$ ) küçültmesi sonucunda, iki sistem birbirine yaklaşmakta ve ideal bir durum olan  $\tau_d = 0$  durumunda da kapalı devreli dolaşım sistemi kesikli karıştırmalı sistem gibi davranmaktadır.

Şekil 4.49'da  $\tau_d$  değerleri  $t_{kes}$  değerlerine karşı her iki eksen logaritmik olacak şekilde grafiğe geçirilmiştir. Grafikteki doğrusal ilişki yardımıyla, kesikli karıştırmalı sistem ve kapalı devreli dolaşımlı sistem adsorpsiyon eğrilerinin kesişme zamanının, ( $t_{kes}$ ) veya kesişmenin istenilen zamanda gerçekleşmesi için gerekli ana depo alikonma süresi ve bu ana depo hacmi kullanılarak çözelti hacimsel akış hızının ( $F$ ) hesaplanması mümkündür.



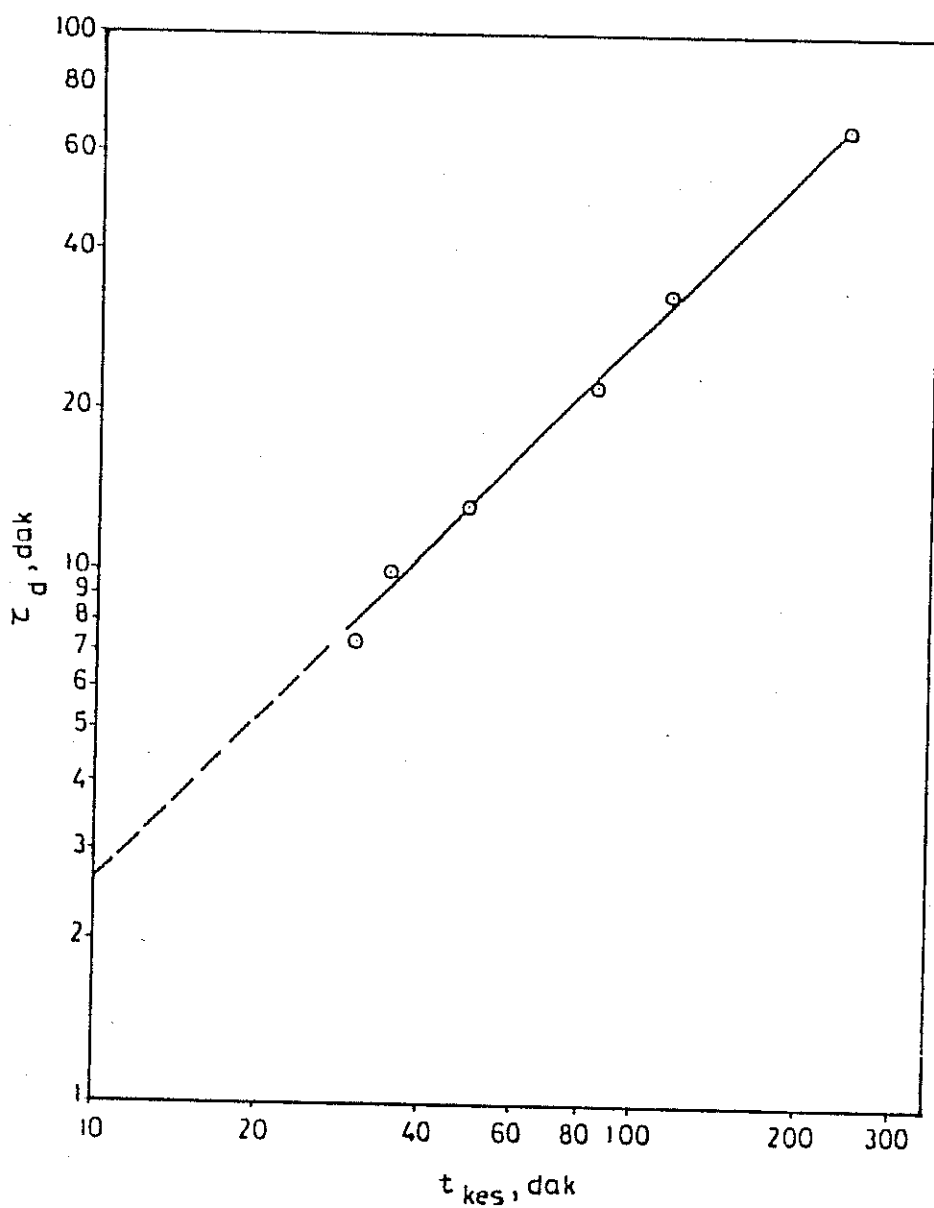
Şekil 4.47. Sulu Fazda, Kesikli Karıştırmalı Sistemlerde, Kreatinin Konsantrasyonunun ( $C$ ) Zaman ( $t$ ) ile Değişimi ve ( $t_{kes}$ ) ile ( $t_{kop}$ ) Zamanlarının Tayini, % 0.4 Selüloz Nitrat Kaplanmış Bac Mu®.

Hacimsel akış hızının deney süresince değiştirilmesinin etkisini görebilmek amacıyla, ortalama çözelti hacimsel akış hızı ( $F$ ) 33 ml/dakika olan ancak ilk 5 dakikada 216, ikinci 5 dakikada 107, daha sonra 10 dakika 40 ve nihayet 220 dakika süreyle 27 ml/dak çözelti hacimsel akış hızlarında çalışılarak elde edilen özel bir deneye ait kapalı devreli dolaşımlı sistem adsorpsiyon eğrisi Şekil 4.50'de sunulmuştur. Şekilde ayrıca birim aktif karbon miktarı başına kullanılan çözelti miktarı eşit olan (144 ml/gram A.K.) bir kesikli karıştırmalı sistem bir de kapalı devreli dolaşımlı sistem ( $F=33$  ml/dakika) adsorpsiyon

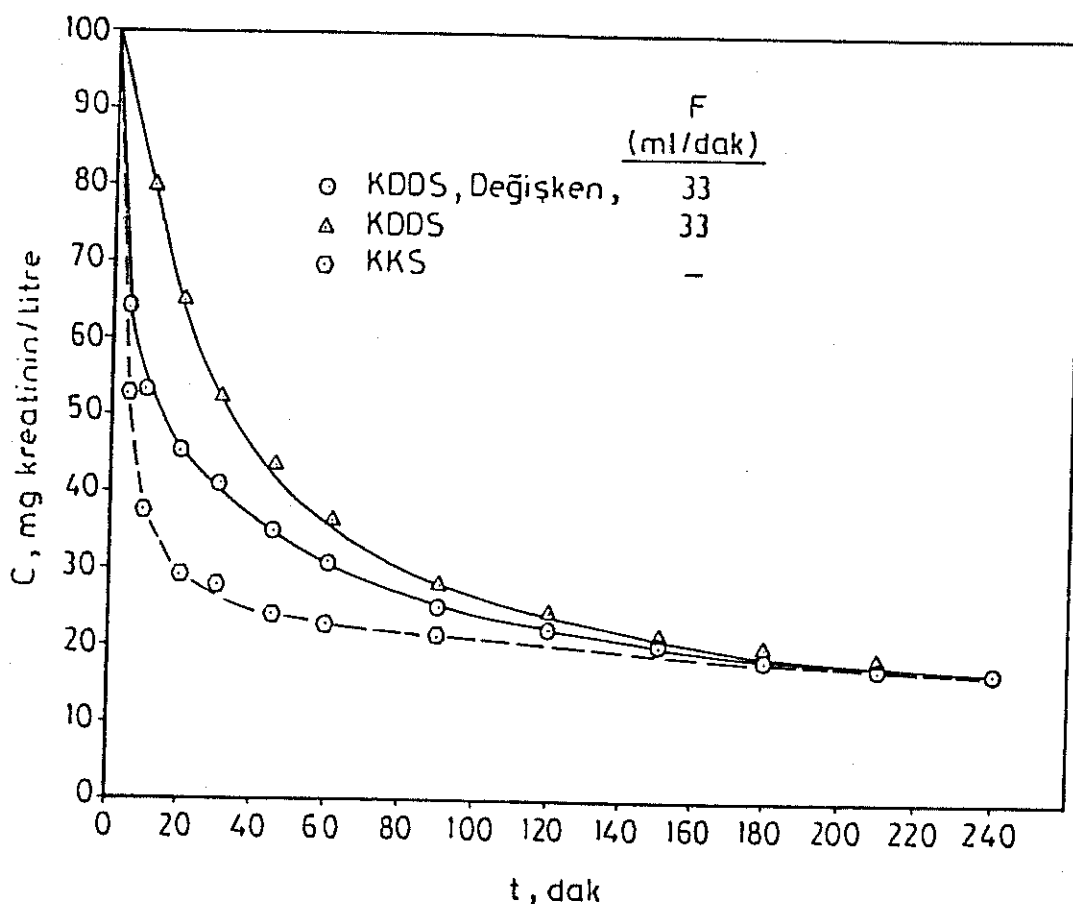


Şekil 4.48. Sulu Fazda, Kesikli Karıştırmalı Sistemlerde, Kreatinin Konsantrasyonunun ( $C$ ) Zaman ( $t$ ) ile Değişimi ve ( $t_{kes}$ ) ile ( $t_{kop}$ ) Zamanlarının Tayini, % 0.4 Selüloz Nitrat Kaplanmış Bac Mu®.

eğrisi yer almaktadır. Burada da kapalı devreli dolaşımlı sistem ile kesikli karıştırmalı sistem adsorpsiyon eğrilerinin kesimme zamanı ( $t_{kes}$ ). Şekil 4.49'dan hesaplanan 180 dakikalık değer ile uyum göstermektedir. Bu da, Şekil 4.49'un genel bir grafik olduğunu ve burada verilen benzer çok özel durumlarda da geçerli olabileceğini gösteren önemli bir bulgudur. Bu deneyin başka bir önemli bulgusu da, başlangıçta toksik madde konsantrasyonunun çözelti hacimsel akış hızının 33 ml/dak olduğu durumdan çok daha hızla aşağılara düşmesidir. Bundan önceki bölümlerde de gösterildiği gibi adsorpsiyon deneylerinin başında kolona giren kreatinin çok büyük bir kısmı

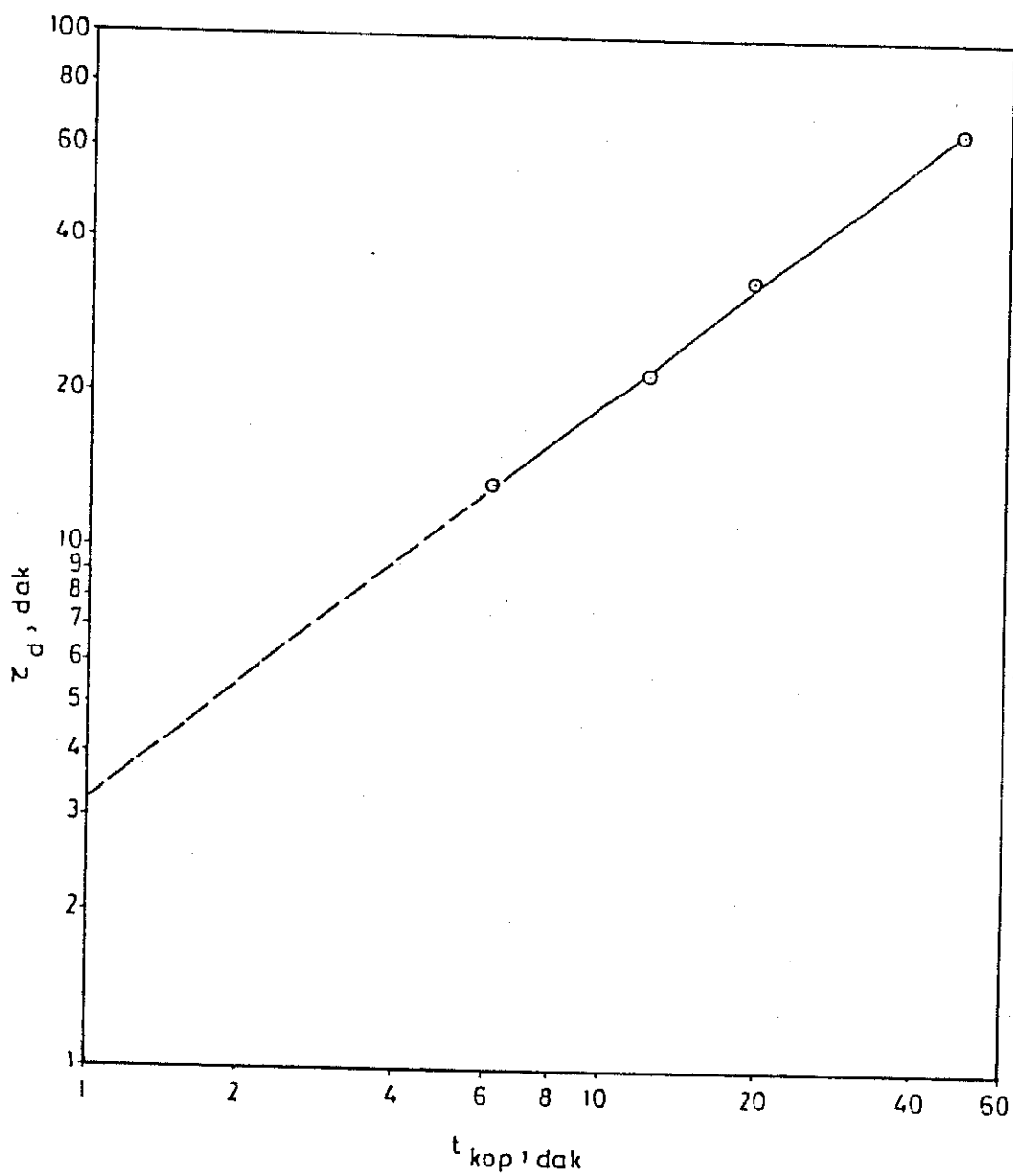


Şekil 4.49. Sulu Fazda, Ana Depoda Çözelti Alıkonma Süresinin ( $t_d$ ) , Kesikli Karıştırmalı - Kapalı Devreli Dolaşımı Sistem Adsorpsiyon Eğrilerinin Kesişme Zamanı ( $t_{kes}$ ) ile Değişimi % 0.4 Selüloz Nitrat Kaplanmış Bac Mu<sup>®</sup>.



Şekil 4.50. Suju Fazda, Kapalı Devreli Dolaşımı Sistemde, Kreatinin Konsantrasyonunun (C) Zaman (t) Değişimine, Çözelti Hacimsel Akış Hızının Etkisi, % 0.4 Setüloz Nitrat Kaplanmış Bac Mu®.

aktif karbon tarafından adsorplanmaktadır. Ancak ilk adsorplanan kreatinin ile birlikte çözelti-katı arasındaki kreatinin konsantrasyon farkı, dolayısıyla birim zaman da adsorplanan kreatini miktarı azalmaya başladığı not edilmelidir. Bu durum göz önüne alındığında, kolona, kesikli karıştırmalı sistem adsorpsiyon eğrisindeki adsorpsiyon hızıyla eşdeğer miktarda kreatinin beslenmesinin maksimum performansı sağlayacağı ortadadır. Deney başlangıcında, bu performans yüksek çözelti hacimsel akış hızlarına çıkışarak karşılanabilirken, zaman ilerledikçe aynı sistemin performansına çok daha düşük hacimsel akış hızlarında ulaşılabilceği söylenebilir.

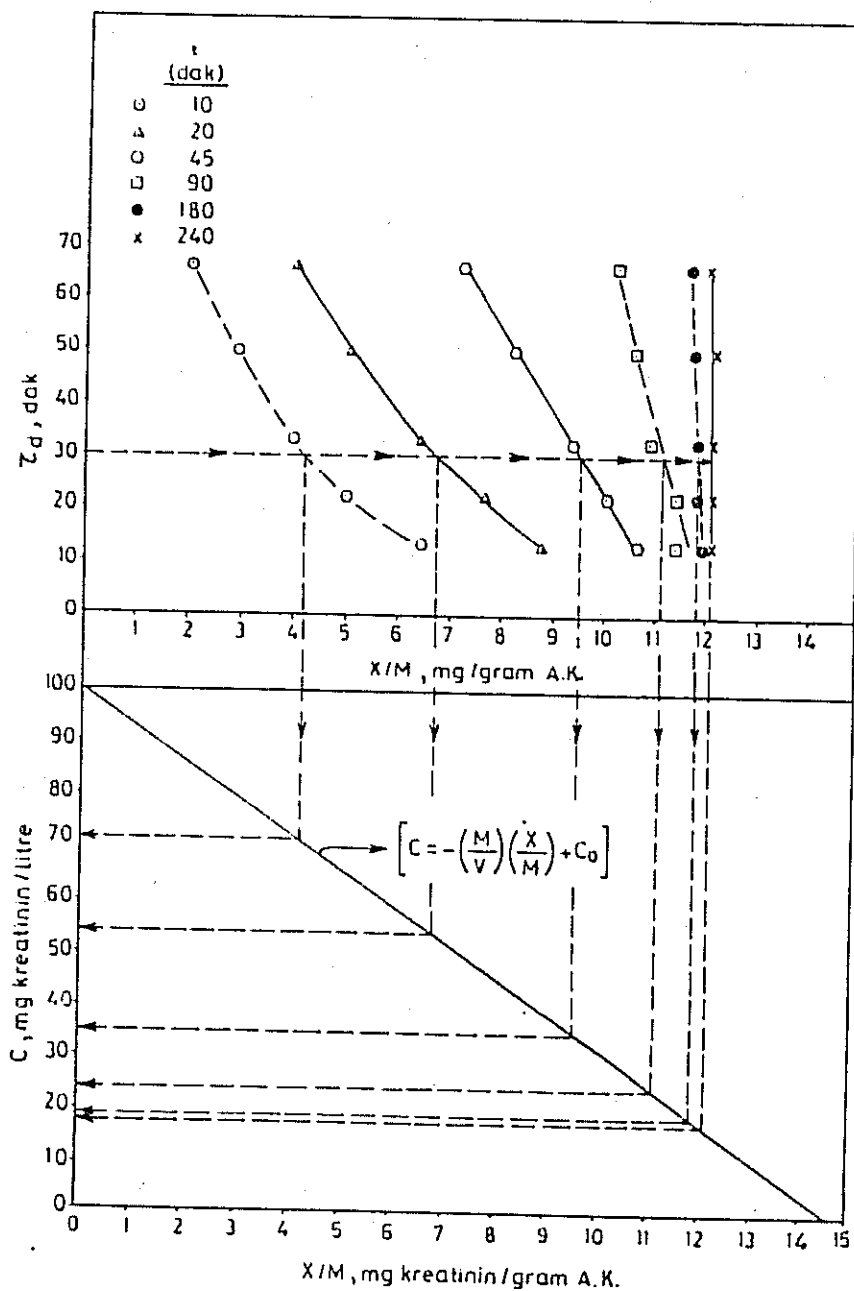


Şekil 4.51. Sulu Fazda, Ana Depoda çözelti Atıkonma Süresinin ( $t_d$ ), Akış Limit ve Kapalı Devreli Dolaşımlı Sistem Adsorpsiyon Eğrilerinin Kopma Zamanı ( $t_{kop}$ ) ile Değişimi, % 0.4 Setüloz Nitrat Kaplanmış Bac Mu<sup>®</sup>.

Sekil 4.43-4.48'de verilen akış limit egrileri ile deneysel adsorpsiyon egrileri arasındaki ilişki Sekil 4.51'de verilmiştir. Burada kapalı devreli dolaşımlı sistem adsorpsiyon egrisinin, akış limit egrisinden ayrıldığı kopma zamanı  $t_{kop}$ 'a karşı  $t_d$  değerleri, her iki eksen logaritmik olacak şekilde grafike geçirilmiştir. Dikkat edileceği gibi logaritmik skalada ilişki doğrusaldır. Bu doğrusal ilişki yardımı ile herhangi bir  $t_d$  değerine karşı gelen  $t_{kop}$  zamanını bulmak mümkündür. Ayrıca, kapalı devreli dolaşımlı sistem adsorpsiyon egrisi  $t_{kop}$  anına kadar akış limit egrisi ile çakışık olduğundan, söz konusu ana kadar şekli de belliidir. Herideki bölgelerde açıklanacağı gibi,  $t_{kes}$  gibi,  $t_{kop}$  değerlerini veren bu grafikler, bilinmeyen adsorpsiyon egrilerinin oluşturulmasında kullanılacaktır.

Sekil 4.43-4.48'de ham olarak verilen kapalı devreli dolaşım sistem adsorpsiyon egrilerinin değerlendirilmesi sonucunda Sekil 4.52 ve 4.53'deki grafikler elde edilmiştir. Sekil 4.52'de, kapalı devreli dolaşım sisteminde birim aktif karbon miktarı başına adsorplanan kreatinin miktarına karşı,  $(X/M)$ ,  $t_d$  değerleri grafike geçirilmiştir ve her eğri ayrı bir ( $t$ ) zamanına aittir.

Sekil 4.53'de verilen grafikte ise çözelti kreatinin konsantrasyonuna karşı,  $(C)$ ,  $X/M$  değerleri grafike alınmıştır. Görüldüğü gibi ilişki doğrusaldır ve denklemi sekil üzerinde yer almıştır. Doğrunun eğimi,  $(-M/V_d)$ 'ye eşit olup değeri  $(-1.0/0.144)$ 'dır. Bu iki grafigin beraber kullanılması ile diğer  $t_d$  değerleri içinde deney yapmadan adsorpsiyon egrilerinin oluşturulması mümkündür. Bunun için önce yapılan akış hızında  $t_d$  hesaplanır. Bu değer Sekil 4.52'de işaretlenip absise paralel çizilir. Bu doğrunun zaman egrilerini kestiği noktalardan absise dik indirilir. Okunan  $X/M$  değerlerine karşı gelen konsantrasyon değerleri Sekil 4.53'den bulunur ve bu değerler zamana karşı grafike geçirilerek adsorpsiyon egrileri elde edilir.



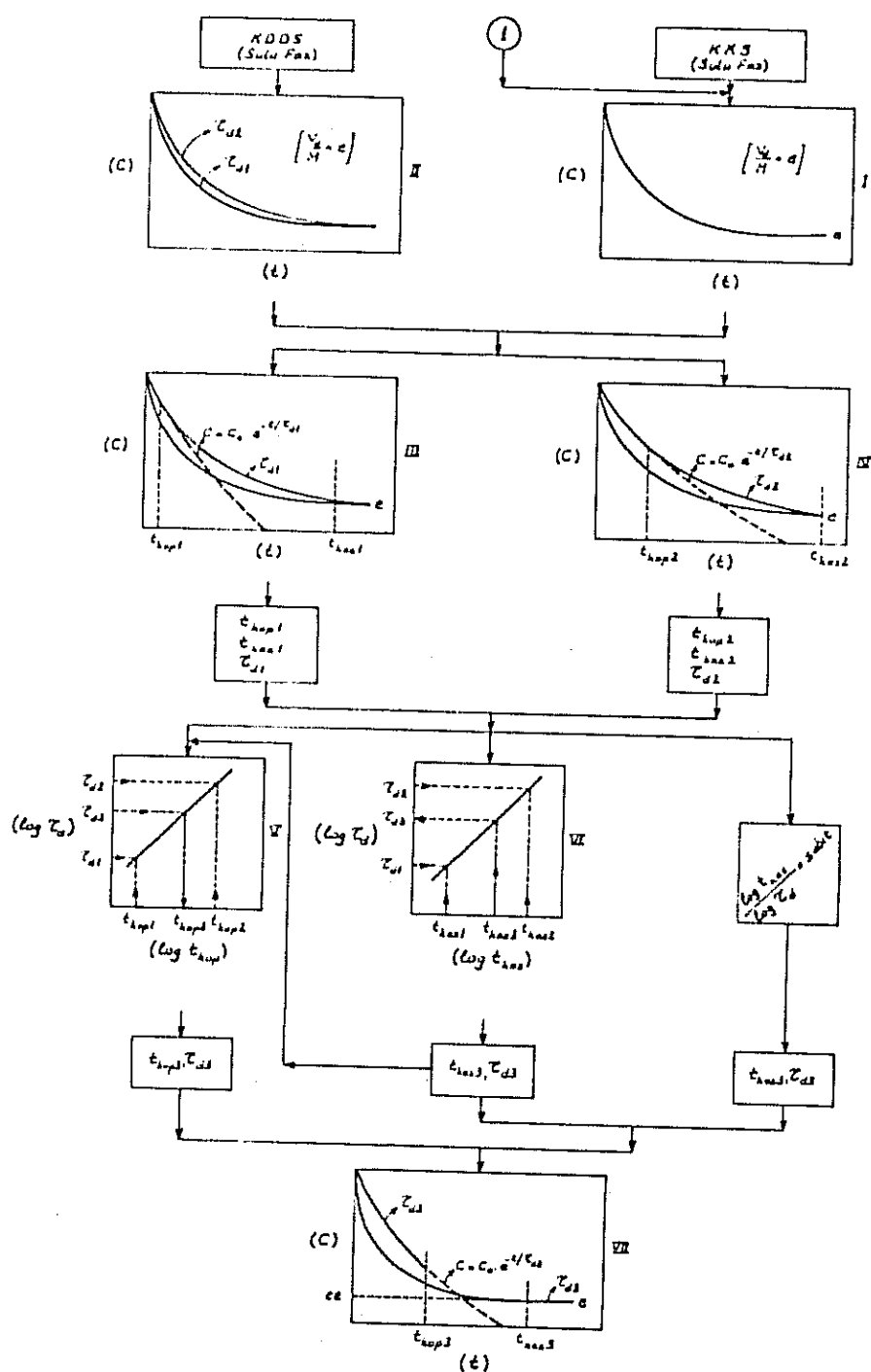
**Şekil 4.52.** Sulu Fazda, Kapalı Devreli Dofaşılı Sistemlerde, Ana Depoda Çözelti Alıkonma Süresinin ( $T_d$ ) Birim Aktif Karbon Miktarı Başına Adsorplanan Kreatinin Miktarıyla ( $X/M$ ) Değişimine, Zamanın Etkisi, % 0.4 Selüloz Nitrat Kaplanmış Bac Mu®.

**Şekil 4.53.** Adsorpsiyon Sistemlerinde Konsantrasyonun ( $C$ ) Birim Aktif Karbon Miktarı Başına Adsorplanan Kreatinin Miktarıyla ( $X/M$ ) Değişimi.

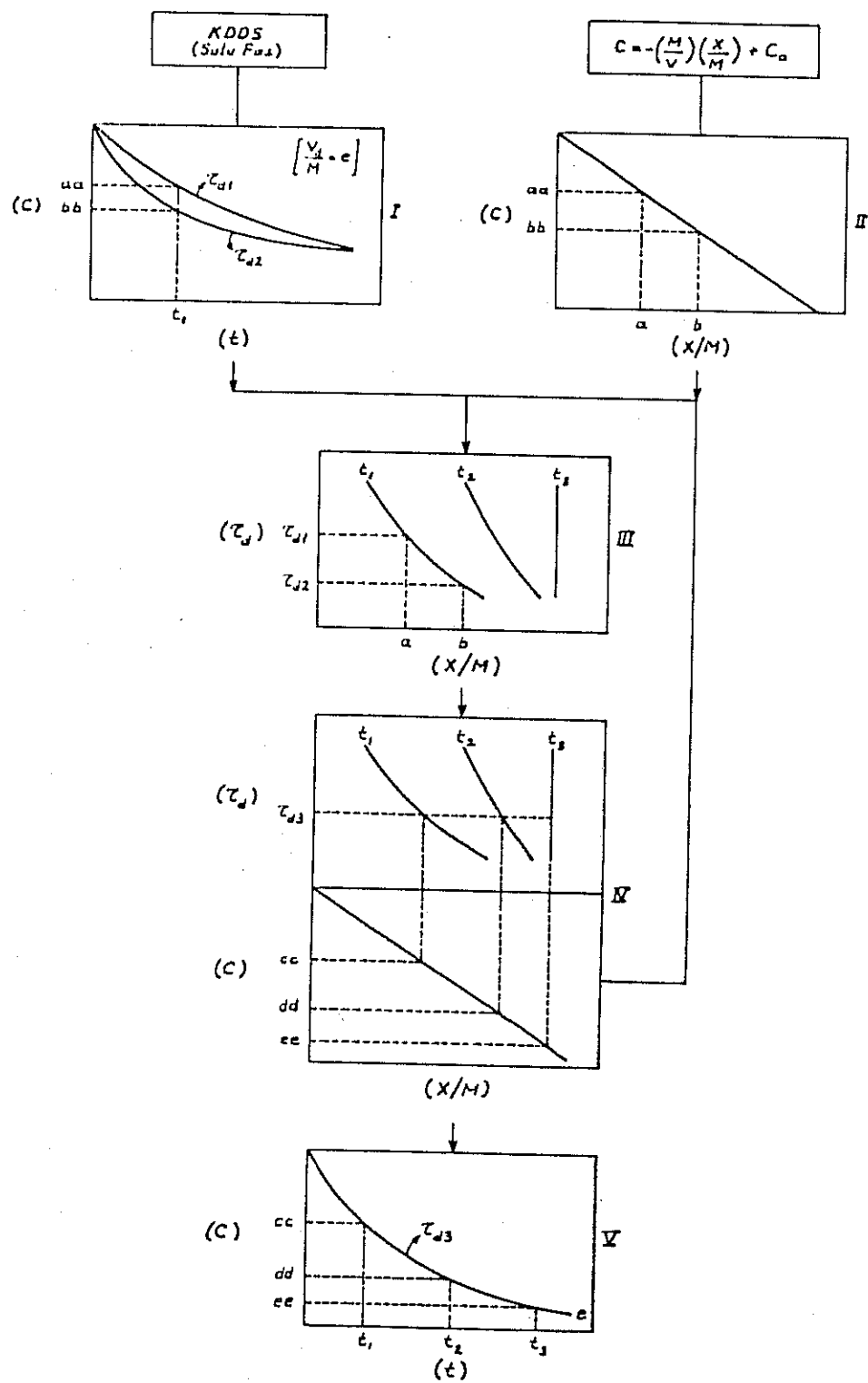
### Ara Sonuç

Kesikli karıştırmalı ve kapalı devreli dolaşımı sistemler arasındaki ilişki kolon ve sistem tasarımının önemli basamaklarından birisidir. Bu ilişki Şekil 4.54'de grafiksel olarak özetlendiği gibi bilinen değerlerden çıkararak yeni bir kapalı devreli dolaşımı sistem adsorpsiyon eğrisinin oluşturulmasında şöyle kullanılabilir. Önce birim aktif karbon başına kullanılan çözelti miktarı bilinen bir kesikli karıştırmalı sisteme ait adsorpsiyon eğrisi çizilir, (Grafik I). Aynı  $V_d/M$  değerine sahip iki farklı akış hızında dolayısıyla iki farklı alikonma süresinde ( $t_{d1}$  ve  $t_{d2}$ ) kapalı devreli dolaşımı sistemde adsorpsiyon izotermi deneyel olarak bulunur, (Grafik II). Bu iki grafik daha önce anlatıldığı gibi değerlendirilerek  $t_{kes}$  ve  $t_{kop}$  değerlerinin bulunduğu III ve IV nolu grafikler çizilir. Bu grafiklerden okunan değerlerden V ve VI nolu grafiklerde görülen  $t_{kop}$  ve  $t_{kes}$ 'in logaritmalarına karşı  $\log t_d$  ilişkileri elde edilir. Dikkat edileceği gibi bu ilişkiler doğrusaldır (eğimleri sabittir). Bu doğrular kullanılarak, herhangi bir  $t_{d3}$  değerine sahip kapalı devreli dolaşımı sistem adsorpsiyon eğrisinin başlangıçtan kopma anına kadar ( $t_{kop3}$ ) ve kesme anından ( $t_{kes3}$ ) deneyin bitişine kadar olan bölgeleri elde edilir. Ancak arada kalan zaman diliminde adsorpsiyon eğrisinin davranışını tespit etmek bu yöntemle mümkün değildir. Bu boşluğun bir eğri cetveli interpolasyonla tamamlanması mümkünür, ancak, böyle bir çözüm çok sağlıklı değildir.

$t_{kop}$  ile  $t_{kes}$  arasındaki zaman diliminde adsorpsiyon eğrisinin şeklinin saptanması amacıyla tarafımızdan yeni bir yöntem önerilmiştir. Şekil 4.55'de grafiksel olarak özetlenmeye çalışılan bu yöntemde, önceki yöntemlerde kullanılan zamana karşı iki farklı ana depoda alikonma sürelerine ait adsorpsiyon izotermi (Grafik I) ve yukarıda Şekil 4.53'de verilen grafik



Şekil 4.54. Kesikli Karıştırma-Kapalı Devrell Sistem İlişkileri ve Yeni Bir Adsorpsiyon Eğrisinin Oluşturulması İçin Kullanılan Grafiksel Yöntem.



**Şekil 4.55.** Kapalı Devreli Dolaşımı Sistemlerde Yeni Bir Adsorpsiyon Eğrisinin Oluşturulması İçin Kullanılan Grafiksel Yöntem.

(Grafik II), çıkış noktalarıdır. I ve II nolu grafiklerden daha önce tartışıldığı gibi III ve IV nolu grafikler hazırlanır. X/M değerlerine karşı  $t_d$  ve C değerlerinin değişimini gösteren bu grafikler kullanılarak, grafikler üzerindeki oklarla yönlendirilerek gösterilmeye çalışıldığı gibi, yeni kapalı devreli dolaşımlı sisteme ait adsorpsiyon izotermleri elde edilir. Dikkat edileceği gibi  $t_{kop}$  ve  $t_{kes}$  zamanları arasındaki boşluğu dolduran bir yöntemdir. Ancak III nolu grafikte (ve Şekil 4.52'de) görüldüğü gibi,  $t_d$  ile X/M arasındaki ilişki doğrusal olmadığı için, iki  $t_d$  değerinde yapılacak hesaplama, yeni adsorpsiyon izoteminin oluşturulmasında yeterli hassasiyette sonuç vermez. Bu nedenle, çözelti hacimsel akış hızı değiştirilerek, (veya  $t_d$  değiştirilerek), deney sayısının arttırılması gereklidir.

#### **4.4.1.d. KOLON BOYUT BÜYÜTME ÇALIŞMALARI**

Çalışmanın bu bölümünde yukarıda elde edilen veriler kullanılarak kolon boyut büyütmesi yapılmıştır. Boyut büyütme aşağıda verildiği gibi iki basamakta gerçekleştirılmıştır. Birinci basamakta intravasküler, ikinci basamakta ekstraselüler sıvı hacimleri göz önüne alınmıştır. Ayrıca birinci boyut büyütmeden sonra yapılan adsorpsiyon deneylerinde boy/çap oranının kolon performansına etkisi de araştırılmıştır.

##### **Birinci Boyut Büyütme Basamağı**

Bunun için 5 litrelilik intravasküler sıvı hacminin kreatininden temizlenmesi esas alınmıştır. Bu hacime eşdeğer hacimde sulu kreatinin çözeltisi hazırlanmış ve kreatinin konsantrasyonunun 120 dakikada 100 mg/l'ten 20 mg/l'ye

düşürülebilmesi için gerekli kolon boyutları ve sistem parametreleri araştırılmıştır.

Boyutu büyütülen kolonun çapı 25 mm, boyu 50 mm, ana depoda çözelti hacmi  $V_d = 1650 \text{ ml}$ , adsorpsiyon kolonundan sıvı faz hacimsel akış hızı  $F = 75 \text{ ml/dak}$  ve birim aktif karbon miktarı başına kullanılan çözelti hacmi  $V_d/M = 144 \text{ ml/g}$  aktif karbondur. Boyut büyütmede aşağıdaki işlemler yapılarak 5000 ml çözelti hacminin yukarıdaki kolonda ve koşullarda ulaşılan adsorplanma hızıyla temizlenmesi için gerekli kolon boyutları hesaplanmıştır. Burada "1" alt indisi ilk durumu "2" alt indisi ise boyut büyütmeden sonraki durumu ifade etmektedir.

- Sıvı Faz Hacimsel Akış Hızının Hesabı

İlk durumda ana depoda alikonma süresi ( $\tau_{d1}$ ):

$$\tau_{d1} = V_{d1} / F_1 = 1650 / 75 = 22 \text{ dakika}$$

İkinci durumda ana depoda alikonma süresi ( $\tau_{d2}$ ):

$$\tau_{d2} = \tau_{d1}$$

$$\tau_{d2} = V_{d2} / F_2$$

$$V_{d2} = 5000 \text{ ml} \text{ olduğu için}$$

İkinci durumda sıvı faz hacimsel akış hızı

$$F_2 = 227 \text{ ml / dak}$$

- Kolon Çap Hesabı

İlk durumda sıvı faz çizgisel akış hızı

$$U_1 = F_1 / S_1 = 75 / 4.91 = 15 \text{ cm/dak}$$

$U_1 = U_2$  varsayılarak,

İkinci durumda sıvı faz çizgisel akış hızı

$$U_2 = F_2 / S_2$$

$F_2 = 227 \text{ ml/dak}$  olduğu için

İkinci durumda kolon kesit alanı

$$S_2 = 15 \text{ cm}^2$$

İkinci durumda kolon çapı

$$D_2 = 4.4 \text{ cm}$$

- Aktif Karbon Miktar Hesabı

İlk durumda birim aktif karbon miktarı başına kullanılan çözelti miktarı

$$V_{d1} / M_1 = 1650 / 115 = 14.4 \text{ ml/gram aktif karbon}$$

$$V_{d1} / M_1 = V_{d2} / M_2 \text{ varsayılarak}$$

$$V_{d2} = 5000 \text{ ml olduğu için}$$

İkinci durumda kullanılacak olan aktif karbon miktarı

$$M_2 = 35 \text{ gram}$$

- Kolon Boyu Hesabı

$\rho_{\text{dolgu}}$  birim kolon hacmindeki ( $V_{\text{kolon}}$ ) dolgu miktarını gösteriyorsa

$$(\rho_{\text{dolgu}})_1 = M_1 / (V_{\text{kolon}})_1 = M_2 / (V_{\text{kolon}})_2$$

$$(\rho_{\text{dolgu}})_1 = (\rho_{\text{dolgu}})_2 \text{ olduğu için}$$

$$(\rho_{\text{dolgu}})_2 = M_1 / (V_{\text{kolon}})_1 = 0.466 \text{ gram/cm}^3$$

$$M_2 / (V_{\text{kolon}})_2 = 0.466$$

İkinci durumdaki kolon hacmi

$$(V_{kolon})_2 = 35 / 0.466 = S_2 L_2$$

İkinci durumdaki kolon boyu

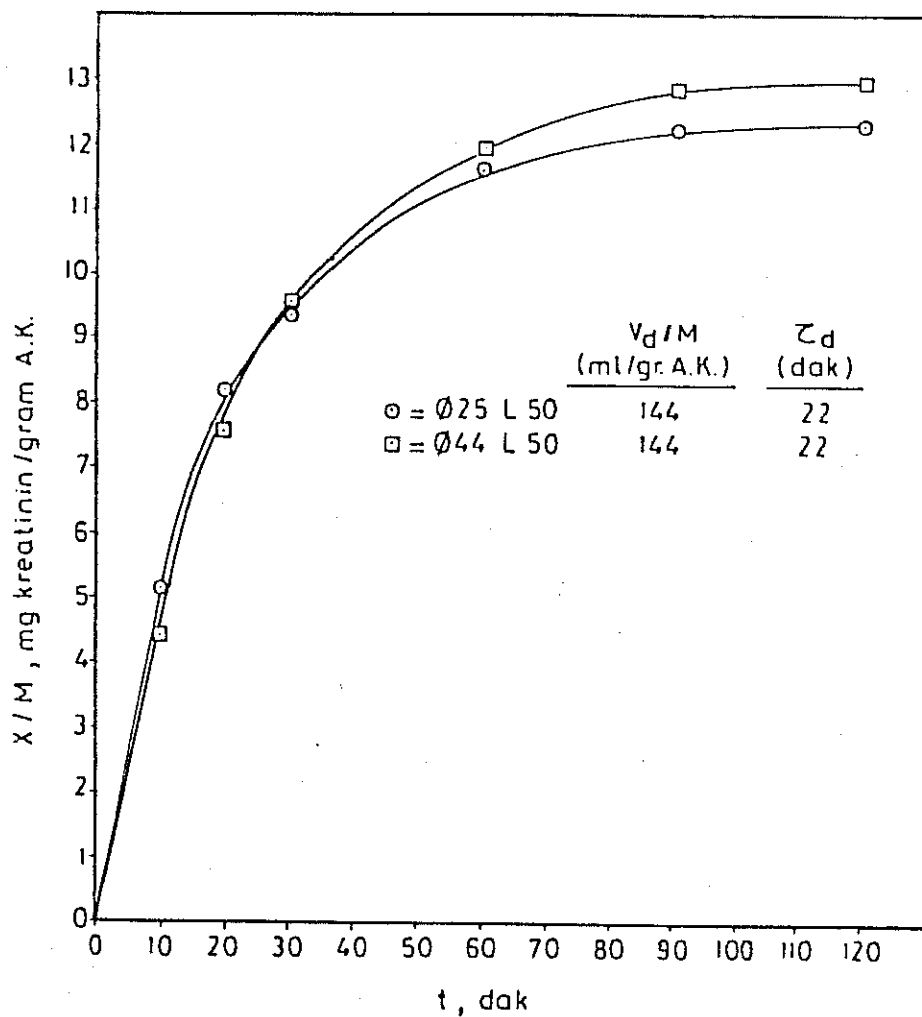
$$L_2 = 5 \text{ cm}$$

Yukarıda verilen yaklaşımalarla hesaplanan yeni kolon boyutları ve sistem parametreleri önceki dönemde kullanılan değerlerle birlikte topluca Çizelge 4.11'da sunulmuştur.

Yapılan yaklaşımın doğruluğunu kanıtlanması için boy büyütme ile elde edilen kolon imal edilmiş ve yukarıda hesaplanan yeni koşullarda adsorpsiyon deneyleri gerçekleştirilmiştir. Küçük ve büyük boyutlu sistemlerde elde edilen adsorpsiyon bulgularının karşılaştırılması için birim aktif karbon miktarı başına adsorplanan kreatinin miktarları ( $X/M$ ) Sekil 4.56 ve 4.57 zamana karşı grafiğe geçirilmiştir. Ayrıca bu eğrilerin değerlendirilmesi ile 120. dakikada ulaşılan birim aktif karbon miktarı başına adsorpllanmış kreatinin miktarı ( $X/M$ )<sub>120</sub> değerleri Çizelge 4.11'de gösterilmiştir. Dikkat edileceği gibi bu eğrilerin ve değerlerin birbirine çok yakın olması boyut büyütme ve buna bağlı olarak yeni sistem parametre hesabının doğru yapıldığını kanıtlamaktadır.

Büyüttümüş kolonda adsorpsiyon deneyleri : Boy büyütme ile ilgili bu gruptaki çalışmanın ikinci bölümünde 35 gram karbon içeren değişik boy/çap oranına sahip kolonlarda, kreatinin, vitamin B-2 ve vitamin B-12 adsorpsiyonu incelenerek, kolon boy/çap oranının adsorpsiyon hızına etkisi araştırılmıştır.

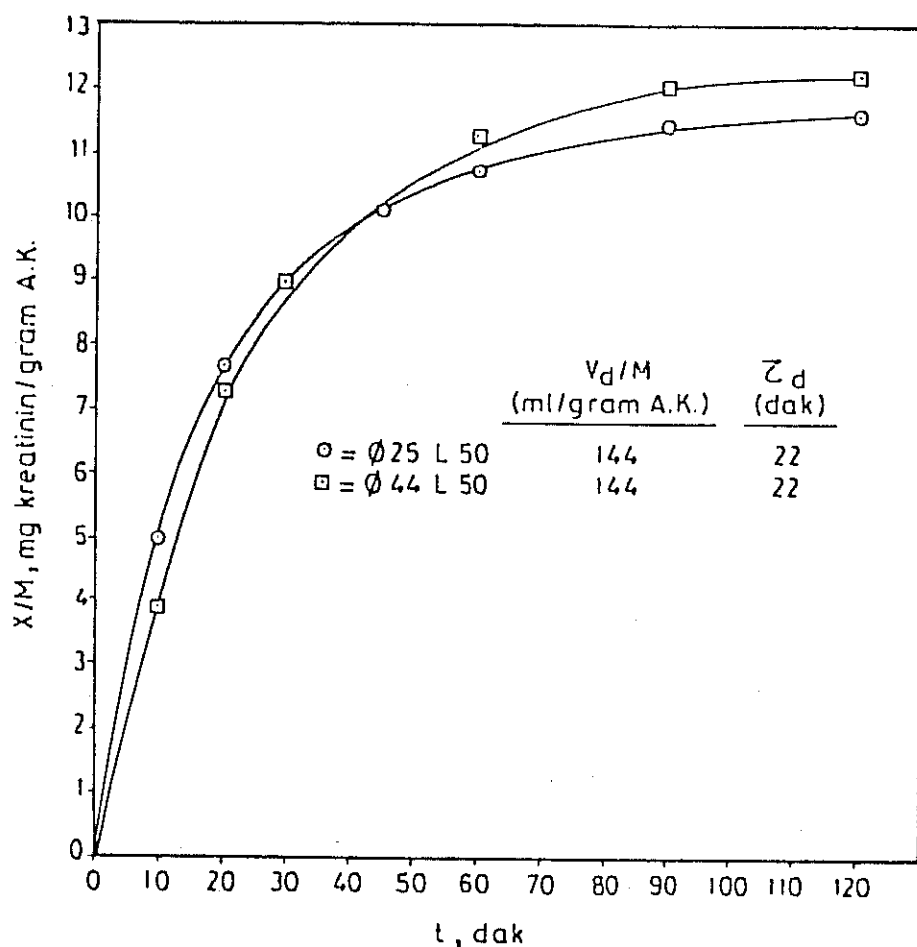
Deneylerde bu üç izleyicinin başlangıç konsantrasyonları sırasıyla 100, 20, 20 mg/lt olarak alınmıştır. Ayrıca kaplamadan adsorpsiyona etkisini göstermek için deneylerde kaplanmamış ve % 0.4 selüloz nitrat kaplı Bac Mu® karbonları kullanılmıştır. Bu çalışmalara ait diğer deney koşulları Çizelge 4.12'de topluca sunulmuştur.



Şekil 4.56. Birinci Kolon Boyut Büyütme Basamağında Ulaşılan Kolonda Birim Aktif Karbon Miktarı Başına Adsorbsiyon Kreatinin Miktarının ( $X/M$ ) Zamanla ( $t$ ) Değişimini, Mini Kolonla Karşılaştırılması, Kaplanmamış Bac Mu®.

Çizelge 4.11. Birinci Kolon Boyutma Büyütme Basamağında Kullanılan ve Ulaşılan Kolon ve Sistem Parametreleri.

D (cm)	L (cm)	M (g)	U (cm/dk)	V <sub>d</sub> (ml)	τ <sub>d</sub> (dk)	τ <sub>kolon</sub> (dk)	V <sub>d</sub> /M (ml/g)	F (ml/dk)	(X/M) <sub>120</sub> % 0 % 0.4
2.5	5	11.5	15	1650	22	0.32	144	75	12.5 11.5
4.4	5	35.0	15	5000	22	0.32	144	227	13.0 12.0



Şekil 4.57. Birinci Kolon Boyut Büyütme Basamağında Ulaşılan Kolonda Birim Aktif Karbon Miktarı Başına Adsorplanan Kreatinin Miktarının ( $X/M$ ) Zamanla ( $t$ ) Değişimini, Mini Kolona Karşılaştırılmış, % 0.4 Selüloz Nitrat Kaplanmış Bac Mu®.

Çizelge 4.12. Büyütülmüş Kolonda Adsorpsiyon Deneyleri İçin Kullanılan Sistemler.

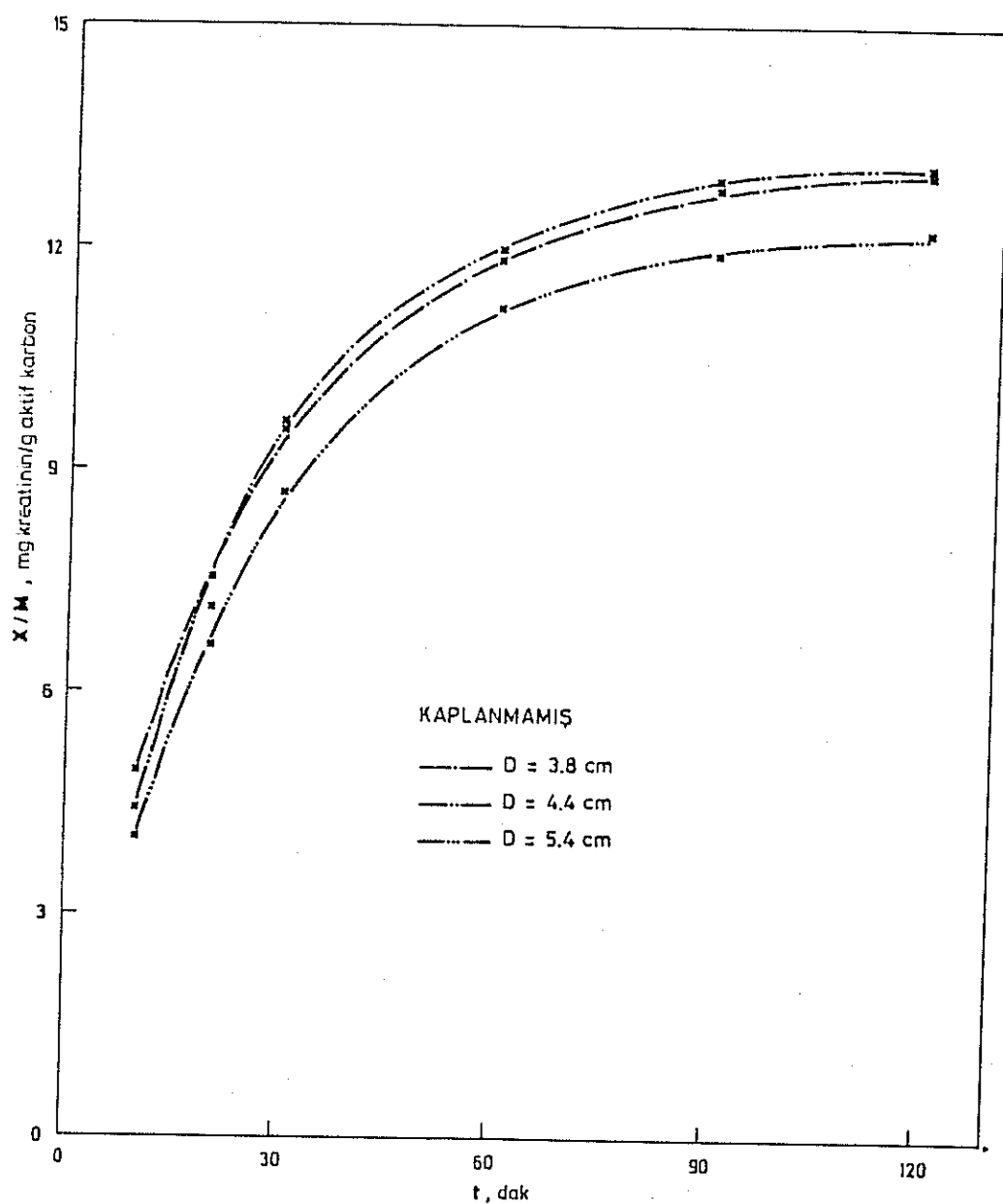
D (cm)	L (cm)	M (g)	U (cm/dk)	$V_d$ (ml)	$\tau_d$ (dk)	$\tau_{kolon}$ (dk)	$V_d/M$ (ml/g)	F (ml/dk)
3.8	6.9	35	20	5000	22	0.32	144	227
4.4	5.0	35	15	5000	22	0.32	144	227
5.4	3.4	35	10	5000	22	0.32	144	227

Bu grupta yapılan deney sonuçları Şekil 4.58'de görülmektedir. Şekil 4.58-4.63' de aktif karbon adsorpsiyon kapasite ve hızına kolon çapının (dolayısıyla boy/çap oranının) etkisi görülmektedir. Kolon çapının artmasıyla çizgisel hızın düşeceği not edilmelidir. Burada kolon çapı arttırılarak çizgisel hız düşürüldüğünde, yüksek molekül ağırlıklı izleyici adsorpsiyon kapasitesi ve hızında az da olsa azalma gözlenmiştir. Ancak kayının önemli boyutlarda olmadığı şekillerden açıkça görülmektedir. Hemoperfüzyonun in-vivo uygulamasında kan hücreleri kaybının artacağı da göz önüne alındığın da, daha yüksek çizgisel akış hızlarına çıkışının çeşitli dezavantajlar yaratacağı anlaşılmaktadır. Tüm bu verilerin ışığı altında, 4.4 cm çaplı kolonun uygun adsorpsiyon özelliklerine sahip olduğu, ancak, ilerideki çalışmalarında daha büyük çaplı kolona (5.4 cm ) çalışmasına karar verilse dahi bunun sistem performansını çok fazla etkilemeyeceği saptanmıştır.

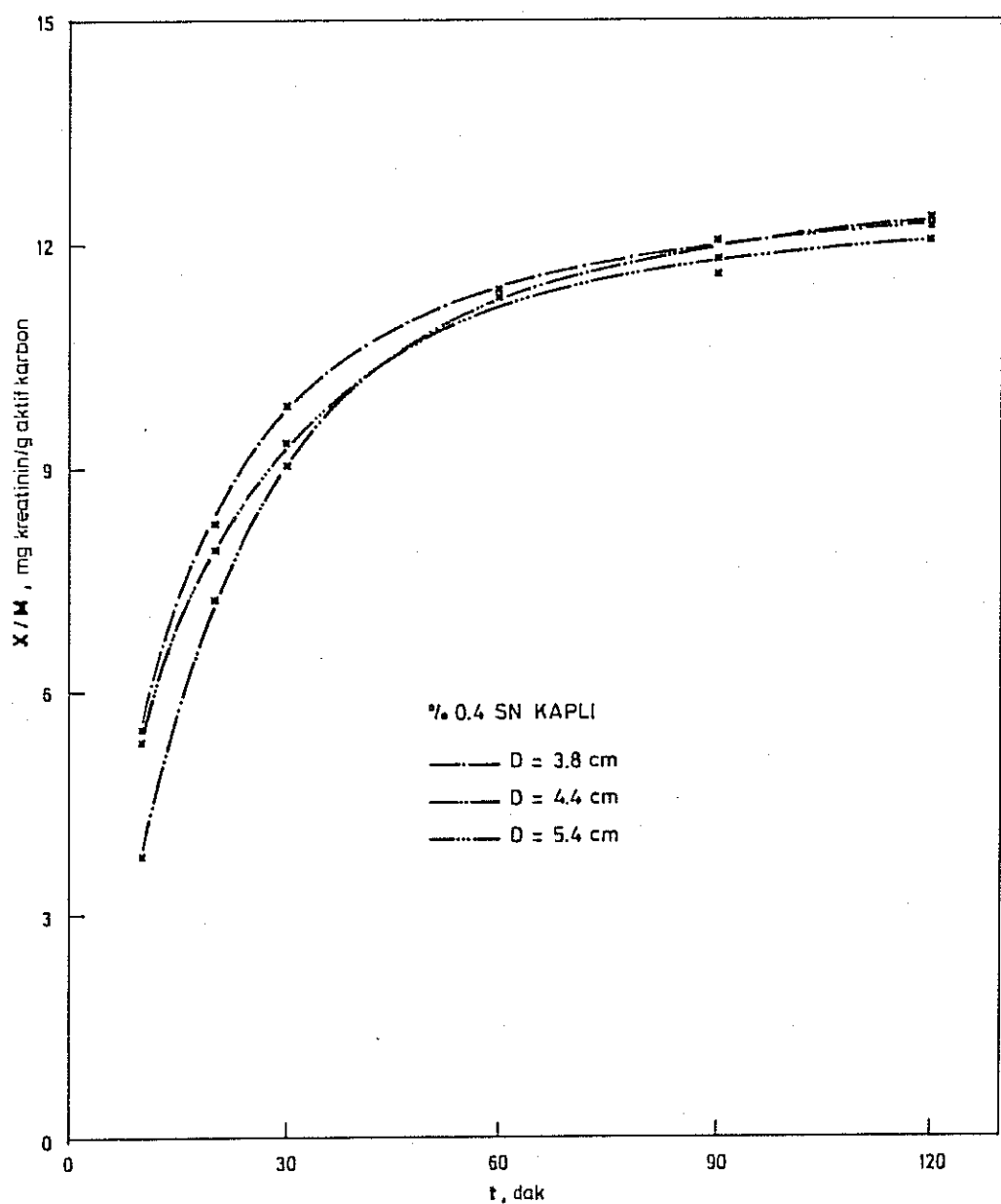
Şekil 4.64-4.72'de yer alan ikili grafiklerde ise kaplanmamış ve % 0.4 selüloz nitrat kaplanmış aktif karbonların adsorpsiyon performans farkları gösterilmiştir. Polimer kaplanmış aktif karbonun adsorpsiyon hız ve kapasitesinin düşüğü, ancak, performans kayıplarının yüksek olmadığı, çoğu birbiri ile çakışan, kesişen egrilerden anlaşılmaktadır. Bu da hedeflenen bir sonuç olup, yapılan polimerik kaplama ile, aktif karbon yüzey alan değişimi bölümünde belirlendiği gibi, mikro ve orta boy gözeneklerin kapanmadığını doğrulamaktadır.

#### İkinci Boyut Büyütme Basamağı

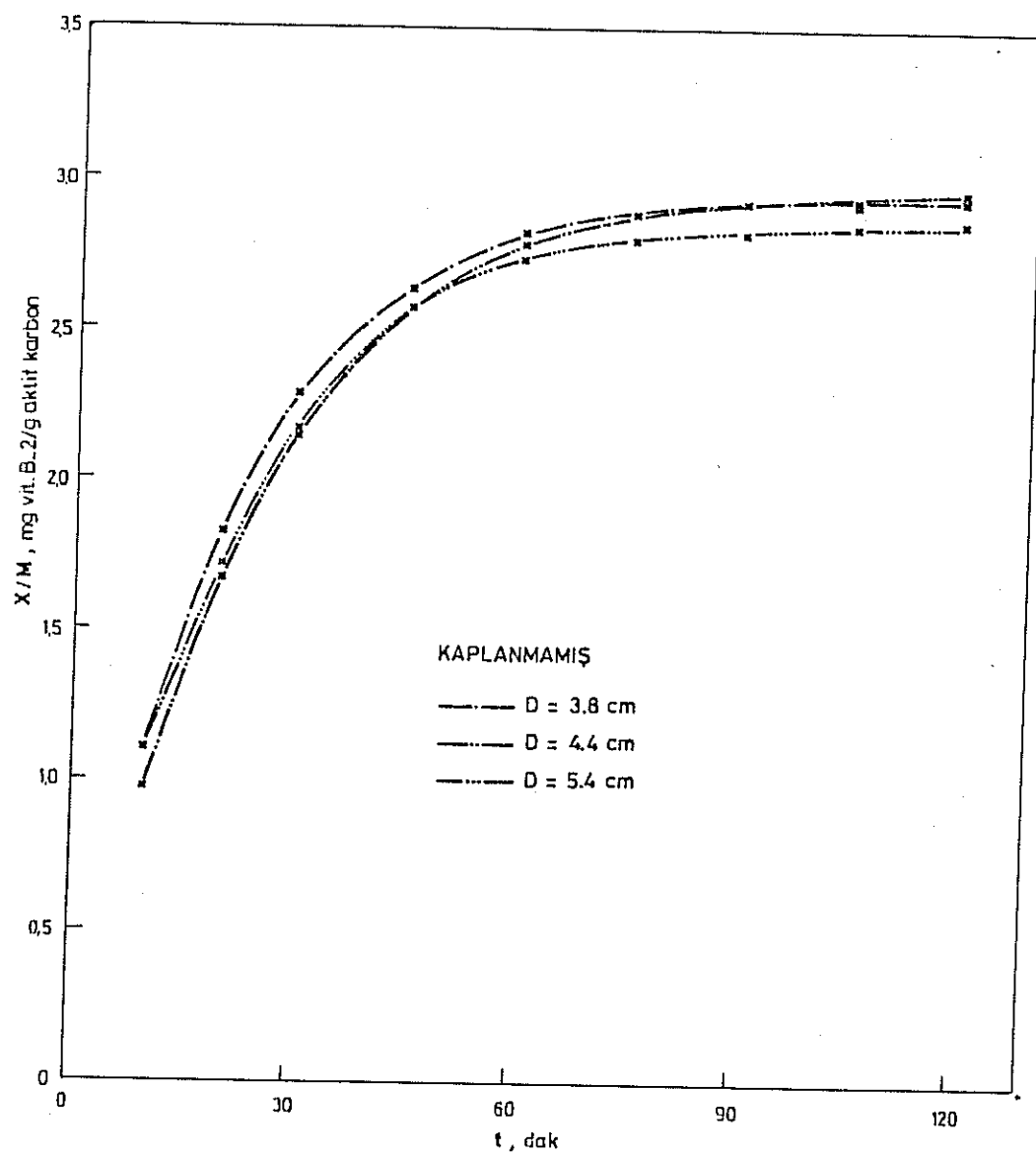
Boyut büyütme basamaklarının ikinci aşamasında ekstraselüler hacim göz önüne alınarak sıvı fazda toksik madde temizleme çalışmaları yapılmıştır.



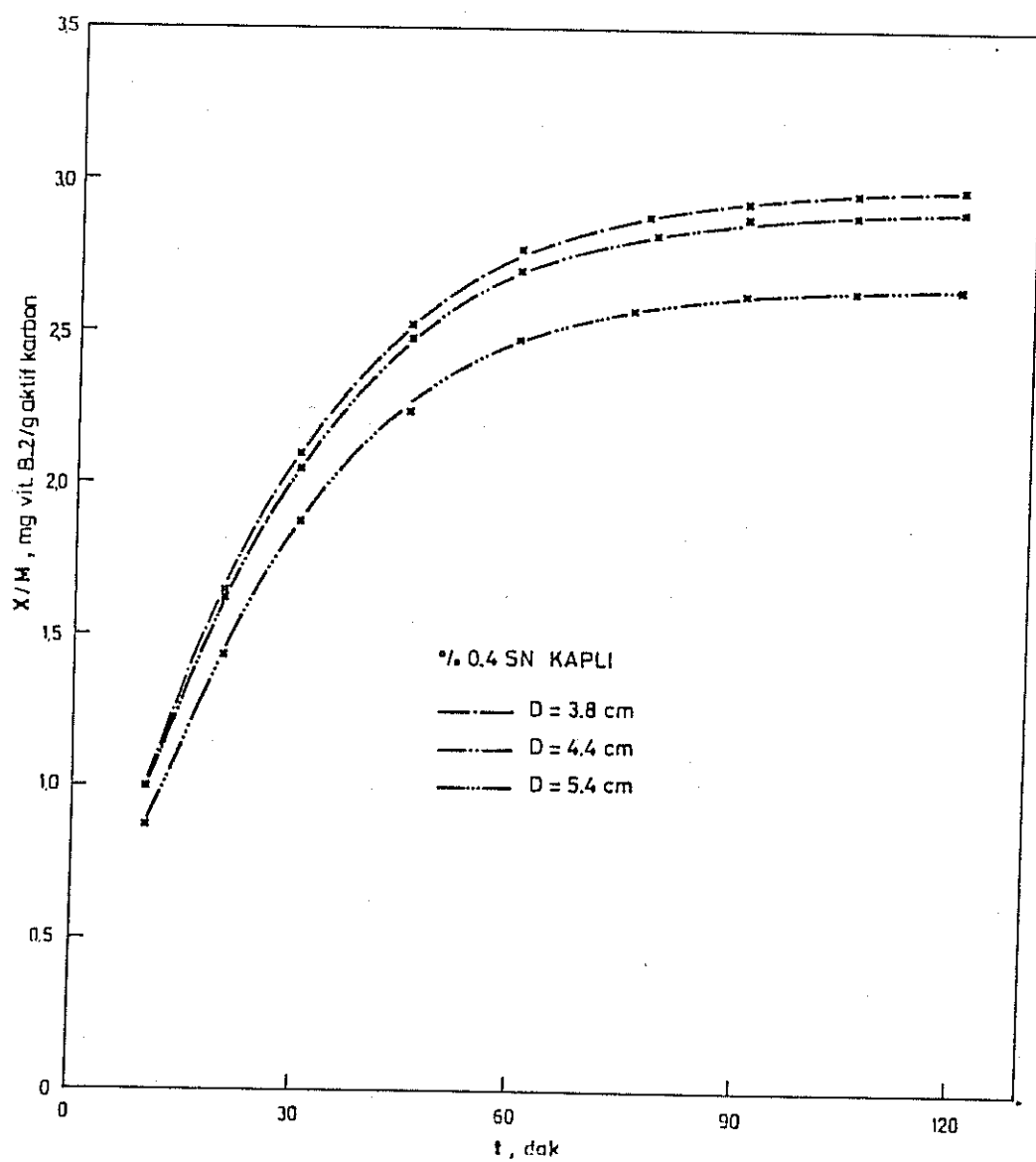
**Şekil 4.58.** Kapalı Devreli Dolaşmalı Sistemde, Birim Aktif Karbon Miktarı Başına Adsorplanan Kreatinin Miktarının ( $X/M$ ) Zamanla ( $t$ ) Değişimine, Kolon Çapının Etkisi, Kaplanmamış Bac Mu®.



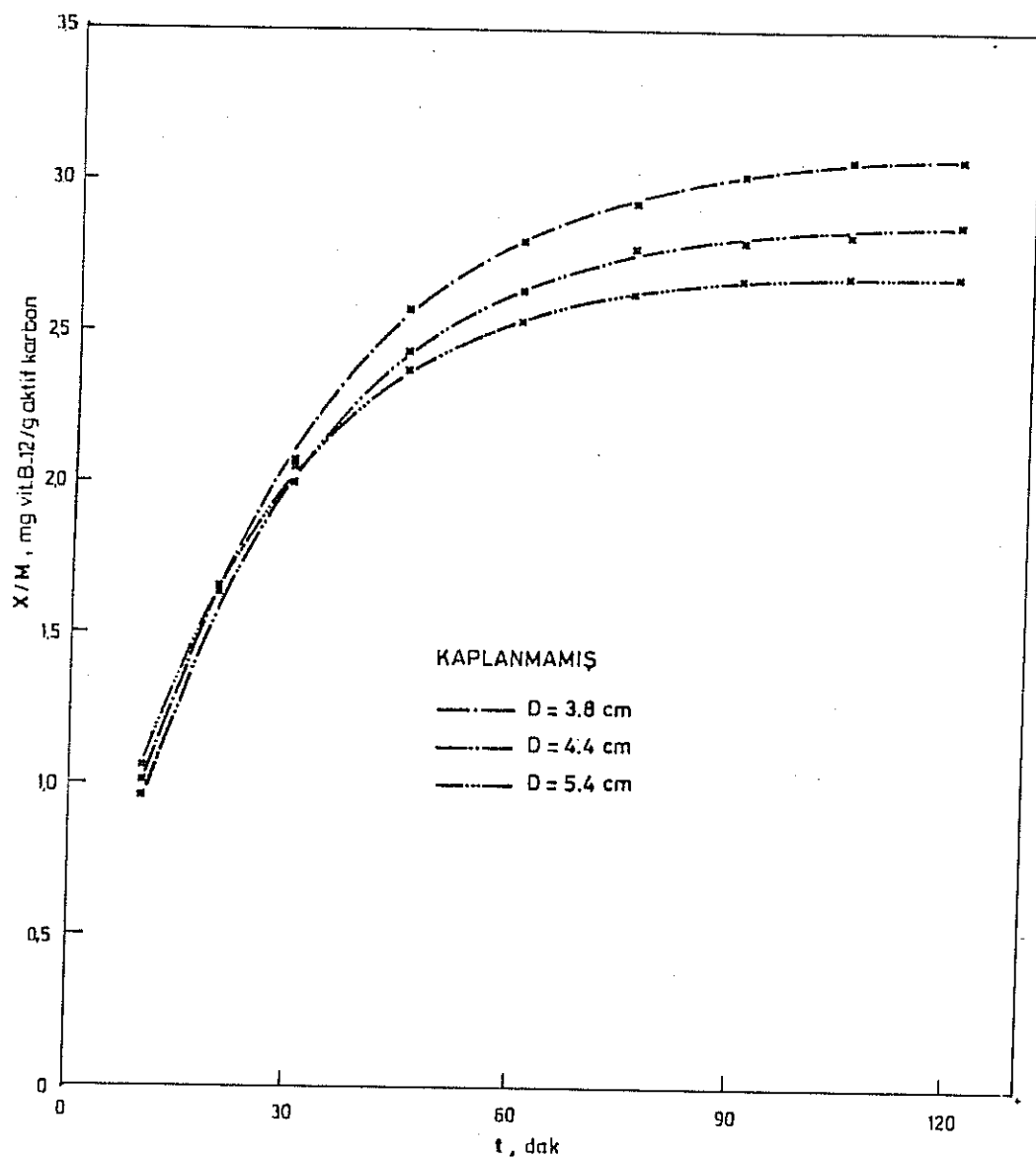
Şekil 4.59. Kapalı Devreli Dolaşımlı Sistemde, Birim Aktif Karbon Miktarı Başına Adsorplanan Kreatinin Miktarının ( $X/M$ ) Zamanla ( $t$ ) Değişimine, Kolon Çapının Etkisi, % 0.4 Selüloz Nitrat Kaplanmış Bac Mu®.



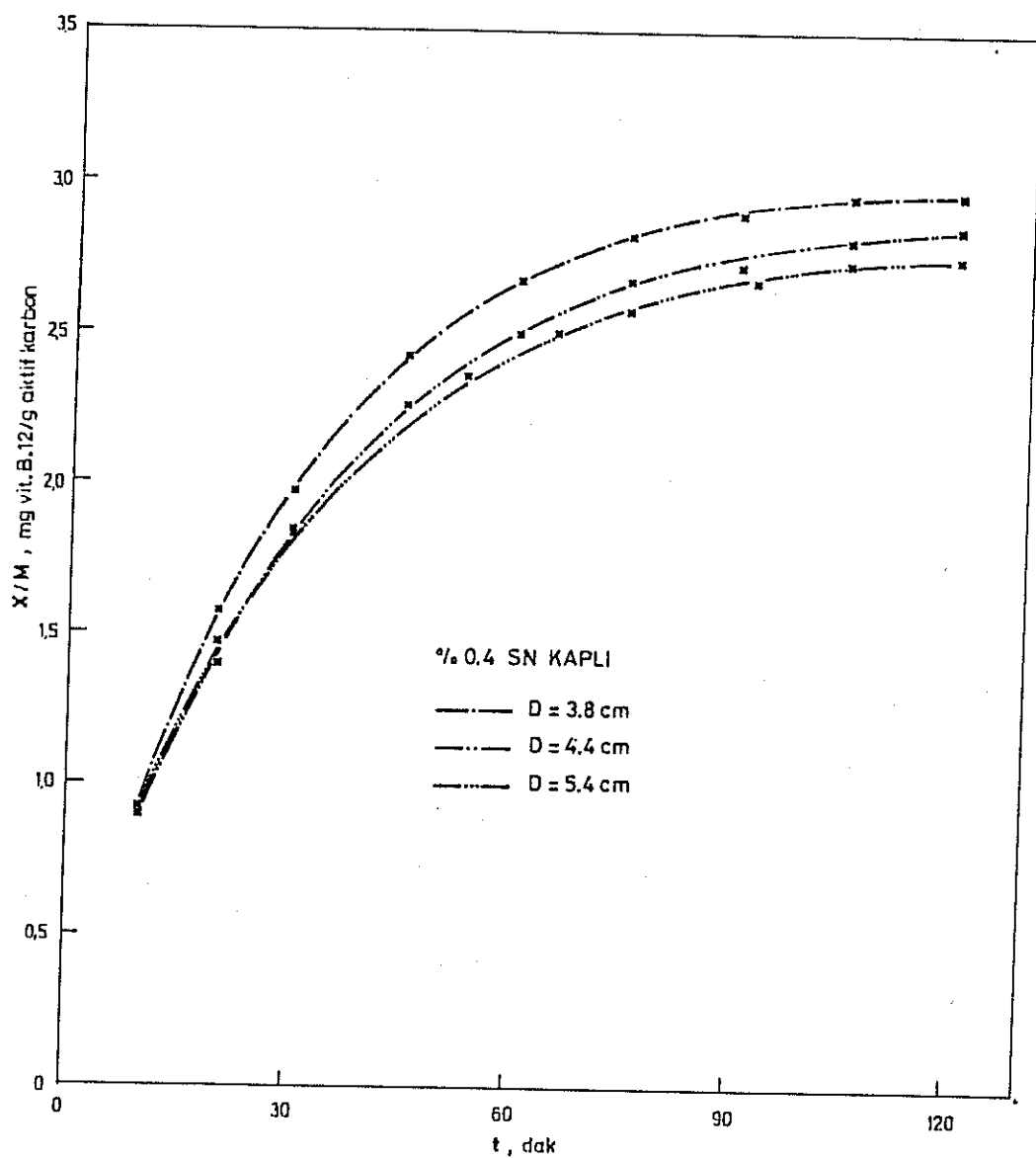
Şekil 4.60. Kapalı Devreli Dolaşımı Sistemde, Birim Aktif Karbon Miktarı Başına Adsorplanan Vitamin B-2 Miktarının ( $X/M$ ) Zamanla ( $t$ ) Değişimine, Kolon Çapının Etkisi, Kaplanmamış Bac Mu®.



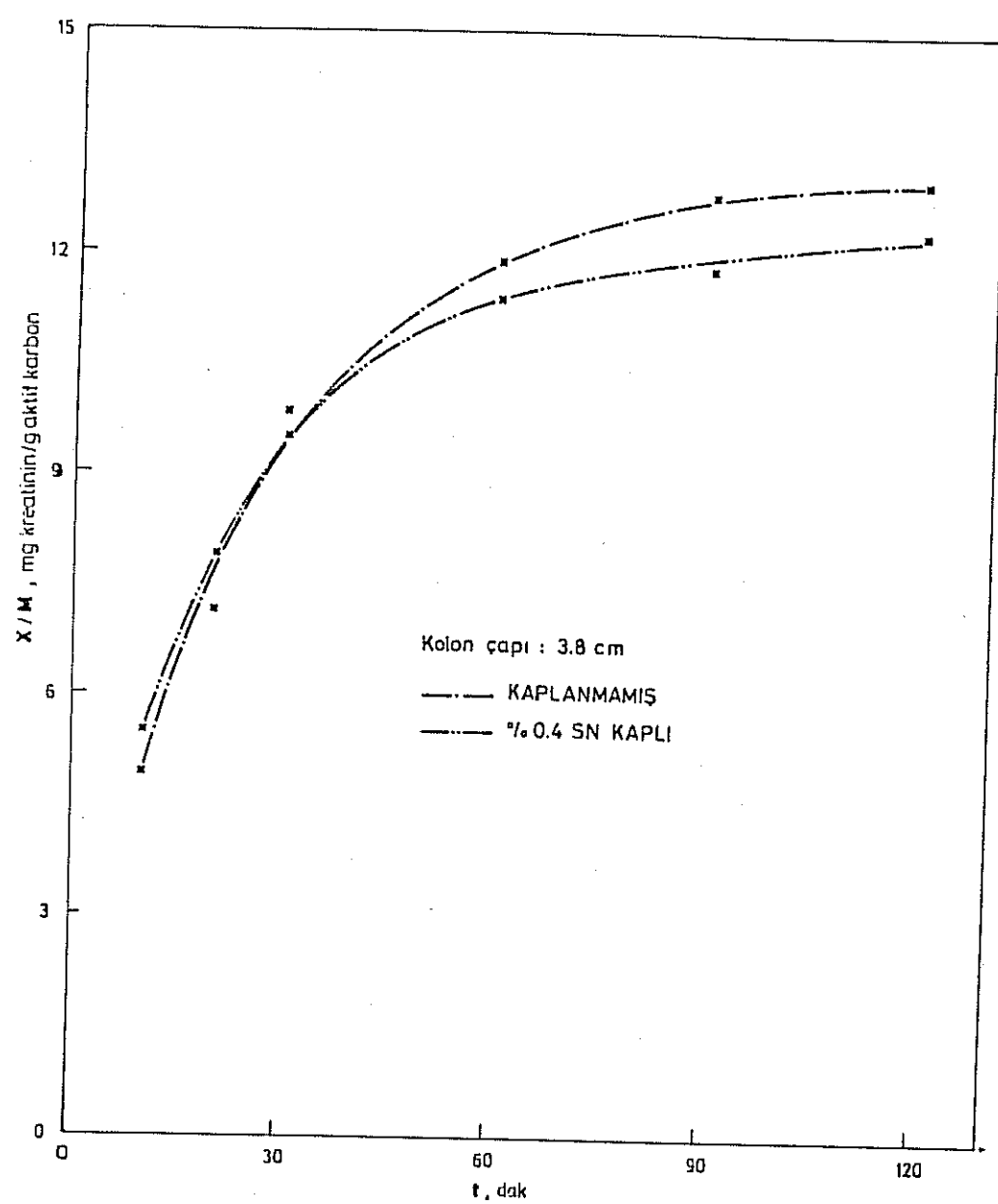
Şekil 4.61. Kapalı Devreli Dolaşımlı Sistemde, Birim Aktif Karbon Miktarı Başına Adsorplanan Vitamin B-2 Miktarının ( $X/M$ ) Zamanla ( $t$ ) Değişimine, Kolon Çapının Etkisi, % 0.4 Selüloz Nitrat Kaplanmış Bac Mu®.



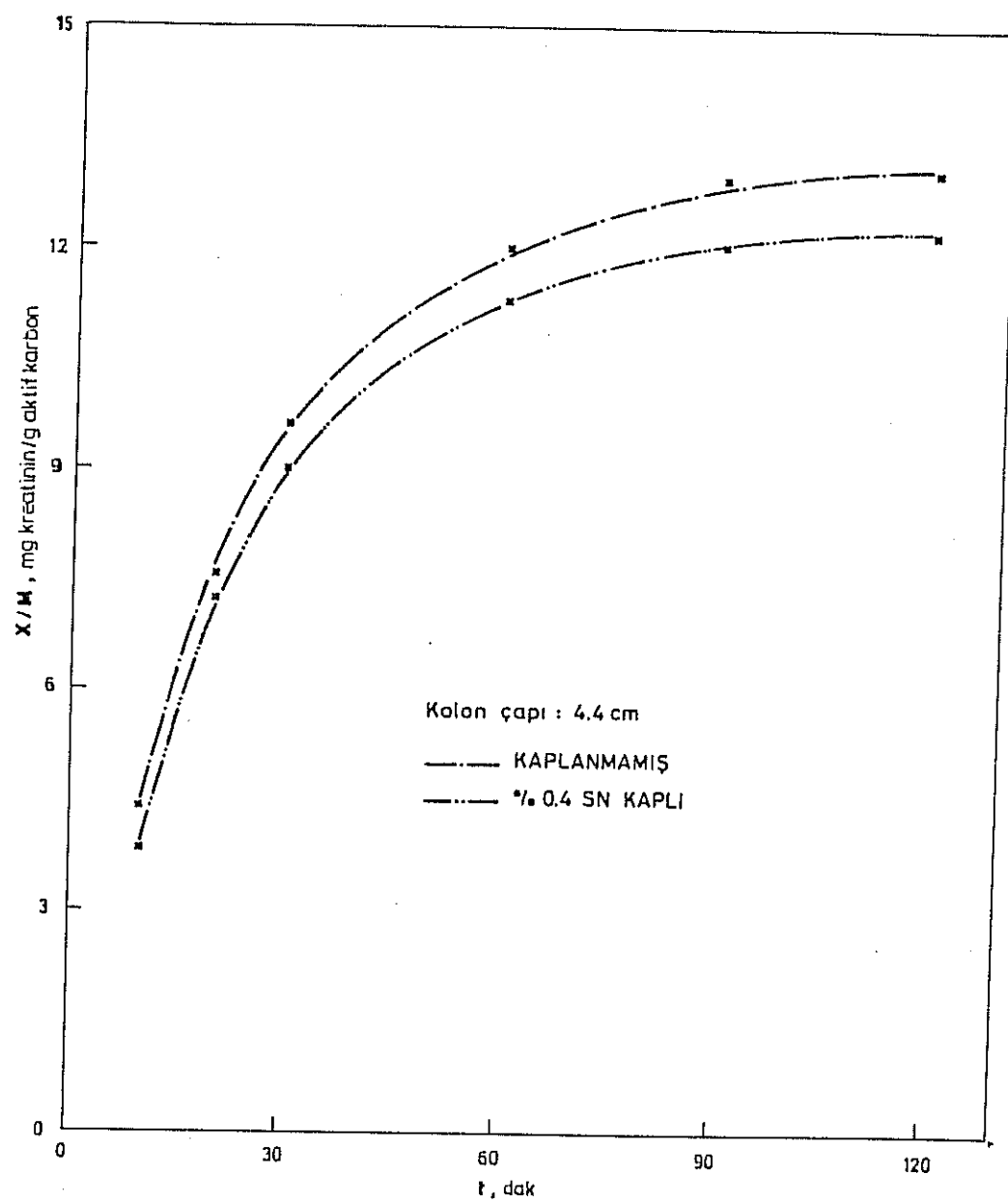
**Şekil 4.62.** Kapalı Devreli Dolaşımlı Sistemde, Birim Aktif Karbon Miktarı Başına Adsorplanan Vitamin B-12 Miktarının ( $X/M$ ) Zamanla ( $t$ ) Değişimine, Kolon Çapının Etkisi, Kaplanmamış Bac Mu®.



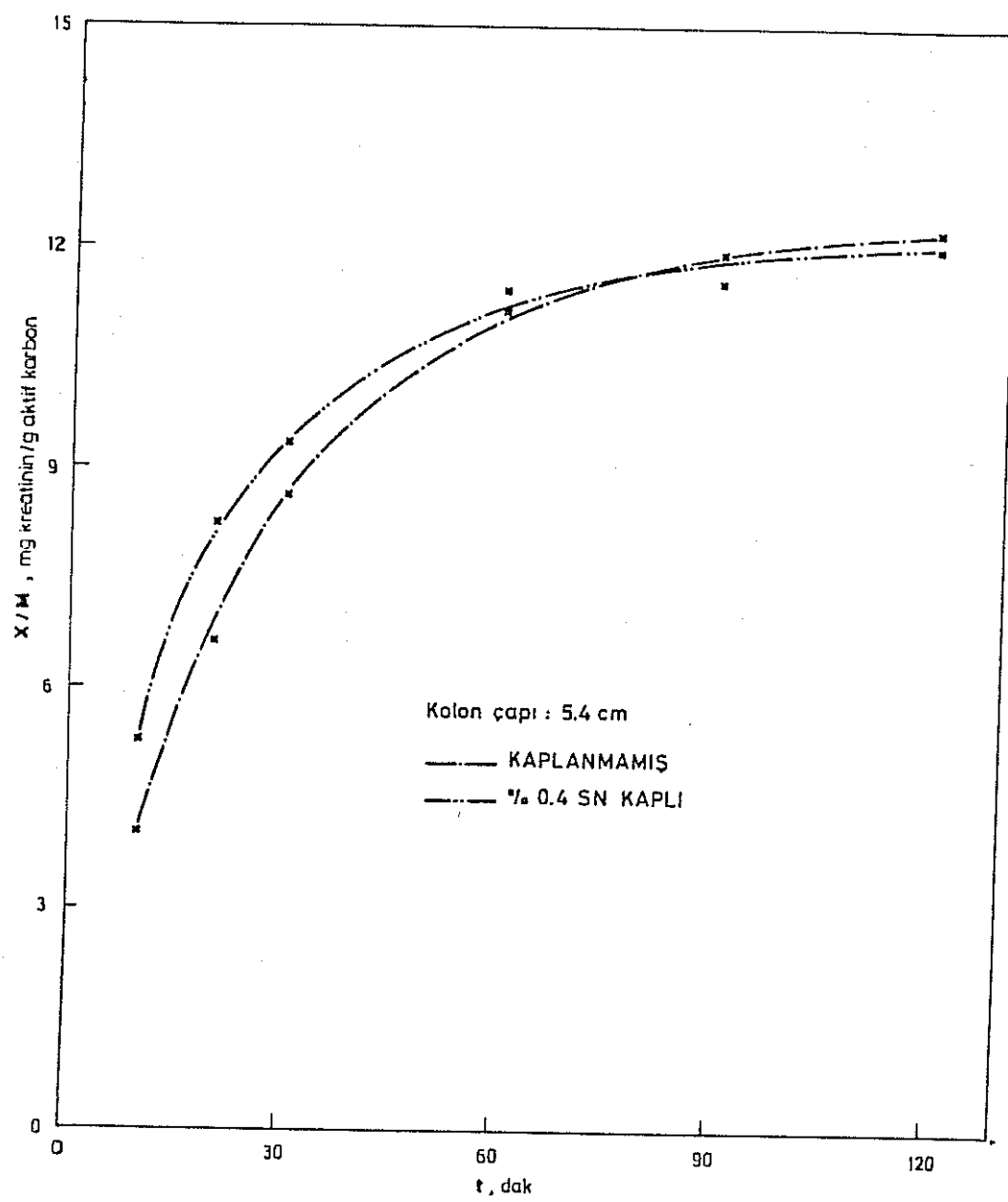
Şekil 4.63. Kapalı Devreli Dolaşımı Sistemde, Birim Aktif Karbon Miktarı Başına Adsorplanan Vitamin B-12 Miktarının ( $X/M$ ) Zamanla ( $t$ ) Değişimine, Kolen Çapının Etkisi, % 0.4 Selüloz Nitrat Kaplanmış Bac Mu®.



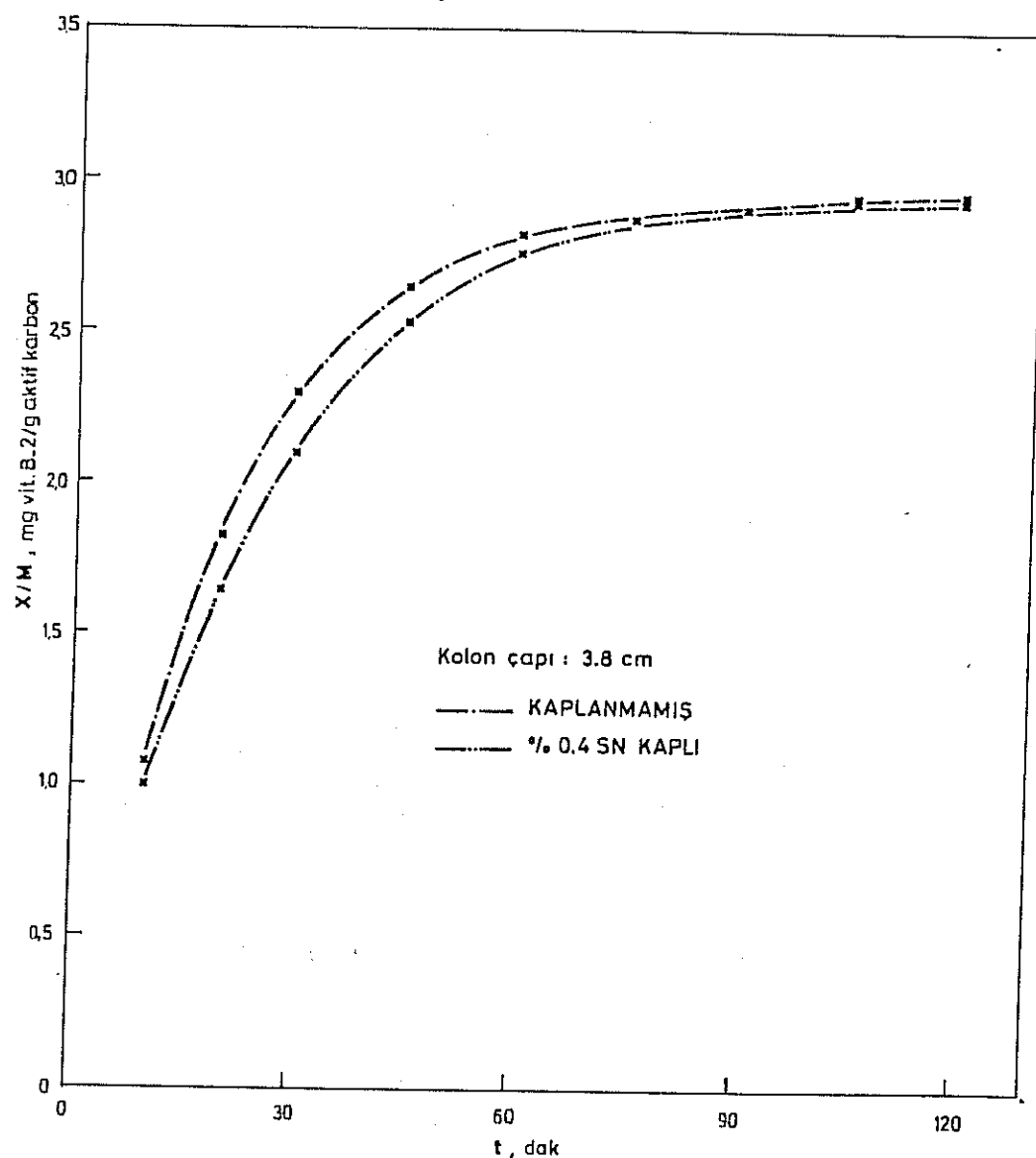
Şekil 4.64. Kapalı Devrelî Dolaşımlı Sistemde, Birim Aktif Karbon Miktarı Başına Adsorplanan Kreatinin Miktarının ( $X/M$ ) Zamanla ( $t$ ) Değişimine, Polimerik Kaplamanın Etkisi.



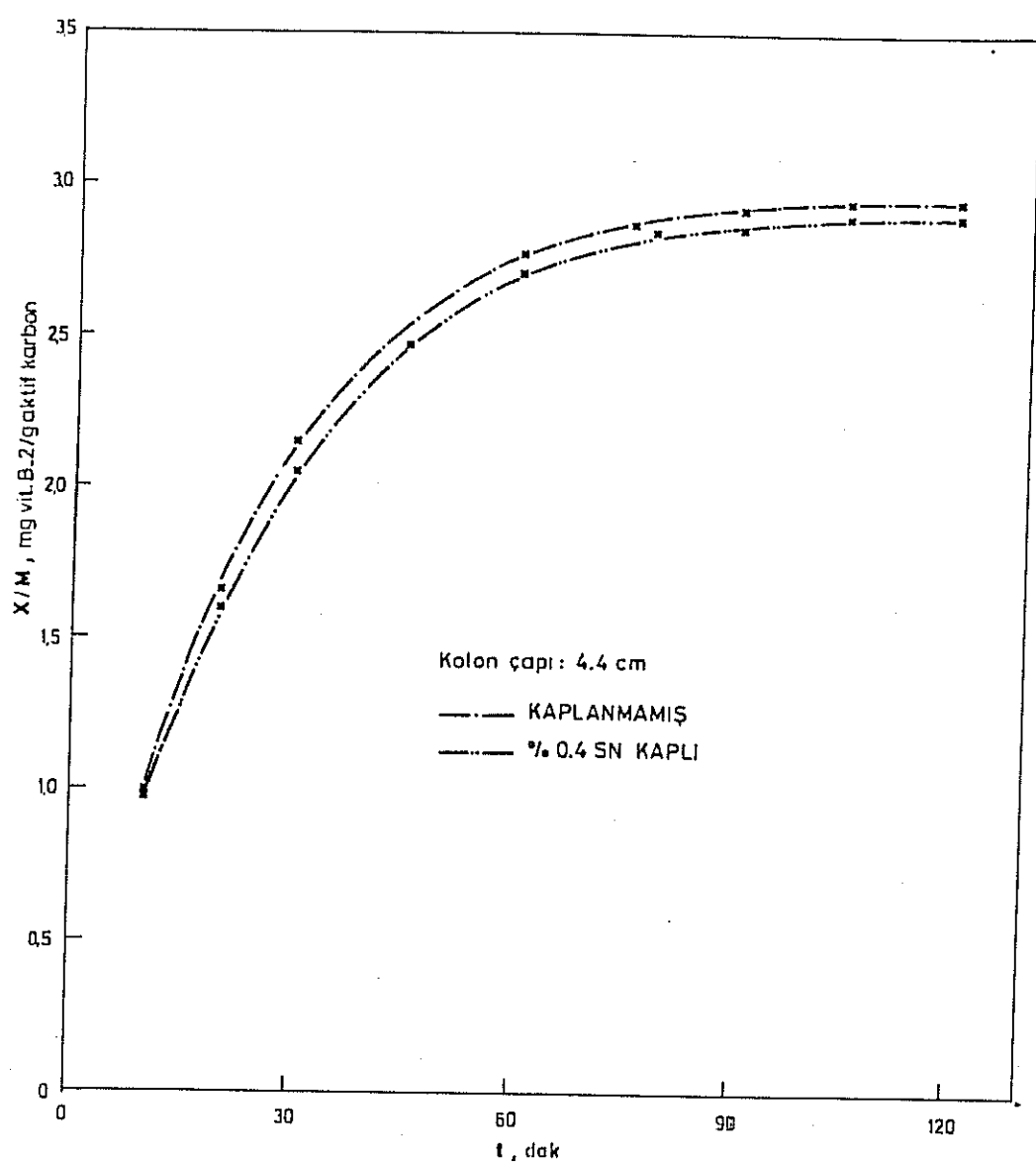
Şekil 4.65. Kapalı Devreli Dolaşımı Sistemde, Birim Aktif Karbon Miktarı Başına Adsorbsionan Kreatinin Miktarının ( $X/M$ ) Zamanla ( $t$ ) Değişimine, Polimerik Kaplımanın Etkisi.



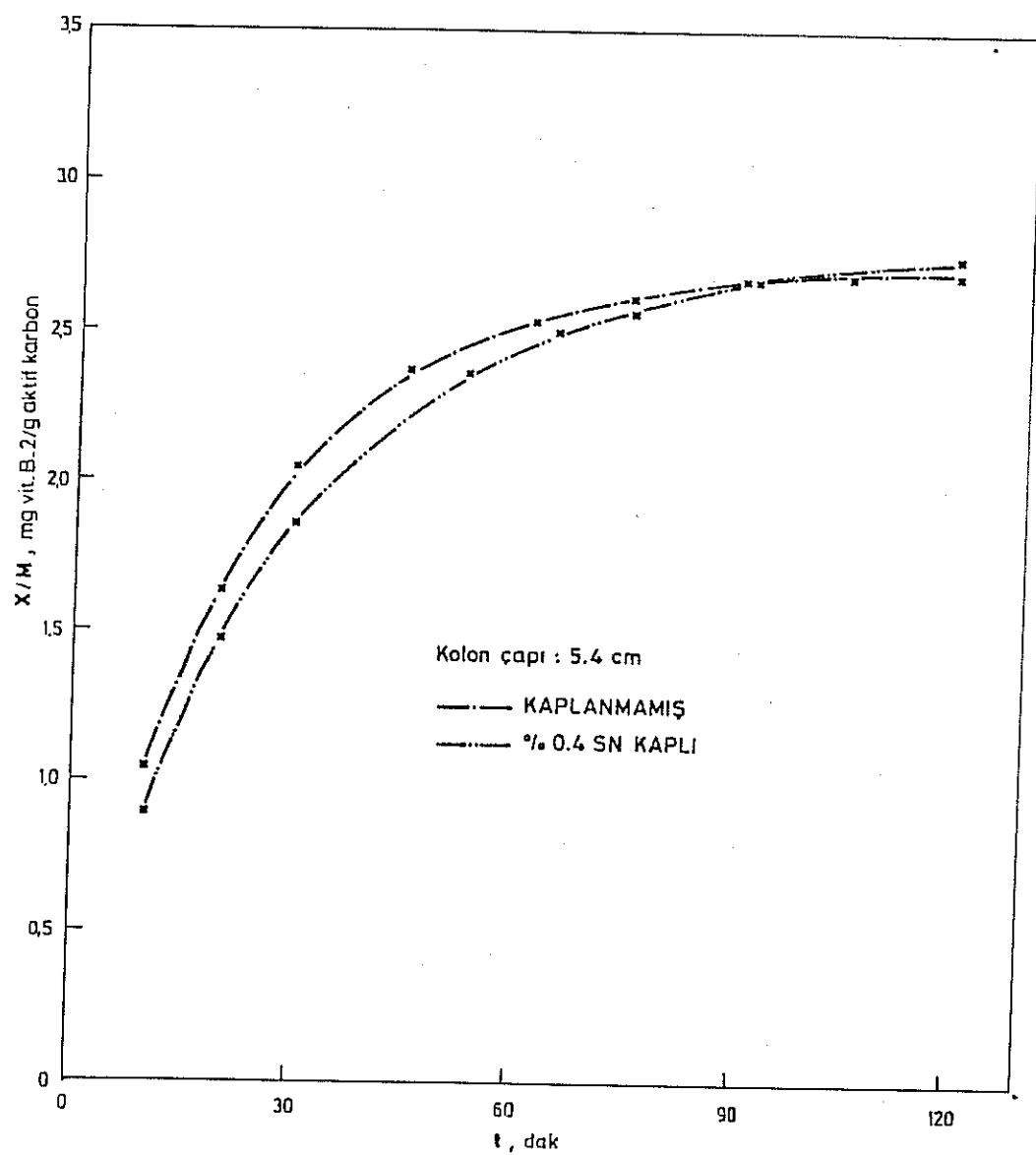
Şekil 4.66. Kapalı Devrell Dolaşımı Sistemde, Birim Aktif Karbon Miktarı Başına Adsorplanan Kreatinin Miktarının ( $X/M$ ) Zamanla ( $t$ ) Değişimine, Polimerik Kaplamanın Etkisi.



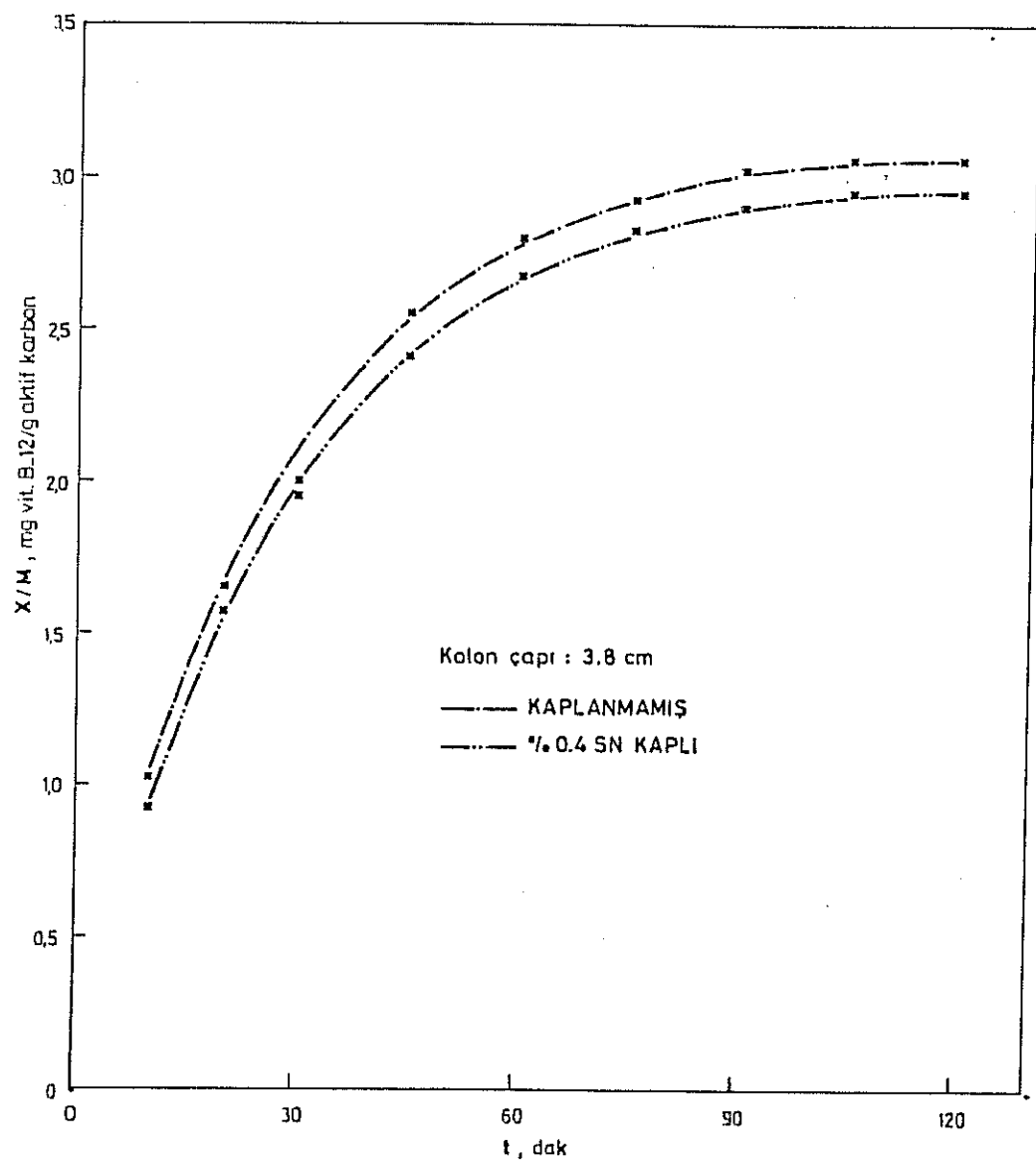
Şekil 4.67. Kapalı Devreli Dolaşmalı Sistemde, Birim Aktif Karbon Miktarı Başına Adsorplanan Vitamin B-2 Miktarının ( $X/M$ ) Zamanla ( $t$ ) Değişimine, Polimerik Kaplamanın Etkisi.



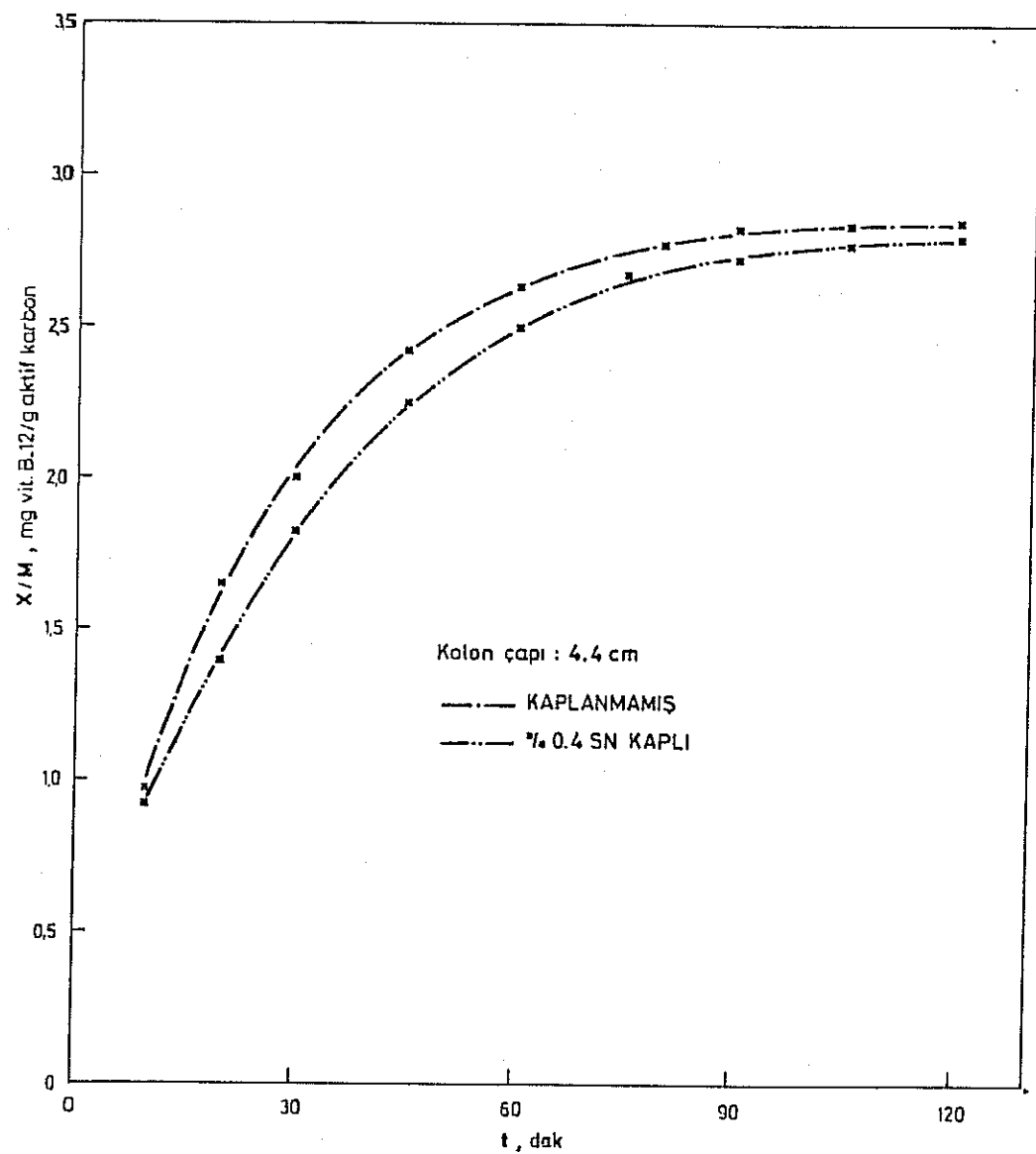
Şekil 4.68. Kapalı Devreli Dolaşmalı Sistemde, Birim Aktif Karbon Miktarı Başına Adsorplanan Vitamin B-2 Miktarının ( $X/M$ ) Zamanla ( $t$ ) Değişimine, Polimerik Kaplamanın Etkisi.



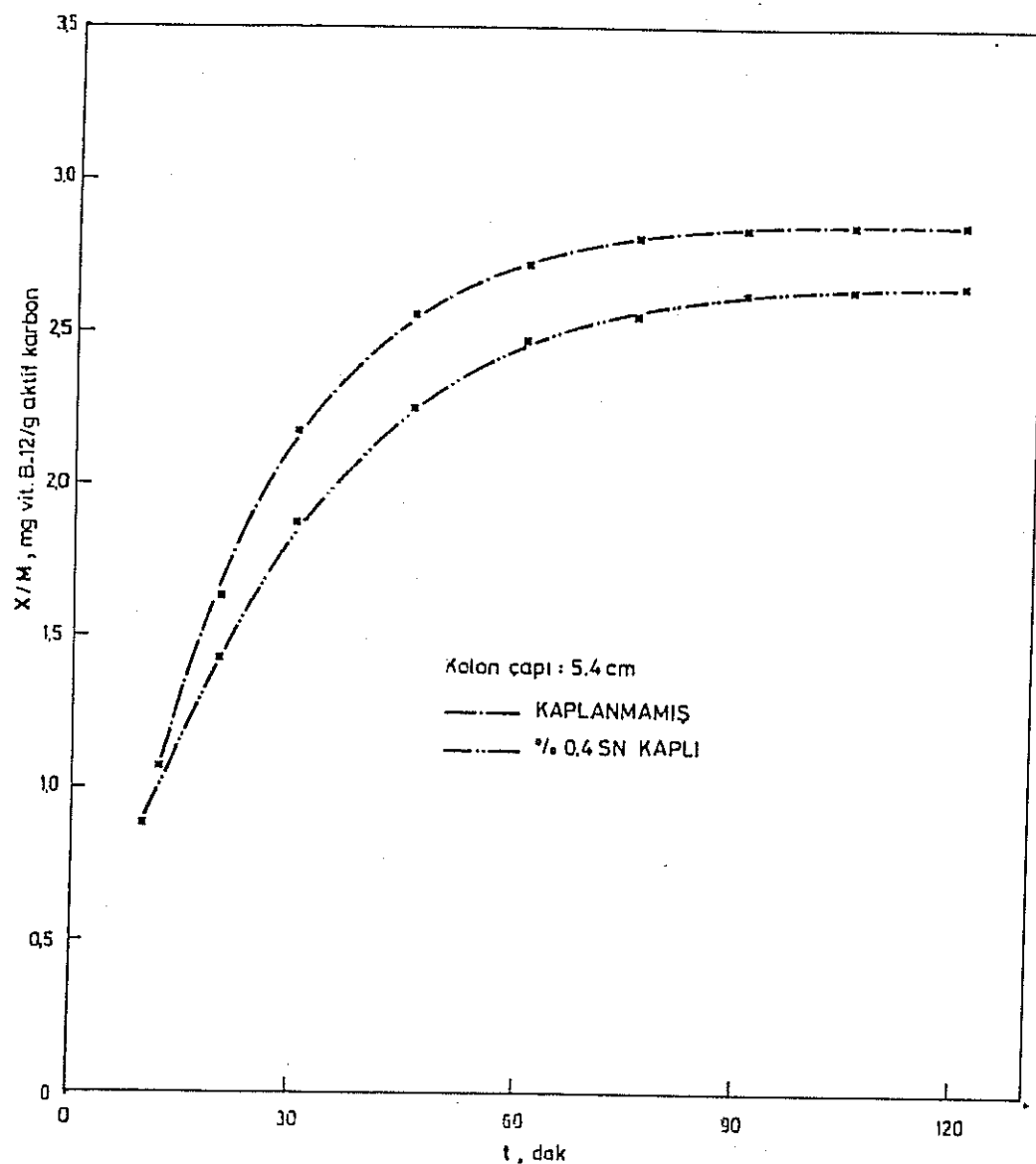
Şekil 4.69. Kapalı Devreli Dolaşımlı Sistemde, Birim Aktif Karbon Miktarı Başına Adsorplanan Vitamin B-2 Miktarının ( $X/M$ ) Zamanla ( $t$ ) Değişimine, Polimerik Kaplımanın Etkisi.



Şekil 4.70. Kapalı Devreli Dolaşmalı Sistemde, Birim Aktif Karbon Miktarı Başına Adsorplanan Vitamin B-12 Miktarının ( $X/M$ ) Zamanla ( $t$ ) Değişimine, Polimerik Kaplamanın Etkisi.



Şekil 4.71. Kapalı Devreli Dofaşımı Sistemde, Birim Aktif Karbon Miktarı Başına Adsorplanan Vitamin B-12 Miktarının ( $X/M$ ) Zamanla ( $t$ ) Değişimine, Polimerik Kaplamanın Etkisi.



Şekil 4.72. Kapalı Devreli Dolaşımı Sistemde, Birim Aktif Karbon Miktarı Başına Adsorplanan Vitamin B-12 Miktarının ( $\frac{X}{M}$ ) Zamanla ( $t$ ) Değişimine, Polimerik Kaplamanın Etkisi.

Farmakokinetik açısından hasta 15 litrelilik sıvı faz hacmine sahip tek kompartmanlı bir sistem olarak kabul edilmiştir. Bu basamaktaki boyut büyütmede, yukarıda, birinci basamakta elde edilen değerler kullanılmıştır. Boş kolonda çözelti çizgisel akış hızı, U, çözelti hacimsel akış hızı, F ve birim aktif karbon başına kullanılan çözelti miktarı,  $V_d/M$ , sabit tutulmuş ve aşağıdaki yöntem izlenerek boyut büyütmeden sonraki yeni koşullar saptanmıştır. Buradaki "3" alt indisi bu büyütme basamağı sonrası ulaşılan koşulları belirtmektedir.

- Sıvı Faz Hacimsel Akış Hızı ve  $t_{d_2}$  nin Hesabı

İlk durumda ana depoda alikonma süresi

$$t_{d_2} = V_{d_2} / F_2 = 5000 / 227 = 22 \text{ dak}$$

İkinci durumda çözelti hacimsel akış hızları

$$F_2 = F_3 = 227 \text{ ml/dak varsayılarak}$$

$$V_{d_3} = 15000 \text{ litre olduğu için}$$

$$t_{d_2} = V_{d_3} / F_3 = 15000 / 227 = 66 \text{ dak}$$

- Kolon Çap Hesabı

İlk durumda çözelti çizgisel akış hızı

$$U_2 = F_2 / S_2 = 227 / 15 = 15 \text{ cm / dak}$$

$$U_3 = U_2 \text{ varsayılarak}$$

İkinci durumda boş kolonda çözelti çizgisel akış hızı

$$U_3 = F_3 / S_3 = 15 \text{ cm/dak}$$

İkinci durumda kolon kesit alanı

$$S_3 = 15 \text{ cm}^2$$

İkinci durumda kolon çapı

$$D_3 = 4.4 \text{ cm}$$

- Aktif Karbon Miktarı Hesabı

İlk durumda birim aktif karbon miktarı başına kullanılan çözelti miktarı

$$V_{d2} / M_2 = 5000 / 35 = 144 \text{ ml/gram aktif karbon}$$

$$V_{d3} / M_3 = V_{d2} / M_2 \text{ varsayılarak}$$

$$V_{d3} = 15000 \text{ ml}$$

İkinci durumda kullanılan aktif karbon miktarı

$$M_3 = 15000 / 144 = 105 \text{ gram}$$

- Kolon Boyu Hesabı

$\rho_{\text{dolgu}}$  birim kolon hacmindeki dolgu miktarını gösteriyorsa

$$(\rho_{\text{dolgu}})_2 = M_2 / (V_{\text{kolon}})_2 = (\rho_{\text{dolgu}})_3 = 0.466 \text{ gram A.K./cm}^3 \text{ olduğu için}$$

$$(V_{\text{kolon}})_3 = M_3 / (\rho_{\text{dolgu}})_3 = S_3 L_3$$

İkinci durumda kolon boyu

$$L_3 = 15 \text{ cm}$$

İkinci boy büyütme sonrası ulaşılan ve sulu faz in-vitro çalışmalarına göre sonuç boyut ve koşullar olan durum, önceki basamaklardaki kolon boy ve koşulları ile birlikte Çizelge 4.13'de sunulmuştur.

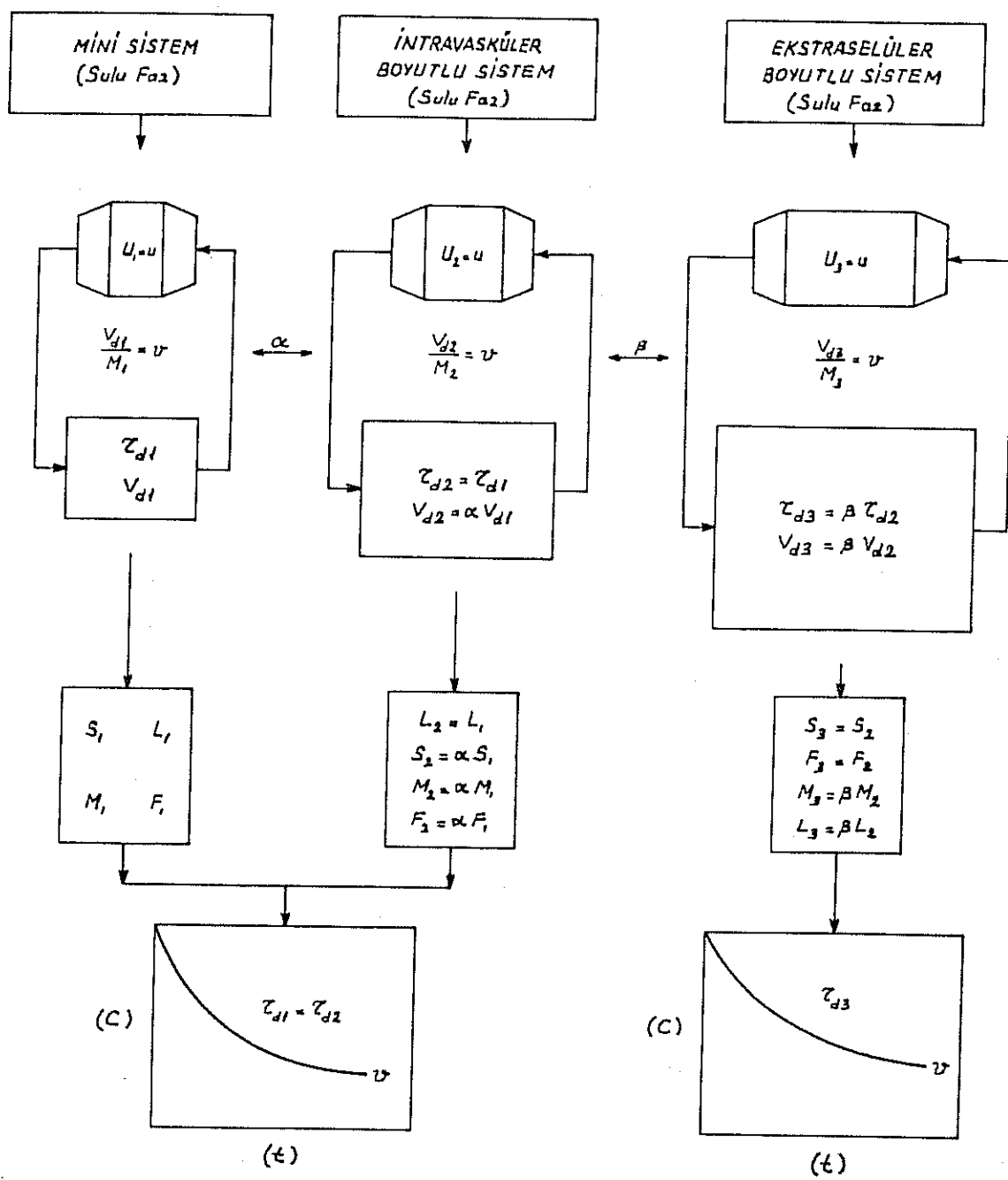
**Cizelge 4.13. Boyut Büyütme Basamaklarında Kullanılan ve Ulaşilan Kolon ve Sistem Parametreleri.**

No	D (cm)	L (cm)	M (g)	U (cm/dak)	V <sub>top</sub> (ml)	T <sub>d</sub> (dak)	V <sub>top</sub> /M (ml/g)	F (ml/dak)
1	2.5	5	11.5	15	1650	22	144	75
2	4.4	5	35.0	15	5000	22	144	227
3	4.4	15	105.0	15	15000	66	144	227

### Ara Sonuç

Boyut büyütme çalışmalarının yapıldığı bu bölümdeki en önemli sonuç, mini sistemlerle çalışılarak, dolayısıyla çok daha az madde ve emek sarfedilerek, elde edilecek deneysel bulgulardan, intravasküler veya ekstraselüler boyutlarda kullanılabilecek sistemlerin tasarımları için bir boyut büyütme yönteminin geliştirilmiş olmasıdır. Şekil 4.73'de bu yöntem şematik olarak özetlenmeye çalışılmıştır. Dikkat edileceği gibi, ilk basamakta, mini sistemde çalışılır ve bu sisteme ait şekilde örneği verilen adsorpsiyon izotermi elde edilir. Intravasküler boyutlu sistemde aynı adsorpsiyon eğrisini verecek sistem tasarımlı için şu yöntem izlenir. Bu yöntemde mini ve intravasküler boyutlu sistemlerde kullanılan boş kolonda çözelti çizgisel akış hızları ( $U$ ), birim aktif karbon miktarı başına kullanılan çözelti miktarları ( $V_d/M$ ) ve ana depoda çözelti alikonma süreleri ( $t_d$ ) eşit alınır. Buradan intravasküler boyutlu sistem parametreleri olan kolon boyutları ve çözelti hacimsel akış hızı, dolayısıyla kullanılacak aktif karbon miktarı bulunur. Bu boyut büyütme basamágında kolon boyunun sabit kaldığı, yalnızca çapının değiştiği not edilmelidir.

İkinci boyut büyütme basamágında, intravasküler sisteme geçerken farklı bir boyut büyütme yöntemi izlenmiştir. Bunun nedeni, ekstraselüler sisteme sirküle ettirilerek temizlenen hacmin, intravasküler sistemdekine eşit (5 litre) olmasına rağmen, toplam hacmin ekstraselüler hacime, dolayısıyla 15 litre'ye eşit olmasıdır. Dolayısıyla kolonlarda akış hızları ve birim aktif karbon miktarı başına kullanılan çözelti hacimleri ( $V_d/M$ ) önceki boyut büyütmedeki gibi eşit alınmış, ancak, çözelti hacimsel akış hızı ( $F$ ) dolayısıyla ana depoda çözelti alikonma süreleri ( $t_d$ ) çözelti hacimsel akış hızları ( $F$ ) eşit olacak şekilde değiştirilmiştir. Böylece, yukarıda verilen hesaplama yöntemiyle ekstra selüler boyutlu sistem parametreleri olan kolon boyutları ( $D, L$ ), çözelti akış hızı ( $F$ ),



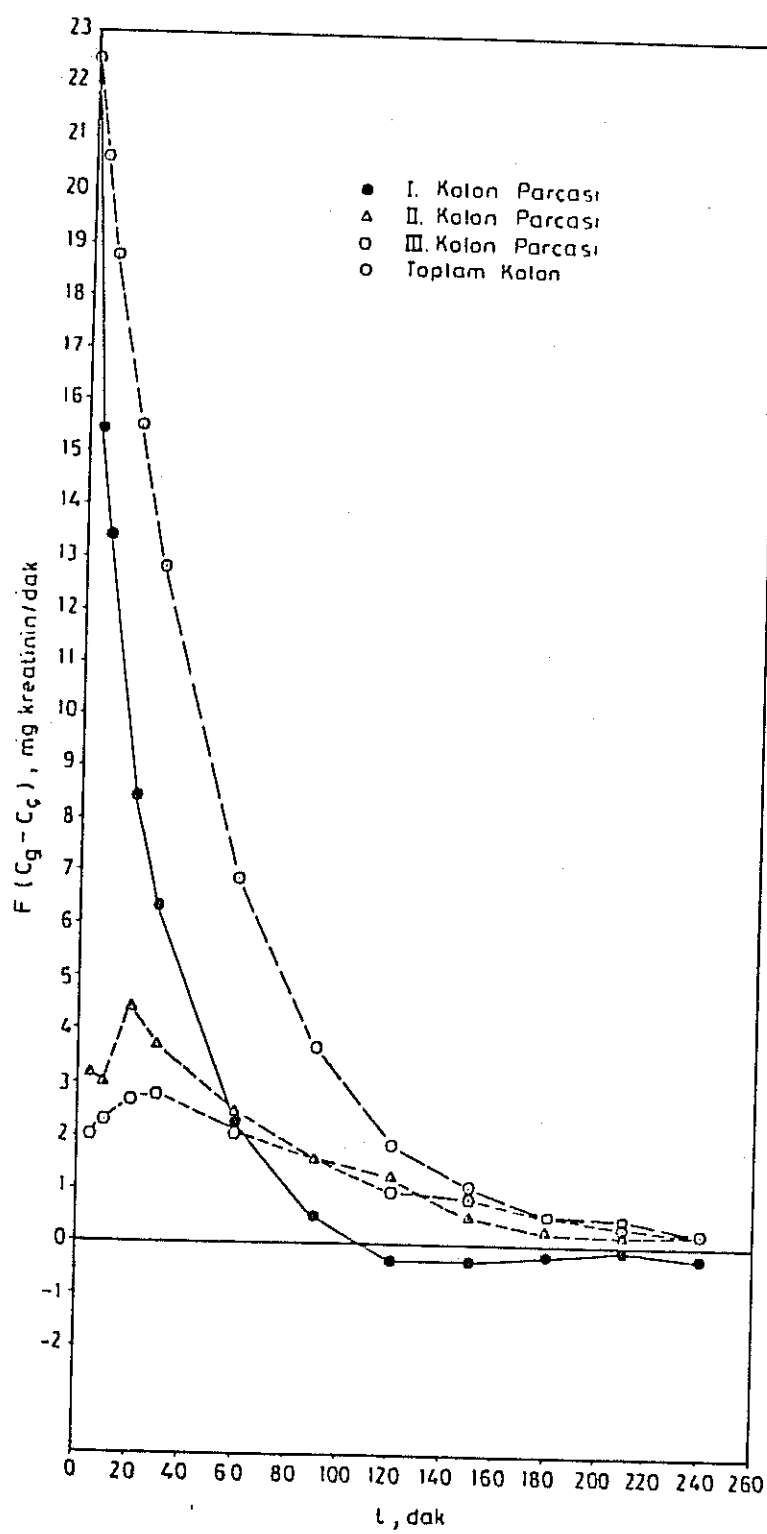
Şekil 4.73. Geliştirilen Kolon Boyut Büyütme Yöntemi.

çözeltinin ana depoda alikonma süresi ( $t_d$ ) ve dolayısıyla mini kolondan başlanarak boyut büyütme sonucunda elde edilen ekstraselüler sistemin performansı (adsorpsiyon izotermi) saptanır. Burada yeni kolon çapının önceki kolon çapına eşit olduğu, ancak, kolon boyunun değiştirildigine dikkat edilmelidir.

#### 4.4.1. e. BÜYÜTÜLMÜŞ KOLONDA KÜTLÉ TRANSFER BÖLGESİNİN İNCELENMESİ

İkinci boyut büyütme basamağında ulaşılan ve çapı 4.4 cm olan kolonda kütle transfer bölgesinin ilerleyişinin de incelenmesi amacıyla kolon 5 cm boyunda 0ç eşit parçadan oluşacak şekilde yeni bir sistem hazırlanmıştır. Çalışılan düzenekte gerekli ayarlamalar yapılarak her kolon parçasının giriş ve çıkışından örnekler alınmış ve sonuçlar değerlendirilmiştir.

Sekil 4.74'de her bir kolon parçasına ve sistem toplamına ait  $[F(C_g - C_s)]$  değerlerinin zamanla değişim grafikleri verilmiştir. Başlangıçta, aktif karbon dış tabakalarında, çözelti-katı arasındaki konsantrasyon farkından kaynaklanan adsorbat yığılması oluşmakta ve adsorbat partikülün iç tabakalarına doğru hızla difüzlenmektedir. Ancak, gerek çözeltideki adsorbat, kreatinin, konsantrasyonunun azalması, gerekse granül iç tabakalarında kreatinin konsantrasyonunun artmasıyla çözelti ile katı arasındaki konsantrasyon farkı küçülmekte, difüzyon yavaşlamaktadır. İşte bu aşamada, çözelti kreatinin konsantrasyonu çok fazla düşerse, çözelti-katı arasındaki konsantrasyon farkı katı lehine artmaka ve difüzyonun yönünü, katıdan çözeltiye doğru değiştirebilmektedir. Başka bir ifadeyle, Sekil 4.74'deki eğrilerde görülen, desorpsiyon oluşmaktadır.



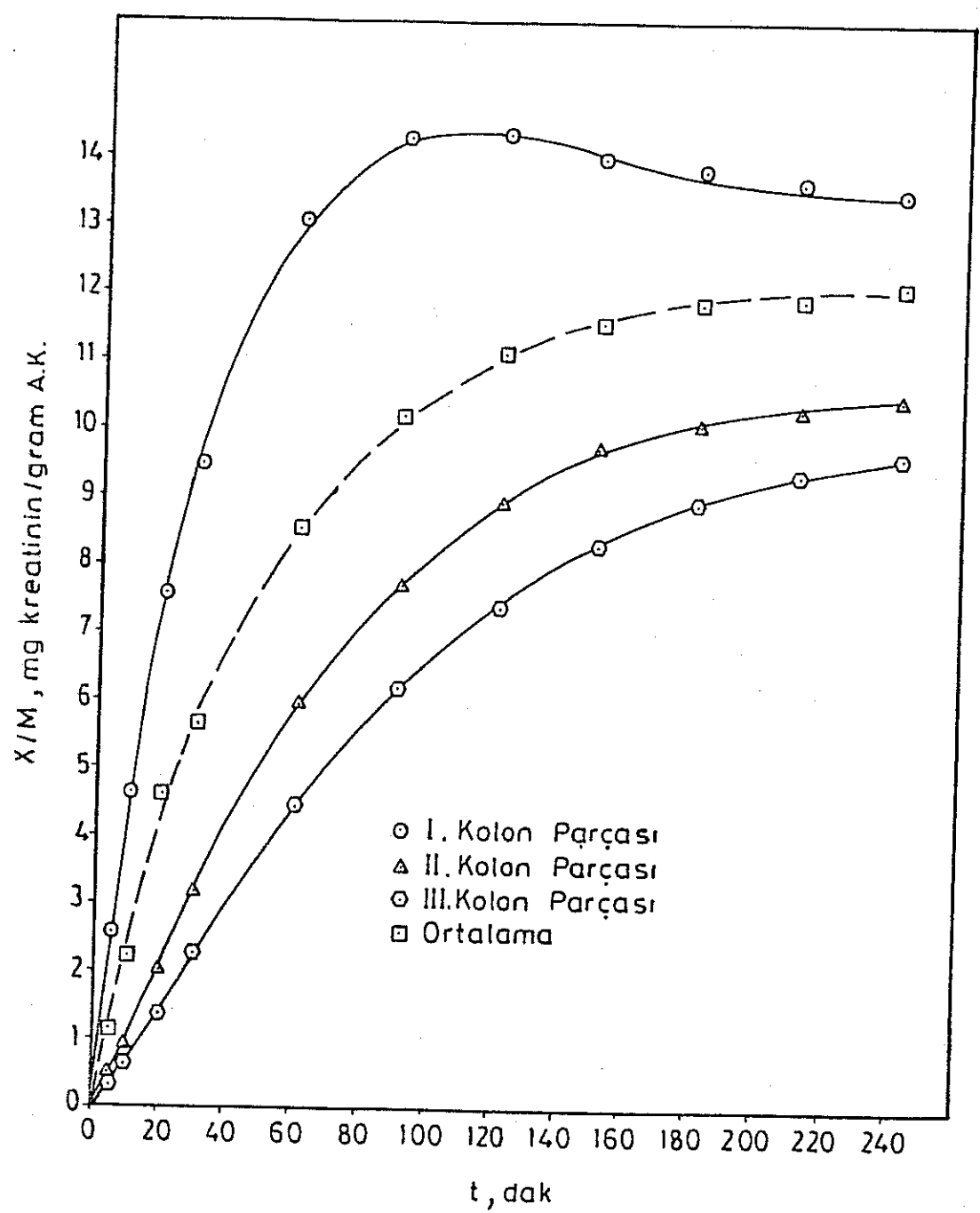
Şekil 4.74. Sulu Fazda, Kapalı Devreli Dolaşımı Sistemde, Kolon Parçalarında Adsorbsion Kreatinin Miktarının  $|F(C_g - C_\infty)|$  Zamanla ( $t$ ) Değişimi, % 0.4 Selüloz Nitratla Kaplanmış Bac Mu®.

Şekil 4.74'ün değerlendirilmesi sonucunda çizilen zamana (*t*) karşı (*X/M*) grafğinde söz konusu etki çok belirgin olarak görülmektedir. Şekil 4.75. Tüm kolonun başlarında, (ilk 5 cm'lik kısımda), *X/M*=14.5 mg kreatinin/gram aktif karbon değerine kadar yükselmekte ancak daha sonra 13.5 (mg kreatinin/gram aktif karbon) değerine düşmektedir.

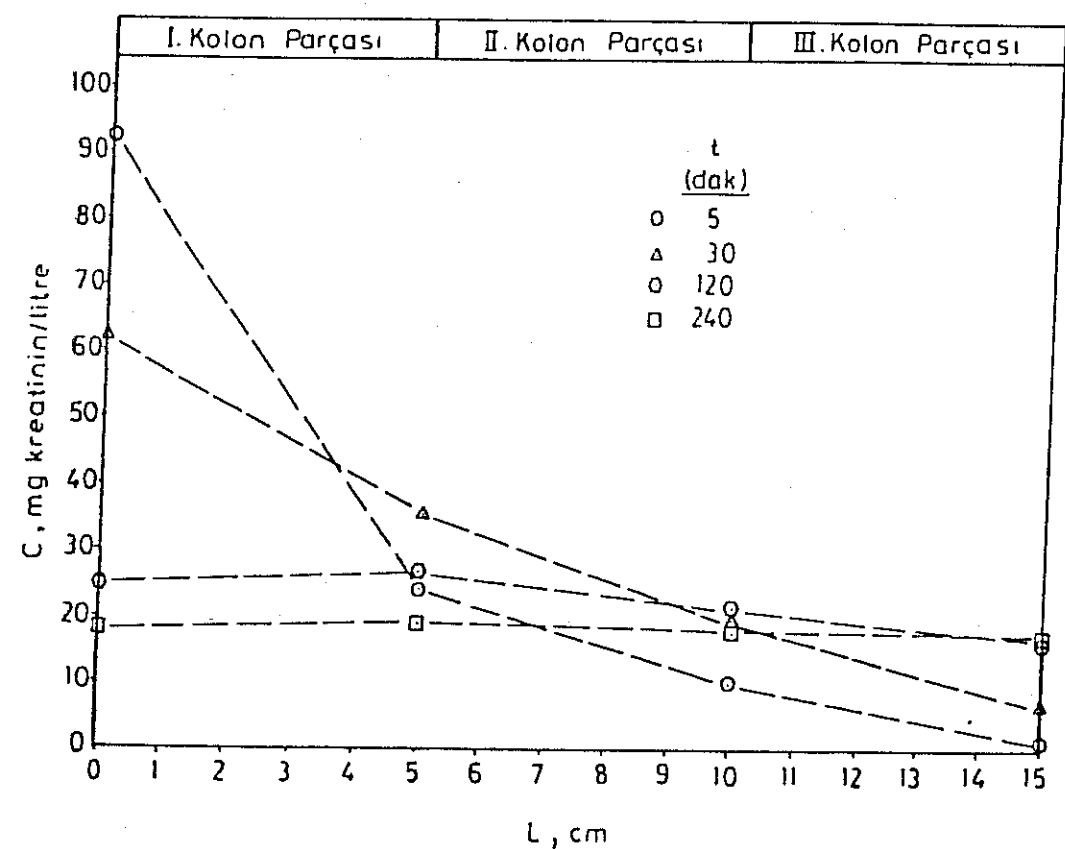
Şekil 4.76'da da çeşitli zamanlarda aynı kolon içinde kolon girişinden çeşitli uzaklıklarda oluşan kreatinin konsantrasyon profilleri gösterilmiştir. Son iki şekilden de anlaşılabileceği gibi, kolonun girişinden çıkışına doğru ilerleyen ve sürekli olarak seviye kaybeden bir kütte transfer bölgesi vardır. Bu bölge zaman içinde kolon çıkışına kadar düzlenerek yayılmakta, hatta yüksek çözelti hacimsel akış hızlarında çok az da olsa desorpsiyonla kendini kolon çıkışında göstermektedir.

#### **4.4.1.f. KOLON BAĞLAMA YÖNTEMİNİN ADSORPSİYON HİZINA VE AKTİF KARBON SIVI FAZ TEMAS YÜZEY ALANINA ETKİSİNİN ARAŞTIRILMASI**

Çalışmanın bu bölümünün son aşamasında, hemoperfüzyon kolonunun üç parçası, sırasıyla, I. kolon 40 dakika, II. kolon 41 dakika, III. kolon 119 ve II. kolon tekrar 40 dakika olmak üzere sisteme teker teker bağlanıp çıkarılmış ve elde edilen sonuçlar zamana (*t*) karşı [*F(C<sub>g</sub>-C<sub>c</sub>)*] ve (*X/M*) grafığı olarak Şekil 4.77 ve 4.78'de sunulmuştur. Şekillerde görüldüğü gibi, taze aktif karbon ile doygun kolondaki aktif karbon performansları arasında, bekleniği gibi, önemli farklılıklar olup, I., II. ve III. kolonlarda (*X/M*) değerleri sırasıyla 15.75, 10.28 ve 10.44 mg kreatinin/gram A.K., değerine kadar ulaşmaktadır. Şekil 4.79'da söz konusu kolon bağlama yöntemi ile üç kolonun sisteme tek seferde seri olarak bağlandığı durum karşılaştırılmış ve kolon parçalarını teker teker bağlamanın, başlangıç adsorpsiyon hızında düşme yarattığı gözlenmiştir.

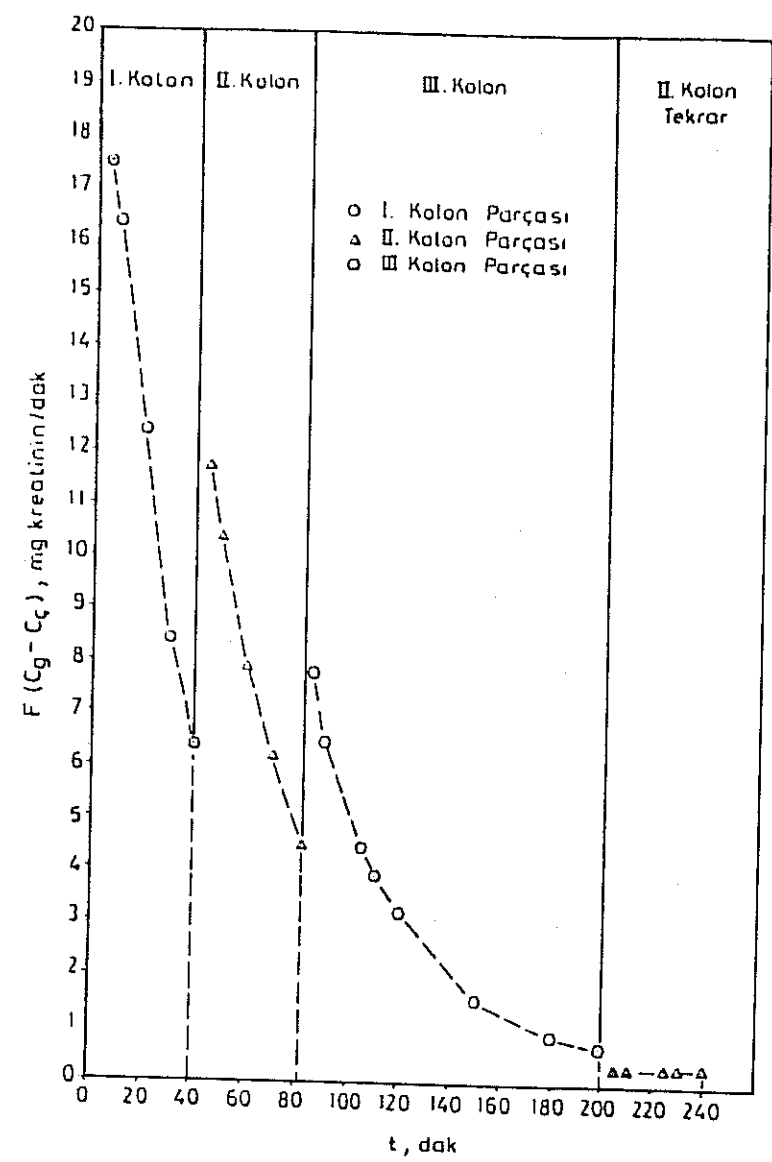


Şekil 4.75. Sulu Fazda, Kapalı Devreli Dolaşımlı Sistemde, Kolon Parçalarında  
Birim Aktif Karbon Miktarı Başına Adsorplanan Kreatinin Miktarının  
( $X/M$ ) Zamanla ( $t$ ) Değişimi, % 0.4 Selüloz Nitratla Kaplanmış Bac  
Mu®.

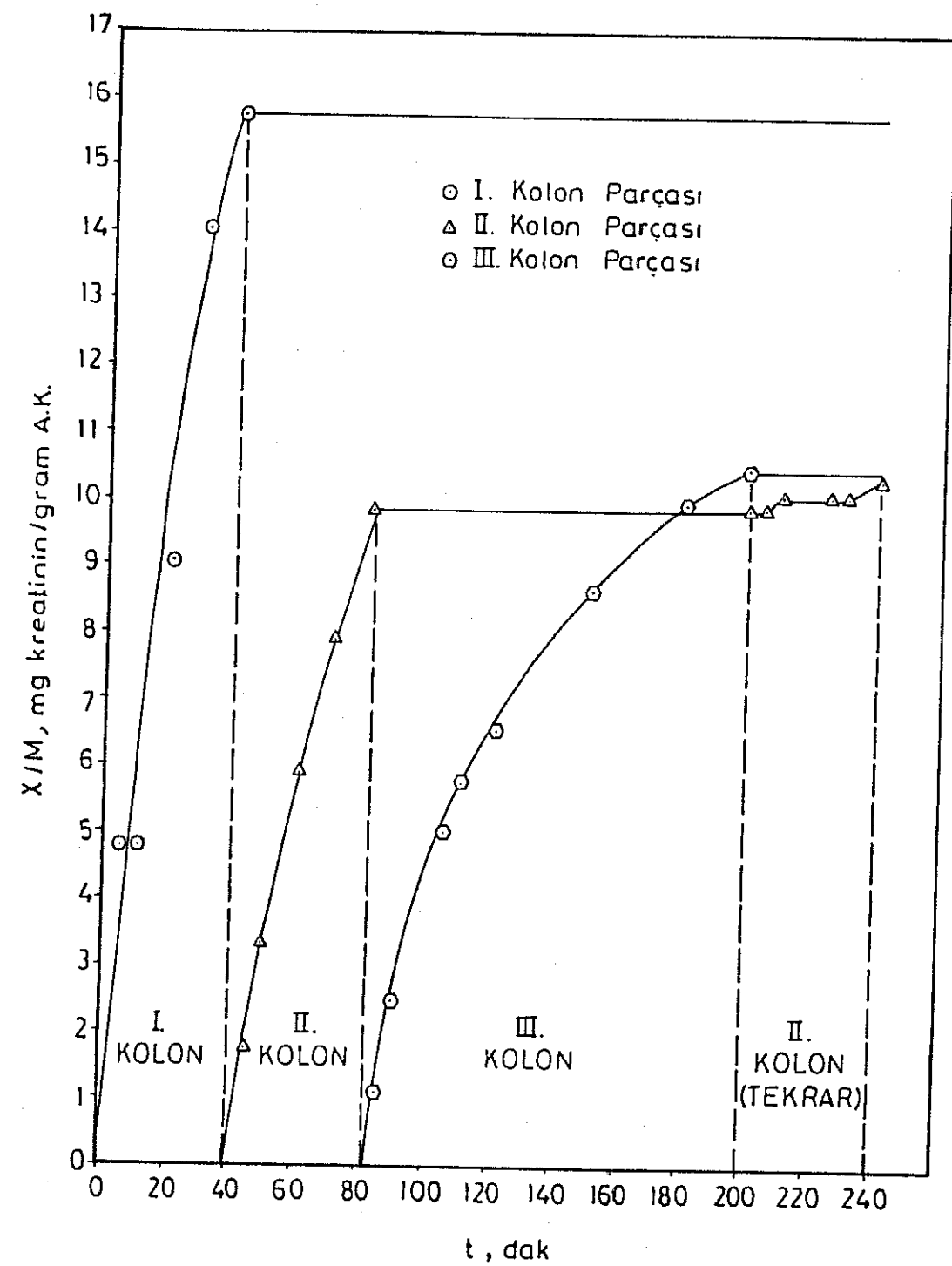


Şekil 4.76. Sulu Fazda, Kapalı Devrelî Dolaşım Sisteme, Kreatinin Konsantrasyonunun (C) Kolon Boyunca (L) Değişimine Zamanın Etkisi.

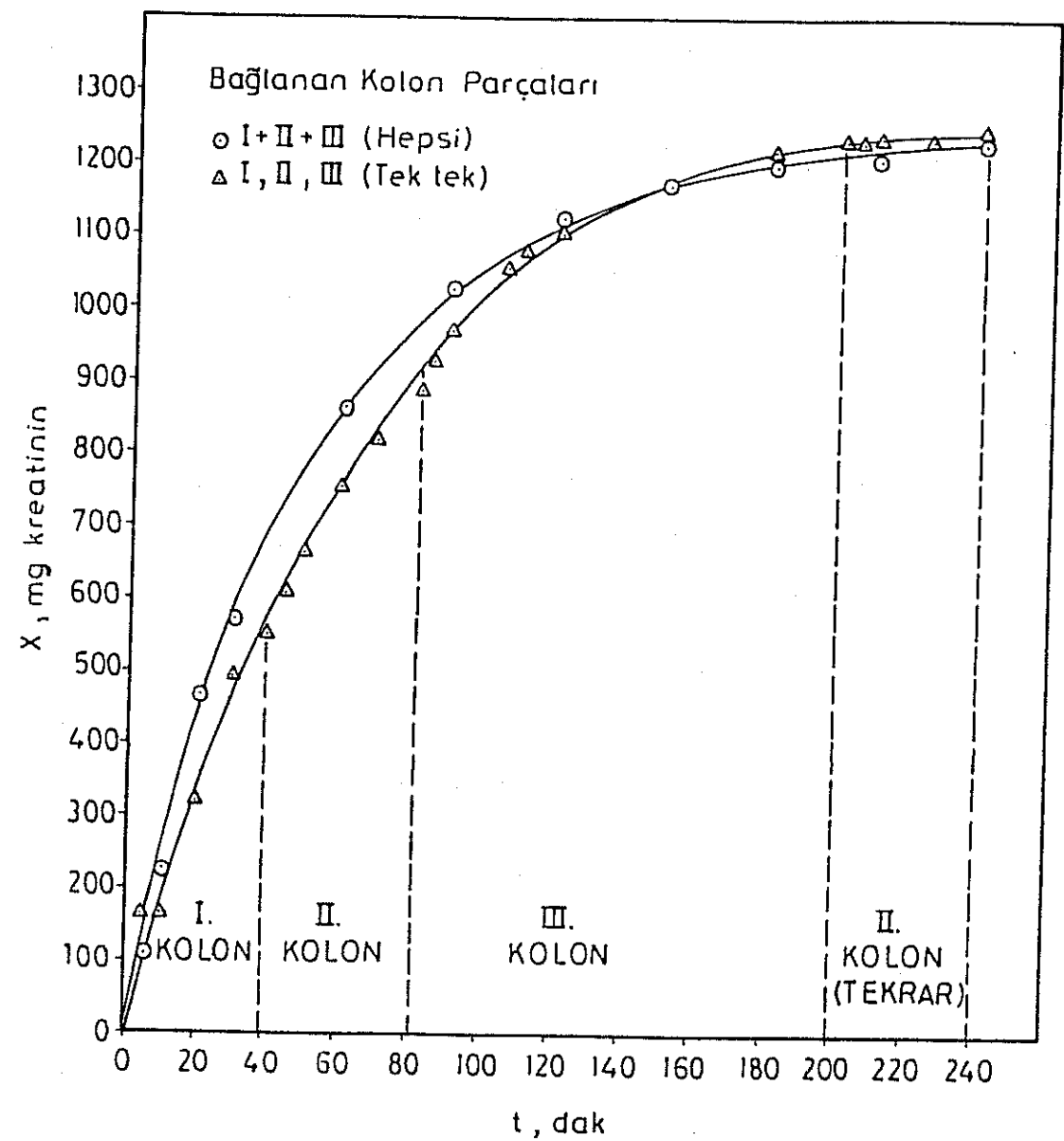
Bu etkinin daha kuvvetli olarak vurgulanabilmesi için üç kolon parçasının sisteme tek seferde (seri) bağlandığı durum ile teker teker bağlandığı durum Şekil 4.80'de şematize edilerek tekrar karşılaştırılmıştır. Buna göre, parçaları teker teker bağlamak, başlangıç adsorpsiyon hızında düşme yaratmaktadır. Ancak, başlangıçtaki adsorpsiyon hızından bir miktar fedakarlık yapılmasıyla da daha önemli bir avantaj elde edilmektedir. Bu avantaj, çözeltinin (kan) temas ettiği adsorban toplam yüzey alanının, uygulanan yöntemle Üçte biri indirilmesidir. Başka bir ifadeyle, toplam adsorpsiyon hızı önemli oranda değişmeden, kan hücresel eleman kaybına neden olabilecek yabancı yüzey alanı, parçalı kolon kullanma durumunda 1/3 oranında azaltılabilir.



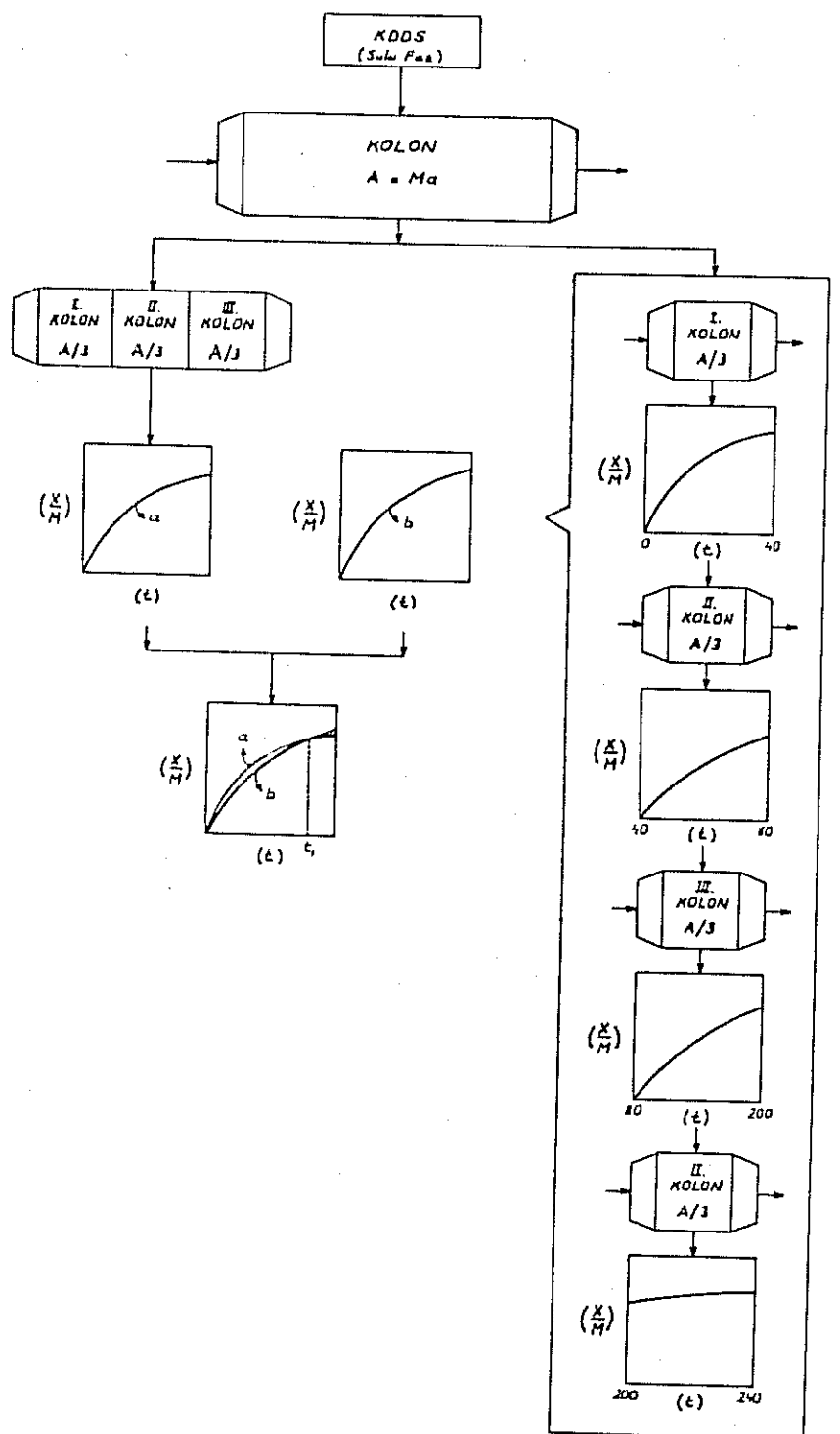
Şekil 4.77. Sulu Fazda, Kapalı Devrelî Dolaşımlı Sistemde, Kolon Parçalarının  
Teker Teker Bağlandığı Durumda, Herbir Kolon Parçasında Adsorbs-  
lanan Kreatinin Miktarının  $|F(C_g - C_c)|$  Zamanla ( $t$ ) Değişimi, % 0.4  
Sefüloz Nitratla Kaplanmış Bac Mu®.



**Şekil 4.78.** Sulu Fazda, Kapalı Devreli Dolaşımlı Sistemde, Kolon Parçalarının  
Teker Teker Bağlandığı Durumda, Herbir Kolon Parçasında Birim  
Aktif Karbon Miktarı Başına Adsorplanan Kreatinin Miktarının  
(X/M) Zamanla (t) Değişimi, % 0.4 Setüloz Nitratla Kaplanmış Bac  
Mu®.



Şekil 4.79. Sıvı Fazda, Kapalı Devreli Dolaşımı Sistemde, Adsorplanan Toplam Kreatinin Miktarının ( $X$ ) Zamanla ( $t$ ) Değişimine, Kolon Bağlama Yönteminin Etkisi, % 0.4 Setüloz Nitratla Kaplanmış Bac Mu®.



Şekil 4.80. Kolon Bağlama Yöntemlerinin Karşılaştırılması, % 0.4 Seubioz  
Nitratlı Kaplanmış Bac Mu<sup>®</sup>.

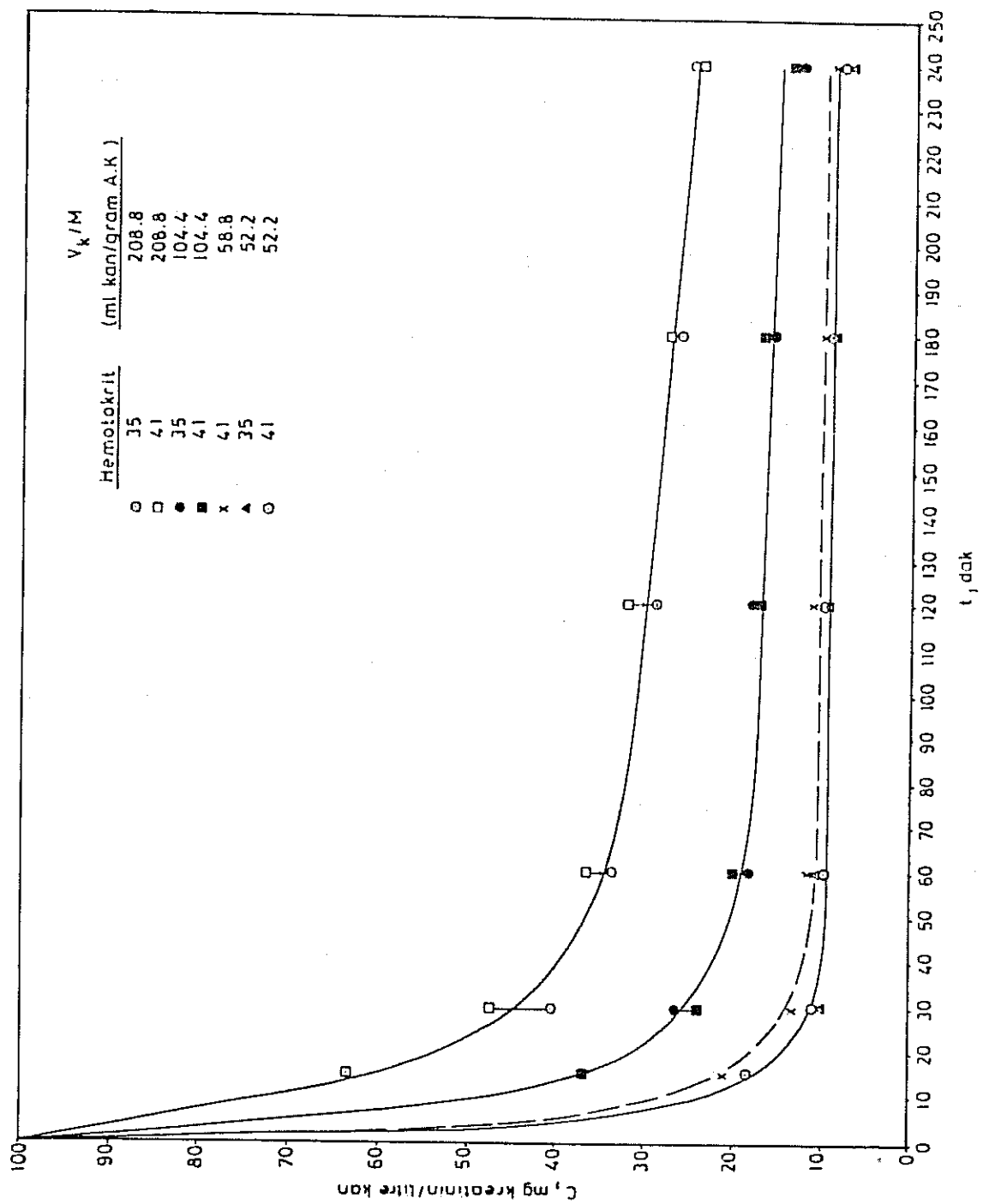
#### 4.4.2. IN-VITRO KAN DENEYLERİ

Buraya kadar olan bölümlerde sulu çözeltilerle çalışılmış, kolon ve sistem parametreleri incelenerek tasarıma etki eden önemli faktörler ortaya çıkarılmıştır. Ancak, hemoperfüzyon sistemi, kandan toksik maddelerin adsorpsiyon yoluyla uzaklaştırılmasında kullanılır ve sudan oldukça farklı akış özelliklerine sahip kan ortamında kolon performansının değişimi yanında, kolon özelliklerinin kana etkisinin de araştırılması, tıbbi cihaz ve tescilinde hem gerekli, hem de kanuni zorunluluktur. Bu noktadan hareketle, araştırmancın bu bölümünde heparinize edilmiş hayvan ve insan kanı kullanılarak, kesikli karıştırmalı ve kapalı devreli dolaşım sistemlerinde bir seri çalışma yapılmıştır.

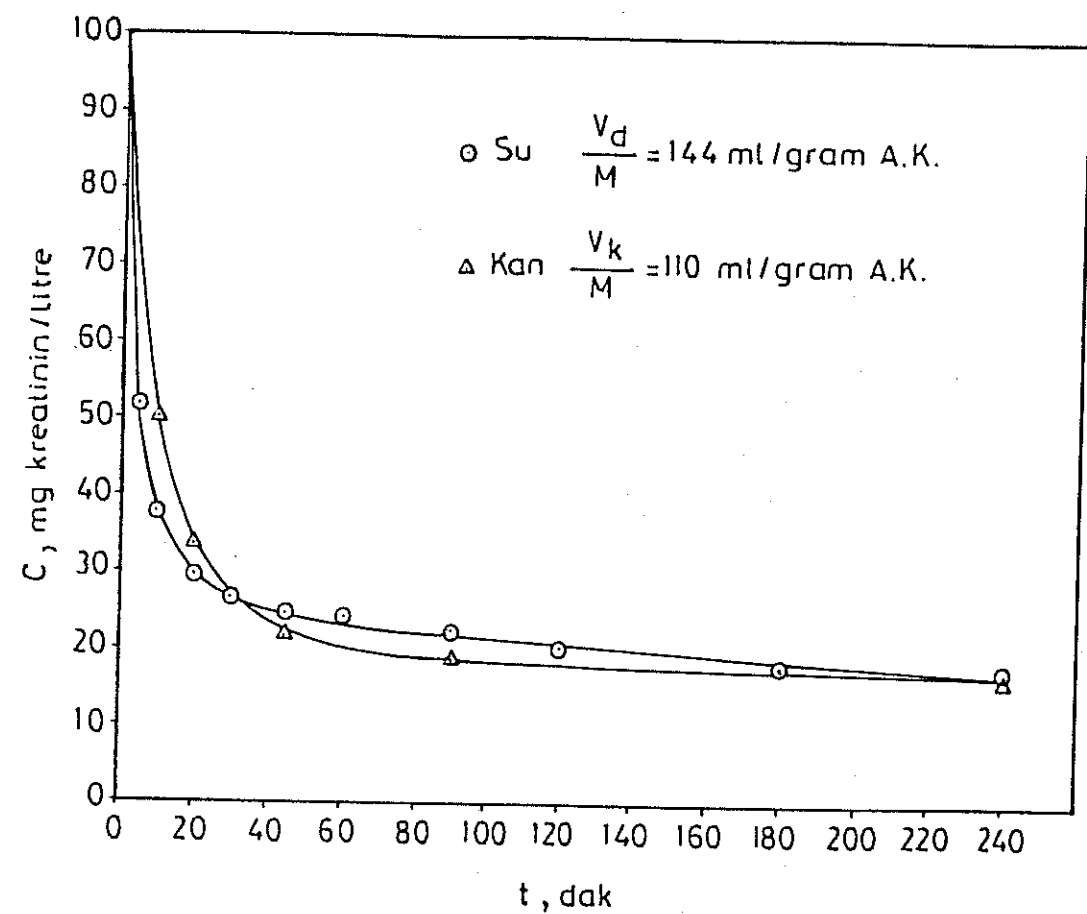
##### 4.4.2.a. KESİKLİ KARIŞTIRMALI SİSTEMLERDE KAN DENEYLERİ

Kesikli karıştırmalı sisteme adsorpsyonun incelendiği bu grup çalışmada Bölüm 3.2.4.b'de verilen yöntem izlenerek elde edilen deney sonuçları Şekil 4.81'de sunulmuştur. Burada zamana ( $t$ ) karşı kesikli karıştırmalı sisteme kreatinin konsantrasyonu ( $C$ ) grafигe geçirilmiştir. Şekilde görüldüğü gibi adsorpsyon birim aktif karbon miktarı başına kullanılan kan hacminin ( $V_k/M$ ) artmasıyla hızlanmaktadır. Ancak Çizelge 4.14'de görüldüğü gibi  $V_k/M$  nin artmasıyla 240 dakikada birim aktif karbon miktarı başına adsorplanan izleyici miktarı,  $(X/M)_{240}$ , azalmaktadır. Başka bir ifadeyle, sulu çözeltilerle ilgili bölümlerde de tartışıldığı gibi, adsorban kullanımı verimsizleşmektedir.

Bu noktada sulu çözelti deneyleri ile kan deneylerini karşılaştırmak amacıyla Şekil 4.82 hazırlanmıştır. Şekilde, birim aktif karbon miktarı başına kullanılan kan miktarı,  $V_k/M = 110 \text{ ml/gram}$  aktif karbon olan bir adsorpsiyon eğrisi ve



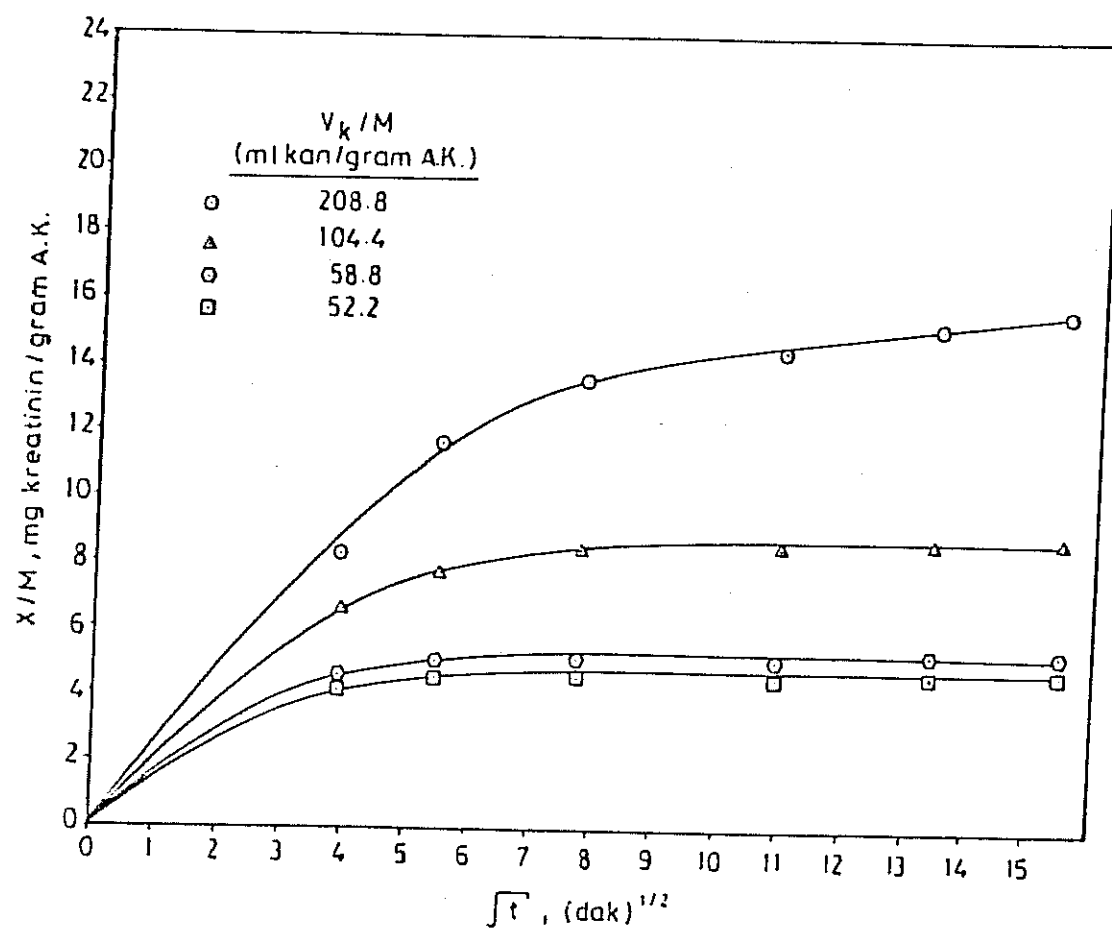
Şekil 4.81. Kesikli Karıştırma Sisteme Kan Fazında (In-Vitro), Kreatinin Kon-  
santrasyonunun ( $C$ ) Zamanla ( $t$ ) Değişimine, Birim Aktif Karbon  
Miktarı Başına Kullanılan Kan Miktarının ( $V_k/M$ ) Etkisi, % 0.4 Selüloz  
Nitratla Kaplanmış Bac Mu®.



Şekil 4.82. Kesikli Karıştırma Sistemlerde Kan-Su Fazlarının Eşit Adsorpsiyon Kapasitesine ve Hızına Ulaştıkları, Birim Aktif Karbon Miktarı Başına Kullanılan Sıvı Faz Miktarlarında ( $V_d, k/M$ ) Kreatinin Konsantrasyonunun (C) Zamanla (t) Değişimi, % 0.4 Sefüloz Nitratla Kaplanmış Bac Mu®.

Çizeğe 4.14. Kan In-Vitro Kan Deneyselinde Kullanılan Kesikli Karıştırma Sistemlerde Adsorplanan Kreatinin Miktarları, (t= 240 dak).

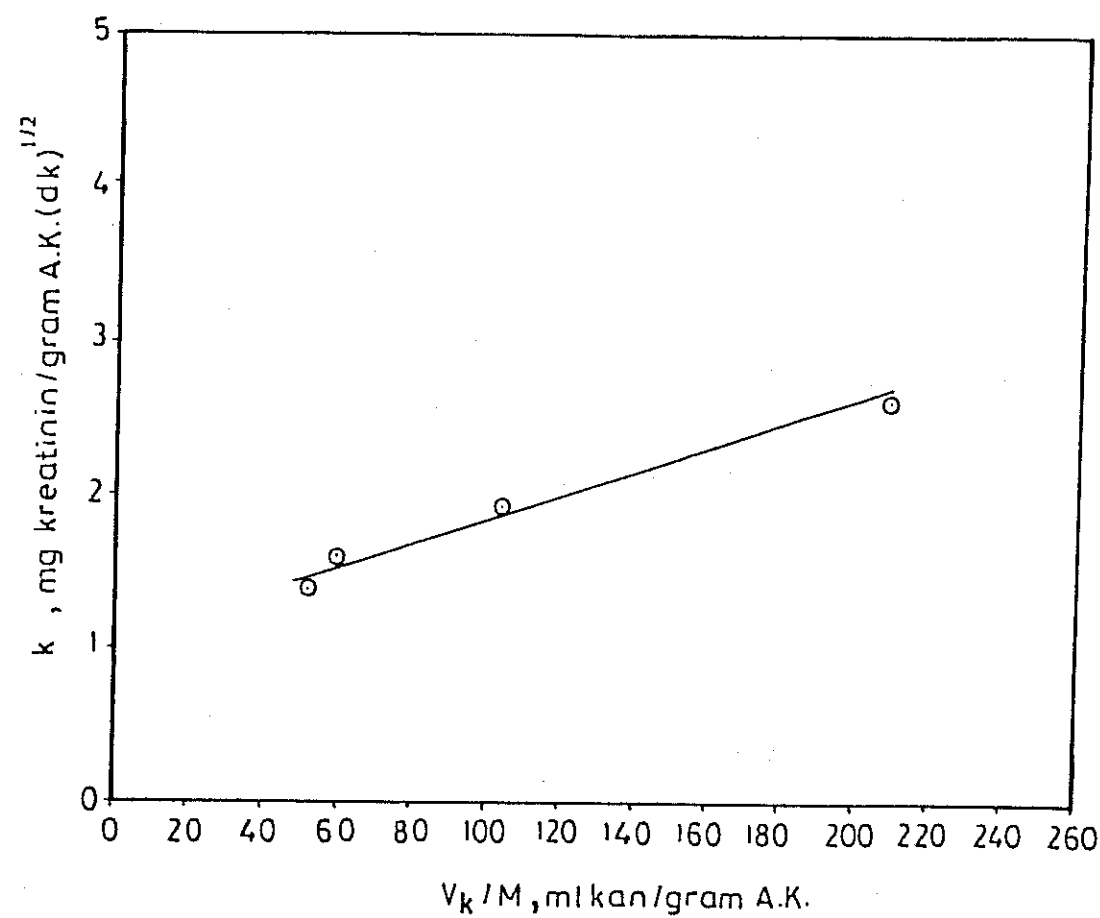
No	$V_k$ (ml)	M (g)	$V_k/M$ (ml/g A.K.)	$(X/M)_{240}$ (mg/g A.K.)
1	100	0.48	208.8	15.76
2	100	0.96	104.4	9.03
3	100	1.70	58.8	5.35
4	100	1.92	52.2	4.80



Şekil 4.83. Kan Fazında (In-Vitro), Kesikli Karıştırmalı Sistemde Birim Aktif Karbon Miktarı Başına Adsorplanan Kreatinin Miktarının ( $X/M$ )  
Zamanla ( $t^{1/2}$ ) Değişimine Birim Aktif Karbon Miktarı Başına  
Kullanılan Kan Miktarının ( $V_b/M$ ) Etkisi, % 0.4 Selüloz Nitrat  
Kaplanmış Bac Mu®.

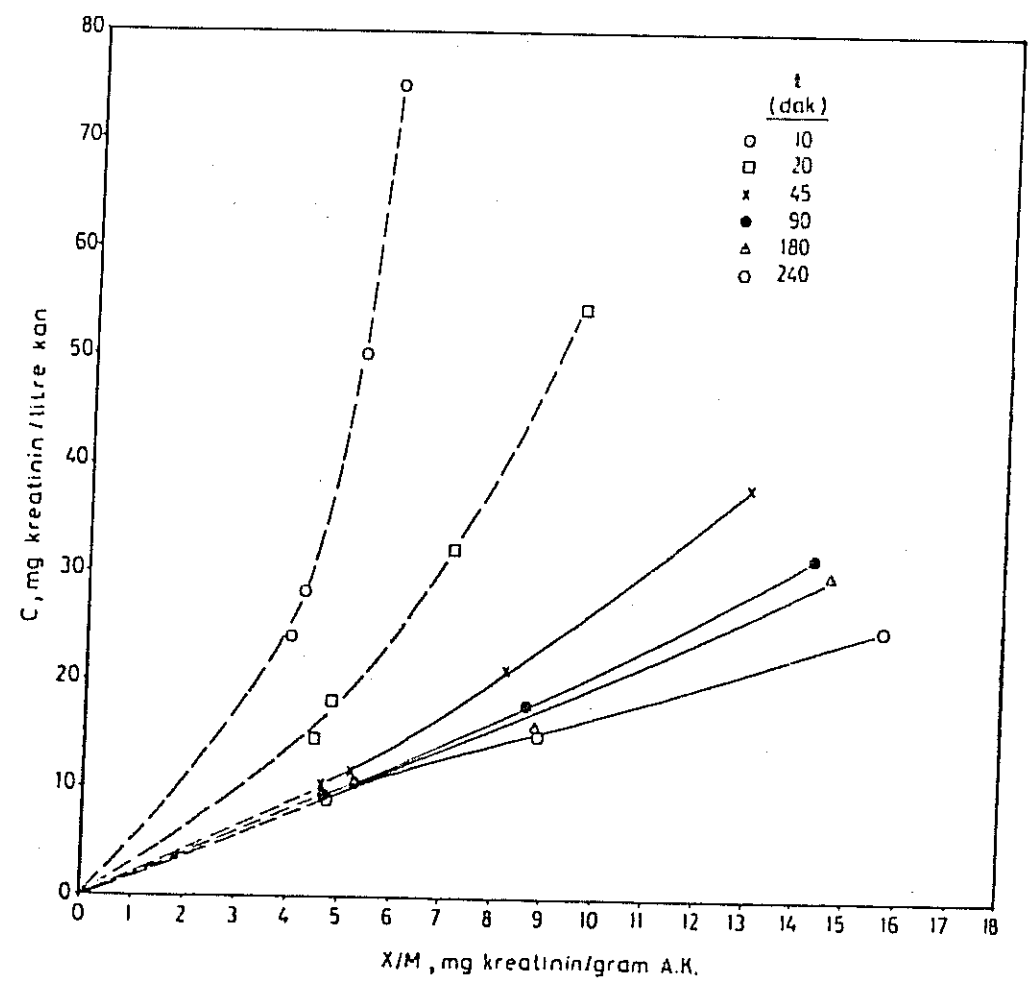
ayrıca  $V_d/M$  değeri 144 ml/ gram aktif karbon olan ve sulu çözelti ile çalışan bir kesikli karıştırmalı sistemin adsorpsiyon eğrisi verilmiştir. Göründüğü gibi  $V_d/M$  değerleri uygun olarak ayarlandığında sulu veya kan fazındaki adsorpsiyon eğrileri çakışmaktadır. Bu iki adsorpsiyon eğrisine ait  $V_k/M$ 'nin  $V_d/M$  değerlerine oranı "Sıvı Faz Değişim Katsayısı"  $\gamma=0.76$  olup, aşağıda Weber yönteminin sonuçları verilirken tartışılan gibi bu değer tüm adsorpsiyon izotermelerine mal edilebilir.

Kanla kesikli karıştırmalı sistemde yapılan adsorpsiyon deneyleri, adsorpsiyon hızı  $k'$ yi adsorpsiyon eğrisinin başlangıçtaki doğrusal kısmının eğimiyle karakterize eden Weber yöntemiyle de irdelenmiştir. Buna göre Şekil 4.83'de



Şekil 4.84. Kan Fazında (In-Vitro), Kesikli Karıştırılmış Sistemde Adsorpsiyon Hızının ( $k$ ) Birim Aktif Karbon Miktarı Başına Kullanılan Kan Miktarıyla ( $V_k/M$ ) Değişimi, % 0.4 Sefüloz Nitrat Kaplanmış Bac Mu®.

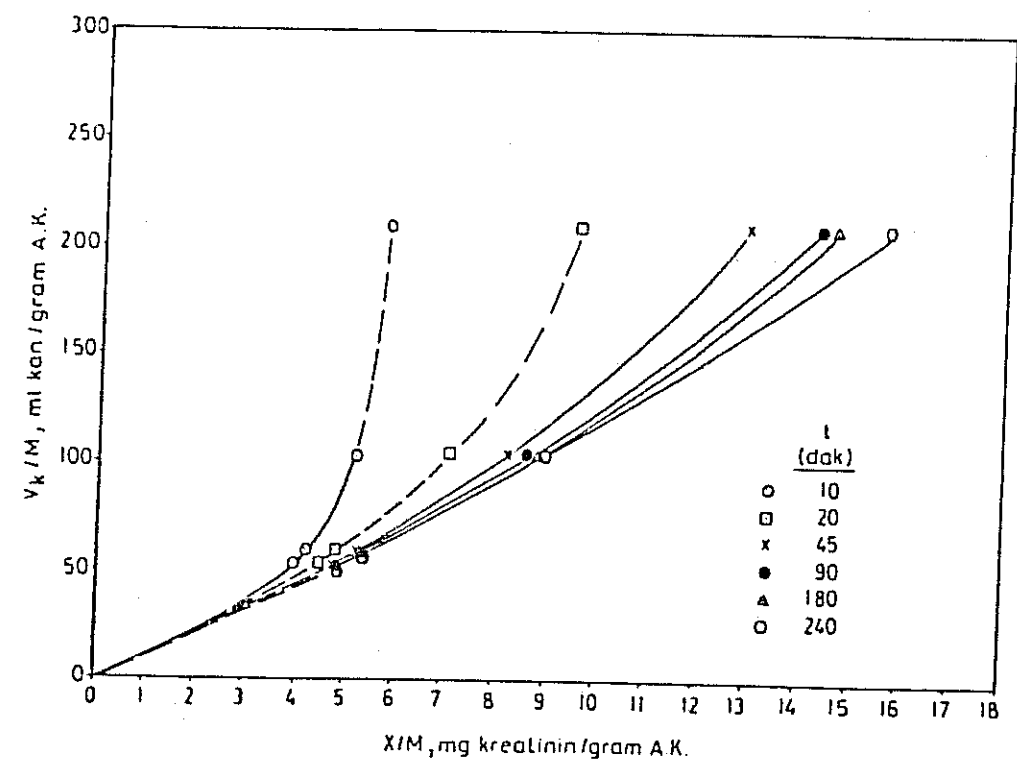
$(t)^{1/2}$  ye karşı  $(X/M)$  değerleri çizilmiş ve hesaplanan  $k$  değerleri Şekil 4.84 'de  $(V_k/M)$ 'ya karşı grafiğe alınmıştır. Bu sonuçlarda yine sulu faza ait deney sonuçları ile karşılaştırılabilir. Sulu faza ait  $V_d/M$  değerine karşı  $k$  grafiginde elde edilen doğrunun eğimi  $7.7 \times 10^{-3}$  dır. Şekil 4.84'deki kanla yapılan deneylere ait aynı değer ise  $8.7 \times 10^{-3}$  dır. Bu iki değerin birbirine çok yakın hatta eşit olduğu kabul edilebilir. Dolayısıyla daha önce birbiriyile çakışan adsorpsiyon izotermlerinin de gösterdiği gibi, sulu faz ve kan fazı kesikli karıştırılmış deneylerinde  $V_k/M$ 'nin  $V_d/M$ 'ye oranı olan sıvı faz değişim katsayısı  $\gamma$  sabittir ve bütün koşullarda uygulanabilir.



Şekil 4.85. Kan Fazında (In-Vitro), Kesikli Karıştırmalı Kreatinin Konsantrasyonunun ( $C$ ) Birim Aktif Karbon Miktarı Başına Adsorplanan Kreatinin Miktarı ( $X/M$ ) ile Değişimine Zamanın ( $t$ ) Etkisi, % 0.4  
Selüloz Nitrat Kaplanmış Bac Mu®.

Şekil 4.81'de ham olarak verilen kan fazında kesikli karıştırmalı sistem adsorpsiyon eğrilerinin, sulu faz deneylerinde Bölüm 4.4.1.a'daki gibi değerlendirilmesi sonucunda Şekil 4.85 ve 4.86'daki grafikler elde edilmiştir. Şekil 4.85'da kesikli karıştırmalı sisteme herhangi bir andaki konsantrasyon değeri, ( $C$ ) birim aktif karbon miktarı başına adsorplanan kreatinin miktarı, ( $X/M$ ) karşıgraflı geçirilmiştir. Burada her eğri ayrı bir zamanına aittir.

Şekil 4.86'de verilen grafikte ise, ( $X/M$ ) değerine karşı ( $V_k/M$ ) değeri yine her eğri ayrı bir ( $t$ ) zamanına ait olacak şekilde sunulmuştur. Her iki grafikten faydalananarak, kesikli karıştırmalı sisteme kreatinin konsantrasyonunu, sulu

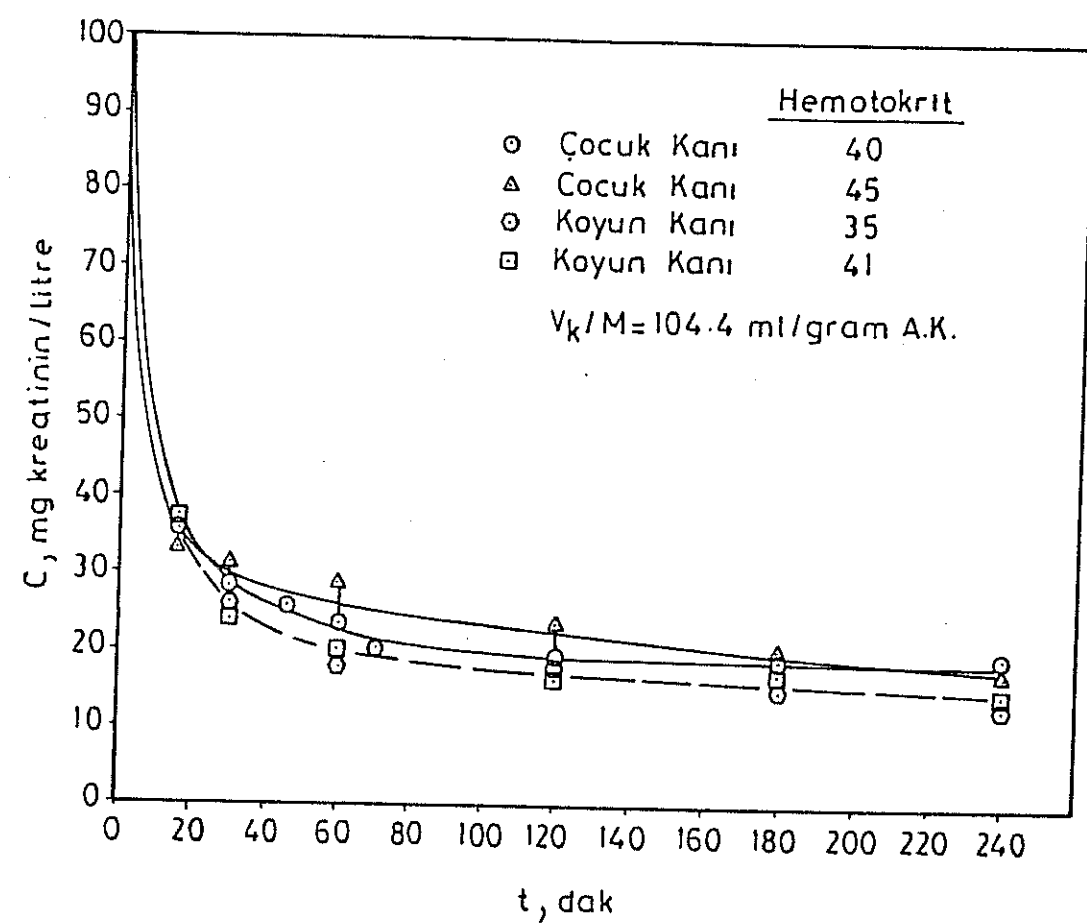


Şekil 4.86. Kan Fazında (In-Vitro), Kesikli Karıştırmalı Sistemde, Birim Aktif Karbon Miktarı Başına Kullanılan Kan Miktarının ( $V_k/M$ ) Birim Aktif Karbon Miktarı Başına Adsorbsiyon Kreatinin Miktarı ( $X/M$ ) ile Değişimine, Zamanın ( $t$ ) Etkisi, % 0.4 Sefüloz Nitrat Kaplanmış Bac Mu<sup>®</sup>.

çözeltilerde olduğu gibi, belirli bir sürede  $C$  değerine düşürecek aktif karbon miktarını hesaplamak veya  $V_k/M$  değeri bilinen bir kesikli karıştırmalı sisteme adsorbsiyon eğrisini zamana karşı oluşturmak mümkündür.

Kullanılan kan türünün farkının gözlenmesi için farklı hemotokrit oranlarına sahip hayvan ve insan kanlarına ait kreatinin adsorbsiyon eğrileri Şekil 4.87 ve 4.88'de verilmiştir.

Genel olarak hem koyun hem insan kanında hemotokrit artışı ile adsorbsiyon hızında düşme görülmektedir. Adsorbsiyon kinetigi açısından koyun kanı ile insan kanı arasında azda olsa bir farklılık göze çarpmaktadır ancak bu konuda bulgu sayısı yeterli olmadığı için kesin bir yorum yapmak mümkün değildir.

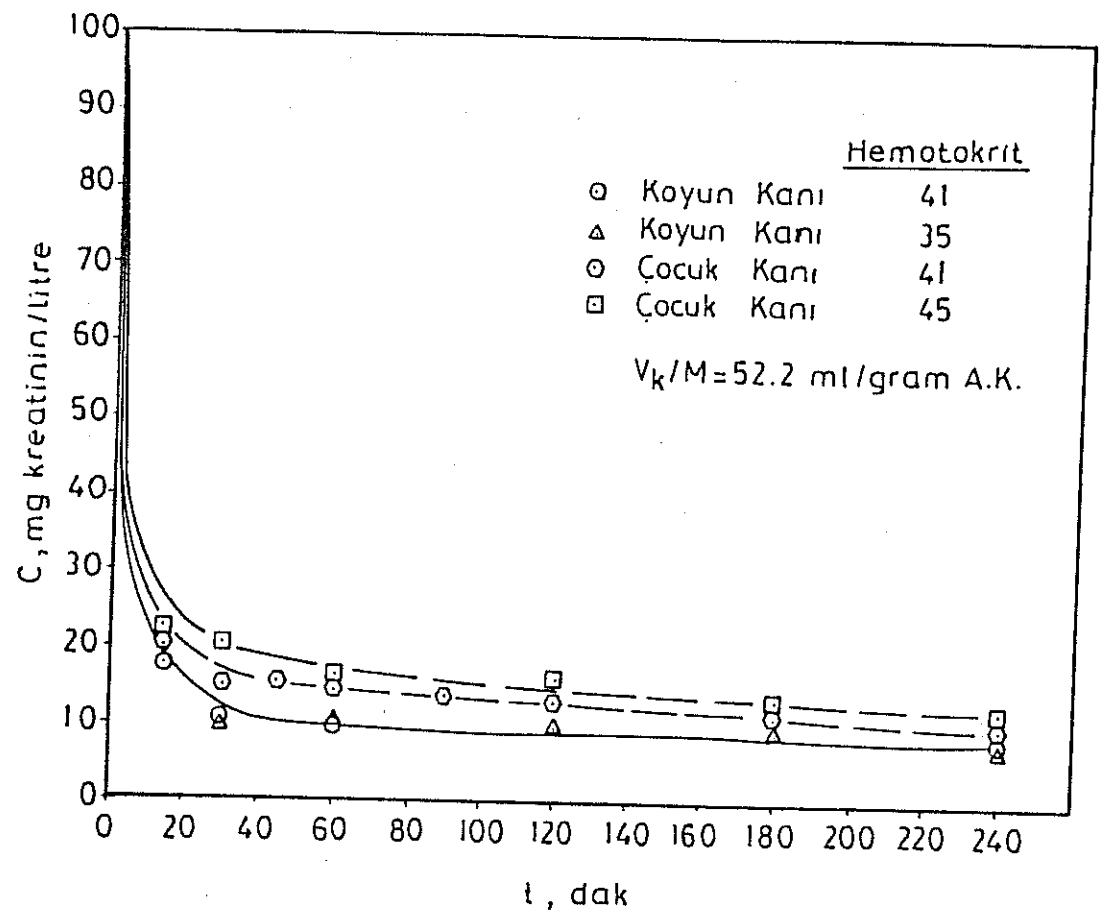


Şekil 4.87. Kan Fazında (In-Vitro), Kesikli Karıştırmalı Kreatinin Konsantrasyonunun (C) Zamanla (t) Değişimine, Hemotokrit ve Kan Türünün Etkisi, % 0.4 Sefüloz Nitrat Kaplanmış Bac Mu®.

#### 4.4.2.b.KAPALI DEVRELİ DOLAŞIMLI SİSTEMDE KAN DENEYLERİ

Bu bölümde yer alan deneyler, izleyici olarak kreatinin ve adsorban olarak da % 0.4 sefüloz nitrat kaplanmış aktif karbon kullanılarak iki farklı kan hacimsel akış hızında ( $F=19$  ve  $46 \text{ ml/dak}$ ) gerçekleştirilmiştir.

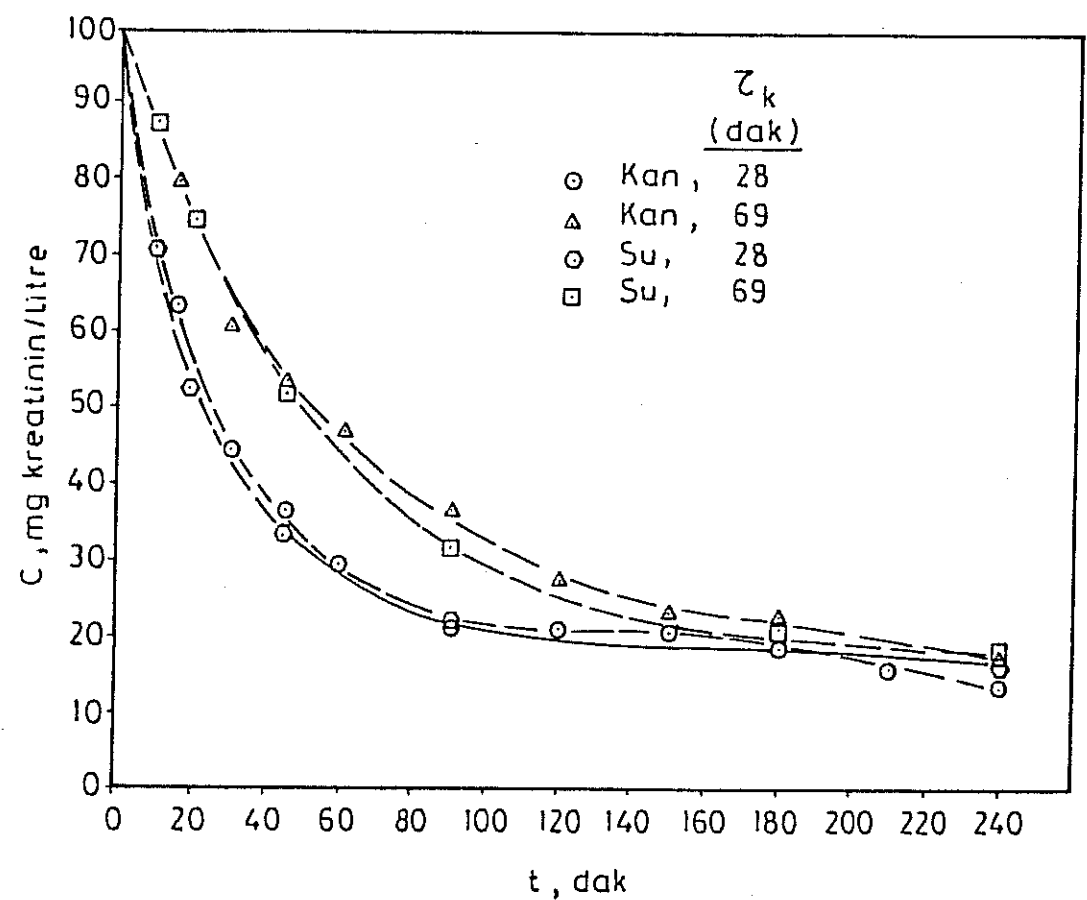
Yukarıdaki kan hacimsel akış hızlarında elde edilen bulguların değerlendirilmesi ile hazırlanan kreatinin konsantrasyonunun (C) zamanla (t) değişim



Şekil 4.88. Kan Fazında (In-Vitro), Kesikli Karıştırmalı Sistemde Kreatinin Konsantrasyonunun (C) Zamanla (t) Değişimine, Hemotokrit ve Kan Türünün Etkisi, % 0.4 Selüloz Nitrat Kaplanmış Bac Mu®.

egrileri, Şekil 4.52-4.53'den oluşturulan,  $t_d$  değerleri 28 ve 69 dakika olan sulu faz kapalı devreli dolaşımlı sistemin adsorpsiyon eğrileri ile birlikte, Şekil 4.89'da grafiğe geçirilmiştir.

Burada kesikli karıştırmalı kaplarda olduğu gibi kan deneyleri ile sulu faz deneyleri arasında aynı ilişki gözlenmektedir. Her iki sistemde çizgisel hızlar ve ana depo sıvı faz alikonma süreleri sabit alınıp adsorpsiyon eğrileri çakıştırıldığında, kan fazına ait  $V_k/M$  değerinin, sulu faza ait  $V_d/M$  değerine oranının, (sıvı faz değişim katsayısı,  $\gamma$ ), 0.76 olduğu bulunmuştur. Dolayısıyla sulu fazda elde edilen verilerden faydalananarak kan fazında da aynı adsorpsiyon kapasitesine ve hızına sahip olan kolonun tasarımasına



Şekil 4.89. Kapalı Devrelî Dolaşımı Sistemde Su ve Kan Fazlarındaki (In-Vitro) Kreatinin Konsantrasyonunun (C), Zamanla (t) Değişimi.

geçilebilir. Bu amaçla su ve kan fazlarındaki  $U$  (veya  $U_k$ ) ve  $\tau_d$  (veya  $\tau_k$ ) değerleri eşit alınmalıdır. Ayrıca kan fazındaki  $V_k/M$  değerinin saptanması için sulu faz  $V_d/M$  değeri sıvı faz değişim katsayısı  $\gamma$  ile çarpılmalıdır.

#### 4.42.c. KOLONDA KAN HÜCRE KAYBI VE KOLON ÇAPı OPTIMIZASYON DENEYLERİ

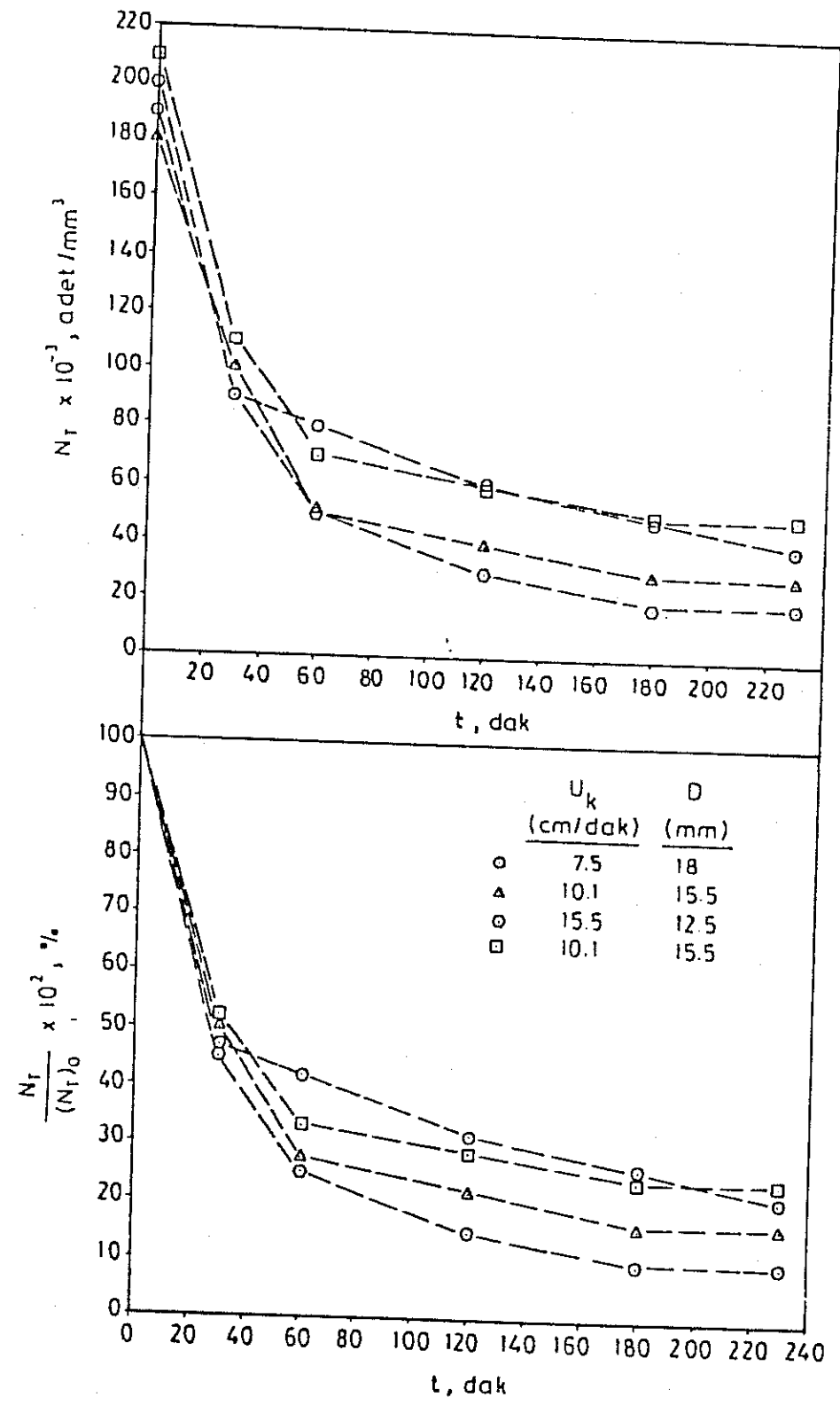
Bu bölümde kadar hemoperfüzyon kolonlarıyla kapalı devrelî dolaşımı sisteme yapılmış adsorpsiyon deneyleri,  $U$ ,  $\tau_k$ ,  $V_k/M$  parametrelerinin uygun şekilde kullanılmasıyla hem sulu fazda hemde kan fazında istenilen adsorpsiyon hız ve kapasitesine ulaşılabileceği göstermiştir. Buna göre  $\tau_k$  ve  $V_k/M$  değeri küçüldükçe,  $U$  değeri ise arttıkça daha yüksek adsorpsiyon hızlarına

çıkıtabilmektedir. Adsorpsiyon miktarı ( $X$ ) ise,  $V_k/M$  oranına bağlı olup, kullanılan aktif karbon miktarı ile orantılı olarak artarken, birim aktif karbon başına adsorplanan kreatinin miktarında ( $X/M$ ) düşme gözlenir. Daha önceki bulgulardan elde edilen bu genel sonuçlar göz önüne alındığında, bir hemoperfüzyon kolonunu mümkün olduğu kadar dar kesitli, sistemdeki çözelti hacimsel akış hızını ise, mümkün olduğu kadar yüksek tutmak gerektiği ortaya çıkmaktadır. Ancak, kanda bulunan hücresel elemanlar, (trombosit, lökosit, eritrosit), hemoperfüzyon kolonlarında ulaşılan yüksek çizgisel akış hızlarında önemli oranda kayıp ve deformasyona uğrayarak çeşitli komplikasyonlara neden olduğuna dikkat edilmelidir. Kolon çapı hesabından göz önüne alınması gereken üçüncü kriter ise kanın temas ettiği yüzey alan ve bu yüzeye temas süresidir.

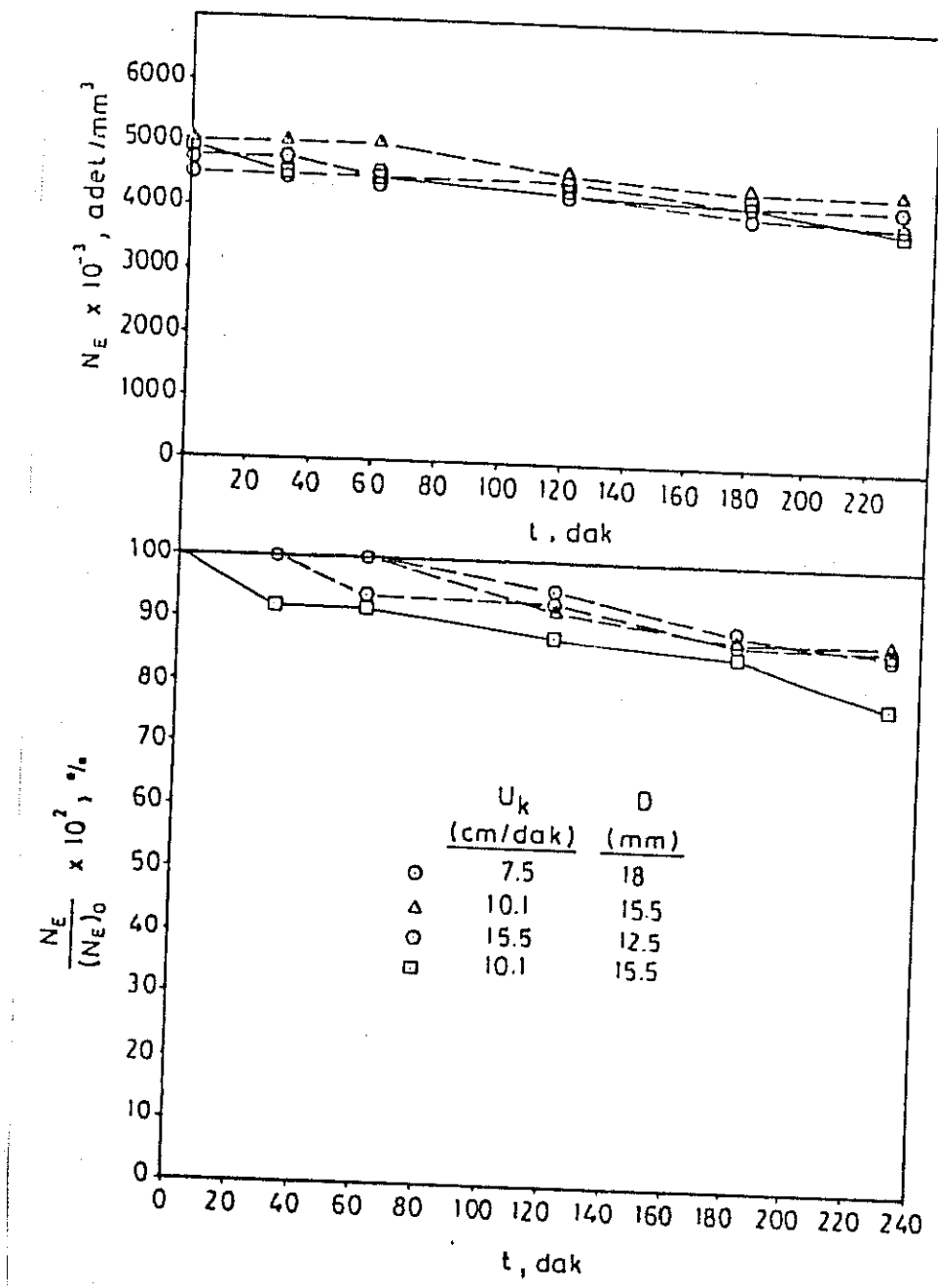
Tüm bu verilerin ışığı altında Çizelge 4.15'de boyutları verilen mini sistem ve kolonlarda boş kolonda kan çizgisel akış hızının, ( $U_k$ ), kan hücresel eleman kaybına etkisi incelenmiş ve sonuçlar Şekil 4.90-4.92'de hem sayısal hemde yüzde olarak verilmiştir.

**Çizelge 4.15. Kolon Çapı Optimizasyon Deneylerinde Kullanılan Kolon ve Sistemler.**

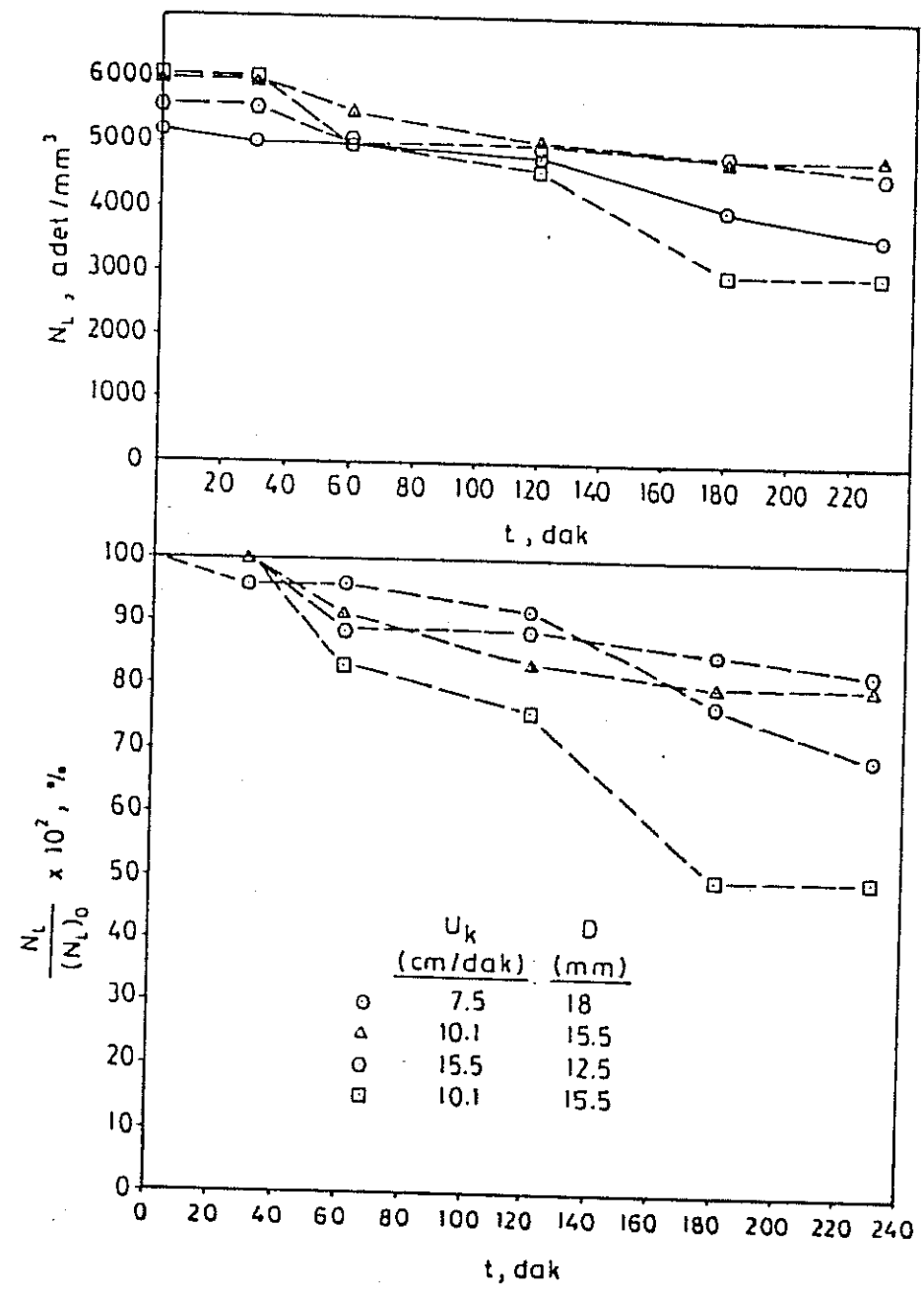
Sistem	D (mm)	L (mm)	S (cm <sup>2</sup> )	F (ml/dk)	U <sub>k</sub> (cm/dk)	M (g)	t <sub>k</sub> (dk)	V <sub>k</sub> (ml)	V <sub>k</sub> /M (ml/g)
Mini	18.0	77	2.54	19	7.5	8.6	16.6	316	36.7
Mini	15.0	103	1.76	19	10	8.6	16.6	316	36.7
Mini	12.5	155	1.23	19	15	8.6	16.6	316	36.7



Şekil 4.90. Kan Fazında (In-Vitro), Kesikli Karıştırma Sistemlerde Trombosit Sayısının ( $N_t$ ) Zamanla ( $t$ ) Değişimi.



Şekil 4.91. Kan Fazında (In-Vitro), Kesikli Karıştırma Sistemlerde Eritrosit Sayısının ( $N_E$ ) Zamanla ( $t$ ) Değişimi.



Şekil 4.92. Kan Fazında (In-Vitro), Kesikli Karıştırma Sistemlerde Lökosit Sayısının ( $N_L$ ) Zamanla ( $t$ ) Değişimi.

Sekil 4.90'da % 0.4 selüloz nitrat kaplanmış aktif karbon dolgulu kolonlarda boş kolonda kan çizgisel akış hızı,  $U_k$ , ile trombosit kaybının arttığı ve en yüksek trombosit kaybının (% 50) ilk 30 dakika içinde meydana geldiği görülmektedir.

Burada dikkat çeken önemli bir nokta, trombosit kaybının boş kolonda da yüksek çıkması ve dolu kolonla aralarında % 10 civarında bir fark olmasıdır.

Yani kullanılan selüloz nitrat kaplanmış aktif karbonun kanla uyusabilirligi oldukça yüksek olup, bundan kaynaklanan trombosit kaybı sadece % 10'dur.

Sekil 4.91 ve 4.92'de de % 0.4 selüloz nitrat kaplanmış aktif karbon dolgulu kolonlarda boş kolonda kan çizgisel akış hızı,  $U_k$ , değişimi ile meydana gelen eritrosit ve lökosit kayıpları grafiğe alınmıştır. Buna göre kolonlarda meydana gelen kayıplar arasında büyük farklılıklar ve kan çizgisel akış hızına bağlı somut bir değişim eğilimi tespit edilememiştir. Ancak, boş kolonda görülen yüksek eritrosit ve lökosit kaybı bu hücrelerin trombositlerden farklı bir mekanizma ile parçalandığını göstermektedir.

Cizelge 4.15'de verilen mini sistemlere daha önce açıklanan boyut büyütme işlemi uygulanarak ulaşılan orjinal boyutlu hemoperfüzyon kolon ve sistemleri Cizelge 4.16'da verilmiştir. Bunlar arasından 2 nolu sistemdeki orjinal kolon boyutu aşağıda verilen özellikleri ve çalışmada elde edilen bulgular göz önüne alınarak "Hemoperfüzyon Kolonu" olarak seçilmiştir. Normal koşullarda vücut dışında dolaştırılabilen en yüksek kan hacimsel akış hızı 300 ml/dakika olup, kanın vücutta alıkonma süresi ( $t_k = 5000 / 300 = 16.67$  dakika) 2 nolu kolonun  $t_k$  değerine eşittir. Bu  $t_k$  değerinde,  $U_k = 10$  cm/dak ve  $V_k/M = 36.7$  ml/gram aktif karbon olduğunda (bu  $V_k/M$  değeri 15 litrelilik ekstraselüler hacim göz önüne alındığında 110 ml/gram aktif karbon değeri ile eşdegerdedir) aktif karbondan kaynaklanan kan hücresel eleman kaybı % 10 gibi kabul edilebilir bir düzeyde

kalmaktadır. Adsorpsiyon hızı açısından, 10 cm/dak'lık çizgisel akış hızında önemli bir kayıp oluşmamaktadır.

**Çizelge 4.16. Kolon Çapı Optimizasyon Deneylerinde Kullanılan Mini Sistemlerden Boyut Büyütme Yöntemi ile Elde Edilen Orjinal Hemoperfüzyon Kolon ve Sistem Boyutları**

No	Sistem	D (mm)	L (mm)	S (cm <sup>2</sup> )	F (ml/dk)	U <sub>k</sub> (cm/dk)	M (g)	τ <sub>k</sub> (dk)	V <sub>k</sub> (ml)	V <sub>k/M</sub> (ml/g)
Orjinal	Mini	18.0	77	2.54	19	7.5	8.6	16.60	316	36.7
	Orjinal	72.0	77	40.00	300	7.5	136.0	16.67	5000	36.7
	Orjinal	72.0	77	40.00	200	5.0	136.0	25.00	5000	36.6
Orjinal	Mini	15.0	103	1.76	19	10.0	8.6	16.60	316	36.7
	Orjinal	62.0	103	30.00	300	10.0	136.0	16.67	5000	36.7
	Orjinal	62.0	103	30.00	200	6.7	136.0	25.00	5000	36.7
Orjinal	Mini	12.5	155	1.23	19	15.0	8.6	16.60	316	36.7
	Orjinal	50.0	155	20.00	300	15.0	136.0	16.67	5000	36.7
	Orjinal	50.0	155	20.00	200	10.0	136.0	25.00	5000	36.7

## 5. ÖNERİ: YENİ BİR HEMOPERFÜZYON KOLON VE SİSTEM TASARIM YÖNTEMİ

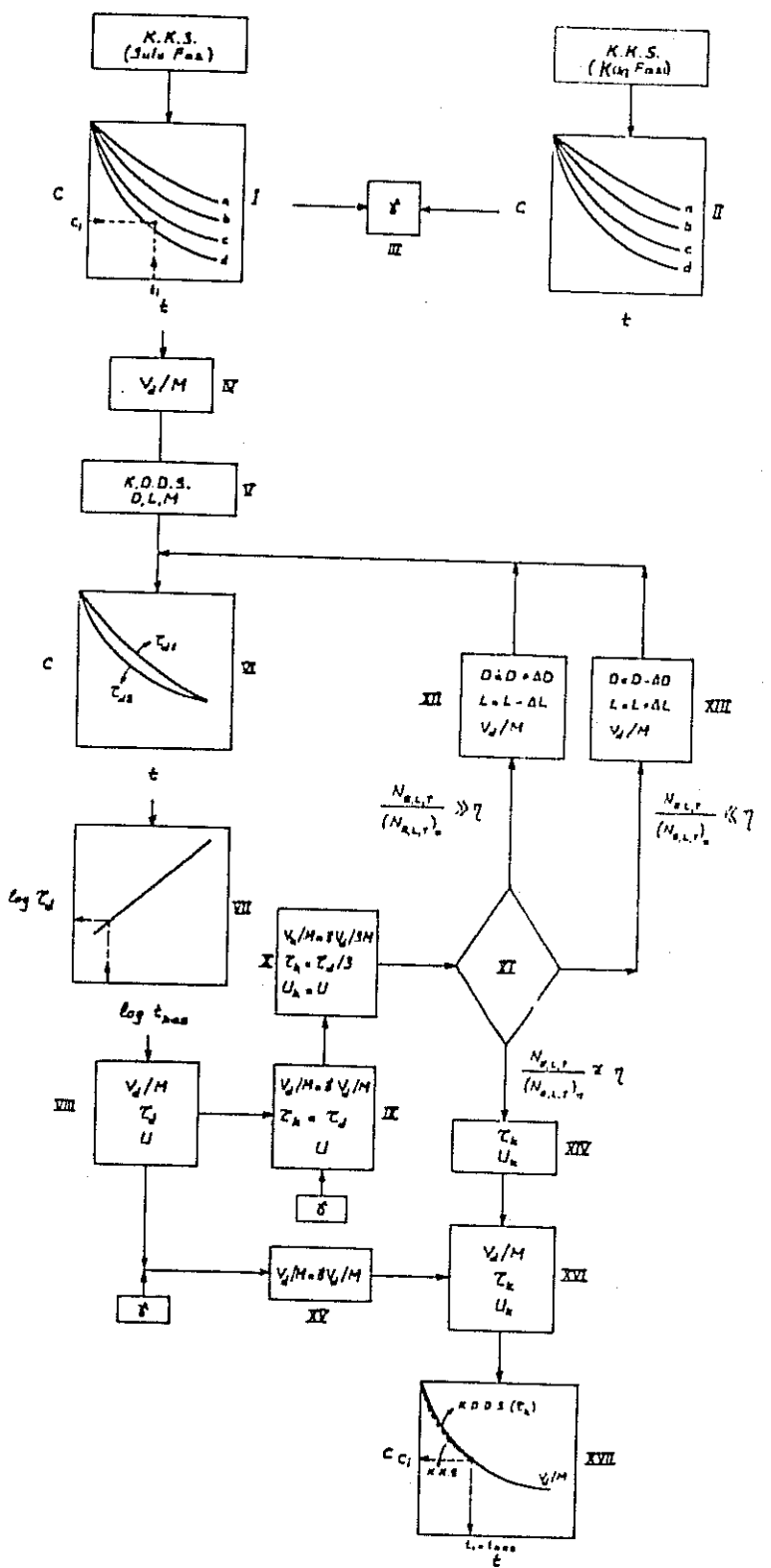
Bu çalışmanın genel sonucu olarak yukarıdaki tüm deney ve ilgili tartışmaların ışığı altında, adsorpsiyon sistemlerinin tasarımında da kullanılabilecek ve aşağıdaki deneysel yöntemler dizisinden oluşturulan yeni bir "Hemoperfüzyon Kolon ve Sistem Tasarım Yöntemi" geliştirilerek önerilmiştir, Şekil 5.1.

### Amaç

Hemoperfüzyon kolonu tasarımında amaç, belirli bir zaman içinde ( $t_i$ ),  $V_d$  hacmindeki ekstarseller sıvıdaki toksik madde konsantrasyonunun ( $C_0$ ), hasta için tehlikeli olmayan limit konsantrasyona ( $C_i$ ) düşürülmüşdür.

### Onerilen Yöntem

- Kesikli karıştırmalı sistemlerde çeşitli  $V_d/M$  (ve  $V_k/M$ ) değerleri için hem sulu hem de kan fazlarında zamana karşı adsorpsiyon izotermleri elde edilir, (I. ve II. basamaklar)
- Bu grafikler yardımıyla Bölüm 4.4.1.a ve 4.4.2.a'da verildiği gibi,  $k$  değerleri, buradan da  $m_1$  ve  $m_2$  değerleri hesaplanarak, su ve kan fazları arasındaki sıvı faz değişim katsayısı,  $\gamma$ , tespit edilir, (III. basamak).
- Belirli zaman ( $t_i$ ) içinde, toksik maddeyi, limit konsantrasyona ( $C_i$ ) düşürecek  $V_d/M$  değeri Bölüm 4.4.1.a'nın ara sonuç kısmında verilen yöntemle saptanır, (IV. basamak).  $V_d$  değeri bilindiği için buradan  $M$  hesaplanır.
- Deneyel çalışma yapılabilmesi için kolon çapı seçilir (örneğin D=25 mm).  $M$  hesaplandığı için  $L$  bulunur ve kolon imal edilir, (V. basamak).



Şekil 5.1. Önerilen Hemoperfüzyon Kolon ve Sistem Tasarım Yöntemi.

- Sulu fazda kapalı devreli dolaşımı sistemde iki farklı çözelti hacimsel akış hızında (veya iki farklı  $t_d$  değerinde) çalışılarak zamana karşı adsorpsiyon izotermeleri elde edilir, (VI. basamak).

- Kesikli karıştırmalı-kapalı devreli dolaşımı sistem ilişkilerinden (Bölüm 4.4.1.c) yararlanılarak  $t_i = t_{kes}$  zamanında ekstraselüler sıvıdaki toksik madde konsantrasyonunu  $C_i$  değerine düşürecek  $t_d$  değeri hesaplanır, (VII. basamak)

- Böylece  $t_i$  zamanında  $V_d$  hacmindeki sulu fazdaki toksik madde konsantrasyonunu  $C_i$  değerine düşürecek aktif karbon miktarı,  $M$  ve boş kolonda çözelti çizgisel akış hızı,  $U$ , belirlenmiş olur.

- Hemoperfüzyon kolonu kan fazında çalıştırılacağı için, kolon ve sistem özellikleri kan fazına geçişte, sıvı faz değişim katsayısı  $\gamma$  göz önüne alınarak tekrar değiştirilir. Böylece  $V_d$  hacmindeki ekstraselüler sıvayı temizleyecek aktif karbon miktarı ( $M$ ) saptanmış olur, (IX ve XV. basamaklar).

- IX. basamakta hesaplanan aktif karbon miktarının, ( $M$ ),  $V_d/3$  hacmindeki kanla ( $V_k = 5$  litre) teması geleceği ve kan hacimsel akış hızının, ekstraselüler sıvı hacimsel akış hızına eşit olduğu göz önüne alınarak, (hacim  $1/3$  oranında küçüldüğü için,  $t_k = t_d / 3$ ) yeni bir kolon ve kapalı devreli dolaşımı sistem tasarımlı gerçekleştirilir, (X. basamak).

- X. basamakta özellikleri saptanan yeni kolon ve kapalı devreli dolaşımı sistemde, boş kolonda kan fazı çizgisel akış hızının, ( $U_k$ ), kan hücresel eleman kaybına,  $[N_{E,L,T} / (N_{E,L,T})_0]$  etkisi incelenir.

- Bu aşamada kan hücresel eleman kaybının,  $[N_{E,L,T} / (N_{E,L,T})_0]$ , hasta tarafından tolere edilebileceği sınır, ( $\eta$ ) göz önüne alınır ve kan fazının boş kolonda çizgisel akış hızının, ( $U_k$ ) optimum değeri aranır, (XI. basamak).

- Kan hücresel eleman kaybı,  $[N_{E,L,T} / (N_{E,L,T})_0]$ , tolere edilebilir sınırdır, ( $\eta$ ) çok üstünde ise kolon çapı büyütülerek VI. basamaga tekrar geri dönülür, (XII. basamak).

- Kan hücresel eleman kaybı,  $[N_{E,L,T} / (N_{E,L,T})_0]$ , toler edilebilir sınırları, ( $\eta$ ) çok altında ise kolon çapı küçültülverek VI. basamaga tekrar geri dönülür, (XIII. basamak).
- Kan hücresel eleman kaybı,  $[N_{E,L,T} / (N_{E,L,T})_0]$ , toler edilebilir sınırları, ( $\eta$ ) veya bu degere çok yakınsa elde edilen kan fazının boş kolonda çizgisel akış hızı,  $U_k$ , ve kanın ana depoda (vücutta) alikonma süresi  $t_k$  (dolayısıyla  $t_d$ ), değerleri, hemoperfüzyon sisteminin aranan diğer büyöklükleridirler, (XVI. basamak).
- XVI. basamaktaki  $V_k/M$ ,  $t_k$  ve  $U_k$  değerlerinin kullanılmasıyla ulaşılan kolon,  $V_d$  litrelilik ekstraselüler hacimli sıvıda  $C_0$  başlangıç konsantrasyonundaki toksik maddeyi,  $t_i$  zamanı içinde,  $C_i$  limit konsantrasyonuna düşürecek "Hemoperfüzyon Kolonu"dur, (XVII. basamak).

## 6. REFERANSLAR

1. Chang, T. M. S., Artificial Kidney, Artificial Liver and Detoxification, Plenum Publishing Corp., New York, 1978.
2. Pitts, R. F., Physiology of the Kidney and Body Fluids, 2th ed., Year Book Medical Publishers, Inc., New York, 1968.
3. Yatzidis, H., A convenient haemoperfusion micro-apparatus over charcoal for the treatment of endogeneous and exogeneous intoxications, its use as an effective artificial kidney, Proc. Eur. Dial. Transplant. Assoc., 1: 83, 1964.
4. Hangstam, K. E., et. al., Experimental studies on charcoal haemoperfusion in phenobarbital intoxication and uremia, including histopathologic findings, Acta Med. Scand., 180: 593, 1966.
5. Rosenbaum, J. L., et. al., Column hemoperfusion and hemodialysis techniques to treat barbiturate intoxication in dogs, J. Albert Einstein Med. Cnt., 16: 67, 1968.
6. Yatzidis, H., Paper presented at Cleveland Clinic, Cleveland, Ohio, 1966.
7. Chang, T. M. S., Bonomini, V., Hemoperfusion, Int. Meet. on Hemoperfusion, Bologna, S. Karger, Basel, 1981.
8. Chang, T. M. S., Past Present and Future of Hemoperfusion, in: The Past Present and Future of Artificial Organs, E. Pişkin, and T. M. S. Chang, eds, Meteksan Publ. Comp., Ankara, 1983.
9. Ertürk, E., Haberal, M., Pişkin, E., Towards the commercialization of a haemoperfusion column, Part I. Selection of activated carbon, Clinical Materials, 2: 55-65, 1987.
10. Ertürk, E., Haberal, M., Pişkin, E., Towards the commercialization of a haemoperfusion column, Part II. Coating of activated carbon, Biomaterial, Artificial Cells and Artificial Organs, 1987 (in press).
11. Ertürk, E., Pişkin, E., Hemoperfüzyon KOLON Dizaynı, IV. Kimya ve Kimya Müh. Simp. Tebliğ Özeti Kitabı, Fırat Univ., Elazığ, 1987.
12. Vale, J. A., et. al., Use of charcoal haemoperfusion in the management of several poisoned patients, Br. Med. J., 1: 5, 1975.
13. Rosenbaum, J. L., et. al., Resin hemoperfusion for acute drug intoxication, Arch. Intern. Med., 136: 236, 1976.
14. Winchester, J. F., et.al., Dialysis and hemoperfusion of poisons and drugs: update, Trans. Am. Soc. Artif. Intern. Organs, 23: 762, 1977.

15. Chang, T. M.S., Clinical experience with ACAC coated charcoal hemoperfusion in acute intoxication, *Clin. Toxicol.*, 17: 529, 1980.
16. Chang, T.M.S., Microencapsulated adsorbent hemoperfusion for uremia, intoxication and hepatic failure, *Kidney Int.*, 7: 387, 1975.
17. Williams, R., Murray-Lyon I.M., eds., *Artificial Liver Support*, Pitman Medical, London, 1975.
- 18.. Chang, T.M.S., A 1978 perspective of hemoperfusion, *Artif. Organs*, 2:359, 1978.
19. Gilchrist, T., Reflection on the role of carbon hemaadsorption in therapeutic medicine, in *Hemoperfusion*, Bonomini, V., and Chang, T. M. S., eds., pp. 285, Karger, Basel, 1982.
20. Nilsson, I. M., et. al., *Plasma Ther. Transfus. Technol.*, 5: 127-134, 1984.
21. Yatzidis, H., et. al., Treatment of severe barbiturate poisoning, *Lancet*: 216, 1965.
22. Dunea, G., Kolff, W.I., Clinical experience with the Yatzidis charcoal, *Trans. Am. Artif. Intern. Organs*, 11: 178, 1965.
23. Barakat, T., MacPhee, I. W., Experiments with an extracorporeal carbon column as a simplified artificial kidney, *Brit. J. Surg.*, 57-580, 1970.
24. Rosenbaum, J. L., et. al., Column hemoperfusion and hemodialysis techniques to treat barbiturate intoxication in dogs, *J. Albert Einstein Med. Cnt.*, 16: 67, 1968.
25. Andrade, J. D., et. al., Activated carbon and blood perfusion: a critical review, *Proc. Eur. Dial. Transplant. Ass.* 9: 210, 1972.
26. Fennimore, J., et. al., The design and evaluation of a convenient carbon haemoperfusion system, *Proc. Eur. Soc. Artif. Organs*, 1: 90, 1974.
27. Courtney, J. M., et. al., A new coated adsorbent for blood perfusion, 10 th. Int. Conf. Med. Biol. Eng., Dresden, 10: 133, 1973.
28. Courtney, J. M., et. al., A novel method for preparing coated carbon granules, *Proc. Eur. Soc. Artif. Organs*, 2: 210, 1975.
29. Denti, E., et. al., Adsorption characteristics of cellulose acetate coated charcoals, *I. Biomed. Mater. Res.*, 9: 143, 1975.
30. Thysell, H., et. al., A hemoperfusion column using cellophane coated charcoal, *Proc. Eur. Soc. Artif. Organs*, 2: 212, 1976.

31. Amano,I., Efficacy of petroleum charcoal hemoperfusion and acetate free dialysate in 10 patients with hepatic coma, Proc. Eur. Dial. Transplant. Assoc., 13: 262, 1976.
32. Schmidt, R., et. al., Hemoperfusion experimentelle und klinische ergebnisse, Dt. Gesund. Wres., 32: 45, 1977.
33. Tijssen, J., et. al., Based on activated carbon granules coated with an ultrathin membrane of cellulose acetate, Artif. Organs., 3: 11, 1979.
34. Chang, T. M. S., Artificial Cells, Thomas, Springfield, Illionis, 1972.
35. Chang, T. M. S., Semipermeable microcapsules, Science, 146, 524, 1964.
36. Chang, T. M. S., ed., Artificial Kidney, Artificial Cells, Plenum Press, New York, 1978.
37. Sideman, S., Chang, T. M. S., eds., Hemoperfusion: Kidney and liver support and detoxification, part 1, Hemisphere, Washington, 1980.
38. Bonomini, V., Chang, T. M. S., eds., Hemoperfusion, S. Karger, Basel, 1982.
39. Pişkin, E., Chang, T. M. S., eds., Hemoperfusion and Artificial Organs, Artif. Organs Soc., in Turkey, Ankara, 1982.
40. Chang, T. M. S., et. al., Clinical performance characteristics of a new combined system for simultaneous hemoperfusion hemodialysis-ultrafiltration in series, Trans. Am. Soc., Artif. Intern. Ogans, 21: 502, 1975.
41. Chang, T. M. S., et. al., Long term clinical assesment of combined ACAC hemoperfusion-ultrafiltration in uremia, Artif. Organs, 3: 127, 1979.
42. Chirito, E., et. al., Artificial Liver, The effect of ACAC micro-encapsulated charcoal hemoperfusion on fulminant hepatic failure, Artif. Organs, 1: 76, 1977.
43. Chang, T. M. S., et. al., Phase I clinical trial of a new composite artificial kidney combining hemodialysis and hemoperfusion, Trans. Am. Soc. Artif. Intern. Organs, 1982 (in press).
44. Wu, Z. G., et. al., Clinical applications of artificial liver, artificial kidney and detoxifier type 1, Acta Acad. Med. Primae, Shanghai, 7: 321, 1980.
45. Özdurat, A. R., Hameed, J., Böyük, M. Y., Pişkin, E., Silicone Coating of charcoal for hemoperfusion using, plasma polymerization techniques, ASAIO J., 3:116, 1980.

46. Pişkin, E., Özدural, A. R., A new coating material for hemoperfusion: Polyethylene glycol, *Artif. Organs (Suppl.)*, 5: 223, 1981.
47. Pişkin, E., et. al., Comparision of the mass transfer properties of some of the membrane systems suitable for hemoperfusion , Proc. Eur. Soc. Artif. Organs, 8: 201, 1981.
48. Pişkin, E., Coating materials and methods for charcoal hemoperfusion, in " The past present and future of the artificial organs", E. Pişkin, ve T. M. S. Chang, eds., Meteksan Publ. Comp., Ankara, 1983.
49. Pişkin, E., et. al., Preparation of polyethylene glycol coatings for microencapsulation of charcoal, *Appl. Biochem. Biotech.*, 10: 183, 1984.
50. Weber Jr. W. I., *Physicochemical process for water quality control*, New York, Wiley Intesscience, 1972.
51. Brunauer, S., *The adsorption of gases and vapors*, Princeton University Press, 1945.
52. Vermulen, T., et. al., *Chemical Engineers Handbook*, 5th Edition, Perry, R. H., Chilton, C. H., Mc Graw Hill, New York, 1973.
53. Pişkin, E., *Synthetic Polymeric Membranes: Classification, preparation, structure and transport mechanisms*, in: *Polymeric Biomaterials*, E. Pişkin, A. S. Hoffman, eda., Martinus Nijhoff Publishers, Dordrecht, 1986.
54. Lacey, R. E. and Loeb, S., *Industrial processing with membranes*, Wiley Interscience, New York, 1972.
55. Kesting, R. E., *Synthetic Polymeric Membranes*, Mc Graw Hill, New York, 1971.
56. Sourirajan, S., *Reverse Osmosis and Syntehetic Membranes*, National Research Council, Ottawa, Canada, 1977.
57. Strathman, H., et.al., *Desalination*, 16: 179, 1975.
58. Guyton, A. C., *Textbook of med. Phy.*, W. B. Saunders Com., p. 206-402, 1981.
59. Noyan, A., *Fizyoloji ders kitabı*, Anadolu Üniversitesi Yayınları No 2, Meteksan, Ankara, 1984.
60. Hutchins, R. A., Liquid phase adsorption maximizing performance, *Chem. Eng. February 25*, p. 101-107, 1980.
61. Lukchis, G. M., Part 1: Design by mass transfer zone concept, *Chem. Eng. , June 11*, p. 111-116, 1973.

62. Zogorski, J. S. and Faust, S. D., Operational parameters for optimum removal of phenolic compounds from polluted waters by columns of activated carbon, Water-AIChE Symposium Series, 1976.
63. Michaels, A. S., Ind. Eng. Chem., 44, 1922, 1952.
64. Vermeulen, T., Separation by adsorption methods, Adv. Chem. Eng., 2, 147-208, 1958.
65. Hall, K. R., et. al., Pore and solid diffusion kinetics in fixed bed adsorption under constant pattern conditions, Ind. Chem. Eng. Fundam., p. 212-223, 1966.
66. Fleck, R. D., et. al., Mixed resistance diffusion kinetics in fixed bed adsorption with constant pattern conditions, Ind. Eng. Chem. Fundam., 12, 95-99, 1973.
67. Bischoff, K.B.General solution of equations representing effects of catalyst deactivation in fixed bed reactors, Ind. Eng. Chem. Fundam., 8, 665-669, 1969.
68. Brauch, V. and Schlunder, E. V., The scale up of activated carbon columns for water purification, based on results from batch tests, part 2, Chem. Eng. Sci., 30, 539-548, 1975.
69. Radcliffe, D. F., Gaylor, J.D.S.,Sorption kinetics in hemoperfusion columns, Part 1: estimation of mass transfer parameters, Med. Biol. Eng. of. Comput., 19, 617-626, 1981.
70. Cooney, D. O., and Sheih, D. F., Fixed bed sorption with recycle, A.I.Ch.E.J., 18, 245-247, 1972.
71. Chang, F.H.I., Tan, D.S. and Spinner, I.H., Fixed bed sorption with recycle; analytic solutions for linear models, A.I.Ch.E.J., 19, 188-191, 1973.
72. Shettiger, V.R., and Deepak, D., Analysis of hemoperfusion through fixed bed adsorber, Med. & Biol. Eng. & Comput., 15, 589-596, 1977.
73. Dunlop, E. H., and Williams, R., Physical-chemical aspects of the removal of protein bound substances by charcoal and other adsorbents of potential value in systems of artificial liver support: Part II, Kinetics of removal, Med & Biol. Eng. & Comput., 16, 350-362, 1978.
74. Weber Jr. W. I., et. al., Kinetics of adsorption on carbon from solution, J. Sanitary Eng. Division Proc. of the American Society of civil Eng., p. 31-59, April, 1963.

75. Coulson, J. M., and Richardson, J. R., *Chemical Engineering*, Pergamon Press, 1969.
76. Cooney, D. O., et. al., Comparative studies of hemoperfusion devices, *Biomat. Med. Dev. Art. Org.*, 6 (3), 199-213, 1978.
77. Dunlop, E. H., et. al., Design Features of hemoperfusion columns containing activated carbon, *Med. Biol. Eng.*, 14, 220-226, 1976.
78. McCabe, W. L., Smith, J. C., *Unit Operations of Chemical Engineering*, Mc Graw Hill, New York, 1967.
79. Braunuer, S., Emnett, P. H., Teller, E. J., *Am. Chem. Soc.*, 60: 309, 1938.
80. Hutchins R.A., Chapter 2, Activated Carbon, in *Activated Carbon Adsorption for Wastewater Treatment*, Perrich J.R. (ed) CRS Press, 1981.
81. Chang, T. M. S., Microcapsule artificial kidney:including updated preparative procedures and properties, *Kidney International*, 10, 218, 1976.
82. Pişkin, E., Hemoperfüzyon , Tübitak Proje No TAG-413, 1983.

## 7. EKLER

## EK-A

**SULU FAZDA İZLEYİCİ TAYİN YÖNTEMLERİ**  
**KREATİNİN TAYİN YÖNTEMİ VE STANDART EĞRİSİ**

Deneyselde çeşitli zamanlarda alınan örneklerdeki kreatinin konsantrasyonu aşağıda verilen spektrofotometrik yöntemle tayin edilmiştir.

- Alınan 0.2 ml örnek üzerine 5.8 ml damıtık su, 2 ml doygun pikrik asit çözeltisi ve 2 ml 0.75 N NaOH ilave edilir.
- 20 dakika beklenmekten sonra oluşan renkli kompleksin yüzde geçirgenliği 557.5 nm'de (en yüksek absorbans veren dalga boyu) köre\* karşı okunur.
- Yüzde geçirgenlikten absorbans değeri hesaplanır. Standart eğriden de bu değere karşı gelen kreatinin konsantrasyonu okunur.

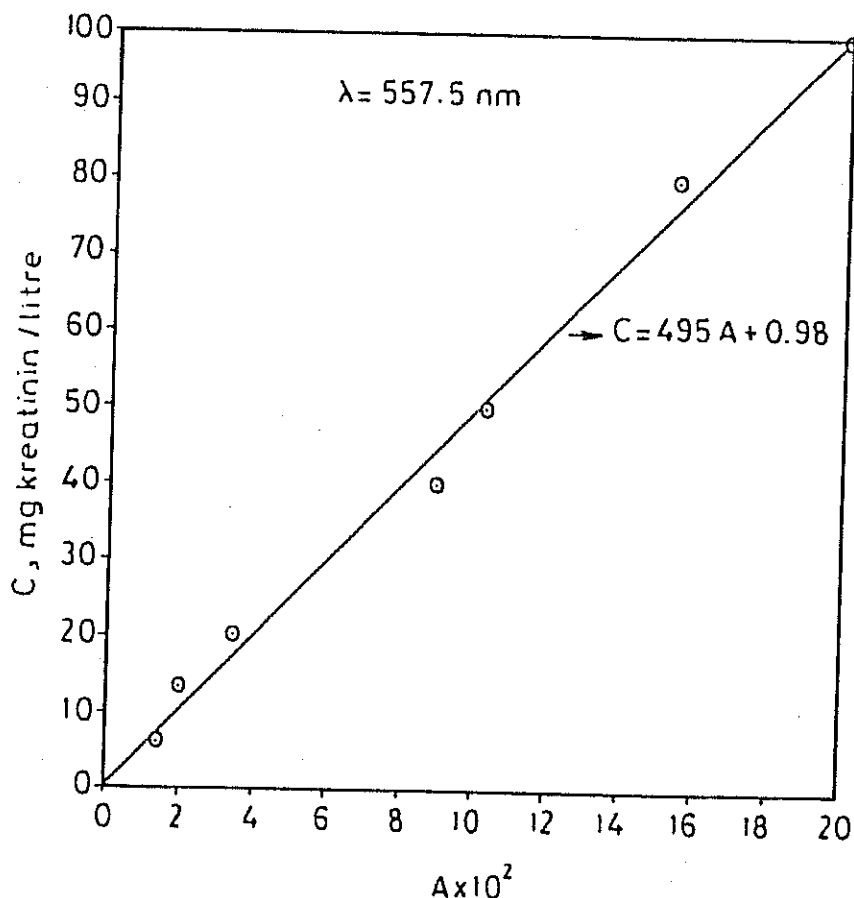
Kreatinin Standart Eğrisi

Kreatinin standart eğrisi ile ilgili deney verileri Çizelge A1'de verilmiştir. Bu çizelgeden yararlanarak bulunan standart eğri Şekil A1'de gösterilmiştir.

Cizelge A1. Kreatinin Standart Eğrisine İlişkin Veriler.

C (mg/litre)	Transmitans (%)	Absorbans (abs)
100.00	63.2	0.1993
80.00	70.2	0.1537
50.00	79.0	0.1024
40.00	81.5	0.0888
20.00	92.4	0.0343
13.30	95.6	0.0195
6.67	96.8	0.0141

\* Kör Çözelti, 6 ml damıtık su, 2 ml doygun pikrik asit, 2 ml 0.75 N NaOH karıştırılarak elde edilir.

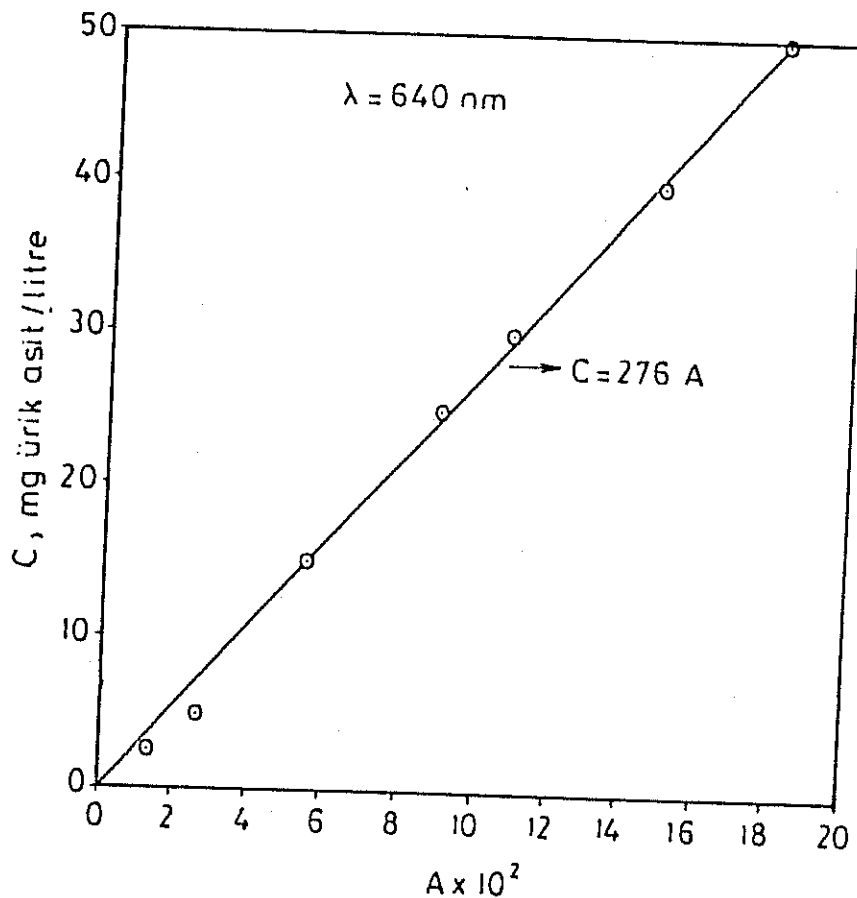


Şekil A1. Standart Kreatininin Eğrisi, Sulu Faz.

#### ÜRIK ASIT TAYİN YÖNTEMİ VE STANDART EĞRİSİ

Ürik asit tayini için aşağıda verilen spektrofotometrik yöntem izlenmiştir.

- Alınan 0.5 ml örnek üzerine 0.5 ml % 10 sodyum tungstat ve 4 ml 1/12 N  $\text{H}_2\text{SO}_4$  eklenir.
- Yukarıdaki çözeltiden 3 ml ve 0.8 ml ürik asit (A+B) çözeltisi ile 0.2 ml folindenis çözeltisi bir spektrofotometre tüpüne alınırlar.
- Oda sıcaklığında 10 dakika beklenikten sonra oluşan renkli kompleksin yüzde geçirgenliği 640 nm'de su körüne karşı okunur.
- Yüzde geçirgenlikten absorbans değeri hesaplanır. Standart eğriden de bu değere karşı gelen ürik asit konsantrasyonu okunur.



Şekil A2. Standart Ürik Asit Eğrisi, Sulu Faz.

#### Ürik Asit Standart Eğrisi

Ürik asit standart eğrisi ile ilgili deney verileri Çizelge A2'de verilmiştir. Bu çizelgeden yararlanarak bulunan standart eğri Şekil A1'de gösterilmiştir.

Çizelge A2. Ürik Asit Standart Eğrisine İlişkin Veriler.

C (mg/litre)	Transmitans (%)	Absorbans (abs)
50.0	66.0	0.1805
40.0	71.2	0.1475
30.0	78.0	0.1079
25.0	81.5	0.0889
15.0	88.0	0.0555
5.0	94.2	0.0259
2.5	97.0	0.0132

### VİTAMİN B-2 TAYİN YÖNTEMİ VE STANDART EGRİSİ

Vitamin B-2 tayini için aşağıda verilen spektrofotometrik yöntem izlenmiştir.

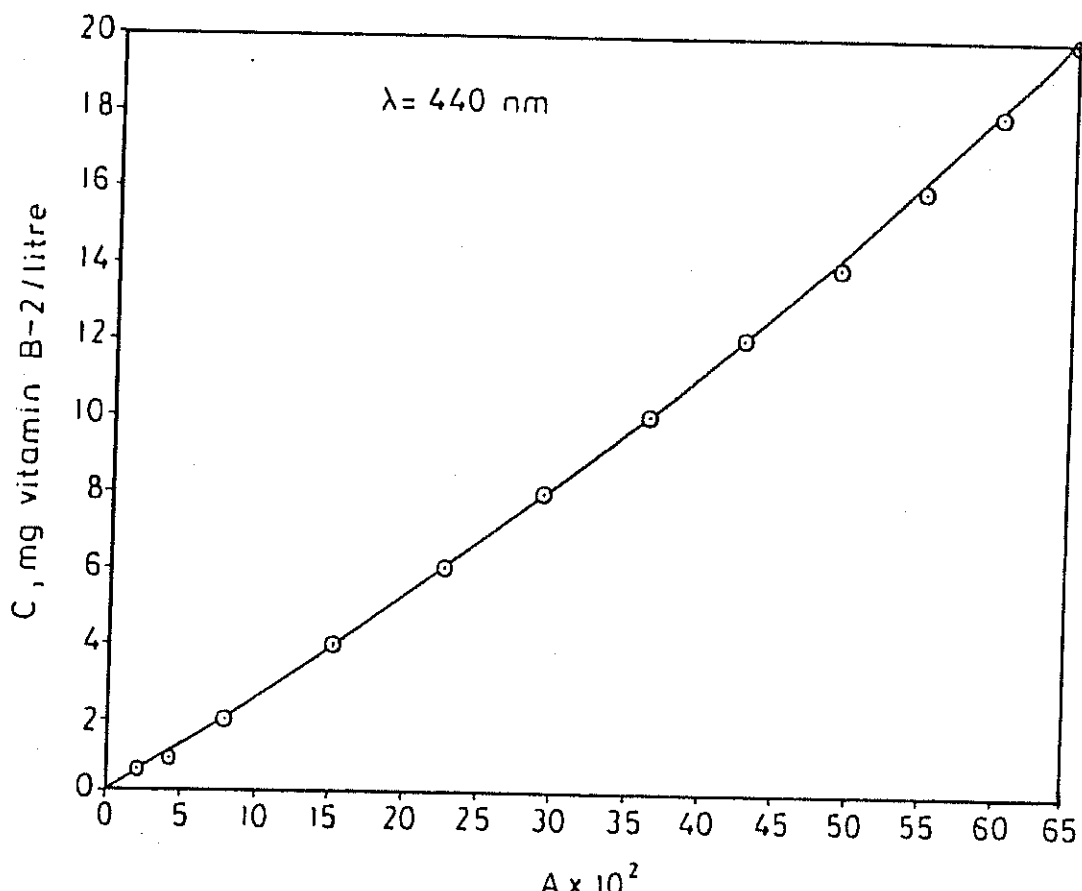
- Spektrofotometre tüpüne alınan 10 ml örneğin 440 nm'de su körüne karşı yüzde geçirgenliği okunur.
- Yüzde geçirgenlikten absorbans değeri hesaplanır. Standart egrilerde bu değere karşı gelen vitamin B-2 konsantrasyonu okunur.

#### Vitamin B-2 Standart Eğrisi

Vitamin B-2 standart eğrisi ile ilgili deney verileri Çizelge A3'de verilmiştir. Bu çizelgeden yararlanılarak bulunan standart eğri Sekil A3'de gösterilmiştir.

Çizelge A3. Vitamin B-2 Standart Eğrisi.

C (mg/litre)	Transmitans (%)	Absorbans (abs)
20.0	22.4	0.649
18.0	25.4	0.595
16.0	28.5	0.545
14.0	32.5	0.488
12.0	37.5	0.425
10.0	43.5	0.361
8.0	51.2	0.290
6.0	59.5	0.225
4.0	70.5	0.151
2.0	83.5	0.078
1.0	91.0	0.041
0.5	95.0	0.022



Şekil A.3. Standart Vitamin B-2 Eğrisi, Sulu Faz.

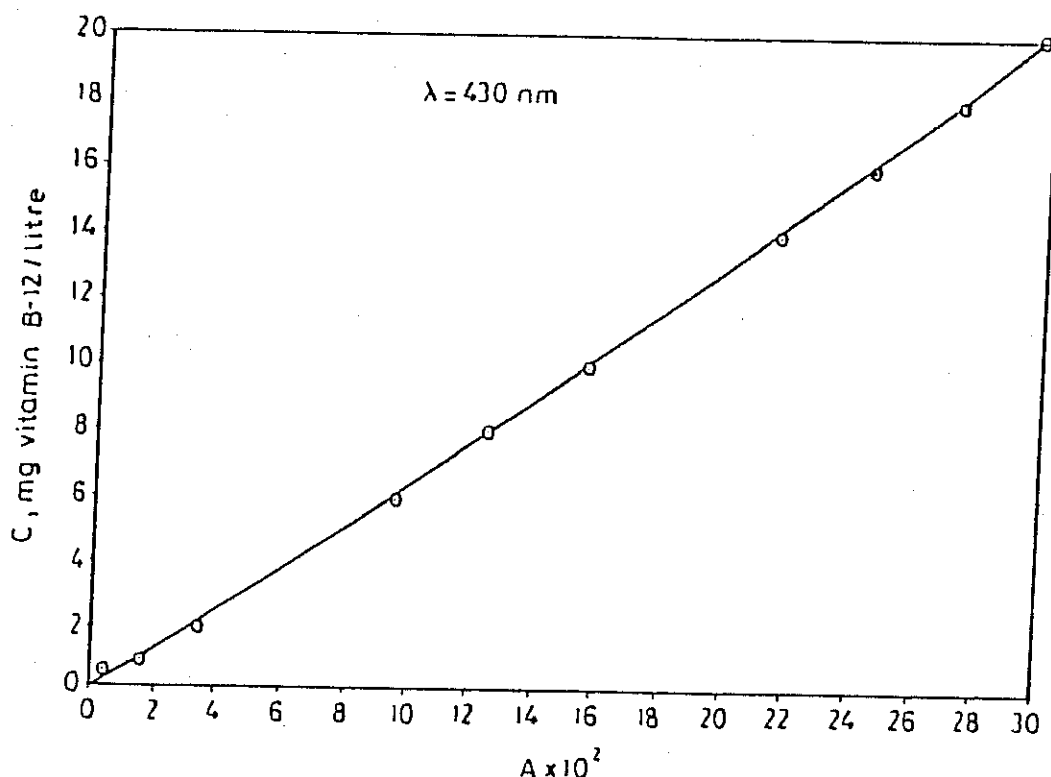
### VİTAMİN B-12 TAYİN YÖNTEMİ VE STANDART EĞRİSİ

Vitamin B-12 tayini için aşağıda verilen spektrofotometrik yöntem izlenmiştir.

- Spektrofotometre tüpüne alınan 10 ml örneğin 430 nm'de su körüğne karşı yüzde geçirgenliği okunur.
- Yüzde geçirgenlikten absorbans değeri hesaplanır. Standart eğrilerde bu değere karşı gelen vitamin B-12 konsantrasyonu okunur.

#### Vitamin B-12 Standart Eğrisi

Vitamin B-12 standart eğrisi ile ilgili deney verileri Çizelge A4'de verilmiştir. Bu çizelgeden yararlanılarak bulunan standart eğri Şekil A4'de gösterilmiştir.



Şekil A4. Standart Vitamin B-12 Eğrisi, Sulu Faz.

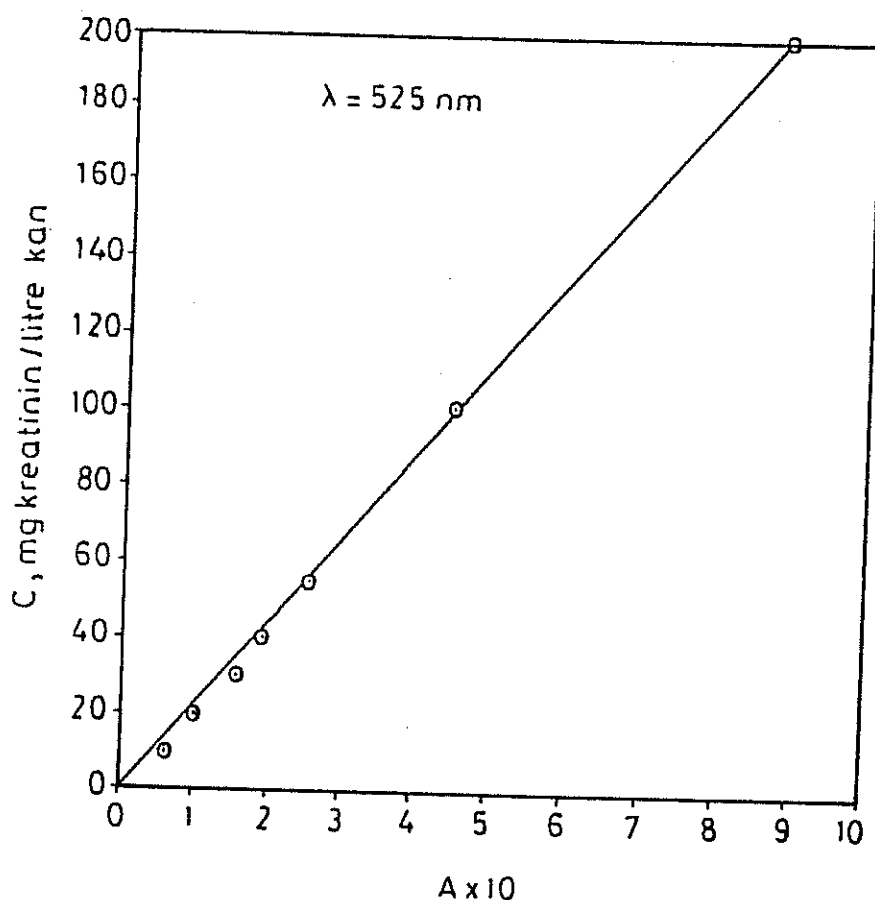
Çizelge A2. Vitamin B-12 Standart Eğrisi.

C (mg/litre)	Transmitans (%)	Absorbans (abs)
20.0	50.5	0.296
18.0	53.5	0.272
16.0	57.0	0.244
14.0	61.0	0.215
10.0	69.7	0.157
8.0	75.0	0.125
6.0	80.2	0.096
4.0	87.0	0.060
2.0	92.5	0.034
1.0	96.5	0.015
0.5	99.0	0.004

**EK-B****KANDA KREATİNİN TAYİNİ VE STANDART EĞRİSİ**

Kanda kreatinin tayini için aşağıda verilen spektrofotometrik yöntem kullanılmıştır.

- Alınan 0.5 ml örnek (plazma) üzerine 4 ml 1/2 N  $H_2SO_4$  ve % 10'luk  $Na_2WO_4$  dan eklenir.
- Kör örnek için ikinci bir tüpe 4 cc 1/2 N  $H_2SO_4$ , 0.5 ml su ve 0.5 ml % 10'luk  $Na_2WO_4$  konur.
- İki tüp vortexlenir ve santrifüj edilir.



Şekil B1. Standart Kreatinin Eğrisi, Kan Fazı.

- d) Ayri iki tüp alınır ve yukarıda santrifüjlenmiş çözeltilerin üst berrak kısımlarından 2 ml bunlara aktarılır.
- e) Her iki tüpe 5 ml % 1'lük pikrik asit ve 1 ml 2.5 N NaOH 'dan oluşan karışımından 1'er ml eklenir.
- f) Tüppler vortekslenir, karıştırılır ve 15 dakika beklenir.
- g) Örneğin absorbansı 525 nm'de köre karşı okunur. Standart egriden de bu değere karşı gelen kreatinin konsantrasyonu okunur.

### **EK-C**

#### **HEMOTOKRİT TAYİNİ**

Kılıçal cam boruya tam kan çekilir ve bir ucu mumla kapatılır. Hemotokrit santrifüjünde 10.000 devirde 5 dakika santrifüj edilir. Kanın hücresel elemanları alta, plazma üstte olacak şekilde kan iki fonksiyona ayrılır. Bu çökmüş şekilli elemanların tam kana oranı hemotokrit skalasından hemotokrit değeri olarak okunur.

### **EK-D**

#### **KAN HÜCRELERİ SAYIM YÖNTEMLERİ ERİTROSİT SAYIM YÖNTEMİ**

Eritrosit sayımı için mikroskop, hemositometre, sulandırma pipeti ve alyuvar sulandırma sıvısı olarak serum fizyolojik (% 0.9 NaCl çözeltisi) kullanılmıştır.

- a) Sulandırma pipetine 0.5 rakamına kadar kan, 101 rakamına tamamlanıncaya kadar serum fizyolojik çekilir ve iyice çalkalanır.
- b) Çalkalandıktan sonra sulandırma pipetinin ampul kısmındaki sıvının 1/3' ü boşaltılır.

- c) Hemositometre lamı Üzerine konan lamelin kenarından bir kaç damla kan sayım alanına tam kaplayacak şekilde damlatılır.
- d) Hücrelerin sayım alanına tam yerleşmesi için 20 dakika beklenir.
- e) Sayma lamindaki 5 sayım sahasındaki eritrositler sayılır. (Her bir sayım sahasının hacmi  $0.004 \text{ mm}^3$  tür)

Buna göre,

$$\frac{\text{Sayılan Toplam Hücre Sayısı} \times \text{Seyreltme Oranı}}{\text{mm}^3 \text{ başına eritrosit}} = \frac{\text{Sayılan Toplam Hücre Sayısı} \times \text{Seyreltme Oranı}}{0.004 \times \text{Sayılan Sayım Sahası}}$$

$$= \text{Sayılan Hücre Sayısı} \times 10.000$$

### **LOKOSIT SAYIM YÖNTEMİ**

Lökosit sulandırma sıvısı olarak

Damitik su	: 100.0 ml
Glasiyel asetik asit	: 3.0 ml
Gentianviolet ( % 1'lük eriyiği )	: 1.0 ml kullanılır.

- a) Akyuvar sulandırma pipetinin 0.5 rakamına kadar kan, 11 rakamına kadar sulandırma sıvısı çekilir, iyice çalkalanır.
- b) Pipetin şışkin kısmındaki sıvının  $1/3$ 'ü boşaltılır.
- c) Hemositometre lamı Üzerine konan lamelin kenarından bir kaç damla kan sayım alanını tam kaplayacak şekilde damlatılır.
- d) Hücrelerin sayım alanına tam yerleşmesi için 20 dakika beklenir.
- e) Sayma lamının köşelerindeki 4 büyük kareler i indeki lökositler sayılır.

$$\frac{\text{Sayılan Toplam Hücre Sayısı} \times \text{Seyreltme Oranı}}{\text{mm}^3 \text{ başına eritrosit}} = \frac{\text{Sayılan Toplam Hücre Sayısı} \times \text{Seyreltme Oranı}}{0.4}$$

$$= \text{Sayılan Hücre Sayısı} \times 50$$

### **TROMBOSİT SAYIM TEKNİĞİ**

- a) Kırmızı kan hücresi seyreltme pipetlerinin üzerindeki "1" işaretine kadar alınan kan örneğinden çekilir.
- b) Aynı pipet içerisinde 101 işaretine kadar % 1'lük amonyum okzalat çözeltisi alınır ve iyice çalkalanır.
- c) Bu şekilde yüz misli seyrelmiş kan örneğinden birkaç damla, sayım için hazırlanıp özel sayma lamı (Hemositometre) üzerine yerleştirilir.
- d) Hücreleri çökmesi için 20 dakika beklendikten sonra mikroskop yardımı ile sayma lamı üzerinde işaretli en az 5 sayım sahasında bulunan trombosit miktarı sayılarak saptanır (Her bir sayım sahasının hacmi  $0.004 \text{ mm}^3$ 'tür).

$$\frac{\text{mm}^3 \text{ başına trombosit}}{\text{Sayılan Toplam Hücre Sayısı} \times \text{Seyreltme Oranı}} = \frac{0.004 \times \text{Sayılan Sayım Sahası}}{= \text{Sayılan Hücre Sayısı} \times 5000}$$